



ใบรับรองวิทยานิพนธ์  
บัณฑิตวิทยาลัย มหาวิทยาลัยเกษตรศาสตร์

วิทยาศาสตรมหาบัณฑิต (เพาะเลี้ยงสัตว์น้ำ)

ปริญญา

เพาะเลี้ยงสัตว์น้ำ

สาขาวิชา

เพาะเลี้ยงสัตว์น้ำ

ภาควิชา

เรื่อง การศึกษาโครงสร้างทางอณูวิทยาของ Complementary DNAs (cDNAs) และการแสดงออกของยีน Caspase-3 และ Granzyme ในปลานิล (*Oreochromis niloticus* Linn.)

Molecular Characterization of Complementary DNAs (cDNAs) and Expression Analyses of Caspase-3 and Granzyme Genes in Nile Tilapia (*Oreochromis niloticus* Linn.)

นามผู้วิจัย นางสาวอังคณาลักษณ์ แจ้งอนันต์

ได้พิจารณาเห็นชอบโดย

อาจารย์ที่ปรึกษาวิทยานิพนธ์หลัก

( อาจารย์ประพันธ์ศักดิ์ ศิริยะภูมิ, Ph.D. )

อาจารย์ที่ปรึกษาวิทยานิพนธ์ร่วม

( รองศาสตราจารย์นนทวิทย์ อารีย์ชัน, Ph.D. )

หัวหน้าภาควิชา

( ศาสตราจารย์อุทัยรัตน์ ณ นคร, Ph.D. )

บัณฑิตวิทยาลัย มหาวิทยาลัยเกษตรศาสตร์รับรองแล้ว

( รองศาสตราจารย์กัญจนा ธีระกุล, D.Agr. )

คณบดีบัณฑิตวิทยาลัย

วันที่ ..... เดือน ..... พ.ศ. ....

สิงหาคม มหาวิทยาลัยเกษตรศาสตร์

วิทยานิพนธ์

เรื่อง

การศึกษาโครงสร้างทางอณูวิทยาของ Complementary DNAs (cDNAs) และการแสดงออกของยีน Caspase-3 และ Granzyme ในปลา尼ล (*Oreochromis niloticus* Linn.)

Molecular Characterization of Complementary DNAs (cDNAs) and Expression Analyses of Caspase-3 and Granzyme Genes in Nile Tilapia (*Oreochromis niloticus* Linn.)

โดย

นางสาวอังคณาลักษณ์ แจ้งอนันต์

เสนอ

บัณฑิตวิทยาลัย มหาวิทยาลัยเกษตรศาสตร์  
เพื่อความสมบูรณ์แห่งปริญญาวิทยาศาสตร์มหาบัณฑิต (เพาะเลี้ยงสัตว์น้ำ)  
พ.ศ. ๒๕๕๓

สิงห์ นิตาวิทยาลัยเกษตรศาสตร์

อังคณาลักษณ์ แจ้งอนันต์ 2553: การศึกษาโครงสร้างทางเอนไซม์วิทยาของ Complementary DNAs (cDNAs) และการแสดงออกของยีน Caspase-3 และ Granzyme ในปลา尼罗 (Oreochromis niloticus Linn.) ปริญญาสาขาวิชาศาสตรมหาบัณฑิต (เพาะเลี้ยงสัตว์น้ำ) สาขาวิชาเพาะเลี้ยงสัตว์น้ำ อาจารย์ที่ปรึกษาวิทยานิพนธ์หลัก: อาจารย์ประพันธ์ศักดิ์ ศิริยะภูมิ, Ph.D. 178 หน้า

ลำดับนิวคลีโอไทด์ทั้งหมดที่สมบูรณ์ (Full-length) ของ Complementary DNAs (cDNAs) ของยีนที่เกี่ยวข้องกับการตายของเซลล์แบบ Apoptosis (Program cell death) ในระบบภูมิคุ้มกันของปลา尼罗 2 ชนิด ซึ่งได้แก่ Caspase-3 (Casp3-TL) และ Granzyme (Granz-TL) ได้ถูกโคลนโดยการสืบค้นและการใช้เทคนิค 5' Rapid Amplification cDNA Ends (RACE) PCR พบว่า Full-length ของ cDNA ของยีน Casp3-TL มีขนาด 2,612 bp ประกอบด้วย ลำดับนิวคลีโอไทด์ที่ไม่เกี่ยวข้องกับการสร้างโปรตีน (Untranslated region; UTR) ทางด้านปลาย 5' และ 3' เป็น 79 และ 1,684 bp ตามลำดับ นอกจากนี้ลำดับนิวคลีโอไทด์ที่เกี่ยวข้องกับการสร้างโปรตีน (Open reading frame: ORF) มีความยาวเท่ากับ 846 bp คิดเป็นสายเปปไทด์ของกรดอะมิโนความยาว 282 Residues เมื่อพิจารณาถึงโครงสร้างของโปรตีนพบว่า Casp3-TL ของปลา尼ล ประกอบด้วย Prodomain, Large และ Small subunit ซึ่งไม่พบว่ามีส่วนของ Hydrophobic leader sequence อญ্তเลย ซึ่งมีโครงสร้างคล้ายคลึงกับยีน Caspase-3 ของสัมภาระอื่น ๆ ขณะที่ Full-length ของ cDNA ของยีน Granz-TL มีขนาด 1,412 bp ซึ่งประกอบด้วย ลำดับนิวคลีโอไทด์ในส่วน 5' และ 3' UTR เป็น 125 และ 519 bp ตามลำดับ และมี ORF ความยาว 765 bp คิดเป็นกรดอะมิโนความยาว 255 Residues เมื่อพิจารณาถึงโครงสร้างของ Mature โปรตีนพบว่า Granz-TL ของปลา尼ล ประกอบด้วยบริเวณ Active site 3 ตำแหน่ง (His<sub>67</sub>-Asp<sub>110</sub>-Ser<sub>208</sub>) ซึ่งเป็นลักษณะเอกลักษณ์ของยีนในกลุ่ม Serine protease ที่เรียกว่า Catalytic triads การศึกษาความสัมพันธ์เชิงวิพากษ์การโดยใช้ Phylogenetic tree พบว่า Granz-TL ถูกจัดอยู่ในกลุ่มของยีน Granzyme A/K ของปลาและ Granzyme A และ K ของสัตว์มีกระดูกสันหลังซึ่งอยู่ในชั้นสูงของชั้นเจน ผลการศึกษาการแสดงออกของยีนในเนื้อเยื่อต่าง ๆ โดยใช้เทคนิค RT-PCR พบว่าในปลาปกติ ยีน Casp3-TL มีการแสดงเบาบางในทุก ๆ อวัยวะ ขณะที่ยีน Granz-TL มีการแสดงออกมากที่สุดในเม็ดเลือดขาวในเลือด (Peripheral blood leukocytes: PBLs) และมีการแสดงออกเบาบางในไตส่วนหน้า ม้ามและไต ส่วนหลังเท่านั้น และเมื่อทำการตรวจสอบการแสดงออกของยีนทั้ง 2 ชนิด ในปลา尼ลที่ถูกฉีดกระตุ้นด้วยเชื้อ *Streptococcus agalactiae* เป็นเวลา 3 วัน พบว่าระดับการแสดงออกของยีน Casp3-TL ไม่มีความแตกต่างกับปลาปกติ ขณะที่ยีน Granz-TL มีการแสดงออกเพิ่มสูงขึ้นอย่างชัดเจนในสมอง ไตส่วนหน้า ม้ามและไตส่วนหลัง ตามลำดับ นอกจากนี้การศึกษาการแสดงออกโดยใช้เทคนิค Real-time PCR ยังพบว่า ปลา尼ลที่ถูกฉีดกระตุ้นด้วย เชื้อ *S. agalactiae* ที่ระดับความเข้มข้น  $1 \times 10^7$  และ  $1 \times 10^9$  CFU ต่อมิลลิลิตร มีการแสดงออกของยีน Casp3-TL ไม่แตกต่างจากกลุ่มควบคุมในทุกช่วงเวลาถึงแต่ 1 จนถึง 96 ชั่วโมง ( $P > 0.05$ ) ซึ่งต่างจากยีน Granz-TL ที่พบว่าในชั่วโมงที่ 24 ปลาที่ถูกกระตุ้นด้วยเชื้อบนที่เรียกว่าการแสดงออกของยีนชนิดนี้เป็น 11 และ 3 เท่า เมื่อเทียบกับกลุ่มควบคุม ตามลำดับ ( $P < 0.05$ ) อย่างไรก็ตามเมื่อทำการทดสอบใน PBLs ของปลาที่ถูกกระตุ้นด้วยเชื้อ *Aeromonas hydrophila* และ Concanavalin A (*In vitro*) พบว่าการแสดงออกของยีน Casp3-TL ในเซลล์เม็ดเลือดขาวของปลาที่ถูกกระตุ้นด้วย *A. hydrophila* จะถูกขับขึ้นในชั่วโมงที่ 48 ขณะที่กลุ่มที่ถูกกระตุ้นด้วย Concanavalin A มีการแสดงออกลดลงเหลือเดิมกัน ในชั่วโมงที่ 48 และ 72 ตามลำดับ ขณะที่ยีน Granz-TL ใน PBLs ของปลาทุกกลุ่มมีแนวโน้มของการแสดงออกเพิ่มขึ้นและสูงสุดในชั่วโมงที่ 48 และ 72 ตามลำดับ แต่ก็ไม่พบความแตกต่างของการแสดงออกของยีนในกลุ่มที่ได้รับการกระตุ้นกับกลุ่มควบคุมตลอดระยะเวลาของการทดลองแต่อย่างใด ( $P > 0.05$ )

ลายมือชื่อนิสิต

ลายมือชื่ออาจารย์ที่ปรึกษาวิทยานิพนธ์หลัก

Angkanalak Janganan 2010: Molecular Characterization of Complementary DNAs (cDNAs) and Expression Analyses of Caspase-3 and Granzyme Genes in Nile Tilapia (*Oreochromis niloticus* Linn.). Master of Science (Aquaculture), Major Field: Aquaculture, Department of Aquaculture. Thesis Advisor: Mr. Prapansak Srisapoome, Ph.D. 178 pages.

Two full lengths of complementary DNAs (cDNAs) involved in program cell death (apoptosis) (caspase-3 and granzyme genes) of Nile tilapia immune system were discovered by searching in a Nile tilapia cDNA library and 5' Rapid Amplification cDNA Ends techniques. The full-length of a cDNA encoded for Nile tilapia caspase-3 (Casp3-TL) was 2,612 bp containing 5' and 3' untranslated region of 79 and 1,684 bp respectively. Open reading frame (ORF) of this cDNA was identified to be 846 bp or 282 amino acid residues. Structural analysis of Casp-TL revealed that this protein contained prodomian, large subunit and small subunit without a putative hydrophobic leader sequence. Important motifs indicating the caspase-3 characteristics which were found in caspase-3 genes of other organisms were well conserved. Besides, the full length of Nile tilapia granzyme cDNA (Granz-TL) was also cloned and characterized. The Granz-TL consisted of 1,412 bp which donated to 125 and 519 bp of 5' and 3' UTR. The ORF of Granz-TL was 765 bp long and equal to 255 amino acids. Mature protein of Granz-TL was identified to possess 3 different active sites or catalytic triads (His<sub>67</sub>-Asp<sub>110</sub>-Ser<sub>208</sub>) of serine protease signature motifs. Phylogenetic and multiple sequence analyses indicated that Granz-TL was placed at the same group as granzyme A/K of fish and granzyme A and granzyme K of higher vertebrates. Expression analysis by RT-PCR exhibited a very low expression of Casp3-TL transcripts in every determined tissue of a normally experimental fish. On the other words, the highest expression level of Granz-TL was observed in peripheral blood leukocytes (PBLs), while mild expression levels were shown in head kidney, spleen and trunk kidney. No changes in expression levels of Casp3-TL mRNAs were determined in experimental fish injected with viable *Streptococcus agalactiae*. However, highly up-regulated transcripts of Granz-TL mRNA were clearly found in brain, head kidney, spleen and trunk kidney of *S. agalactiae* stimulated fish. Additionally, expression analysis by quantitative real-time RT-PCR also indicated that fish intraperitoneally injected with *S. agalactiae*  $1 \times 10^7$  and  $1 \times 10^9$  CFU/ml were not significantly changed in Casp3-TL mRNAs, but Granz-TL transcriptional levels were obviously up-regulated with 11- and 3-fold changes at hour 24 compared to control *S. agalactiae* uninjected fish ( $P < 0.05$ ). *In vitro* experiment was also carried out, PBLs of Nile tilapia were separately incubated with two different stimuli, *Aeromonas hydrophila* and concanavalin A. Suppressed expression of Casp3-TL was recorded at hour 48 in PBLs exposed to viable *A. hydrophila* and down-regulated was also determined in concanavalin A exposed PBLs at 48 and 72 hours after incubating. Unexpectedly, control PBLs, PBLs together incubated with *A. hydrophila* and concanavalin A were simultaneously exhibited high up-regulated expression of Granz-TL at 48 and 72 hours of experimental period and no significant differences of fold changes were evaluated at every time of quantitative real-time PCR detection ( $P > 0.05$ ).

---

Student's signature

---

Thesis Advisor's signature

/ /

## กิตติกรรมประกาศ

ผู้วิจัยขอกราบขอบพระคุณ อาจารย์ ดร. ประพันธ์ศักดิ์ ศิริยะภูมิ อาจารย์ที่ปรึกษา  
วิทยานิพนธ์หลัก รองศาสตราจารย์ ดร. นนทวิทย์ อารีย์ชัน อาจารย์ที่ปรึกษาวิทยานิพนธ์ร่วม ที่  
กรุณาให้คำปรึกษาที่ดีเสมอมา ทั้งในด้านการเรียน การค้นคว้าวิจัยตลอดจนการแก้ไขตรวจทาน  
วิทยานิพนธ์ฉบับนี้ จนกระทั่งเต็จสมบูรณ์

ขอกราบขอบพระคุณ ผู้ช่วยศาสตราจารย์ ดร. สุริyan ชัญกิจนกิจ อาจารย์ประธานการ  
สอนภาคเปล่าขั้นสุดท้าย น. สพ. คร. ประพฤติเดียว ปะวิษะกุล อาจารย์ผู้ทรงคุณวุฒิภายนอกในการ  
สอนภาคเปล่าขั้นสุดท้าย และผู้ช่วยศาสตราจารย์ ดร. นิติ ชูเชิด อาจารย์ผู้แทนบันทึกวิทยาลัยใน  
การสอนประมวลความรู้

ขอกราบขอบพระคุณ ศาสตราจารย์ ดร. อุทัยรัตน์ ณ นคร เป็นอย่างสูงที่เอื้อเฟื้อ ห้อง  
ปฏิบัติการพันธุศาสตร์สัตว์น้ำ ตลอดจนเครื่องมือและอุปกรณ์ที่จำเป็นในการทำวิจัยเพื่อ  
วิทยานิพนธ์ฉบับนี้

ขอขอบคุณพี่ ๆ เพื่อน ๆ และน้อง ๆ ทุกคนในห้องปฏิบัติการการจัดการสุขภาพสัตว์น้ำ  
ภาควิชาเเพระเลี้ยงสัตว์น้ำทุกท่าน ตลอดจนเพื่อน ๆ มีนกร 52 ทุกคน ที่เคยช่วยเหลือ ให้คำแนะนำ  
และเป็นกำลังใจในการทำวิทยานิพนธ์ให้แก่ข้าพเจ้าเสมอมา

สุดท้ายนี้ขอกราบขอบพระคุณคุณพ่อวิสันต์ คุณแม่สุเมตตา แจ้งอนันต์ และพี่น้องรวมทั้ง  
ทุกคนในครอบครัว ที่เคยให้ความรัก กำลังใจและให้การสนับสนุนในการศึกษาแก่ข้าพเจ้าจน  
สำเร็จลุล่วงด้วยดีตลอดมา

อังคณาลักษณ์ แจ้งอนันต์  
พฤษภาคม 2553

## สารบัญ

หน้า

สารบัญ	(1)
สารบัญตาราง	(2)
สารบัญภาพ	(3)
คำอธิบายสัญลักษณ์และคำย่อ	(7)
คำนำ	1
วัตถุประสงค์	3
การตรวจสอบสาร	4
อุปกรณ์และวิธีการ	38
อุปกรณ์	38
วิธีการ	43
ผลและวิจารณ์	66
ผล	66
วิจารณ์	134
สรุปและข้อเสนอแนะ	153
สรุป	153
ข้อเสนอแนะ	154
เอกสารและสิ่งอ้างอิง	155
ภาคผนวก	173
ประวัติการศึกษาและการทำงาน	178

## สารบัญตาราง

ตารางที่	หน้า
1 ไฟรเมอร์และลำดับนิวคลีโอไฮด์ของไฟรเมอร์ที่ใช้ในการทดลอง	42
2 การเปรียบเทียบความคล้ายคลึงกันของลำดับนิวคลีโอไฮด์ที่สมบูรณ์ของ cDNA ของยีน Caspase-3 ในปลาโนล (Casp3-TL) กับสิ่งมีชีวิตชนิดอื่น ๆ ที่มีค่า E- value สูงสุด 5 อันดับแรก โดยใช้โปรแกรม Blast X	72
3 การเปรียบเทียบโครงสร้างที่เป็น Catalytic domain และบริเวณกรดอะมิโนของตำแหน่งตัด (Active site) ของกลุ่ม Caspase family และยีน Caspase-3 ในปลาโนล (Casp3-TL) กับยีน Caspase-3 ของปลาชนิดต่าง ๆ โดยใช้โปรแกรม PROSITE predictions	74
4 การเปรียบเทียบความคล้ายคลึงกันของลำดับนิวคลีโอไฮด์ที่สมบูรณ์ของ cDNA ของยีน Granzyme ในปลาโนล (Granz-TL) กับสิ่งมีชีวิตชนิดอื่น ๆ ที่มีค่า E-value สูงสุด 5 อันดับแรก โดยใช้โปรแกรม Blast X	81
5 การเปรียบเทียบโครงสร้างที่เป็น Catalytic domain และบริเวณกรดอะมิโนของตำแหน่งตัด (Active site) ของกลุ่ม Serine protease ของยีน Granzyme ในปลาโนล (Granz-TL) กับยีน Granzyme ในปลาชนิดต่าง ๆ โดยใช้โปรแกรม PROSITE predictions	82
6 การเปรียบเทียบความเหมือนและความคล้ายคลึงกันของลำดับนิวคลีโอไฮด์ และลำดับกรดอะมิโนของยีน Caspase-3 ในปลาโนลกับสิ่งมีชีวิตต่าง ๆ	99
7 การเปรียบเทียบความเหมือนและความคล้ายคลึงกันของลำดับนิวคลีโอไฮด์ และลำดับกรดอะมิโนของยีน Granzyme ในปลาโนลกับสิ่งมีชีวิตต่าง ๆ	112

## สารบัญภาพ

ภาพที่	หน้า
1 ลักษณะการเปลี่ยนแปลงของเซลล์ในการตายของเซลล์แบบ Apoptosis	16
2 ปัจจัยต่าง ๆ ที่เป็นตัวกระตุ้นและทำให้เกิดการตายของเซลล์ (Apoptosis)	18
3 การส่งสัญญาณของสารเคมีจากภายในเซลล์ (Intracellular signals) ไปยังไมโต-คอนเดรียที่กระตุ้นให้เกิดการตายของเซลล์แบบ Apoptosis จากการหลังของ Cytochrome C	22
4 โครงสร้างขั้นตอนของ Caspase-3 ในรูป Proenzyme ที่ประกอบด้วย Prodomain ที่อยู่ทางด้านปลาย N-terminal และมีส่วนของ Large subunit ขนาดประมาณ 20 kDa ส่วนของ Small subunit ประมาณ 10 kDa ตำแหน่งที่ถูกตัดบริเวณตำแหน่ง Arginine-9 (D9) หรือ Arginine-28 (D28)	26
5 กลไกการเกิด Apoptosis โดยอาศัย Caspase-3 เป็นตัวรับตัวสุดท้ายใน Cascade ของกลุ่มโปรตีน Caspases	27
6 การจัดกลุ่มของยีน Granzymes ตามโครงสร้างของ Catalytic active site	31
7 กลไกการทำงานของ Granzyme A และ B ในการเกิด Apoptosis ภายในเซลล์ โดยผ่านทาง Cytotoxic T lymphocytes ในกระบวนการ Cell mediated immune responses	34
8 บทบาทของ Granzyme B ในกลไก Apoptosis	35
9 แผนที่ของ DNA พาหะ (Cloning vector) และลำดับนิวคลีโอไทด์ที่อยู่ในตำแหน่ง Polylinker ของ pGEM-T Easy vector	48
10 ขนาดของชิ้น Insert ของ cDNA โคลน HK 115 ภายหลังจากการตัดด้วย酵นไซม์ ตัดตำแหน่ง Xho I และ Eco RI บน Agarose gel โดยที่ M คือ 100 bp DNA Ladder	67
11 แบบแผนการโคลนลำดับนิวคลีโอไทด์ที่สมบูรณ์ของ cDNA ของยีน Caspase-3 ในปลานิล (Casp3-TL)	68
12 ขนาดของชิ้น Insert ของ cDNA โคลน HK 28 ภายหลังจากการตัดด้วย酵นไซม์ ตัดตำแหน่ง Xho I และ Eco RI บน Agarose gel โดยที่ M คือ 100 bp DNA Ladder	69
13 แบบแผนการโคลนลำดับนิวคลีโอไทด์ที่สมบูรณ์ของ cDNA ของยีน Granzyme (Granz-TL) ในปลานิล	70

## สารบัญภาพ (ต่อ)

ภาพที่	หน้า
14 การเปรียบเทียบความคล้ายคลึงของลำดับนิวคลีโอไทด์ที่สมบูรณ์ของ cDNA ของยีน Caspase-3 ของปลา尼ล (Casp3-TL) กับสิ่งมีชีวิตชนิดต่าง ๆ ที่มีรายงานไว้ใน GenBank database โดยใช้โปรแกรม Blast X	71
15 ลำดับนิวคลีโอไทด์ (อักษรແຄබນ) และลำดับกรดอะมิโน (อักษรແຄວล่าง) ที่สมบูรณ์ของ cDNA ของยีน Caspase-3 ในปลา尼ล (Casp3-TL)	76
16 การหาตำแหน่งของ Hydrophobic leader sequence ของ cDNA ของยีน Caspase-3 ในปลา尼ล (Casp3-TL)	77
17 การทำนายโครงสร้างทุติยภูมิของโปรตีนของยีน Caspase-3 ในปลา尼ล (Casp3-TL)	79
18 การเปรียบเทียบความคล้ายคลึงของลำดับนิวคลีโอไทด์ที่สมบูรณ์ของ cDNA ของยีน Granzyme ของปลา尼ล (Granz-TL) กับสิ่งมีชีวิตชนิดต่าง ๆ ที่มีรายงานไว้ใน GenBank database โดยใช้โปรแกรม Blast X	84
19 ลำดับนิวคลีโอไทด์ (อักษรແຄබນ) และลำดับกรดอะมิโน (อักษรແຄວล่าง) ที่สมบูรณ์ของ cDNA ของยีน Granzyme ในปลา尼ล (Granz-TL)	85
20 การหาตำแหน่งของ Hydrophobic leader sequence ของ cDNA ของยีน Granzyme ในปลา尼ล (Granz-TL)	86
21 การทำนายโครงสร้างทุติยภูมิของโปรตีนของยีน Granzyme ในปลา尼ล (Granz-TL)	87
22 การเปรียบเทียบลำดับกรดอะมิโนของยีน Caspase-3 ในปลา尼ลกับลำดับกรดอะมิโนของยีน Caspase-3 ของสิ่งมีชีวิตต่าง ๆ	93
23 การจัดกลุ่มของยีน Caspases ในกลุ่มของปลา แบ่งตามลักษณะของ Domain บริเวณ Prodomain	97
24 โครงสร้างโมเลกุลอย่างจ่างของยีน Caspase-3 ในปลา尼ล (Nile tilapia)	98
25 ความสัมพันธ์ในเชิงวิถีนาการระหว่างลำดับกรดอะมิโนของยีน Caspase-3 ในปลา尼ลกับยีน Caspase-3 ของสิ่งมีชีวิตต่าง ๆ ที่ได้รายงานไว้ใน Genbank database	103

## สารบัญภาพ (ต่อ)

ภาพที่	หน้า
26 การเปรียบเทียบลำดับกรดอะมิโนของยีน Granzyme ของปลาณิลกับลำดับกรดอะมิโนของยีน Granzyme ของสั่งมีชีวิตต่าง ๆ	108
27 ความสัมพันธ์ในเชิงวิถุตนาการระหว่างลำดับกรดอะมิโน (Mature protein) ของยีน Granzyme ในปลาณิล กับยีน Granzyme ของสั่งมีชีวิตต่าง ๆ ที่ได้รายงานไว้ใน GenBank database	116
28 การแสดงออกของยีน Caspase-3 ในปลาณิล	118
29 การแสดงออกของยีน Granzyme ในปลาณิล	119
30 Amplification plot ในช่วง Exponential phase ของปฏิกิริยาจากการตรวจจับสัญญาณเรืองแสง (SYBR Green I Dye) ของ Plasmid ที่ทราบความเข้มข้นที่แน่นอน (Copy number เท่ากับ $10^8$ , $10^7$ , $10^6$ และ $10^5$ ) ของยีน Caspase-3 ในปลาณิล	122
31 Amplification plot ในช่วง Exponential phase ของปฏิกิริยาจากการตรวจจับสัญญาณเรืองแสง (SYBR Green I Dye) ของ Plasmid ที่ทราบความเข้มข้นที่แน่นอน (Copy number เท่ากับ $10^8$ , $10^7$ , $10^6$ และ $10^5$ ) ของยีน Granzyme ในปลาณิล	122
32 Amplification plot ในช่วง Exponential phase ของปฏิกิริยาจากการตรวจจับสัญญาณเรืองแสง (SYBR Green I Dye) ของ Plasmid ที่ทราบความเข้มข้นที่แน่นอน (Copy number เท่ากับ $10^8$ , $10^7$ , $10^6$ และ $10^5$ ) ของยีน $\beta$ -actin ในปลาณิล	123
33 Dissociation curve แสดงค่า Melting temperature ของ Plasmid ที่ทราบความเข้มข้นที่แน่นอนของยีน Caspase-3 ในปลาณิลโดยใช้เทคนิค Quantitative real-time PCR	123
34 Dissociation curve แสดงค่า Melting temperature ของ Plasmid ที่ทราบความเข้มข้นที่แน่นอนของยีน Granzyme ในปลาณิลโดยใช้เทคนิค Quantitative real-time PCR	124

## สารบัญภาพ (ต่อ)

ภาพที่	หน้า
35 Dissociation curve และค่า Melting temperature ของ Plasmid ที่ทราบความเข้มข้นที่แน่นอนของ $\beta$ -actin ในปลาโนล โดยใช้เทคนิค Quantitative real-time PCR	124
36 Standard curve ที่ใช้ในการศึกษาการแสดงออกของยีน Caspase-3 ในปลาโนล โดยใช้เทคนิค Quantitative real-time PCR	125
37 Standard curve ที่ใช้ในการศึกษาการแสดงออกของยีน Granzyme ในปลาโนล โดยใช้เทคนิค Quantitative real-time PCR	125
38 Standard curve ที่ใช้ในการศึกษาการแสดงออกของยีน $\beta$ -actin ในปลาโนล โดยใช้เทคนิค Quantitative real-time PCR	126
39 การแสดงออกของยีน Caspase-3 ในปลาโนลภายหลังจากการฉีดกระตุ้นด้วยเชื้อ <i>S. agalactiae</i> ที่ความเข้มข้นเท่ากับ $1 \times 10^7$ และ $1 \times 10^9$ CFU ต่อมิลลิลิตร	127
40 การแสดงออกของยีน Granzyme ในปลาโนลภายหลังจากการฉีดกระตุ้นด้วยเชื้อ <i>S. agalactiae</i> ที่ความเข้มข้นเท่ากับ $1 \times 10^7$ และ $1 \times 10^9$ CFU ต่อมิลลิลิตร	129
41 การแสดงออกของยีน Caspase-3 ในเซลล์เม็ดเลือดขาวในกระแสเลือด ในหลอดทดลอง ภายหลังจากการกระตุ้นด้วยเชื้อ <i>A. hydrophila</i> และ Concanavalin A	131
42 การแสดงออกของยีน Granzyme ในเซลล์เม็ดเลือดขาวในกระแสเลือด ในหลอดทดลอง ภายหลังจากการกระตุ้นด้วยเชื้อ <i>A. hydrophila</i> และ Concanavalin A	133
43 การเปรียบเทียบลำดับกรดอะมิโนของยีน Granz-TL กับลำดับกรดอะมิโนของยีน Granzyme-1 ของปลาโนล	141

## คำอธิบายสัญลักษณ์และคำย่อ

$A_{560}$	=	Absorbance at 560 nanometre
Ala (A)	=	Alanine
Arg (R)	=	Arginine
Asn (N)	=	Asparagine
Asp (D)	=	Aspartic acid
bp	=	Base pair
°C	=	Degree celcius
cDNA	=	Complementary DNA
Cys (C)	=	Cysteine
CFU	=	Colony Forming Unit
Da	=	Dalton
DNA	=	Deoxyribonucleic acid
dNTP	=	Deoxynucleotide tri-phosphate
Glu (E)	=	Glutamic acid
Gln (Q)	=	Glutamine
Gly (G)	=	Glycine
His (H)	=	Histidine
Ile (I)	=	Isoleucine
Leu (L)	=	Leucine
Lys (K)	=	Lysine
M	=	Molar
mM	=	Millimolar
Met (M)	=	Methionine
ml	=	Millilitre
O.D.	=	Optical density
PCR	=	Polymerase Chain Reaction
Phe (F)	=	Phenylalanine
Pro (P)	=	Proline
RNA	=	Ribonucleic acid

### คำอธิบายสัญลักษณ์และคำย่อ (ต่อ)

Ser (S)	=	Serine
Thr (T)	=	Threonine
Trp (W)	=	Tryptophan
Tyr (Y)	=	Tyrosine
$\mu$ M	=	Micromolar
$\mu$ g	=	Microgram
$\mu$ l	=	Microlitre
Val (V)	=	Valine
Xaa (X)	=	Unspecified / unknown amino acid

**การศึกษาโครงสร้างทางอณูวิทยาของ Complementary DNAs (cDNAs) และการ  
แสดงออกของยีน Caspase-3 และ Granzyme ในปลา尼ล  
(*Oreochromis niloticus* Linn.)**

**Molecular Characterization of Complementary DNAs (cDNAs) and Expression  
Analyses of Caspase-3 and Granzyme Genes in Nile Tilapia  
(*Oreochromis niloticus* Linn.)**

**คำนำ**

ปลา尼ล เป็นปลาน้ำจืดที่นิยมเลี้ยงและบริโภคกันมากในประเทศไทย และพบว่าตั้งแต่ปี พ.ศ. 2532 เป็นต้นมา ผลผลิตปลา尼ลได้ร่วงความเป็นอันดับหนึ่งมาโดยตลอด เมื่อเปรียบเทียบกับ ปลานำเข้าชนิดอื่น ๆ (ยุพินท์ และพันธ์ศักดิ์, 2543) ปัจจุบันพบว่าปลาชนิดนี้นิยมเลี้ยงกันอย่างแพร่หลายไปทั่วประเทศ โดยเฉพาะในภาคกลางและภาคตะวันออกเฉียงเหนือ เนื่องจากมีเนื้อนุ่มและอ่อน เก็บน้ำหรือแม่น้ำลำคลองเป็นจำนวนมาก ซึ่งเป็นพื้นที่เหมาะสมแก่การเลี้ยงทั้งในกระชังและในบ่อ ดิน (ศรี, 2542) อย่างไรก็ตามตั้งแต่ปลายปี พ.ศ. 2544 มีการแพร่ระบาดของโรคในปลา尼ลบริเวณ พื้นที่ในภาคตะวันออกเฉียงเหนือรวมถึงพื้นที่การเลี้ยงอื่น ๆ ทั่วทั้งประเทศไทย ซึ่งก่อให้เกิดความเสียหายต่อเศรษฐกิจเป็นอย่างมาก (นิลุบล และคณะ, 2545) โดยลักษณะอาการภายนอกที่สามารถพบได้คือปลาเสียการทรงตัว ว่ายน้ำคง坐ร่วงตัว หรือลอกนิ่งที่ผิวน้ำ ลำตัวมีสีคล้ำ ตาบุ๋นและโปนข้างเดียวหรือสองข้าง มีการตกลงดับบริเวณแผ่นปีดเหงือกและโคนครีบ รวมทั้งมีแผลบริเวณลำตัว (ชาญณรงค์, 2550) ซึ่งลักษณะอาการดังกล่าวเป็นอาการของโรค Streptococcosis ซึ่งทราบภายหลังว่าเกิดจากแบคทีเรียแกรมบวกชนิด *Streptococcus agalactiae* เพื่อเป็นการแก้ไขปัญหาดังกล่าว เกษตรกรส่วนใหญ่ได้นำมาใช้ยาปฏิชีวนะและสารเคมีกันอย่างกว้างขวาง ซึ่งนอกจากจะใช้ไม่ได้ผลแล้ว ยังได้ส่งผลกระทบทั้งต่อสิ่งแวดล้อมและผู้บริโภคที่ได้รับยาที่ตกค้างในตัวปลาอีกด้วย ดังนั้นการพัฒนาวัคซีนก็เป็นอีกทางเลือกหนึ่งที่จะสามารถลดผลกระทบที่เกิดขึ้นดังกล่าวได้อย่างมีประสิทธิภาพ โดยในปัจจุบันเป็นที่ยอมรับกันแล้วในสัตวแพทย์นิค รวมทั้งปลาที่ใช้วัคซีนสามารถป้องกันการเกิดโรคได้เป็นอย่างดี อย่างไรก็ตามเป็นที่น่าสังเกตว่าในสัตว์น้ำรวมทั้งปลาน้ำดื่มน้ำ การพัฒนาวัคซีนถือได้ว่ามีความก้าวหน้าอย่างกว่าสัตว์ในกลุ่มน้ำมาก สาเหตุที่เป็นอุปสรรคสำคัญ ประการหนึ่งนั้นก็คือการขาดความรู้ความเข้าใจในกลไกและระบบการตอบสนองทางภูมิคุ้มกันของปลาตัวนั้นเอง

ดังนั้นการศึกษาในครั้งนี้จึงมีวัตถุประสงค์เพื่อศึกษาโครงสร้างทางอนุวิทยาของ Complementary DNAs (cDNAs) และการแสดงออกของยีน Caspase-3 และ Granzyme ในปลาโนลหลังจากกระตุ้นด้วยเชื้อโรคหรือสารกระตุ้นอื่น ๆ โดยยืนทึ้งส่องชนิดนี้มีหน้าที่เกี่ยวข้องกับระบบภูมิคุ้มกันโดยผ่านเซลล์ (Cell-mediated immunity) ซึ่งเป็นภูมิคุ้มกันอย่างจำเพาะที่ใช้เซลล์เม็ดลือขาวบางชนิด เป็นตัวทำลายสิ่งแผลกปลอมหรือเชื้อโรค โดยเฉพาะการเข้าทำลายของเชื้อโรคที่ก่อให้เกิดโรคที่อยู่ภายในเซลล์ ซึ่งระบบภูมิคุ้มกันโดยผ่านสารน้ำหรือโปรตีนในน้ำเลือด (Humoral immunity) ไม่สามารถเข้าทำลายได้ ผลที่ได้จากการศึกษาในครั้งนี้ จะสามารถทำให้เกิดความรู้ความเข้าใจต่อการตอบสนองของระบบภูมิคุ้มกันในปานิชเพิ่มมากขึ้น และสามารถนำไปใช้เป็นข้อมูลพื้นฐานในการหาแนวทางป้องกัน ควบคุมและแก้ไขปัญหาของโรคที่เกิดขึ้นกับปานิชได้อย่างมีประสิทธิภาพต่อไปในอนาคต

## วัตถุประสงค์

1. เพื่อทำการโคลนและศึกษาคุณลักษณะของลำดับนิวคลีโอไทด์ที่สมบูรณ์ของ Complementary DNAs (cDNAs) ของยีน Caspase-3 และ Granzyme ในปลาโนï
2. เพื่อศึกษารูปแบบการแสดงออกของยีน Caspase-3 และ Granzyme ในปลาโนï ในสภาวะปกติและภายหลังจากการกระตุ้นด้วยเชื้อ *Streptococcus agalactiae* ด้วยเทคนิค Reverse Transcription Polymerase Chain Reaction (RT-PCR)
3. เพื่อศึกษาการแสดงออกของยีน Caspase-3 และ Granzyme ในปลาโนï ในสัตว์ทดลอง (*In vivo*) และในหลอดทดลอง (*In vitro*) ภายหลังจากการกระตุ้นด้วยเชื้อโรคต่าง ๆ และสารกระตุ้นชนิดต่าง ๆ ด้วยเทคนิค Quantitative real-time PCR

## การตรวจเอกสาร

### 1. ปลา尼ล

ปลา尼ลเป็นปลา�้าี้ดชนิดหนึ่ง จัดอยู่ในครอบครัว Cichlidae มีชื่อเรียกในภาษาอังกฤษว่า Nile tilapia และชื่อวิทยาศาสตร์เรียกว่า *Oreochromis niloticus* ซึ่งชื่อเดิมคือ *Tilapia nilotica* โดยสามารถจัดจำแนกกลุ่มนะทางอนุกรมวิธานของปลา尼ลได้ดังนี้

Kingdom	Animalia
Phylum	Chordata
Class	Actinopterygii
Order	Perciformes
Family	Cichlidae
Genus	<i>Oreochromis</i>
Species	<i>niloticus</i> (Nelson, 1994)

#### 1.1 ลักษณะทั่วไป การแพร่กระจายและพฤติกรรมของปลา尼ล

ปลา尼ลเป็นปลา�้าี้ดที่อยู่ใน Order Perciformes มีถิ่นกำเนิดเดิมอยู่ในทวีปแอฟริกา และลุ่มน้ำเจ้าแม่นาย ปัจจุบันพัฒนาการแพร่กระจายทั่วไปตามหนองบึง และทะเลสาบ ในประเทศไทย ชูคาน ยูกันดา แทนแคนยัก และภาคพื้นเอเชีย เช่น ญี่ปุ่น ไทย อินโดนีเซีย พิลิปปินส์ และอิสราเอล (วารพงษ์, 2545) ซึ่งปลาชนิดนี้เจริญเติบโตเร็วและเลี้ยงง่าย ทนทานที่จะนำมาเพาะเลี้ยงเป็นอย่างดี จึงได้รับความนิยมและเลี้ยงกันอย่างแพร่หลาย

ปลา尼ลถูกนำเข้ามาในประเทศไทยครั้งแรก โดยเจ้าชายอาเกอร์โล เมื่อครั้งยังดำรงพระอิสริยศมกุฎราชกุมารแห่งประเทศไทยนั่นเอง ซึ่งทรงจัดส่งเข้ามาทุ่งเกล้าฯ ถวายแด่พระบาทสมเด็จพระเจ้าอยู่หัวภูมิพลอดุลยเดช เมื่อวันที่ 25 มีนาคม 2508 ขนาดความยาวเฉลี่ยประมาณ 9 เซนติเมตร จำนวน 50 ตัว ซึ่งพระบาทสมเด็จพระเจ้าอยู่หัวทรงเพาะเลี้ยงขยายพันธุ์ในสวนจิตรลดา และทรงโปรดเกล้าให้กรมประมงนำไปเพาะขยายพันธุ์และเผยแพร่ให้แก่เกษตรกรทั่วประเทศไทย ได้เลี้ยงกันมาจนถึงปัจจุบัน (ศิลปพร, 2544)

ปลา尼ล (*Oreochromis niloticus* Linn.) มีลักษณะเด่นคือ ลำตัวสีเขียวปนน้ำตาล ลักษณะทั่วไปจะมีรูปร่างคล้ายปลาหมกเทศ แต่แตกต่างกันที่ปลานิลมีริมฝีปากบนและล่าง เสมอกัน บริเวณแก้มมีเกล็ด 4 顆 และ มีลายสีดำและจุดสีขาวสลับกันไปบริเวณครึ่งหลัง ครีบก้น ตรงกลางเกล็ดมีสีเข้ม มีลายดำพาดขวางตามลำตัว (มาตรฐาน, 2539) ปลา尼ลจะสมบูรณ์พันธุ์เมื่อมีอายุ ประมาณ 4 เดือน โดยมีความยาวเฉลี่ยประมาณ 11 เซนติเมตร ซึ่งปลาชนิดนี้จะมีอัตราการ เจริญเติบโตสูง เลี้ยงง่าย แข็งแรง และอุดหนาต่อสภาพแวดล้อม ได้ดี สามารถผสมพันธุ์ได้ตลอดทั้งปี ใช้เวลา 2-3 เดือนต่อครั้ง แต่ถ้าอาหารเพียงพอและเหมาะสม กายในระยะเวลาเพียง 1 ปี จะผสม พันธุ์ได้ถึง 6 ครั้ง ปลาชนิดนี้ สามารถกินอาหารได้ทั้งพืชและสัตว์ (Omnivorous) หากกล้ายชนิด เช่น พากไวน้ำ ตะไคร่น้ำ ตัวอ่อนของแมลง เป็นต้น (เจยภู, 2540) ปลา尼ลสามารถอาศัยอยู่ได้ ในช่วงการเปลี่ยนแปลงอุณหภูมิที่ค่อนข้างกว้าง ซึ่งอยู่ระหว่าง 11-42 องศาเซลเซียส และในช่วง ของ pH ระหว่าง 4-11 แต่ช่วงอุณหภูมิและ pH ที่เหมาะสมต่อการเจริญเติบโตที่สุดจะอยู่ระหว่าง 25-35 องศาเซลเซียส และ 7-10 ตามลำดับ โดยปลา尼ลสามารถทนต่อภาวะการละลายของ อออกซิเจนต่ำได้ถึง 0.1 มิลลิกรัมต่อลิตร ในช่วงเวลาไม่นานนัก แต่ถ้าปริมาณการละลายของ อออกซิเจนต่ำกว่า 0.6 มิลลิกรัมต่อลิตร จะทำให้เกิดผลเสียต่อการเจริญเติบโตของปลาได้ (วรพงษ์, 2545)

## 1.2 โรคที่พบในปลา尼ล

ปลา尼ลเป็นปลาที่ตลาดทั้งในและต่างประเทศมีความต้องการสูงขึ้นตามแนวโน้มของ จำนวนประชากรที่เพิ่มขึ้น ดังนั้นเกษตรกรส่วนใหญ่จึงเร่งเพิ่มกำลังการผลิตต่อหน่วยพื้นที่ให้ สูงขึ้น โดยการเปลี่ยนแปลงระบบการเลี้ยงเป็นระบบหนาแน่นคือ มีการปล่อยปลาในอัตราที่ หนาแน่นสูง ทั้งการเลี้ยงในบ่อคินและเลี้ยงในกระชัง จึงเป็นสาเหตุที่ทำให้สิ่งแวดล้อมในบ่อเลี้ยง ไม่เหมาะสมต่อการอยู่อาศัย ทำให้ปลาเกิดความเครียดและอ่อนแ้อย่างส่งผลกระทบให้เกิดโรคได้ง่ายขึ้น ตามไปด้วย (นนทวิทย์, 2547) โดยโรคที่สำคัญได้แก่

### 1.2.1 โรคที่มีสาเหตุมาจากปรสิตภายนอก

ปรสิตภายนอกที่ทำอันตรายต่อปลา尼ลมีหลายชนิด โดยปรสิตจะเข้าหากใน บริเวณเหงือก ผิวหนังและครีบ ทำให้ปลาเกิดความระคายเคืองเกิดบาดแผล ส่วนพอกที่เกาะ บริเวณหัวจะทำให้มีผลต่อระบบการแลกเปลี่ยนกําช ทำให้ปลาเกิดปัญหาขาดออกซิเจนได้ โดย มีชนิดของปรสิตภายนอก ดังนี้คือ

### 1.2.1.1 โปรโตซัว (Protozoa) พยาธิในกลุ่มนี้จะสร้างความเสียหายในลูกปลา

กลามากกว่าปลาขนาดใหญ่ ชนิดของ โปรโตซัวที่พบบ่อย ได้แก่ *Trichodina* sp., *Ichthyophthirius multifilis*, *Epistylis* sp., *Scyphidia* sp., *Apilosoma* sp. และ *Ichtyobodo* sp. เป็นต้น โดย โปรโตซัว กลุ่มนี้ สามารถสร้างความรำคาญให้ปลา เนื่องจากการเกิดกร่อนของผิวน้ำหนังหรือเนื้อเยื่อ ซึ่งจะพบได้ในบริเวณที่ปรสิตเหล่านี้ยึดเกาะ ปลาจึงแสดงอาการว่ายน้ำโดยถูคล้ำตัวกับข้างบ่อหรือวัตถุในน้ำ ทำให้ผิวน้ำหนังเป็นแพลงและถลอก ส่งผลให้เชื้อโรคชนิดอื่น เช่น เชื้อแบคทีเรียเข้าสู่ร่างกายได้ง่าย

### 1.2.1.2 ปลิงไส (Monogenea) เป็นปรสิตภายนอก ชนิดที่ก่อให้เกิดโรคได้แก่

*Gyrodactylus* sp. และ *Dactylogyrus* sp. ปรสิตกลุ่มนี้จะมีตั้งแต่ขนาดเล็กที่มีองค์วิทยาเปล่าไม่เห็นจนถึงขนาดใหญ่มากกว่า 3 มิลลิเมตร โดยวิวัฒนาที่พบปรสิตกลุ่มนี้มากที่สุดคือ เหงือก เนื่องจาก เป็นบริเวณที่เหมาะสมและเป็นแหล่งแผลเปลี่ยนของออกซิเจนของปลา ซึ่งมีความสำคัญในการ ดำรงชีพของปรสิต เช่นกัน (Lindenstrøm et al., 2004) จากนั้นจึงคุกคินเยื่อเมือกและของเหลวจาก เชลล์ในตัวปลา ทำให้เกิดอันตรายต่อเนื้อเยื่อบริเวณที่เกาะ ส่งผลต่อเนื่องให้ให้จุลินทรีย์อื่น ๆ สามารถเข้าไปในร่างกายทางบริเวณที่เกิดบาดแผล ได้เช่นกัน

### 1.2.1.3 ครัสเตเชียน (Crustacean) ได้แก่ *Argulus* sp., *Ergasilus* sp., *Lernaea* sp.

และ *Lamproglena* sp. ปรสิตในกลุ่มนี้ จะใช้ส่วนของอวัยวะที่มีปลายแหลมฟังเข้าไปในเนื้อปลา เพื่อช่วยในการยึดเกาะและหรือกินเซลล์หรือเลือดของปลาเป็นอาหาร ซึ่งจะทำให้เกิดอันตรายต่อ ปลาอย่างรุนแรง ก่อให้เกิดบาดแผลขนาดใหญ่และสูญเสียเลือด ได้ ถ้ามีในปริมาณมากจะทำให้ปลา ตายอย่างรวดเร็ว ปรสิตกลุ่มนี้มักพบในป้านิลที่เลี้ยงในกระชังเป็นส่วนใหญ่ (คณิต และอนุชา, 2551)

### 1.2.2 โรคที่มีสาเหตุมาจากปรสิตภายใน

ปรสิตกลุ่มนี้มักพบอยู่ในทางเดินอาหารและไม่ทำอันตรายต่อปลามากนัก ซึ่ง ได้แก่

#### 1.2.2.1 โปรโตซัว (Protozoa) ชนิดที่พบในลำไส้ ได้แก่ *Eimeria* sp. ปรสิต

ชนิดนี้ ถ้ามีเป็นจำนวนมาก จะทำให้ปลาพอมได้ ส่วนอีกชนิดพนในระบบหมุนเวียนโลหิต ได้แก่ *Trypanosoma* sp. ปรสิตชนิดนี้แม้จะตรวจพบในระบบเลือดของป้านิลแต่ยังไม่มีรายงานแน่ชัดว่า ทำให้ป้านิลป่วยหรือตายได้

1.2.2.2 เมตาซัว (Metazoa) ได้แก่กลุ่มของ Digene, Trematodes, Cestodes, Nematodes และ Acanthocephalan โดยลักษณะการก่อโรคของปรสิตเหล่านี้พบได้ในอวัยวะภายใน เช่น ลำไส้ ทางเดินอาหาร กระเพาะอาหาร ถุงน้ำดี กระเพาะปัสสาวะ เลือด ตับ เป็นต้น และมีบางชนิดที่ฝังตัวอยู่ในกล้ามเนื้อ ทำให้เกิดเป็นตุ่มหรือก้อน (Cyst) ที่ปูดโป่งขึ้นทั่วลำตัว ถ้าพบในปริมาณไม่มากนักและเกิดในปลาตัวเต็มวัย จะมีผลกระทบในระยะยาว เช่น ทำให้ปลาพอมوتช่า ทำให้ปลามีน้ำหนักน้อย เนื่องจากปรสิตเหล่านี้จะไปขัดขวางระบบการดูดซึมสารอาหาร ถ้ามีปรสิตชนิดนี้ในปริมาณมากและอาศัยอยู่บริเวณกล้ามเนื้อหรือผิวหนัง จะทำให้เกิดอาการระคายเคือง (จิตพิร, 2542)

### 1.2.3 โรคที่มีสาเหตุมาจากแบคทีเรีย

1.2.3.1 โรคตัวดำ ที่เกิดจากแบคทีเรีย *Flexibacter columnaris* พบในปลา尼ลที่เลี้ยงน้ำจืด ส่วนปลา尼ลที่เลี้ยงน้ำกร่อยจะเป็นชนิด *F. maritimus* โรคนี้มักพบในช่วงที่อากาศมีการเปลี่ยนแปลงกะทันหัน เช่น ในช่วงอากาศเย็น ในช่วงฝนตกหนักและหลังจากการขนย้ายปลา ปลาที่พบว่ามีอาการตัวดำมักตายในเวลาอันรวดเร็ว ถ้าไม่รีบทำการรักษาให้ทันท่วงที อัตราการตายอาจสูงถึง 80-100 เปอร์เซ็นต์ ภายในเวลา 24-48 ชั่วโมง

1.2.3.2 โรคติดเชื้อแบคทีเรีย *Aeromonas hydrophila* เป็นเชื้อก่อโรคที่เรียกว่า Motile aeromonas disease เชื้อ *A. hydrophila* เป็นแบคทีเรียแกรมลบ รูปร่างเป็นแท่งสั้นตรงเคลื่อนที่ได้โดยใช้ Flagella เจริญได้ทั้งในสภาพมีและไม่มีออกซิเจน การติดเชื้อแบคทีเรียนี้เป็นการติดเชื้อในระบบภายใน โดยที่เชื้อจะเข้าสู่ปลาทางปาก ทางผิวหนังหรือเข้าสู่ที่เกิดบาดแผล ในสภาพปกติเชื้อจะไม่ทำให้เกิดโรค แต่เมื่อปลาอ่อนแอเชื้อจะเพิ่มจำนวนในร่างกายของปลาและบริเวณที่เข้าไปต่อจากนั้นเชื้อก็แพร่เข้าสู่กระแสเลือด ซึ่งก่อให้เกิดอาการของโรคดังนี้คือ ปลาจะมีบาดแผลตามลำตัว ครีบกร่อน ตกเลือดหรือมีแพลทลูม ท้องบวมมีเลือดปนน้ำเหลืองในช่องท้อง ตับไตและม้ามโตผิดปกติ เป็นต้น (ชาญณรงค์, 2550)

1.2.3.3 โรคสเตรปโตโคคโคซิส (Streptococcosis) ที่เกิดจากเชื้อแบคทีเรีย *Streptococcus* spp. มีการแพร่กระจายอย่างกว้างขวางทั่วโลกในปลาหลายชนิดได้แก่ ปลาเทราท์ (*Oncorhynchus mykiss*), ปลาคาร์ฟ (*Cyprinus carpio*) และปลา尼ลลูกผสม (*O. aureus x O. niloticus*) โดยเฉพาะในระบบการเลี้ยงปลาแบบหนาแน่น ซึ่งโรคนี้ทำให้เกิดความสูญเสียต่ออุตสาหกรรมการเพาะเลี้ยงปลาของโลกคิดเป็นมูลค่าไม่ต่ำกว่า 150 ล้านดอลลาร์สหรัฐอเมริกาต่อปี

เชื้อ *Streptococcus* spp. ที่ก่อโรคในปลา มีอยู่หลายชนิด โดยสามารถแบ่งออกได้เป็น 2 กลุ่ม ด้วยกัน กลุ่มแรกคือ Cool-water streptococcosis คือเชื้อ *Streptococcus* spp. ที่ก่อโรคในสภาวะที่น้ำมีอุณหภูมิต่ำกว่า 15 องศาเซลเซียส ได้แก่ เชื้อแบคทีเรีย *Lactococcus piscium*, *Vagococcus salmoninarum* และ *Carnobacterium piscicola* กลุ่มนี้สองคือ Warm-water streptococcosis คือเชื้อ *Streptococcus* spp. ที่ก่อโรคในสภาวะที่น้ำมีอุณหภูมิสูงกว่า 15 องศาเซลเซียส ซึ่งได้แก่ เชื้อแบคทีเรีย *Lactococcus garvieae*, *Streptococcus parauberis*, *Streptococcus iniae* และ *Streptococcus agalactiae* (วิศวนุ และคณะ, 2550) การแพร่ระบาดของโรคที่ติดเชื้อสเตรปโตโคค-โโคซิสในประเทศไทย พนทั้งการเลี้ยงปลานิลในบ่อคืนและในกระชังทางภาคตะวันออกเฉียงเหนือ (นิลุบล และคณะ, 2545) และเช่นเดียวกับ Areechon et al. (2005) ได้รายงานการแพร่ระบาดของโรคชนิดนี้ในการเลี้ยงปลานิลแบบภาคกลาง รวมทั้งในเขตพื้นที่ภาคใต้ด้วย (นเรศ และคณะ, 2548)

เชื้อแบคทีเรียสกุล *Streptococcus* sp. ที่ก่อให้เกิดโรคในปลาส่วนใหญ่มีความสามารถในการทำให้เม็ดเลือดแดงแตก ที่แตกต่างกัน โดยสามารถแบ่งออกเป็น 3 แบบ ได้แก่ การทำให้เม็ดเลือดแดงแตกอย่างสมบูรณ์ ( $\beta$ -haemolytic) การทำให้เม็ดเลือดแดงแตกได้บางส่วน ( $\alpha$ -haemolytic) และชนิดที่ไม่สามารถทำให้เม็ดเลือดแดงแตกได้ ( $\gamma$ -haemolytic หรือ Non-haemolytic) ซึ่งลักษณะดังกล่าวเป็นสาเหตุสำคัญในการทำให้ปลาตายได้ (นงลักษณ์, 2544) เชื้อในสกุลนี้เป็นแบคทีเรียแกรมบวก ซึ่งก่อให้เกิดโรคทั้งแบบเรื้อรังและเฉียบพลัน โดยทำให้เกิดการอักเสบและเกิดบ้าดแพลตามอวัยวะต่าง ๆ ของร่างกาย (Inflammatory และ Granulomatous lesions) การแพร่กระจายเข้าสู่ตัวปลาเกิดขึ้น โดยการสัมผัสของเสียจากปลาที่ป่วย ซึ่งลักษณะอาการของโรคจะแตกต่างกันไปตามชนิดของปลา แต่จะมีลักษณะร่วมที่เห็นได้ชัดเจนคือจะวายน้ำเชื่องช้ำ สีตัวเข้มขึ้น ตาโปนตกเลือดหรือขาวขุ่น มีการตกรถเลือดบนแผ่นปิดหนึ่งชั้น โดยเฉพาะเมื่อปลาที่ติดเชื้อแล้วตาย พบจะไม่พบอาการภายในออกให้เห็น จะมีเพียงบาดแผลที่เกิดขึ้นเพียงเล็กน้อยเท่านั้น ซึ่งส่วนใหญ่จะกล้ายเป็นแพลงเปิดมีขอบนูนและมีสีเข้มรอบ ๆ มักพบบริเวณส่วนบนของลำตัว แผ่นปิดหนึ่งชั้น รอบปากหรือบริเวณช่องขับถ่ายของเสีย ปลาที่ติดเชื้อแบคทีเรีย *Streptococcus* นี้ในระยะเริ่มแรกจะมีอาการตาโปน และมีเลือดคั่งหรือตกรถเลือดในตาบริเวณ Retina ซึ่งจะลุก茫茫จนกระแท้ เป็นแพลงเปิดที่กระขาดตาในที่สุด และอาจพบเลือดคั่งในเส้นเลือดบริเวณหนึ่งชั้น รวมตัวกันอยู่ในบริเวณนี้เป็นจำนวนมาก นอกจากนี้ยังพบการตายของเซลล์และเนื้อเยื่อของหนังหนึ่งชั้น ในลำไส้จะมีเลือดคั่ง เยื่อบุชั้น Mucosa หลุดออกมามากอยู่ภายในช่องว่าง ovarian ภายในที่ได้รับผลกระทบมากที่สุดคือ น้ำมันและตับ รองลงมาคือหัวใจและไต บริเวณตับของปลาที่ป่วยอาจพบการตายของเซลล์เกิดขึ้น น้ำมันโตและมีสีเขียว สำหรับปลานิลซึ่งเป็นปลาที่มีความไวต่อ

โรคนี้ จะมีอาการภายนอกที่สังเกตเห็นได้ชัดเจนคือ ตาบโคน ห้องบวนน้ำ ซึ่งภายในมีของเหลว รอบช่องบับถ่ายของเสียอักเสบและบวมแดง ที่บริเวณคอดทางจะบวม ถ้ากดจะนิ่มเหลา เมื่อใช้มีดกรีดลงไปจะมีหนองสีเหลืองขุ่นทะลักออกมาน้ำ การบวมจะพบได้ทั่วไปตามลำตัว และเมื่อผ่าดูจะพบหนองภายในกล้ามเนื้อ โดยลักษณะอาการดังกล่าวจะพบมากในปลาขนาดกลางหรือใกล้ระยะที่กำลังจะจับขาย (นิลุบล, 2544)

#### 1.2.4 โรคที่เกิดจากเชื้อร้านในปานิล

เชื้อรากที่เป็นสาเหตุของโรคที่พบได้ส่วนใหญ่ได้แก่ *Aphanomyces* sp. และ *Achlya* sp. ลักษณะอาการที่สำคัญของโรคนี้คือทำให้ปลาเกิดแพลงและบริเวณแพลงจะมีเส้นสีขาวคล้ายบนขี้ฟูเป็นกระๆ ปลาป่วยจะกินอาหารน้อยลง ซึ่งเชื้อรากกลุ่มนี้มีลักษณะคล้ายราน้ำ อาศัยอยู่ในแหล่งน้ำทั่วไป เจริญเติบโตได้ดีที่ช่วงอุณหภูมิ 20-25 องศาเซลเซียส โดยคุณสมบัติที่สำคัญของเชื้อรากกลุ่มนี้คือ สามารถชนกันเข้าไปในกล้ามเนื้อ ทะลุเข้าไปถึงอวัยวะภายในของปลาได้ ก่อให้การเกิดโรคค่อนข้างลับซับซ้อน และบางครั้งอาจพบเชื้อโรคชนิดอื่น ๆ เช่น ปรสิตแบบที่เรียกว่า ไพรส์ร่วมด้วย ส่งผลให้ความรุนแรงของโรคเพิ่มมากขึ้น (กิจการ และคณะ, 2539)

### 2. ระบบภูมิคุ้มกันของปลา

ปลาเป็นสัตว์มีกระดูกสันหลังที่มีจำนวนมากที่สุด เมื่อเปรียบเทียบกับสัตว์มีกระดูกสันหลังอื่น ๆ โดยมีความหลากหลายถึง 24,000 ชนิด (วิน, 2548) และยังถูกจัดเป็นสัตว์มีกระดูกสันหลัง (Vertebrate) ขั้นต่ำสุด ที่มีระบบภูมิคุ้มกันที่พัฒนาค้ำยคลึงกับสัตว์มีกระดูกสันหลังชั้นสูง เช่น สัตว์เลี้ยงลูกด้วยนม (Mammals) ในหลาย ๆ ส่วน โดยสามารถแบ่งระบบภูมิคุ้มกันของปลาออกเป็น 2 ส่วนใหญ่ ๆ ดังนี้คือ

#### 2.1 ระบบภูมิคุ้มกันที่มีมาตั้งแต่เกิด (Innate immunity)

ปลากระดูกแข็งเป็นสิ่งมีชีวิตที่พบอาศัยอยู่ได้ทั้งในน้ำจืดและน้ำเค็ม ระบบภูมิคุ้มกันแบบ Innate immunity ของสัตว์ในกลุ่มนี้ถือได้ว่ามีความสำคัญต่อความอยู่รอดอย่างมาก เนื่องจากปลาทั้งหลายอาศัยอยู่ในตัวกลางที่เป็นของเหลว ซึ่งเป็นแหล่งแพร่กระจายและเป็นแหล่งที่อยู่ของเชื้อโรคหลากหลายชนิด (Jones, 2001) ดังนั้นการตอบสนองแบบ Innate immunity จะเป็นปราการด้านแรกของการป้องกันที่ทำหน้าที่ในการตอบสนองของระบบภูมิคุ้มกัน ซึ่งส่วนใหญ่เป็นการ

ตอบสนองแบบไม่จำเพาะเจาะจงและมีการจดจำได้บ้างบางส่วน (Bols *et al.*, 2001) ซึ่งกลไกที่ทำหน้าที่ในการป้องกันเชื้อโรคหรือสิ่งแผลกปลอมเข้าสู่ร่างกายในระบบนี้ ได้แก่

### 2.1.1 กลไกการป้องกันตัวโดยใช้โครงสร้างทางกายภาพ (Physical defenses) ซึ่งได้แก่

2.1.1.1 ผิวหนัง (Skin) ถือเป็นค่าแรกที่ใช้ป้องกันเชื้อโรคหรือสิ่งแผลกปลอมทั้งหลายไม่ให้เข้าตัวปลา ซึ่งโดยทั่วไปแบ่งเป็น 4 ชั้น ได้แก่ Cuticle, Epidermis, Dermis และ Hypodermis โดยชั้น Cuticle จะอยู่นอกสุดมีลักษณะเป็นชั้นบาง ๆ ซึ่งองค์ประกอบส่วนใหญ่จะเป็นเมือก (Mucus) ที่ถูกขับออกมากจากเซลล์ชนิด Mucus หรือ Goblet cell สำหรับชั้น Epidermis ในปลาบางชนิดจะมีผิวหนังที่ค่อนข้างหนา และแข็งแรงทำให้ยากต่อการเข้าทำลายของเชื้อโรคและในปลากรุ้ง Catfish จะมีเซลล์ชนิดพิเศษที่เรียกว่า Alarm substance cell ในชั้น Epidermis ที่ทำหน้าที่ในการสร้างสารเตือนภัย (Alarm substance) ออกมามีการบุกรุกหรือถูกทำร้ายด้วยศัตรู (Ellis, 2001)

2.1.1.2 เมือก (Mucus) จัดเป็นองค์ประกอบที่อยู่นอกสุดของผิวหนัง ซึ่งสัมผัสกับสภาพแวดล้อมโดยตรง ด้วยคุณสมบัติที่เหนียวและเป็นเมือกลื่น จึงสามารถดักจับเชื้อโรคได้อย่างไม่จำเพาะเจาะจงและพบว่าปลาสามารถขับเมือกได้ตลอดเวลา ทำให้เชื้อโรคที่ติดกับเมือกหลุดออกไปได้ นอกจากนี้ยังพบว่ามีการเคลื่อนตัวไปมาของโปรตีนและเซลล์เม็ดเลือดที่สำคัญบางชนิดซึ่งเกี่ยวข้องกับระบบภูมิคุ้มกันระหว่างชั้นผิวหนังของปลาและชั้นเยื่อเมือกอีกด้วย (Ellis, 2001)

2.1.1.3 เกล็ด (Scales) มีต้นกำเนิดอยู่ที่ผิวหนังชั้นใน (Dermis) เป็นสิ่งห่อหุ้มและปกคลุมตัวปลา เนื่องจากลูกปลาเกิดใหม่แรก ๆ จะมีผิวหนังที่เรียบ ต่อมากลีดจะเริ่มพัฒนาจากแผ่นเล็ก ๆ กลม ๆ ไปเป็นกลีดที่สมบูรณ์ขึ้นตามอายุ เกล็ดจึงถือเป็นโครงสร้างพิเศษของปลาที่ใช้เพื่อป้องกันอันตรายต่าง ๆ ที่เป็นทั้งของแข็งและเชื้อโรครวมถึงสิ่งแผลกปลอมชนิดต่าง ๆ เพราะมีลักษณะแข็ง ซึ่งทำให้ยากต่อการบุกรุก (Magnadottir, 2006)

### 2.1.2 กลไกการป้องกันตัวโดยใช้เซลล์ (Cellular defenses)

กลไกนี้ถือเป็นส่วนสำคัญในการตอบสนองต่อเชื้อโรคหรือสิ่งแผลกปломภัยหลังจากที่เชื้อโรคหรือสิ่งแผลกปломได้ผ่านกลไกทางกายภาพเข้ามาแล้ว โดยที่เซลล์ที่ทำหน้าที่สำคัญในระบบนี้ได้แก่ Phagocytes ต่าง ๆ เช่น Macrophage และ Polymorphonuclei (PMN) cell ซึ่งมีโครงสร้างคล้ายกับ Neutrophil cell ของสัตว์ชั้นสูง ซึ่งเซลล์ในกลุ่มนี้จะทำหน้าที่ในการกลืน (Engulfment) เชื้อโรคและสิ่งแผลกปломอย่างไม่จำเพาะเจาะจง โดยกระบวนการกรอกิน Phagocytosis ซึ่งเป็นกระบวนการที่ทำให้สิ่งแผลกปломถูกย่อยสลาย จากกลไกภายในเซลล์ หลังจากการย่อยแล้ว เซลล์จะปล่อยส่วนที่ถูกทำลายออกมานอกเซลล์ (Elimination) อย่างไรก็ตามในสัตว์ชั้นสูงรวมทั้งปลา ยังพบว่าเซลล์เหล่านี้มีความสามารถในการจดจำการตอบสนองต่อสิ่งแผลกปломได้อีกด้วยและเซลล์กลุ่มนี้ยังทำหน้าที่ในการเตรียมแอนติเจนสำหรับเซลล์บังกลุ่มเพื่อตอบสนองต่อสิ่งแผลกปломอย่างจำเพาะเจาะจง จึงเรียกเซลล์กลุ่มนี้โดยเฉพาะเซลล์ในกลุ่ม Macrophage ว่า “Antigen presenting (producing) cell (APC)” (Evans *et al.*, 2001)

### 2.1.3 กลไกการป้องกันตัวโดยผ่านสารน้ำ (Humoral defenses)

นอกจากการตอบสนองโดยใช้เซลล์ในการตอบสนองภัยคุกคามแบบไม่จำเพาะเจาะจงแล้ว ปลายังมีการหลังสารโปรตีนที่สำคัญหลายชนิด ออกมายในระบบหมุนเวียนเดือดเช่นเดียวกับสัตว์ชั้นสูง สารโปรตีนดังกล่าวสามารถแบ่งได้เป็นกลุ่มใหญ่ ๆ ดังนี้ ได้แก่ กลุ่มแรกทำให้เซลล์แผลกปломถูกจับเป็นกลุ่ม และเกิดการตกตะกอนได้ (Agglutinin และ Precipitin) เช่น Lectin like, C-type lectin และ Pentraxines (C-reactive protein; CRP) กลุ่มที่สองจะพบว่ามีความสามารถในการย่อผนังเซลล์ของแบคทีเรีย (Lytic enzymes) เช่น Lysozymes, Chitinases และ Cathepsins กลุ่มที่สามทำหน้าที่ในกระบวนการขับยึดการเจริญเติบโตของแบคทีเรีย หรือไวรัส (Growth inhibitors) เช่น Transferrin (Iron binding protein), Interferon (IFN) และ Mx protein เป็นต้น และกลุ่มสุดท้ายคือพวก Protease inhibitors ได้แก่  $\alpha$ -2 Macroglobulin ซึ่งมีหน้าที่ครอบคลุมกว้าง ๆ โดยรวมถึง Encapsulation ใน Protease ด้วย (Whyte, 2007) นอกจากนี้ ยังมีสารอีกชนิดหนึ่งที่มีความสำคัญอย่างมาก คือภาระต้านภัยคุกคาม นั่นคือกลุ่มโปรตีนของ Cytokines และ Chemokines ซึ่งถือได้ว่าเป็นตัวควบคุม (Control) และเป็นตัวส่งสัญญาณของโมเลกุล (Signaling molecules) ในการทำงานร่วมกันระหว่างระบบภัยคุกคามแบบ Innate immunity และระบบภัยคุกคามแบบ Adaptive หรือ Acquired immunity อีกด้วย (Secombes *et al.*, 1999)

## 2.2 ระบบภูมิคุ้มกันที่ได้รับภายในจากกระบวนการกระตุ้นด้วยเชื้อโรคหรือสิ่งแผลกปลอม (Adaptive หรือ Acquired immunity)

การตอบสนองทางภูมิคุ้มกันแบบนี้ถือว่ามีการพัฒนาที่ดีที่สุด สามารถตอบได้ตั้งแต่ปลากระดูกอ่อนทั้งหลายไปจนถึงมนุษย์ ซึ่งยังไม่ปรากฏในสัตว์ที่ไม่มีกระดูกสันหลัง (Invertebrate) ในส่วนของแมลงและสัตว์จำพวกกุ้งหรือปู (Pasquier, 2001) ระบบการตอบสนองแบบนี้จะเกิดขึ้นก็ต่อเมื่อมีการกระตุ้นด้วยสิ่งแผลกปลอม (Antigen) และการตอบสนองจะมีความรุนแรงและรวดเร็วกว่าการตอบสนองในครั้งแรกโดย Antigen ตัวเดิม ซึ่งเป็นการทำงานที่มีความสามารถในการจดจำและความจำเพาะเจาะจงสูงมาก การตอบสนองในระบบนี้จะอาศัยการทำงานร่วมกันของกลุ่มเซลล์เม็ดเลือดขาวหลายชนิด และจะอาศัยโปรตีนบนผิวของเซลล์เป็นสื่อกลางในการติดต่อสื่อสารเพื่อการจดจำเชื้อโรคหรือสิ่งแผลกปลอมที่บุกรุกเข้ามาในร่างกาย (Miller and Clem, 1984; Abbas *et al.*, 2000) ระบบการตอบสนองแบบนี้สามารถแบ่งออกเป็น 2 ชนิดด้วยกันคือ

### 2.2.1 การตอบสนองโดยผ่านสารน้ำหรือของเหลวในเลือด (Humoral immune response)

การตอบสนองทางภูมิคุ้มกันชนิดนี้จะมีเซลล์เม็ดเลือดขาว (Leukocytes) หลายชนิดร่วมกันทำงาน ซึ่งผลของการตอบสนองจะมีการสร้างโปรตีนชนิดที่สำคัญอีกมาก “Antibody” หรือ Immunoglobulin (Ig) ซึ่งในสัตว์เลี้ยงลูกด้วยนมจะแบ่ง Ig ออกเป็น 5 ชนิดได้แก่ IgM, IgD, IgG, IgA และ IgE แต่ในปลากระดูกแข็งพนการรายงานการสร้าง Ig เพียงแค่ 2 ชนิดเท่านั้นคือ IgM และ IgD (Warr, 1995) ที่มีลักษณะคล้าย IgM และ IgD ในสัตว์ชั้นสูง นอกจากนี้ในปัจจุบันยังมีรายงาน Ig ชนิดใหม่ที่พบในปลากระดูกแข็งนั่นคือ IgT ที่พบใน Rainbow trout (Hansen *et al.*, 2005) และ IgZ ที่ได้จาก Zebra fish (Danilova *et al.*, 2000) โดยในระบบนี้จะมีเซลล์เม็ดเลือดขาวบางชนิด ที่ทำหน้าที่ในการตอบสนองทางภูมิคุ้มกันชนิดนี้ซึ่งได้แก่

#### 2.2.1.1 Antigen presenting cell (APC) ในสัตว์ชั้นสูงโดยทั่วไปเซลล์ในกลุ่มนี้ได้แก่ Monocytes หรือ Macrophages และ Dendritic cell ซึ่งจะทำหน้าที่ในการดักจับและกลืนกินเชื้อโรคหรือสิ่งแผลกปลอมที่เข้ามาภายในร่างกายด้วยกระบวนการ Phagocytosis (Secombes *et al.*, 1999) แล้วจึงย่อยและตกแต่งโครงสร้างของ Antigen โดยจะเลือกเอาเฉพาะส่วนที่สามารถกระตุ้นภูมิคุ้มกันได้ดีที่สุดเรียกว่า “Epitope” หรือ Antigenic determinant” ไปแสดงไว้ที่ผิวเซลล์โดยอาศัย Surface protein ที่เรียกว่า “Histocompatibility complex (MHC) class II” เพื่อเป็นสื่อกลางให้ T cell

(Helper T cell) เข้ามาจดจำภัยหลังซึ่งเมื่อ Helper T cell ตรวจพบ Epitope ของสิ่งแผลก ปลอมแล้ว จะปลดปล่อยสารบางอย่างที่เรียกว่า “Cytokine” ออกมานี้เพื่อกระตุ้นให้กลุ่มของ APC มีการแบ่งเซลล์อย่างรวดเร็วและยังกระตุ้นให้ APC มีการตอบสนองได้อย่างมีประสิทธิภาพมากขึ้น และบางส่วนจะพัฒนาตัวไปเป็น Memory APC เพื่อการตอบสนองและจดจำ Antigen ตัวเดิมในครั้งต่อไป (Dixon and Stet, 2001)

2.2.1.2 Lymphocytes เซลล์เหล่านี้จะมีความสามารถจำแนกกลุ่มของ Lymphocytes ได้เป็น 2 กลุ่ม คือ

(1) B Lymphocytes หรือ B cells สำหรับการตอบสนองของระบบภูมิคุ้มกันแบบจำเพาะเจาะจงนั้น B cell มีบทบาทสำคัญอย่างยิ่งในการสร้างสารที่ทำหน้าที่ในการจดจำและทำลายสิ่งแผลกปลอมที่เรียกว่า Antibody โดย B cells เพียงหนึ่งกลุ่ม สามารถสร้าง Antibody ต่อ Antigen หนึ่งชนิดเท่านั้น และปกติแล้ว B cell ยังมีส่วนทำหน้าที่เป็น APC ซึ่งเมื่อ B cell พบรับ Antigen ที่จำเพาะเจาะจงเป็นครั้งแรกจะมีที่รับ Antigen ที่จำเพาะบนผิว B cell นั้นคือ IgM ที่อยู่ในรูป Membrane form ซึ่งจะเป็นตัวพา Antigen เข้าสู่เซลล์โดยกระบวนการ Endocytosis (Abbas *et al.*, 2000) จากนั้น B cell จึงย่อขยาย Antigen เพื่อให้ได้ Epitope ที่พร้อมจะกระตุ้นภูมิคุ้มกัน โดยมี MHC class II เป็นตัวพา Epitope ไปไว้ที่ผิวเซลล์เมื่อ Helper T cell ที่มีความสามารถจำเพาะต่อ Epitope ชนิดนี้มาจับและตรวจพบจึงจะหลังสารสำคัญหลายชนิดออกมาย เช่น Interleukin II เพื่อทำให้ B cell แบ่งตัวเพิ่มจำนวนเซลล์อย่างรวดเร็ว (Proliferlation) และมีการเปลี่ยนแปลง (Differentiation) เพื่อกำหนดหน้าที่ในการสร้างชนิดของ Ig ที่จำเพาะและพัฒนาตัวเองไปเป็น Plasma B cell ที่สามารถสร้าง Antibody ที่อยู่ในรูป Secreted form ออกไปสู่ระบบหมุนเวียนเลือด เพื่อตอบสนองต่อ Antigen ชนิดนั้น ๆ ในกระแสเลือดหรือว่ายาอื่นที่มี Antigen ชนิดนั้น ๆ อยู่ (Kaiser *et al.*, 2004) นอกจากนี้ยังพบว่า B cell บางส่วนมีการพัฒนาไปเป็น Memory B cell เพื่อการจดจำและตอบสนองต่อ Antigen ตัวเดิมในครั้งต่อไป เราเรียกการตอบสนองของระบบภูมิคุ้มกันต่อ Antigen ในครั้งแรกว่า “Primary immune response” โดยผลของการตอบสนองจะสร้าง Ig ออกมายในระดับที่ไม่มากนักและการตอบสนองจะเกิดค่อนข้างช้า แต่จะพบว่ามีการสร้างเซลล์ที่มีความสามารถจำเพื่อรับรู้การเข้ามาอีกครั้งของ Antigen ตัวเดิม

(2) T Lymphocytes หรือ T cells ในสัตว์ชั้นสูง โดยทั่วไปแล้วสามารถแบ่งได้ 3 ชนิดคือ Helper T cell, Cytotoxic T cell และ Suppressor T cell แต่ชนิดที่เกี่ยวข้องกับการสร้าง Ig คือ Helper T cell โดยมีหน้าที่จดจำ Epitope ของ Antigen ที่แสดงโดย MHC class II บนผิวเซลล์ของ B cell คือ APC ตัวอื่น หลังจากตรวจพบ Epitope ที่จำเพาะแล้วจะหลังสารจำพวก Cytokine ออกมานะซึ่งจะมีผลทำให้ B cell เกิดการพัฒนาตัวเปลี่ยนแปลงหน้าที่และผลิต Ig ออกมายังที่สุด Helper T cell จะสามารถจดจำต่อ Antigen ที่จำเพาะได้ จะต้องมีที่รับบนผิวเซลล์ซึ่งเป็นโปรตีนที่เรียกว่า T cell receptor (TCR) โดยจะจดจำอย่างจำเพาะเฉพาะเจาะจงกับ Antigen ชนิดใดชนิดหนึ่งโดยลำพังไม่ได้ TCR จะต้องจำโครงสร้างที่เป็น Complex ซึ่งเกิดจาก MHC class II ของ APC ทั้งหลายกับ Epitope โดยจะทำงานร่วมกันเป็นกลุ่มของเซลล์ (Clone) กลุ่มใดกลุ่มหนึ่งเท่านั้น ผลของการตอบสนองดังกล่าวบ่งทำให้ APC มีการหลังสารจำพวก Interleukin I ออกมานะซึ่งจะมีความสำคัญอย่างมากต่อการพัฒนาตัวและความอยู่รอดของทั้ง B และ T cells (Klein and Horejsi, 1997)

#### 2.2.2 การตอบสนองโดยผ่านเซลล์ (Cell-mediated immune response)

การตอบสนองประภากนีมีความสำคัญอย่างมากในกรณีที่มีการติดเชื้อภายในเซลล์ โดยเฉพาะอย่างยิ่งการติดเชื้อที่มีสาเหตุมาจากไวรัสและเซลล์ที่มีการพัฒนาผิดปกติเช่น Tumor หรือ Cancer โดยมี Cytotoxic T cell (T killer cell) และจะอาศัย MHC class I ซึ่งสามารถพบได้ในเซลล์ที่มีนิวเคลียสทุกชนิด เป็นตัวช่วยหรือสื่อกลางในการจดจำ โดยทั่วไปเมื่อเซลล์ถูกบุกรุกด้วยไวรัส (Viral infection) ภายในใช้โtopiclasซึ่งของเซลล์จะมีกลไกในการตัดและตกแต่งอนุภาคของไวรัส (Viral paricles) ให้อยู่ในรูปที่เป็น Epitope ที่เหมาะสมแล้วจึงมี MHC class I มาจับอย่างจำเพาะเจาะจงในรูป Complex และนำ Epitope ไปวางบนผิวเซลล์เพื่อรอให้ Cytotoxic T cell ที่มี T cell receptor (TCR) ที่จำเพาะมาตรฐาน เมื่อได้รับการจดจำด้วย Cytotoxic T cell อาย่างจำเพาะเจาะจงแล้ว Cytotoxic T cell จึงหลังสารพิษ (Toxin) ออกมานะเพื่อทำลายหรือฆ่าเซลล์ที่มี Epitope ของสิ่งแปรปรวนหรือไวรัสอย่างจำเพาะเจาะจง ทำให้เซลล์ตายและมีผลต่อเนื่อง ทำให้ไวรัสที่อาศัยอยู่ภายในเซลล์ตายและไม่สามารถแพร่กระจายไปยังส่วนต่างๆ ของร่างกายได้ (Klein and Horejsi, 1997)

### 3. โปรแกรมเซลล์ตาย (Apoptosis)

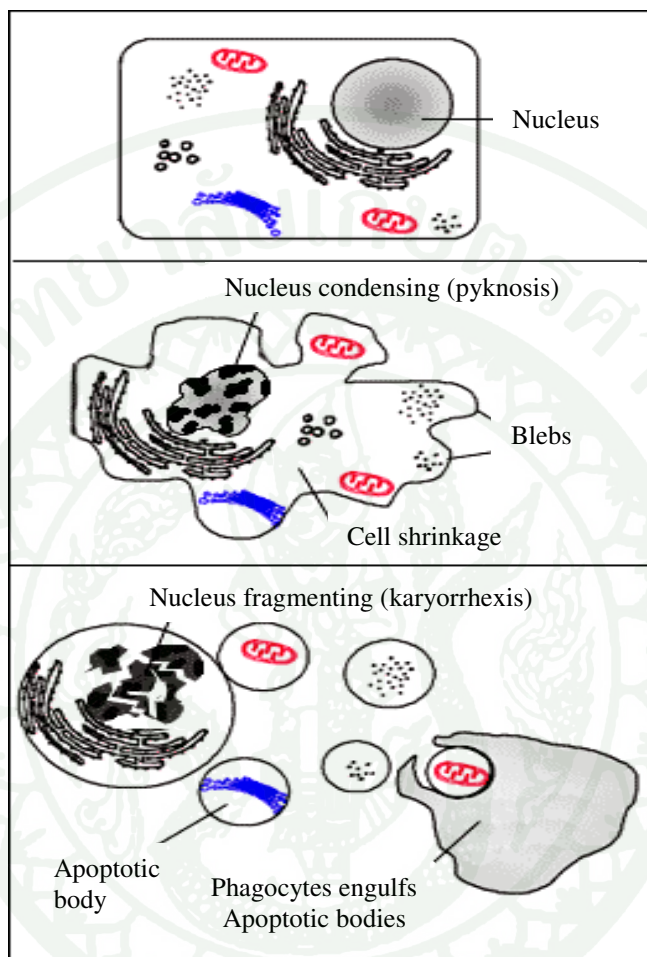
โปรแกรมเซลล์ตาย (Apoptosis หรือ Program cell death) คือกลไกภายในเซลล์ของสิ่งมีชีวิตที่กำจัดเซลล์ที่ไม่ต้องการ หรือเป็นกลไกที่ทำลายตัวเองเพื่อรักษาโครงสร้างหรือรักษาระดับการคงสภาพของเซลล์โดยใช้โมเลกุลต่าง ๆ ที่มีอยู่ภายในเซลล์ ซึ่งในทางชีวเคมีการเปลี่ยนแปลงภายในเซลล์เกี่ยวข้องกับหลายกลไกและหลายปัจจัย โดยลักษณะของเซลล์ที่เกิด Apoptosis เริ่มต้นคือเกิดการเปลี่ยนแปลงลักษณะของสัณฐาน (Morphology) ของเซลล์ คือมีการหดตัวของห้องเซลล์ได้แก่ ภายในไซโตพลาซึม เนื่องจากเกิดการกระตุ้นผ่านทางโปรตีน Protease ส่างผลให้เกิดการแตกหักของโครงสร้าง (Cytoskeletal) ภายในเซลล์ จากนั้นเกิดการเสียสภาพของเยื่อหุ้มเซลล์ (Membrane) ผลคือทำให้ผนังเซลล์โป่งพอง (Membrane blebbing) ซึ่งเกี่ยวข้องกับการเคลื่อนที่ของ Phosphatidyl serine จากภายในเซลล์ออกสู่นอกเซลล์ และการเสียสภาพของเยื่อหุ้มนิวเคลียส (Nuclear membrane) แล้วจึงเกิดการเปลี่ยนแปลงภายในนิวเคลียส เกิดการหดตัวของ Oligonucleosome และ DNA fragmentation และการหดตัวของโครมาติน (Chromatin condensation) ซึ่งทำให้เกิดลักษณะที่เรียกว่า “Pyknotic nuclei” สุดท้ายจึงเกิดการแตกตัวของเซลล์ ออกเป็น Apoptotic body หรือ Fragmented body (ภาพที่ 1) ในที่สุดจึงไม่สามารถรักษาสภาพที่มีชีวิตของเซลล์ไว้ได้ (รัตน, 2548)

การตายแบบ Apoptosis จะเกิดการเปลี่ยนแปลงของนิวเคลียสโดยเฉพาะ นั่นคือ Genomic DNA จะถูกทำลายโดยโกรไม โซมจะถูกตัดเป็นชิ้น ๆ แต่การตายนี้จะไม่ก่อให้เกิดกระบวนการอักเสบ (Inflammatory) เนื่องจากเซลล์ที่ตายจะถูกทำลายจากเซลล์ Macrophage โดยอาศัยกระบวนการจับกิน (Phagocytosis) ภายในเซลล์และไม่ก่อให้เกิดการเสียสมดุลของร่างกาย เพราะจำนวนเซลล์ที่ตายมีปริมาณน้อยมากเมื่อเทียบกับจำนวนเซลล์ทั้งหมดในร่างกาย

#### 3.1 กระบวนการที่เกี่ยวข้องในการเกิด Apoptosis

Apoptosis จะสามารถเกิดในหลาย ๆ กระบวนการ เช่น กระบวนการพัฒนาไปทำหน้าที่ของเซลล์ (Differentiation) กระบวนการพัฒนาของเซลล์ตามส่วนต่าง ๆ ของร่างกายของสิ่งมีชีวิต กระบวนการแบ่งตัวของเซลล์ (Proliferation) เป็นต้น และมีปัจจัยที่ก่อให้เกิดการถูกกระตุ้น ได้แก่ Cytotoxic T lymphocytes (CTL) ซึ่งเกี่ยวข้องในกระบวนการของระบบภูมิคุ้มกัน, Anti cancer drugs, γ หรือ UV irradiation, โปรตีนในกลุ่มของ Cytokines ที่เรียกว่า “Death factors” และการขาดสารที่เป็นปัจจัยสำคัญของการอยู่รอด (Deprivation of survival factors) (ภาพที่ 2) โดยปัจจัย

เหล่านี้ล้วนแล้วแต่สามารถทำให้เกิดการตายของเซลล์แบบ Apoptosis ได้ (Nagata, 1997) และสามารถพบการตายแบบ Apoptosis ในกระบวนการคั่งต่อไปนี้คือ



ภาพที่ 1 ลักษณะการเปลี่ยนแปลงของเซลล์ในการตายของเซลล์แบบ Apoptosis

ที่มา: Farmer (2006)

### 3.1.1 Cell termination

กระบวนการนี้สามารถเกิดขึ้นได้เมื่อเซลล์ถูกทำลายและยากต่อการซ่อมแซม หรือเซลล์ที่ติดเชื้อไวรัสหรือตกอยู่ภายใต้สภาวะไม่เหมาะสมหลายอย่างเช่น การขาดอาหารหรือ การเกิดความเสียหายต่อ DNA จาก Ionizing radiation หรือ Toxic chemicals ซึ่งปัจจัยดังที่กล่าวมา สามารถชักนำให้เกิดการตายของเซลล์แบบ Apoptosis โดยผ่านทาง Tumor-suppressing gene (p53) ซึ่งยิน p53 หรือยินขึ้นยังการเกิดมะเร็ง เป็นยินที่ทำหน้าที่ในการควบคุมกระบวนการ细胞凋亡

(Transcription) (รัตนา, 2548) การตายของเซลล์แบบ Apoptosis สามารถเกิดด้วยได้ด้วยตัวเอง เนื่องจากเนื้อเยื่อบริเวณรอบ ๆ หรือจากเซลล์ที่เป็นส่วนหนึ่งของระบบภูมิคุ้มกัน ในกรณีนี้ หน้าที่ของ Apoptosis จะเป็นตัวเคลื่อนข้ายหรือทำลายเซลล์ที่เสียหาย เพื่อป้องกันตัวเอง ไม่ให้ร่างกายอ่อนแอกและขับยิ่งการขยายตัวของการติดเชื้อไวรัส

การตายของเซลล์แบบ Apoptosis มีบทบาทในการป้องกันการเกิดมะเร็ง (Cancer) ซึ่งถ้าหากเซลล์ไม่สามารถปรับตัวได้ภายในตัว การตายแบบ Apoptosis จะส่งผลให้เกิดการกลาย (Mutation) หรือการขับยิ่งของสารชีวเคมี (Biochemical inhibition) ภายในเซลล์ ซึ่งเซลล์เหล่านี้จะสามารถแบ่งตัวและพัฒนาไปเป็นเนื้องอก (Tumor) ได้ เช่นการเกิดติดเชื้อไวรัส Papilloma จะทำให้ยืนของไวรัสบางชนิดมีการแสดงออกและเข้าไป擾惑การทำงานของโปรตีน p53 ที่อยู่ภายในเซลล์ โดยโปรตีนนี้เป็นสมาชิกที่สำคัญใน Apoptotic pathway ซึ่งการรับกวนในครั้งนี้ อาจทำให้เซลล์พัฒนาจนกลายเป็นเซลล์มะเร็งได้ในที่สุด (Thompson, 1995)

### 3.1.2 Homeostasis

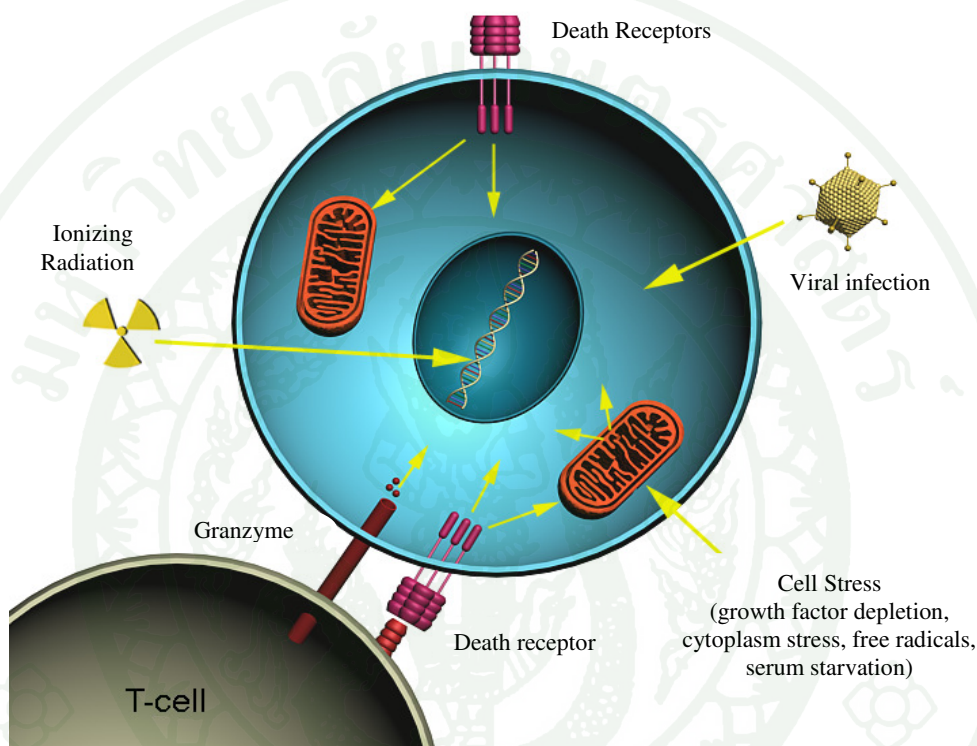
ในสิ่งมีชีวิตที่โตเต็มที่ จะมีการรักษาระดับและปริมาณของเซลล์ที่มีอยู่ให้เท่ากัน เซลล์ที่ตาย มีการแบ่งเซลล์เข้ามาแทนที่ได้ทันเมื่อเกิดโรค และมีการทดเชยให้กับเซลล์ที่ตาย กระบวนการรักษาสมดุล (Balancing) ของเซลล์นี้เป็นส่วนหนึ่งของการบวนการ Homeostasis ซึ่งจำเป็นต่อการมีชีวิตอยู่ของสิ่งมีชีวิต เพื่อรักษาระดับความสมดุลต่าง ๆ ภายในเซลล์

Homeostasis จะเกิดขึ้นได้อย่างสมบูรณ์ ก็ต่อเมื่ออัตราการแบ่งเซลล์ (Rate of mitosis) ในเนื้อเยื่อนั้นสมดุลกับเซลล์ตาย ถ้าสมดุลนี้ถูกรบกวนจากปัจจัยที่มีผลจำเพาะบางอย่างที่จะสามารถทำให้เกิดอันตรายหรือเกิดโรคขึ้นได้ ซึ่งได้แก่ ปัจจัยที่หนึ่ง คือมีการแบ่งเซลล์อย่างรวดเร็ว ส่งผลให้เกิดการพัฒนาของเซลล์ไปเป็นเนื้องอก (Tumor) ได้ ปัจจัยที่สอง คือการแบ่งเซลล์ที่ช้ามาก ทำให้เกิดการสูญเสียโครงสร้างหรืออวัยวะนั้น ๆ ได้ ซึ่งสิ่งมีชีวิตจำเป็นต้องมีการเปลี่ยนแปลงอย่างเป็นขั้นตอน เพื่อควบคุมให้เกิดกระบวนการ Homeostasis อย่างถูกต้องและแม่นยำ เพื่อรักษาการมีชีวิตอยู่ของสิ่งมีชีวิตนั้น ๆ นั่นเอง (Thompson, 1995)

### 3.1.3 Development

โปรแกรมเซลล์ตายเป็นส่วนหนึ่งของการพัฒนาเนื้อเยื่อทั้งพืชและสัตว์ โดยการพัฒนาของอวัยวะและเนื้อเยื่อจะต้องเริ่มเป็นอันดับแรก หลังจากนั้นจึงเริ่มการแบ่งเซลล์และเซลล์ เกิดการเปลี่ยนแปลง เป็นผลให้เกิดการตัดองค์ประกอบที่ไม่จำเป็นบางส่วน (Pruned) ออกไปทำให้

เกิดความถูกต้องในอวัยวะนั้น ๆ โดยใช้การตายแบบ Apoptosis ซึ่งจะไม่เหมือนกับการตายของเซลล์ที่เกิดจากกระบวนการเดี้ยงแต่การตายแบบ Apoptosis จะทำให้เซลล์เกิดการหดตัว (Shrinkage) และการแตกหักของ DNA จากกระบวนการนี้ ร่างกายยอมให้เกิดการจับกิน (Phagocytosis) โดยเซลล์ Macrophage ซึ่งเซลล์และเนื้อเยื่อรอบ ๆ จะไม่ได้รับอันตราย (Guerrero and Altaba, 2003)



ภาพที่ 2 ปัจจัยต่าง ๆ ที่เป็นตัวกระตุ้นและทำให้เกิดการตายของเซลล์ (Apoptosis)

ที่มา: Dash (2009)

### 3.1.4 Lymphocyte interaction

เป็นกระบวนการสร้างและพัฒนาของ B lymphocytes และ T lymphocytes ที่พบได้ในสิ่งมีชีวิตที่มีระบบสันหลังชั้นสูง โดยเป็นกระบวนการที่ซับซ้อนและเป็นจุดเริ่มต้นของระบบภูมิคุ้มกันของร่างกาย ในการตอบสนองต่อสิ่งแปรปรวนต่าง ๆ ที่เข้าสู่ร่างกาย โดยกระบวนการนี้ ต้องอาศัยกระบวนการเกิดเซลล์ตายแบบ Apoptosis ซึ่งเป็นกลไกภายในร่างกายที่ทำหน้าที่ในการกำจัดเซลล์ที่ไม่ดีหรือเซลล์ที่เสียหาย ที่เกิดในส่วนที่ไม่ต้องการหรือจำเป็นต้องทำลาย

เซลล์นั้น ๆ ได้ (Werlen *et al.*, 2003) โดยอาศัยกลุ่มเซลล์จาก T lymphocytes ซึ่งเป็นชนิดที่เรียกว่า “Cytotoxic T cell” ในการทำหน้าที่ดังกล่าวนี้

Cytotoxic T cell เป็นเซลล์เม็ดเลือดขาวชนิดหนึ่ง ที่เกี่ยวข้องโดยตรงในการกระตุ้นให้เกิดการตายแบบ Apoptosis จากการตอบสนองต่อจุลชีพต่าง ๆ โดยเฉพาะการติดเชื้อที่มีสาเหตุมาจากการติดเชื้อไวรัส โดยมีหน้าที่ในการทำลายเซลล์ที่มีแอนติเจน (Antigen) บนผิวเซลล์ของสิ่งแผลกปลอม ซึ่งอยู่ภายในไซโตพลาซึมของเซลล์ผ่านทางโปรตีนบนผิวเซลล์ชนิด Major histocompatibility complex (MHC) class I ซึ่งสามารถพบได้ในเซลล์ที่มีนิวเคลียสทุกชนิดและอาศัย CD8 ซึ่งเป็น Receptor ที่อยู่บนผิวเซลล์ของ Cytotoxic T cell เป็นตัวจดจำอย่างเฉพาะเจาะจงจากนั้นจึงกระตุ้นให้เกิดกระบวนการ Apoptosis โดยเริ่มต้นจากการเกิดรู (Pore) บนผิวของเซลล์ เป้าหมายที่ถูกสร้างจาก Perforin (Russell and Ley, 2002) จากนั้นมีการหลั่งของสารเคมีที่สำคัญจาก Cytotoxic T cell ภายใน Granules ที่บรรจุโปรตีนจำพวก Granzyme B ผ่านรูที่มีอยู่ ซึ่ง Granzyme B เป็นoen ไขม์ในกลุ่มของ Serine protease ทำหน้าที่ในการกระตุ้นเอนไซม์ Caspases ที่อยู่ในไซโตพลาซึมของเซลล์เป้าหมาย แล้วจึงเกิดกระบวนการอย่างเป็นขั้นลำดับจากกลุ่มของ Caspases ส่งผลให้เกิดการแตกหักของ DNA ภายในนิวเคลียสของเซลล์เป้าหมาย ในที่สุดจึงเกิดการตายของเซลล์นี้

### 3.2 ปัจจัยที่เกี่ยวข้องกับการเกิด Apoptosis

กระบวนการเกิด Apoptosis สามารถเกิดขึ้นได้หากมีการส่งสัญญาณของสารเคมีต่าง ๆ ภายในเซลล์ ซึ่งสารสื่อสัญญาณเหล่านี้ พบได้ทั้งจากภายนอกเซลล์ (Extracellularly หรือ Extrinsic inducers) และทั้งจากภายในเซลล์ (Intracellularly หรือ Intrinsic inducers)

การส่งสัญญาณของสารเคมีจากภายนอกเซลล์ (Extracellular signals) จะประกอบไปด้วยกลุ่มของฮอร์โมน (Hormones) ที่เกี่ยวข้องในการส่งสัญญาณระบะไกลด, Growth factors ซึ่งทำหน้าที่ในการสร้างโปรตีนที่เกี่ยวข้องในการเจริญเติบโต, Nitric oxide คือกลุ่มของก๊าซ ซึ่งทำหน้าที่ในการเป็นสารสื่อประสาทระหว่างเซลล์ภายในร่างกาย (Brune, 2003) และกลุ่มของ Cytokines ที่เป็นสารน้ำต่าง ๆ และหลังออกมายังเซลล์ภายในร่างกายและส่วนใหญ่จะถูกสร้างจาก T lymphocytes เช่น Interferon gamma (IFN- $\gamma$ ) เป็นต้น และจำเป็นต้องมีตัวรับสัญญาณซึ่งอยู่บนผิวของเซลล์เป้าหมาย ที่มีความจำเพาะเจาะจงกับสารสื่อสัญญาณในแต่ละชนิด การซักนำของสารสื่อสัญญาณนี้สามารถเป็นได้ทั้งตัวกระตุ้นและตัวขับยับ ในกระบวนการของ Apoptosis ได้

การส่งสัญญาณของสารเคมีจากภายในเซลล์ (Intracellular signals) มีจุดเริ่มต้นจากการตอบสนองจากเซลล์ที่ได้รับการกระตุนให้เกิดสภาพเครียด (Stress) ซึ่งท้ายที่สุดผลที่เกิดขึ้นคือเซลล์นั้น ๆ จะถูกทำลายลง สำหรับการเข้าจับของ Nuclear receptors ใน Intracellular signals นี้ เกิดขึ้นโดยอาศัยปัจจัยที่เกี่ยวข้องหลายชนิด ซึ่งประกอบด้วยกลูโคคอร์ติโคเจน (Glucocorticoids), ความร้อน (Heat), รังสี (Radiation), การขาดสารอาหาร (Nutrient deprivation), การติดเชื้อไวรัส (Viral infection) และการขาดออกซิเจน (Hypoxia) ซึ่งปัจจัยสำคัญต่าง ๆ เหล่านี้สามารถชักนำให้เกิดการหลั่งของ Intracellular apoptotic signals จากเซลล์ที่ได้รับความเสียหาย แต่ภายในเซลล์นั้น ๆ ก็มีโปรตีนที่สำคัญอยู่คือ Poly ADP ribose polymerase (PARP) ซึ่งเป็นโปรตีนที่จำเป็นสำหรับการรักษาสภาพของเซลล์ โดยทำหน้าที่เป็นตัวช่วยและ DNA ที่เสียหาย แต่ถ้าหาก PARP ถูกย่อสลายด้วย Caspases ทำให้กลไกการซ่อมแซมและรักษาสภาพเซลล์หยุดชะงักลง ในที่สุดจึงเกิดการตายของเซลล์ขึ้น (Chiarugi and Moskowitz, 2002)

### 3.3 บทบาทของไมโทคอนเดรียที่มีความสัมพันธ์ต่อการเกิด Apoptosis

ไมโทคอนเดรียเป็น Organelle หนึ่งที่สำคัญต่อเซลล์ของสิ่งมีชีวิต พบได้เฉพาะในไซโตพลาซึมของเซลล์ในกลุ่ม Eukaryote ที่ใช้ออกซิเจนในการหายใจ หน้าที่หลักของไมโทคอนเดรีย คือเป็นแหล่งพลังงานของเซลล์ โดยใช้ Adenosine triphosphate (ATP) ซึ่งทำหน้าที่ขนส่งพลังงานอิสระในเซลล์ของสิ่งมีชีวิต และในกระบวนการตายแบบ Apoptosis ไมโทคอนเดรียเป็นองค์ประกอบหนึ่งซึ่งทำหน้าที่โดยตรงในการเกิด Intracellular signals ดังนี้คือ

เมื่อ Cytochrome C ถูกปลดปล่อยออกจากไมโทคอนเดรีย Cytochrome C จะไปจับกับโปรตีน Apaf-1 หรือ Apoptosis peptidase activating factor-1 (เป็น Homolog กับ CED-4 ใน *Caenorhabditis elegans*) แล้วเกิดโครงสร้างใหม่เพื่อไปจับกับ Procaspsase-9 ที่อยู่ในไซโตพลาซึม จึงได้สารที่มีโครงสร้างใหม่อีกรึ้ง ที่เรียกว่า “Apoptosome complex” (Adams and Cory, 2001) ซึ่งจะเป็นจุดเริ่มต้นของการเข้าสู่วิถีของ Caspases ของเซลล์ (ภาพที่ 3) โดยกระบวนการนี้จะเกิดอย่างเป็นลำดับขั้นไปเรื่อย ๆ จนได้ผลิตภัณฑ์ตัวสุดท้ายคือ Caspase-3 ซึ่งจะเป็นตัวไปตัด Substrate ที่เกี่ยวข้องในการซ่อมแซม DNA, โปรตีนโครงสร้างและ Endonuclease ผลสุดท้ายคือทำให้เกิดการตายของเซลล์โดยอาศัย Caspase-3 (Executioner caspases) เป็นตัวการสำคัญ

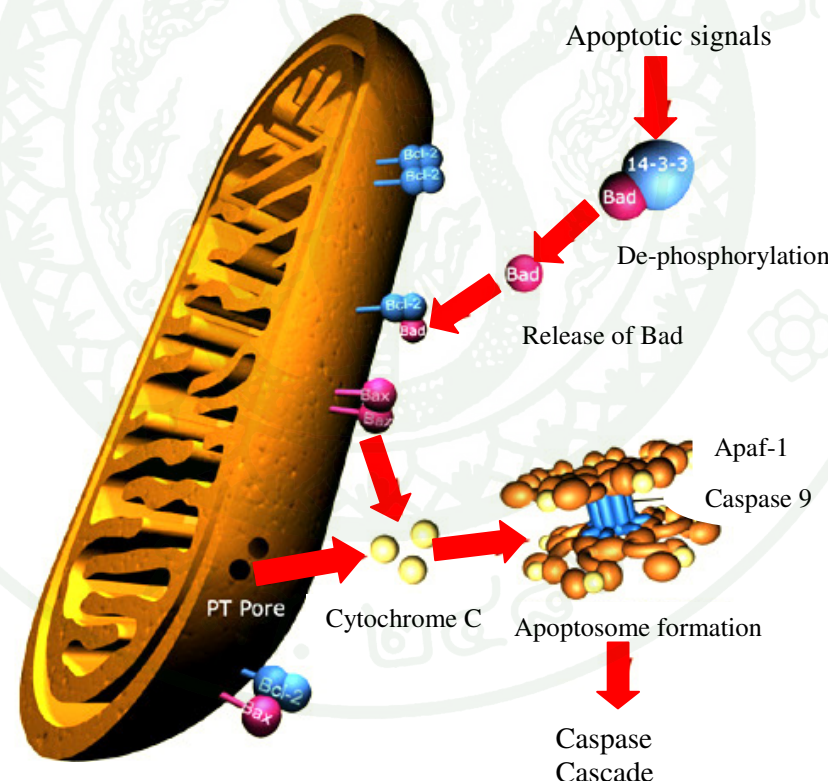
ไม้โตคอนเดรียสามารถสร้างโปรตีนตัวอื่น ๆ เช่น Second mitochondria-derived activator of caspases (SMAC), Direct IAP-binding protein with low pI (DIABLO) ที่มีหน้าที่ในการยับยั้ง X-linked inhibitor of apoptosis (XIAPs) และ Apoptosis inducing factor (AIF) ซึ่งมีหน้าที่ในการกระตุ้นให้เกิดการตายแบบ Apoptosis ซึ่งอาจจะอาศัยวิธีของ Caspases หรือไม่ก็ได้ การสร้างความเสียหายให้เกิดกับไม้โตคอนเดรียสามารถเกิดขึ้นได้จากหลายสาเหตุ เช่น Vesicular stomatitis virus (VSV), Ceramide, แสงอัลตราไวโอเล็ต, ยา เช่น Etoposide และ Staurosprin หรือการเปลี่ยนแปลงของ pH ภายในไซโตพลาซึมหรือในไม้โตคอนเดรียเอง ซึ่งสามารถกระตุ้นให้เกิดการปลดปล่อยของ Cytochrome C จากกรูบบริเวณ Membrane ของไม้โตคอนเดรีย ซึ่งเป็นจุดเริ่มต้นของการเกิดกระบวนการของ Apoptosis อีกกระบวนการหนึ่ง (Bras *et al.*, 2005)

โปรตีนกลุ่ม Anti-apoptosis เช่น Bcl-2 และ Bcl-XL และ โปรตีนกลุ่ม Apo-apoptosis เช่น Bad และ Bax ที่อยู่ในไซโตพลาซึม โปรตีนทั้งสองกลุ่มนี้จัดเป็นสมาชิกของ Bcl family โดยหน้าที่ของโปรตีน Bcl family เกี่ยวข้องในการตอบสนองต่อการเกิด Apoptosis ซึ่งมีความสามารถทั้งในการกระตุ้นและยับยั้งการเกิด Apoposis เพื่อให้เกิดสมดุลภายในเซลล์อง โดยปกติ Bcl-2 และ Bcl-XL จะทำหน้าที่ในการปักป้องรูบบริเวณผิวของไม้โตคอนเดรีย ถ้าหากไม้โตคอนเดรียถูกกระตุ้นจากปัจจัยต่าง ๆ กลุ่มโปรตีนของ Apo-apoptosis ได้แก่ Bad และ Bax จะสามารถทำให้เกิดการเปลี่ยน แปลงโครงสร้างของ Membrane ของไม้โตคอนเดรีย ผลคือทำให้ขนาดของรูที่เรียกว่า “PT pore” (Permeability transition pore) ขยายตัวมากขึ้น จากนั้น Cytochrome C จึงถูกปลดปล่อยออกมานา (Tan *et al.*, 2000) เพื่อเข้าสู่กระบวนการการตายของเซลล์แบบ Apoptosis ต่อไป (ภาพที่ 3) ดังนั้นปัจจัยต่าง ๆ ที่ทำให้ไม้โตคอนเดรียเกิดความเสียหาย ก็จะสามารถทำให้เกิดกระบวนการตายแบบ Apoptosis ของเซลล์ตามมาได้เช่นกัน

มีรายงานการศึกษาการเกิด Apoptosis ส่วนใหญ่ในสัตว์เลี้ยงลูกด้วยนม เช่นมนุษย์และหมู ซึ่งเกี่ยวข้องกับระบบภูมิคุ้มกันของร่างกายทั้งสิ้น และสามารถพบได้ในสิ่งมีชีวิตอื่น ๆ โดยจากรายงานของ Kurobe *et al.* (2007) ได้ทำการศึกษาการเกิด Apoptosis ที่ถูกกระตุ้นจากยีน Fas lignd ซึ่งเป็นหนึ่งในสมาชิกของ Tumour necrosis factor (TNF) ที่ทำหน้าที่เป็น Cytokines พบร่วมกับการแสดงออกของยีน JF-Fas lignd ในปลา Japanese flounder สามารถขัดนำและเป็นตัวกระตุ้นให้เกิดการตายของเซลล์แบบ Apoptosis โดยอาศัย Cytotoxic T cell ทำหน้าที่ในการไปยับยั้ง Cell line HINAE โดยการทำลาย Genomic DNA ภายในเซลล์นั้น ๆ และยังมีรายงานของ Praveen *et al.* (2006b) ที่ค้นพบยีน Cellular apoptosis susceptibility (CAS) จาก Non-specific cytotoxic cells

(NCC) ในปลา尼ล ซึ่งยืนยันได้ว่าเป็นตัวควบคุม (Regulation) ในกลไกที่เกี่ยวข้องกับการซักนำให้เกิด Apoptosis ภายในเซลล์ของปลา尼ล และจากรายงานของ Chang *et al.* (2006) ที่ได้ทำการศึกษาการแสดงออกของ TNF-related apoptosis inducing ligand (TRAIL) จากอวัยวะต่าง ๆ ใน Grass carp

โดยใช้เทคนิค RT-PCR พบว่าอวัยวะที่มีการแสดงออกของยีน TRAIL ได้แก่ เหงื่อ กดับ ไตส่วนหลัง ไตส่วนหน้า ลำไส้และม้าม ซึ่งพบว่าเป็นอวัยวะที่เกี่ยวข้องกับระบบภูมิคุ้มกันทั้งสิ้น นอกจากนี้ Evans *et al.* (2000) ได้ทำการศึกษาผลของการตอบสนองของ Non-specific cytotoxic cells (NCC) ในปลา尼ลต่อการกระตุ้นด้วยการฉีดวัคซีนจากเชื้อแบคทีเรีย *S. iniae* จากการวัดค่า Cytotoxicity activity ได้ที่ พบร่วมกับ Cytotoxicity activity ของ NCC มีค่าเพิ่มขึ้นเฉพาะในเซลล์เม็ดเลือดขาวในกระแสเลือดเท่านั้น



**ภาพที่ 3 การส่งสัญญาณของสารเคมีจากภายในเซลล์ (Intracellular signals) ไปยังไมITOคอนเดรียที่กระตุ้นให้เกิดการตายของเซลล์แบบ Apoptosis จากการหลังของ Cytochrome C**

**ที่มา:** Dash (2009)

#### 4. Caspases

Caspases (Cysteine aspartyl-specific proteases) เป็นกลุ่มเอนไซม์ที่ใช้ในการย่อยสลายโปรตีน (Proteolytic enzyme) ซึ่งมีบทบาทสำคัญในกลไกการตายของเซลล์แบบ Apoptosis โดย Caspases เป็นเอนไซม์ที่มี Cysteine residue ตรงตำแหน่งสำหรับทำปฏิกิริยา (Active site) เพื่อทำหน้าที่จำเพาะต่อการเร่งปฏิกิริยาของ Aspartate residue หรือ Specific aspartate residues นอกจากนี้ยังมีบทบาทเกี่ยวข้องกับกระบวนการอักเสบโดยอาศัยกลุ่มของ Cytokines อีกด้วย (Leeuwenburgh, 2003)

จากการศึกษาโครงสร้างยีนในหนอนดักลง *Caenorhabditis elegans* ทำให้มีการค้นพบยีน CED-3 ซึ่งมีลักษณะคล้ายกับโปรตีนในมนุษย์ทำหน้าที่เป็นเอนไซม์ที่เรียกว่า “Interleukin-1 $\beta$  converting enzyme (ICE)” และมีลักษณะที่คล้ายกับเอนไซม์ในกลุ่มของ Caspases โดยโปรตีนเหล่านี้ทำหน้าที่เป็น Pro-enzyme มีน้ำหนักโมเลกุลประมาณ 30-60 กิโลคาลตัน ถูกสร้างอยู่ต่อลอดเวลาภายในเซลล์ (Kumar, 1997) ซึ่งในสภาพปกติ Caspases จะอยู่ในรูปที่เป็น Inactivate ที่พบในไซโตพลาซึม โดยยังไม่สามารถที่จะทำงานได้ แต่จะสามารถทำงาน (Active) ได้ เมื่อจับตัวรวมกันมากขึ้นเป็น Heterodimer ซึ่งจะทำให้มีบริเวณของ Active sites มากขึ้น จากนั้นจึงถูก Caspase ตัวอื่น ตัวมันเองหรือจะเป็นเอนไซม์ชนิดอื่น เข้ามากระตุ้นในกระบวนการ Proteolysis ซึ่งจะทำให้ Procaspsase เปลี่ยนเป็นเอนไซม์ Caspase ที่สมบูรณ์ที่พร้อมจะทำหน้าที่ได้ต่อไป

เป้าหมายในการทำงานของ Caspases ที่สามารถทำให้เกิดการตายของเซลล์ ได้แก่ การย่อยทำลาย Poly ADP ribose polymerase (PARP) ซึ่งเป็นโปรตีนที่ทำหน้าที่ป้องกันเซลล์จากการถูกทำลายและป้องนิวเคลียสจากการแตกหักของ DNA โดย Caspases จะย่อ DNA-Dependent protein kinase (DNA-PK) ซึ่งจะมีผลไปกระตุ้นการทำงานของ DNA fragmentation factor (DFF) ส่งผลทำให้เกิดการย่อยสลาย DNA ในนิวเคลียสนั้น ๆ และยังส่งผลต่อเนื่องให้เซลล์ไม่สามารถซ่อมแซม DNA ภายใต้การทำลาย Poly ADP ribose polymerase (PARP) โครงสร้างค้างคานภายในของเซลล์โดยตรง เช่น แยกสลายโครงสร้างเยื่อหุ้มนิวเคลียส การปรับเปลี่ยนการจัดเรียงตัวและแยกสลายโครงสร้าง (Cytoskeleton) ของเซลล์ การทำให้เกิดการเสียสภาพ (Inactivate) ของโปรตีน เช่น การเสียสภาพของโปรตีน Bcl-2 ซึ่งเป็นโปรตีนที่ทำหน้าที่ป้องกันเซลล์ไม่ให้เกิดการตายแบบ Apoptosis และสุดท้ายโปรตีน Caspases สามารถย่อยสลายเซลล์ทำให้เกิดการเปลี่ยนแปลงเกิดโครงสร้างที่เรียกว่า “Apoptotic bodies” ซึ่งจะไม่ทำให้เกิดกระบวนการอักเสบ (Inflammatory) เพราะมีการกระตุ้นให้เซลล์ที่จะเกิด Apoptosis ส่งสารสื่อสารภายนอกให้เซลล์ Macrophage มาที่เซลล์

เป้าหมายเพื่อทำหน้าที่ในการจับกิน (Phagocytosis) เพื่อกำจัดเซลล์ที่ตายเหล่านี้ได้อย่างทันท่วงที (Leeuwenburgh, 2003; Shi, 2004)

#### 4.1 ชนิดของ Caspases

ปกติแล้ว Caspases จะอยู่ในรูป Proenzyme (Pro-caspases) โดยมีโครงสร้างหลักประกอบด้วย Prodomain (Pro) ทางด้านปลาย N-terminal และหน่วยย่อย (Subunit) มีส่วน Large subunit ขนาดประมาณ 20 kDa (กิโลดาลตัน) และ Small subunit มีขนาดประมาณ 10 kDa ซึ่งบริเวณ Large subunit จะมีตำแหน่งกระตุ้น (Active site) ที่เป็น Cysteine residue ที่มีลำดับของกรดอะมิโน (Pentapeptide sequence) บริเวณ Active site ซึ่งเป็นแบบ Conserved QACXG motif โดยที่ Q คือ Glutamin (Gln), A คือ Alanine (Ala), C คือ Cysteine (Cys), X คือกรดอะมิโนชนิดใดในสามชนิดนี้ ได้แก่ Arginine (Arg), Glutamine (Gln) หรือ Glycine (Gly) และสุดท้าย G คือ Glycine (Gly)

ปัจจุบันกลุ่มเอนไซม์ของ Caspases ที่มีรายงานใน Mammals มีจำนวนรวม 14 ชนิด สามารถแบ่งชนิดตามหน้าที่และการทำงานออกเป็น 2 กลุ่ม ได้ดังนี้คือ

4.1.1 Initiator caspases หรือ Apical caspases เป็นกลุ่มเอนไซม์ Caspases ที่มี Prodomain ขนาดใหญ่กว่า 100 Amino acid residues ได้แก่ Caspase-1, Caspase-2, Caspase-4, Caspase-5, Caspase-8, Caspase-9, Caspase-10 และ Caspase-12 สำหรับ Prodomain ของ Caspase ในแต่ละชนิดจะมีโครงสร้างพิเศษ (Structural motifs) เช่นใน Caspase-8 และ Caspase-10 มีส่วนที่เรียกว่า “Dead effector domain” (DED) ซึ่งทำหน้าที่ในการควบคุม (Regulator) การเกิด Caspases หรือใน Caspase กลุ่มอื่นเช่น Caspase-4, Caspase-5 และ Caspase-9 จะมีโครงสร้างที่เรียกว่า “Caspases recruitment domain (CARD)” สำหรับใช้ในการจับกับ Adaptor molecule นั่นก็คือ Fas-associated death domain (FADD) หรือ Apoptosis protease-activating factor 1 (Apaf-1) เพื่อใช้ทำหน้าที่ในการกระตุ้นการทำงานของ Effector caspases ต่อไป (Chen and Wang, 2002)

4.1.2 Effector caspases หรือ Executioner caspases เป็นกลุ่มเอนไซม์ Caspases ที่มีขนาดของ Prodomain น้อยกว่า 30 กรดอะมิโน ประกอบไปด้วย Caspase-3, Caspase-6, Caspase-7 และ Caspase-14 โดยมีหน้าที่หลักในการแยกย่อยสารที่เรียกว่า “Death substrates” ซึ่งมีความสามารถในการต่อต้านกลไกการรอดชีวิตของเซลล์ โดยการย่อยลายโปรตีนโครงสร้างต่างๆ

ได้แก่ Actin, Fodrin และ Lamin จากนั้นจึงกระตุ้นให้เซลล์เกิดการแยกตัวและทำให้นิวเคลียสหดตัว ซึ่งทั้งหมดสามารถส่งเสริมการทำงานของ Caspase-activated DNase/DNA fragmentation factor (CAD/DFF) ได้ สุดท้ายจึงเกิดการแตกหักของ DNA (DNA fragmentation) จากการสลายตัวของเอนไซม์ Poly ADP ribose polymerase (PARP) ที่ทำหน้าที่ในการซ่อมแซม DNA และทำลาย Caspase-activated DNase Inhibitor (ICAD) และเอนไซม์กลุ่มนี้ยังสามารถย่อยโปรตีนในกลไกการแบ่งตัวของเซลล์ ซึ่งทำให้การทำงานในระบบต่าง ๆ ของเซลล์ต้องหยุดลง (Rehm *et al.*, 2006)

#### 4.2 Caspase-3

เอนไซม์ Caspase-3 หรือที่รู้จักกันในชื่อ CPP32, Apopain หรือ Yama เป็นหนึ่งในสมาชิกของเอนไซม์ Caspases และอยู่ในกลุ่มของ Effector caspases หรือ Executioner caspases ซึ่งเป็นตัวกลางสำคัญในกลไกการเกิด Apoptosis ภายในเซลล์ ซึ่งจะพบว่ามีการแสดงออกมาเป็นจำนวนมาก ในเซลล์ที่เกี่ยวข้องกับระบบภูมิคุ้มกันของพวาก T lymphocytes หรือ T cells (Fernandes *et al.*, 1994)

โดยทั่วไปแล้ว Procaspsase-3 จะถูกตัดที่ตำแหน่ง Arginine-9 หรือ Arginine-28 (ภาพที่ 4) จากนั้นจะรวมกัน (Dimerization) เป็นเซหอโรไดเมอไรเซชัน (Heterodimerization) ซึ่งประกอบด้วย Large subunit 2 ส่วน และ Small subunit 2 ส่วน โดยมีตำแหน่งกระตุ้น (Active sites) อยู่ที่บริเวณ Large subunit และ Small subunit ทำให้เกิดโครงสร้างแบบ Heterotetrameric ที่มีความสำคัญต่อการทำงานอย่างมาก (Pokpong *et al.*, 2007)

#### 4.3 บทบาทของ Caspase-3 ใน Apoptosis

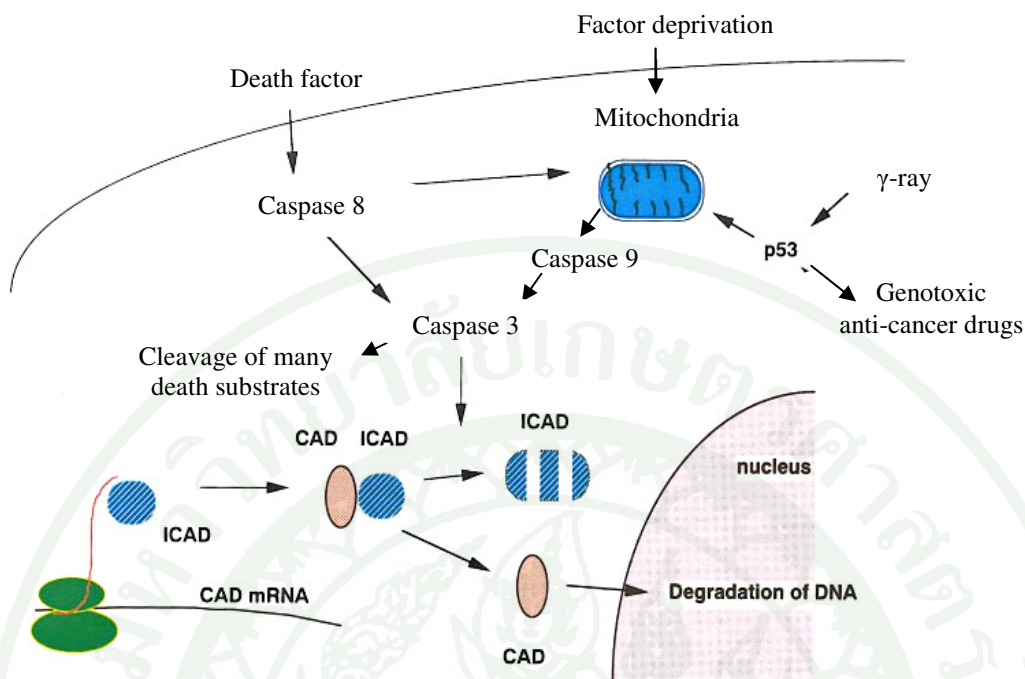
ลักษณะการแตกหักของ DNA ที่อยู่ภายในนิวเคลียส จากกลไก Apoptosis จำเป็นต้องมี Caspase-activated DNase (CAD) ซึ่งทำหน้าที่ในการตัด DNA บนโครโนโซม กระบวนการนี้อาศัยเอนไซม์ Caspase-3 เป็นตัวรับตัวสุดท้ายของ Cascade ในกลุ่มของ Caspases (ภาพที่ 5) เมื่อการสั่นคลายหัวโปรตีน CAD ที่ได้จากไฟโรโซมเสร็จสิ้น โปรตีน Caspase-activated DNase Inhibitor (ICAD) จะเข้าจับกับโปรตีน CAD เพื่อทำให้การพับตัว (Folding) ของโปรตีนเกิดขึ้นอย่างถูกต้อง จึงได้โปรตีนที่มีโครงสร้างเชิงซ้อน เรียกว่า “DNA Fragmentation factor (DFF) หรือ CAD/ICAD complex” เมื่อการกระตุ้นเกิดขึ้นจากปัจจัยต่าง ๆ เช่น Death factor,  $\gamma$ -ray, Genotoxic anti-cancer drug หรือ Factor deprivation กลไกการเกิด Apoptosis ภายในเซลล์จึงเริ่มการทำงานขึ้น โดยกลุ่ม

เอนไซม์ Caspases จะทำงานอย่างต่อเนื่องและเป็นลำดับขั้นตอน ในขั้นแรกคือ Death factor เช่น Fas ligand จะเข้าจับกับตัวรับที่อยู่บนผิวเซลล์ที่เรียกว่า “Fas receptor” จึงเกิดโครงสร้างใหม่เป็น Death induced signaling complex (DISC) ที่มีตัวกลาง (Adaptor) เรียกว่า “Fas-associated death domain/Mediator of receptor-induced toxicity-1 (FADD/MORT1)” ทำให้เอนไซม์ Caspase-8 (Procaspsase-8) ที่อยู่ในรูป Inactive ถูก Autoactivated จาก DISC ให้ได้ Caspase-8 ที่พร้อมทำหน้าที่โดยแบ่งการทำงานเป็น 2 แบบ ซึ่งแบบแรกจะเริ่มการตัดเอนไซม์ Caspase-3 ที่อยู่ในรูปของ Procaspsase-3 จากนั้น Caspase-3 ซึ่งมีหน้าที่ในการเป็นเอนไซม์บอยโปรตีน จึงเริ่มทำหน้าที่ของมันเอง ด้วยการไปตัดโปรตีน DFF หรือ CAD/ICAD complex โปรตีน CAD จึงถูกปลดปล่อยและผ่านเข้าไปภายใน Nuclear membrane ไปทำปฏิกิริยากับองค์ประกอบภายในนิวเคลียส เช่น Topoisomerase II (Gyrase) ซึ่งหน้าที่หลักของ Gyrase คือการตัด DNA ทำให้เกิดการหดตัวของโครมาตินให้สามารถพับตัวอยู่ภายในนิวเคลียสได้ ในที่สุดจึงเกิดการตายของเซลล์แบบ Apoptosis ขึ้น สำหรับหน้าที่ของ Caspase-8 แบบที่สองคือการไปตัดโปรตีน Bid เพื่อให้เริ่มทำงานโดยเป็นตัวไปกระตุ้นไมโตคอนเดรียให้ปลดปล่อย Cytochrome C ซึ่งเป็นจุดเริ่มต้นของกระบวนการเกิด Apoposis อีกทางหนึ่ง (Nagata, 2000)



**ภาพที่ 4** โครงสร้างจำลองของ Caspase-3 ในรูป Proenzyme ที่ประกอบด้วย Prodomain ที่อยู่ทางด้านปลาย N-terminal และมีส่วนของ Large subunit ขนาดประมาณ 20 kDa ส่วนของ Small subunit ประมาณ 10 kDa ตำแหน่งที่ถูกตัดบริเวณจำเพาะเจาะจงในตำแหน่ง Arginine-9 (D9) หรือ Arginine-28 (D28)

ที่มา: Pokpong *et al.* (2007)



**ภาพที่ 5** กลไกการเกิด Apoptosis โดยอาศัย Caspase-3 เป็นตัวรับตัวสุดท้ายใน Cascade ของกลุ่มโปรตีน Caspases

ที่มา: Nagata (2000)

จากรายงานของ Cheah *et al.*, (2005) ชี้ว่าทำการศึกษาความสัมพันธ์ระหว่างการสร้าง Neutrophil กับการทำงานของ Nuclear factor-kappa B (NF-KB) พบว่าการใช้อ่อน化 Caspase-3 สามารถกระตุ้น Neutrophil ทำให้เกิดการตายของเซลล์แบบ Apoptosis ได้ โดยการทดลองในทารกแรกเกิดพบว่าหาก Neutrophil ทำงานล่าช้าลง จะสามารถชักนำให้เกิดการอักเสบแบบเรื้อรังในตับ ไปเป็นโรคตับได้ และจากการทำงานที่ผิดปกติของ Neutrophil ในลักษณะเช่นนี้ มีผลเช่นเดียวกับการใช้ NF-KB เป็นตัวไปกระตุ้น Neutrophil โดยส่งผลให้ Neutrophil ทำงานได้อย่างล่าช้า เช่นเดียวกัน

มีรายงานการพบเอนไซม์ Caspase-3 จากสิ่งมีชีวิตหลากหลายชนิดรวมทั้งในกลุ่มของสัตว์มีกระดูกสันหลังขั้นต่ำ เช่นปลา Sea bass (*Dicentrarchus labrax L.*) โดย Reis *et al.*, (2007) ได้ทำการศึกษาการโคเลนและศึกษาคุณลักษณะของ cDNA ของ Caspase-3 ในปลาชนิดนี้ จากการใช้เทคนิค RT-PCR พบว่ามีการแสดงออกอย่างหลากหลายในอวัยวะต่าง ๆ จากปลาที่ไม่ได้ถูก

กระตุ้น โดยมีการแสดงออกอย่างเบาบางเท่านั้นในไนท์สและหัวใจ และหลังจากการกระตุ้นด้วยเชื้อ *Photobacterium damselae* spp. *piscicida* มีการแสดงออกเพิ่มขึ้นเฉพาะในไสส่วนหน้าเท่านั้น สำหรับผลของการศึกษาลำดับกรดอะมิโนที่ได้จาก Open reading frame (ORF) มีความยาวเท่ากับ 281 Residues โดยมีลำดับกรดอะมิโนคล้ายคลึงกับปลา *Takifugu rubripes* หรือปลา Fugu มาตรีสุด และยังมี Pentapeptide active-site motif คือ QACRG ซึ่ง Motif ดังกล่าวมีทำหน้าที่เป็นตำแหน่ง Active site ของเอนไซม์ Caspase-3 นั้นเอง และยังมีตำแหน่ง GSWFI และ RGD motif ที่เป็น Protein binding domain อีกด้วย สำหรับรายงานของ Yabu *et al.*, (2001) ซึ่งได้ทำการศึกษาคุณลักษณะของ Caspase-3 ใน Zebra fish (*Danio rerio*) โดยอาศัย Ceramide เป็นตัวกระตุ้นให้เกิด Apoptosis ผลการศึกษาสามารถพบ Caspase-3 ในเอมบริโอที่ 12 ชั่วโมง ภายหลังปฏิสนธิของปลาชนิดนี้ โดยการใช้ Ceramide เป็นตัวกระตุ้นทำให้เกิดการตายของเซลล์แบบ Apoptosis ขึ้น ในกระบวนการพัฒนาตัวของตัวอ่อนของ Zebra fish ซึ่งปกติแล้ว Ceramide จะทำหน้าที่เป็น Signalling pathway ผ่านเอนไซม์ในกลุ่ม Caspases โดยมีลำดับกรดอะมิโนที่ได้จาก ORF มีความยาวเท่ากับ 282 Residues และมีลักษณะของ Pentapeptide active-site motif คือ QACRG เช่นเดียวกัน และจากการศึกษาการโคลนและการศึกษาคุณลักษณะของยีน Executioner Caspases เมื่อเกิดการเปลี่ยนแปลงอุณหภูมิ (Hyperthermia) ในเอมบริโอของปลา Atlantic salmon (*Salmo salar*) ผลการศึกษาพบว่าสามารถคั้นพับยีน Caspase ได้ 5 ชนิด ด้วยกัน ได้แก่ Caspase-3A, Caspase-3B, Caspase-6A, Caspase-6B และ Caspase-7 สามารถคั้นพับลำดับนิวคลีโอไทด์เส้นเต็มของ Caspase-3B ได้ โดยมี ORF ของ Proenzyme เท่ากับ 279 Residues แต่ใน Caspase-3A พับเพียงบางส่วนของ Sequence เท่านั้น และมี ORF ของ Caspase-7 เท่ากับ 245 Residues ซึ่งขาดกรดอะมิโนบางส่วนของ Prodomain กับ Large subunit สำหรับ ORF ของ Caspase-6A และ Caspase-6B เท่ากับ 294 และ 302 Residues ตามลำดับ ซึ่งพบว่าในกระบวนการพัฒนาของตัวอ่อน (Embryogenesis) ของปลาหากมีการเปลี่ยนแปลงของอุณหภูมิที่สูงหรือต่ำอย่างผิดปกติ จะสามารถซักนำให้เกิดการตายของเซลล์แบบ Apoptosis ได้ ซึ่งจะทำให้เกิดความพิการในลูกป่วยอ่อนได้ (*Takel et al.*, 2006)

นอกจากนี้ในสัตว์ไม่มีกระดูกสันหลัง เช่น กุ้งขาว หรือ White shrimp (*Penaeus merguiensis*) มีการศึกษาการโคลนและการแสดงออกของ Caspase-3 จากเม็ดเลือด (Haemocytes) ของกุ้งขาว โดยพบว่ามีลำดับกรดอะมิโนทั้งสิ้น 320 Residues และมี Conserved pentapeptide เป็น QACRG ซึ่งทำหน้าที่เป็นบริเวณจุดจำ Active site ของ Caspases เช่นเดียวกัน และผลจากการศึกษากระตุ้นด้วย White spot syndrome virus (WSSV) นาน 24 ชั่วโมง พบร่วมกับมีการแสดงออกของยีนชนิดนี้มากทั้งในกุ้งปกติและกุ้งที่ป่วย WSSV สำหรับกุ้งที่ใกล้ตาย (Moribund) สามารถพบการ

แสดงออกของยีน Caspase-3 ได้อย่างเบาบาง ไปจนถึงไม่มีการแสดงออกเลย (Phongdara *et al.*, 2006)

## 5. Granzyme

เอนไซม์ Granzymes โดยทั่วไปแล้วจะถูกสร้างจาก Cytotoxic T cells และ Natural killer cells ที่เป็นการตอบสนองในระบบภูมิคุ้มกันแบบจำเพาะ (Adaptive or Acquired immunity) โดยผ่านเซลล์ (Cell-mediated immune response) ซึ่ง Granzymes สามารถกระตุ้นให้เกิดการตายของเซลล์แบบ Apoptosis โดยในกลไกที่มี Granzyme ภายในเซลล์นั้นเราจะเรียกว่า “Granzyme-mediated pathways” ที่ตอบสนองการกระตุ้นจากจุลชีพที่อาศัยอยู่ภายในเซลล์ ได้แก่ ไวรัสและแบคทีเรียบางชนิด

Granzymes เป็นเอนไซม์ในกลุ่มของ Serine proteases ซึ่งปลดปล่อยมาจาก Cytoplasmic granules ของ Cytotoxic T cells และ Natural killer cells หน้าที่หลักของเซลล์เหล่านี้คือสามารถกระตุ้นให้เกิดการตายของเซลล์แบบ Apoptosis ในเซลล์เป้าหมายที่ติดเชื้อที่มีสาเหตุมาจากการติดเชื้อแบคทีเรีย (Obligate intracellular microbes) บางชนิด (Bots and Medema, 2006) เซลล์เป้าหมายจะถูกทำลายโดย Cytotoxic T cells และ Natural killer cells จากการสร้างโปรตีนที่เรียกว่า “Perforin” ในขั้นตอนเมื่อ Perforin ถูกปลดปล่อยออกจากเซลล์ดังกล่าว นี่ Perforin จะมีหน้าที่หลักในการสร้างรูบนพื้นผิวของเซลล์เป้าหมายแล้วจึงปลดปล่อย Granzymes เช่น Granzyme B ที่บรรจุอยู่ภายใน Granules จากนั้น Granzyme B ซึ่งเป็นเอนไซม์ Serine protease จะกระตุ้นเอนไซม์ในกลุ่มของ Caspases ที่มีอยู่หลายตัวด้วยการตัดในส่วนที่เป็น Aspartate residues (Buzzia and Bird, 2006) แล้วจึงเกิด Cascade ของ Caspases ไปจนถึง Caspases ตัวสุดท้ายนั้นคือ Caspase-3 ในที่สุดการตายของเซลล์แบบ Apoptosis จึงเกิดขึ้น

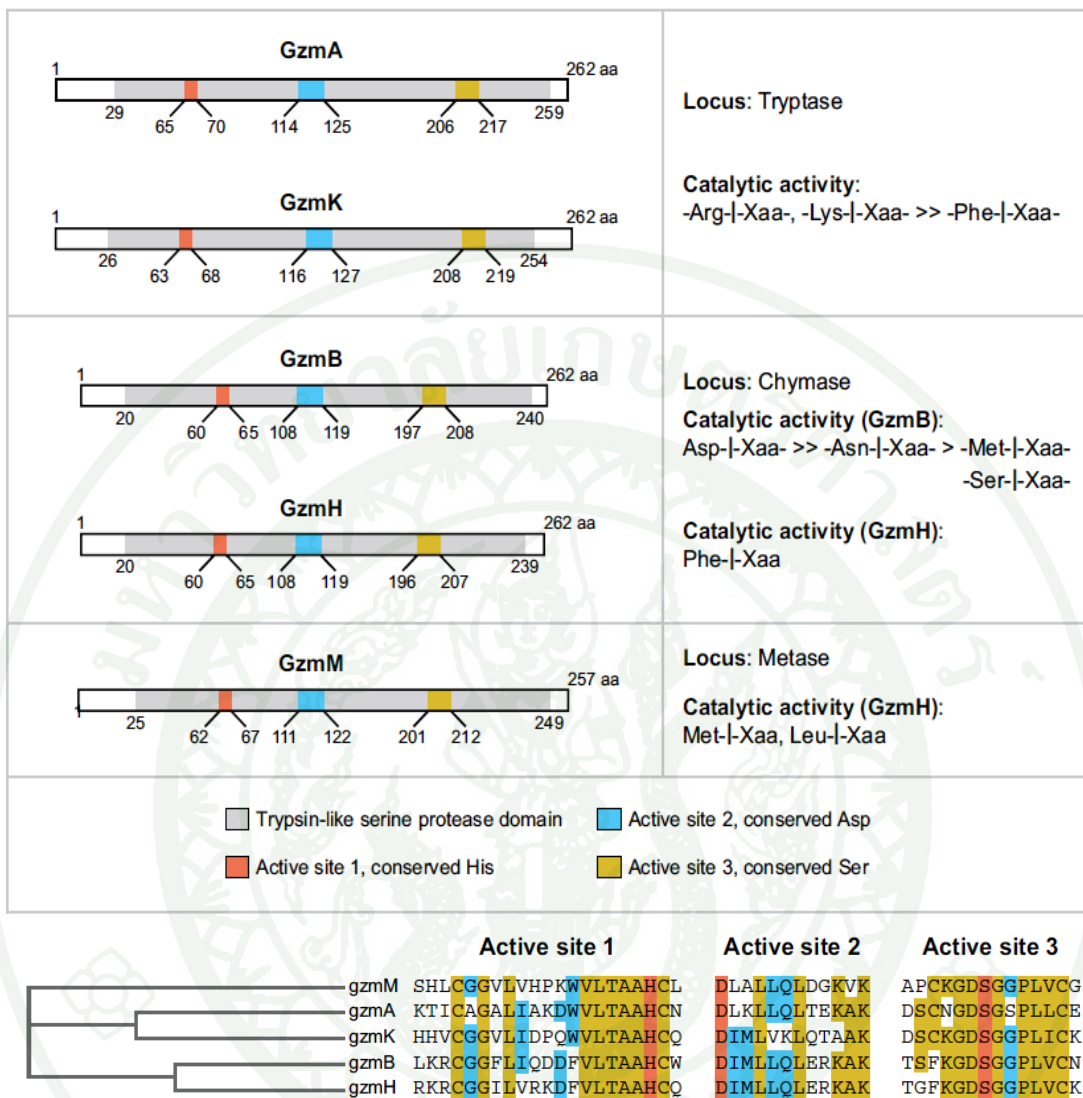
### 5.1 ชนิดของ Granzymes

ในปัจจุบันในสิ่งมีชีวิตชั้นสูงนี้ สามารถแบ่งกลุ่มของ Granzymes ได้เป็น 5 กลุ่มตามชนิดของ Substrate ได้อย่างจำเพาะเจาะจง โดยรายงานที่พบในมนุษย์ ได้แก่ Granzyme A, Granzyme B, Granzyme H, Granzyme K และ Granzyme M และในหนูสามารถแบ่งได้ 4 ชนิด ได้แก่ Granzyme A, Granzyme B, Granzyme K และ Granzyme M ซึ่งมีโครงสร้างคล้ายคลึงกับ Granzymes ในมนุษย์ (Grossman *et al.*, 2003) สำหรับ Granzyme C จากหนูจะมีโครงสร้างคล้าย

กับ Granzyme H ในมนุษย์มากที่สุด โดย Granzyme จากหนูที่มีรายงานทั้งสิ้นถึง 10 ชนิด สำหรับชนิดที่เหลือได้แก่ Granzyme E, Granzyme F, Granzyme G และ Granzyme N นั้น ยังไม่ทราบหน้าที่และการทำงานที่ชัดเจน แต่พบการแสดงออกใน Cytotoxic T lymphocytes จาก Testis ของหนูชั้นเดียวกัน (Bots and Medema, 2006)

โดยอาศัย Substrate ของโปรตีน Granzyme ทำให้สามารถนำเข้าจัดกลุ่มของ Granzyme ตาม Locus ที่พบ (gapที่ 6) แบ่งเป็น 3 กลุ่มใหญ่ ซึ่งพบได้ทั้งในมนุษย์และหนู (Chowdhury and Lieberman, 2008) ได้แก่ Locus tryptase ที่ประกอบด้วยกลุ่มของ Granzyme A และ K ที่อยู่บนโครโนไซมแท่งที่ 5 (มนุษย์) กับโครโนไซมแท่งที่ 13 (หนู) มีหน้าที่สำคัญเป็นสารเคมีในการก่อภูมิแพ้ที่สร้างมาจาก Mast cell ซึ่งทำหน้าที่ในการไปทำลายเนื้อเยื่อและขับยังการผลิตโปรตีนที่สำคัญบางชนิด เพื่อใช้สำหรับการพัฒนาตัวอ่อน (Embryo), Locus chymase ซึ่งได้แก่ กลุ่มของ Granzyme B และ H บนโครโนไซมแท่งที่ 14 (มนุษย์) ถูกสร้างมาจาก Mast cell เช่นเดียวกันแต่ทำงานร่วมกับ Granulocytes ซึ่งเกี่ยวข้องกับการตอบสนองต่อจุลชีพหรือปรสิตต่าง ๆ (Caughey, 2007) และ Locus metase บนโครโนไซมแท่งที่ 19 (มนุษย์) กับโครโนไซมแท่งที่ 10 (หนู) จัดอยู่ใน Granzyme M ซึ่งทำหน้าที่เป็นตัวกลางให้เกิดการซักนำการตายของเซลล์ ผ่านทางวิถีของ Caspases (Kelly *et al.*, 2004)

ในขั้นตอนที่ Granzyme ผ่านเข้าไปในเซลล์เป้าหมาย โดยอาศัย Receptor ที่มี Electrostatic interactions กับ Heparan sulphate ซึ่งเป็น Proteoglycans โดยมี Receptor ที่เรียกว่า “Mannose-6-phosphate” ที่อยู่บนผิวเซลล์ เมื่อ Granzyme เข้าไปในไซโตพลาซึม โดยอาศัยโปรตีน Perforin ที่มีลักษณะเป็น Pore-forming molecule สามารถทำให้เกิด Permeabilization ที่เยื่อหุ้มเซลล์ จนเกิดรูของ Perforin จะเป็นช่องทางให้ Granzyme ผ่านเข้าไปในเซลล์เป้าหมาย โดยรูจะนึ่งอยู่ได้ระยะหนึ่งโดยในส่วนของขั้นตอนการเกิดรูนั้น Perforin จะจับรวมตัวกัน (Perimerizes) ในสภาพที่มี Calcium เป็น Cofactor ซึ่งจะทำให้ได้โครงสร้างที่คล้ายกับ Complement C9 ซึ่งเซลล์เป้าหมายจะสูญเสียความสามารถของการควบคุมน้ำและเกลือแร่ไป หลังจากนั้น Plasma membrane ของเซลล์จะทำการซ่อมแซมตัวเองอีกครั้ง (Catalfamo and Henkart, 2003)



ภาพที่ 6 การจัดกลุ่มของบีน Granzymes ตามโครงสร้างของ Catalytic active site

ที่มา: Chowdhury and Lieberman (2008)

## 5.2 บทบาทของ Granzyme ชนิดต่าง ๆ ในการเกิด Apoptosis ภายในเซลล์

5.2.1 Granzyme A ทำหน้าที่หลักในการเป็นตัวกระตุ้นให้เกิดการตายของเซลล์ โดย Granzyme A เป็นอนไซม์ทำหน้าที่เข้าไปตัด Single-strand DNA ในระหว่างกระบวนการแบ่งเซลล์ นอกจากนี้การตายของเซลล์ที่เกิดขึ้นจากการชักนำด้วย Granzyme A นี้ จะไม่เกี่ยวข้องกับกิจกรรมของอนไซม์ในกลุ่ม Caspases และ Granzyme A ยังมีความแตกต่างจาก Granzyme B ที่

ตำแหน่งของการทำงาน นั่นคือ Granzyme A ทำให้เกิดความเสียหายในส่วนของ Inner membrane ในไม่ต้องอาศัย และปลดปล่อยสารเคมีที่ได้จากกลไกของ Reactive oxygen species (ROS) ซึ่งสามารถพบได้ในกระบวนการหายไขของเซลล์ ส่วน Outer membrane ยังคงมีสภาพอยู่ได้ และยังมีบริเวณที่สามารถสร้างโปรตีนในกลุ่มของ Pro-apoptotic ได้แก่ Cytochrome C, High temperature required protein A2 (HtrA2) หรือเรียกว่า “Omi หรือ Second mitochondria-derived activator of Caspases/ Direct IAP-binding protein with low pI (Smac/Diablo)” ซึ่งเป็นโปรตีนที่ยังไม่ได้ถูกปลดปล่อยออกมานา (Chowdhury *et al.*, 2006; Martinvalet *et al.*, 2005)

จากภาพที่ 7 เป็นกลไกหนึ่งที่อาศัย Cytotoxic T cells ในการกำจัดเซลล์ Tumor และเซลล์ที่เกิดการติดเชื้อจากไวรัส โดยการปลดปล่อยโปรตีน Perforin ที่สร้างมาจากการ Cytotoxic T cells ซึ่งโปรตีนชนิดนี้มีหน้าที่ในการจับกับผนังเซลล์ ทำให้เกิดรู จากนั้น Granzyme A และ Granzyme B จะเข้าไปปะยัยในเซลล์ โดย Granzyme B จะทำหน้าที่ในการกระตุ้นการทำงานของ เอนไซม์ Caspases เพื่อเข้าไปตัดโปรตีน Caspase-activated DNase Inhibitor (ICAD) ที่ปลดปล่อย มาจาก DNA Fragmentation factor 40 (DFF40) จนทำให้เกิดการแตกหักของ DNA ที่อยู่ภายใน นิวเคลียส สำหรับ Granzyme A นั้น เป็นหนึ่งในเอนไซม์ที่มีการปลดปล่อยออกมามาก จาก Cytotoxic T cells โดยกลไกที่เกิดขึ้นนั้น Granzyme A จะทำการตัด SET complex ซึ่งเป็นกลุ่ม โปรตีนเชิงซ้อนที่ประกอบไปด้วย SET, NME1, Apurinic endonuclease 1 (Ape1), pp32 และ HMG2 โดยทั้งหมดเป็น Substrate ที่มีความจำเพาะต่อ Granzyme A เท่านั้น และพบว่ายีน NM23-H1 หรือ NME1 (ภาพที่ 7) จะเข้าไปทำลาย DNA โดยการทำให้เกิด DNA fragmentation ที่อยู่ภายในนิวเคลียสของเซลล์เป็นอย่างมาก โดย NME1 นี้จะเป็น Suppressor ของยีน Tumor เป็นผลทำให้การ เกิด Tumor มีจำนวนลดลง (Fan *et al.*, 2003)

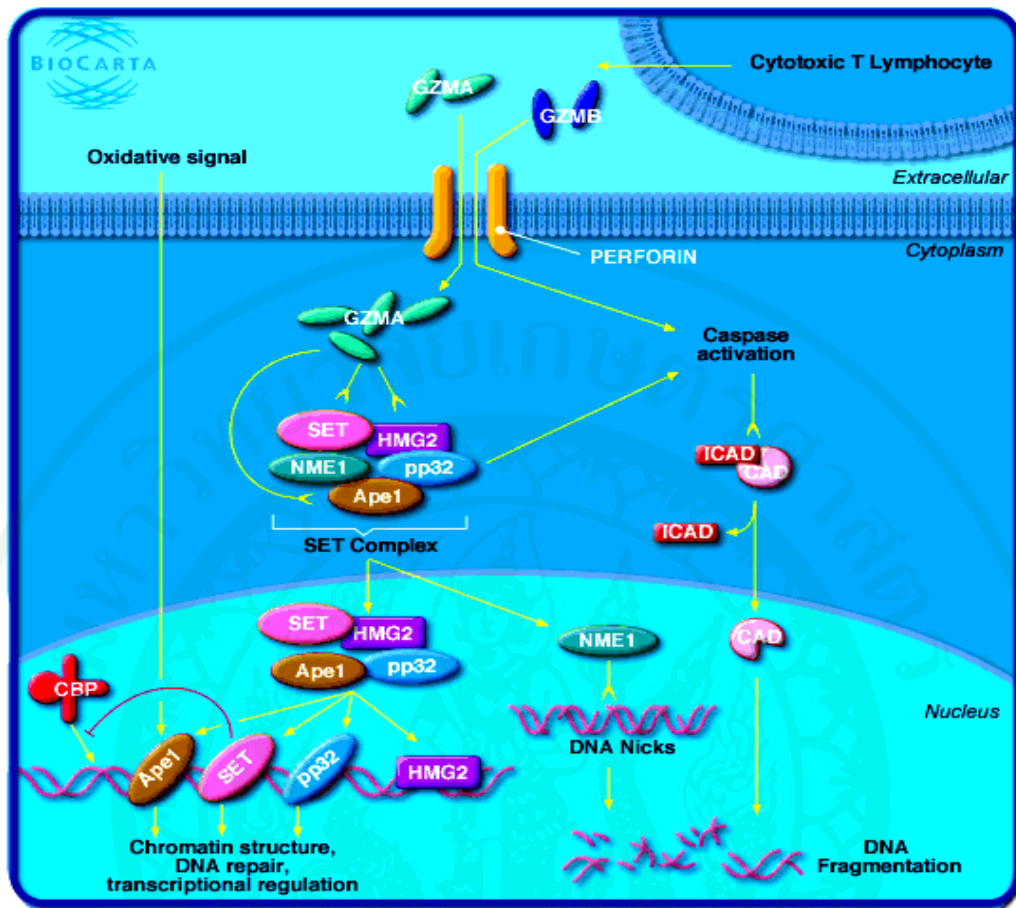
หลังจากที่โปรตีน SET complex ถูกตัดแล้วจะพบว่าโปรตีนที่หลุดออกมานะ จะทำหน้าที่ในการยับยั้งการถูกทำลายของ DNA ซึ่งโปรตีนเหล่านี้จะสามารถผ่านเข้าไปปะยัยในนิวเคลียโซไซม์ และจะทำงานร่วมกับ cAMP response element binding protein (CBP) สำหรับโปรตีน Apurinic endonuclease (Ape1) เมื่อหลุดออกมานาจาก SET complex จะทำหน้าที่เป็นตัวช่วยในการ เสียหายของ DNA เช่นเดียวกับโปรตีน HMG2 จะเข้าไปจับกับสาย DNA เพื่อเปลี่ยนแปลงโครงสร้างของ DNA ให้เหมาะสมสามารถเกิดกระบวนการ Transcription ขึ้นได้ ในขณะเดียวกัน โปรตีนที่ทำหน้าที่ในการยับยั้ง NM23-H1 ที่ชื่อ SET จะทำงานร่วมกับ CBP ซึ่งเป็นตัว Coactivator ในกระบวนการ Transcription เช่นเดียวกันและสำหรับโปรตีน pp32 ทำหน้าที่ยับยั้งยีน Tumor จะสามารถกระตุ้นการเกิด Cascade ของเอนไซม์ Caspases ได้อีกด้วยหนึ่ง เป้าหมายต่อไปของ

Granzyme A คือโปรตีน Nuclear lamins ซึ่งเป็นโปรตีนสำคัญในการรักษาสภาพของเยื่อหุ้มนิวเคลียส (Nuclear envelope) และโปรตีน Histone H1 ทำหน้าที่รักษาโครงสร้างของโครงโน้มโดย Granzyme A จะตัดโปรตีน Nuclear lamins ทำให้เกิดช่องทางในการเข้าในภายในนิวเคลียสแล้ว Granzyme A จึงตัดโปรตีน Histone H1 ในที่สุดจึงเกิด DNA fragmentation ตามมา (Lieberman and Fan, 2003)

5.2.2 Granzyme B หรือ Serine protease B เป็นเอนไซม์ซึ่งทำหน้าที่ในการขักนำให้เกิดการตายของเซลล์ในกลไก Apoptosis โดย Granzyme B จะไปตัดบริเวณ Carboxyl side ของ Aspartate residues ของเอนไซม์ Caspases ซึ่งเป็น Substrate ที่เฉพาะเจาะจงของ Granzyme B ซึ่งจะเริ่มต้นจากการปลดปล่อย Granzyme B ที่สร้างมาจาก Cytotoxic T cell หรือ Natural killer (NK) cell เข้าสู่เซลล์เป้าหมายผ่าน Perforin ซึ่งเกี่ยวข้องกับการเกิด Lytic ของเซลล์ (Fan and Zhang, 2005)

กลไกการตายของเซลล์แบบ Apoptosis โดยการกระตุ้นผ่าน Granzyme B จะเกิดขึ้นเมื่อ Granzyme B เข้าสู่ภายในไซโตพลาซึมของเซลล์แล้ว Granzyme B จะไปตัดบริเวณ Aspartate residues ของเอนไซม์ Pro-caspases-3 ซึ่งเป็น Substrate ของ Granzyme B ให้เริ่มต้นทำงาน (Cullen and Martin, 2008) จากนั้น Caspase-3 จะทำหน้าที่เป็นเอนไซม์ไปตัดโครงสร้างเชิงช้อนของโปรตีน ระหว่างโปรตีน Caspase-activated DNase (CAD) กับโปรตีน Caspase-activated DNase inhibitor (ICAD) ทำให้โปรตีนทั้งสองเกิดการแยกตัวออกจากกัน จากนั้น CAD จึงเข้าไปในนิวเคลียสแล้วเริ่มทำหน้าที่ โดยจะรวมตัวเข้ากับเอนไซม์ Topoisomerase II ซึ่งเป็นเอนไซม์ที่ทำหน้าที่ตัดสาย DNA ทำให้ DNA ขาดหรือแตกหัก เกิดการหดตัวของโกรมาติน ทำให้เกิดการแตกของสาย DNA (DNA fragmentation) ในที่สุดจึงเกิด Apoptosis ขึ้น (ภาพที่ 8)

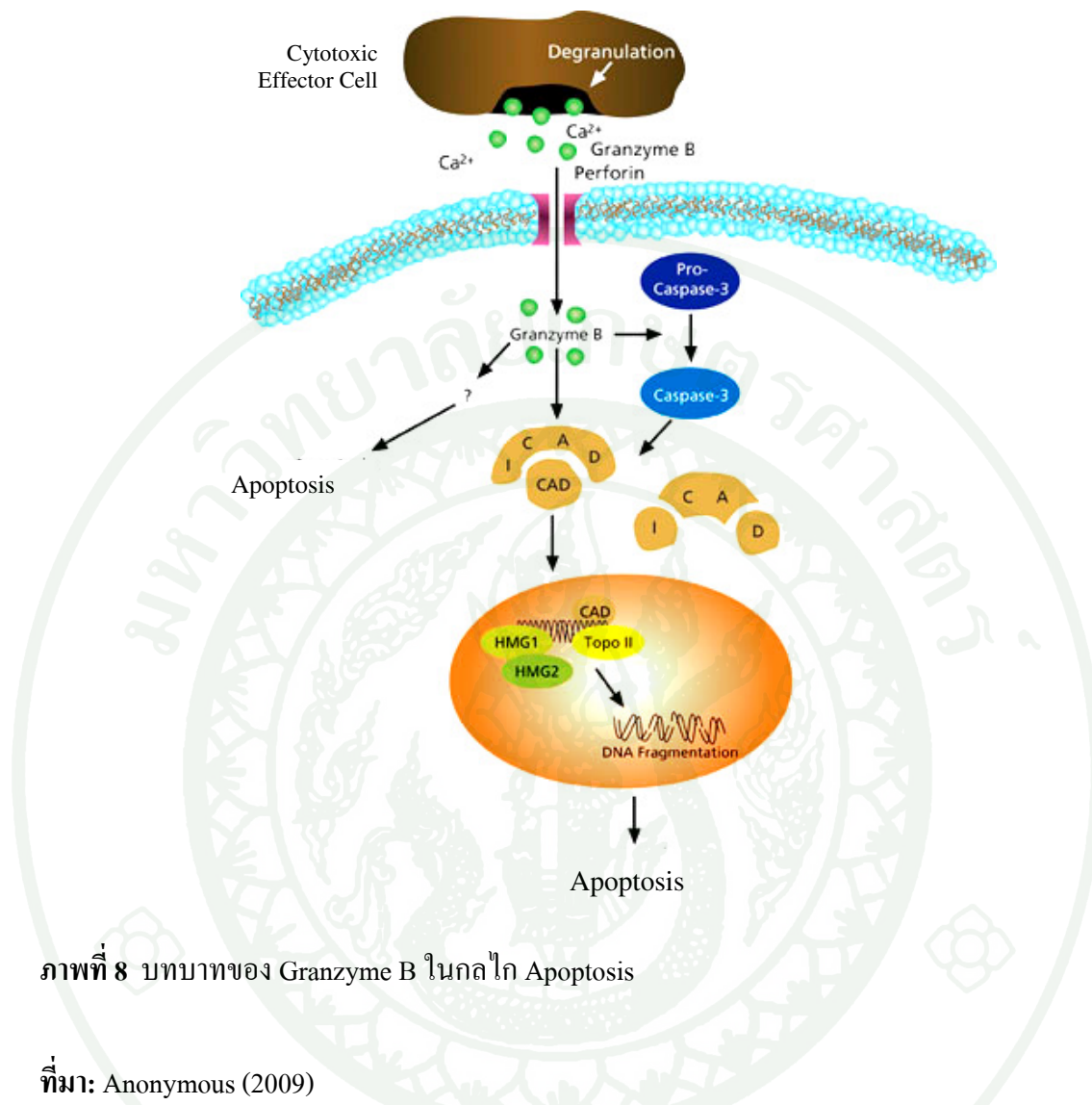
นอกจากเอนไซม์ในกลุ่มของ Caspases ที่เป็น Substrate ของ Granzyme B ยังมี Substrate ตัวอื่น ๆ ที่จำเพาะเจาะจงอีกในการถูกตัด ได้แก่ Bid ซึ่งเป็น Pro-apoptotic เมื่อ Bid ถูกตัดแล้วจะเคลื่อนตัวเองเข้าไปในไนโตรคอนเดรียเพื่อจับกับ Bax หรือ Bak ที่อยู่บริเวณ Outer membrane ซึ่งผลที่ได้คือการปลดปล่อย Cytochrome C ซึ่งจะไปรวมตัวกับ Caspase-9 และกลาเป็น Apoptosome และจึงไปตัดโปรตีน Pro-caspase-3 ที่รออยู่เพื่อกระตุ้นให้เกิด Apoptosis อีกทางหนึ่ง (Cullen and Martin, 2008)



ภาพที่ 7 กลไกการทำงานของ Granzyme A และ B ในการเกิด Apoptosis ภายในเซลล์โดยผ่านทาง Cytotoxic T lymphocytes ในกระบวนการ Cell mediated immune responses

ที่มา: Croston (2009)

5.2.3 Granzyme C และ Granzyme H ถูกจัดอยู่ในกลุ่มของเอนไซม์ที่เรียกว่า “Orphan granzyme” เนื่องจากยังไม่มีการศึกษาข้อมูลมากนัก ซึ่งมีรายงานการพบยืนกลุ่มนี้หลายชนิดในหนูได้แก่ Granzyme C, Granzyme D, Granzyme E, Granzyme F, Granzyme G, Granzyme K, Granzyme L, Granzyme M และ Granzyme N ถ้าหากเป็นกลุ่มของ Granzyme ที่พบในมนุษย์ได้แก่ Granzyme H, Granzyme K และ Granzyme M โดยทั่วไปแล้วกลุ่ม Granzymes ดังกล่าวพบได้ค่อนข้างน้อยถ้าเทียบกับ Granzyme A และ Granzyme B



ภาพที่ 8 บทบาทของ Granzyme B ในกลไก Apoptosis

ที่มา: Anonymous (2009)

Granzyme C เป็นเอนไซม์ตัวหนึ่งในกลุ่มของ Serine proteases ที่ถูกสร้างมาจาก Cytotoxic T-cell และ Natural killer cell ของมนุษย์ ซึ่งมีชื่อเรียกอื่นว่า Cytotoxic cell protease-2 (CCP2) โดยเป็น Homolog กับยีน RNKP-4 ของมนุษย์ หน้าที่ของ Granzyme C จะเป็นตัวกระตุ้นในกลไกที่เกี่ยวข้องกับไม่โตคอนเดรีย ซึ่งทำให้เกิดความเสียหายบริเวณ Membrane ของไม่โตคอนเดรีย ผลที่ได้คือไม่โตคอนเดรียปลดปล่อย Cytochrome C ออกมาระดับน้ำให้เกิดกลไกของ Apoptosis จากนั้นยังทำงานคล้ายกับ Granzyme A ตรงที่ทำให้เกิดการขาดของ Single-Stranded DNA เช่นกัน (Johnson *et al.*, 2003)

ส่วน Granzyme H นั้น จัดอยู่ในกลุ่มของ Locus chymase ซึ่งมีลักษณะโครงสร้างคล้ายกับ Granzyme B แต่ส่วนใหญ่แล้วจะทำหน้าที่ใกล้เคียงกับ Granzyme C โดยหน้าที่และบทบาทยังคงไม่แน่ชัดนัก

5.2.4 Granzyme K หรือ Granzyme-3 เป็นเอนไซม์อีกตัวหนึ่งที่จัดอยู่ใน Locus tryptase ที่พบอยู่บนโครโมโซมเดียวกับ Granzyme A ซึ่งถูกค้นพบใน RNK-16 cell line ของหนูจากการเริ่มเกิด Apoptosis ที่เลื่องไวนานกว่า 14 ชั่วโมง ใน Cytotoxicity assay (Shi *et al.*, 1992) โดย Granzyme K จะมีปริมาณที่พบน้อยกว่า Granzyme A อย่างไรก็ตามเอนไซม์ชนิดนี้ มีหน้าที่และทำงานโดยไม่เกี่ยวข้องกับโปรตีนในกลุ่ม Caspases ซึ่งทำให้ไม่พบการเปลี่ยนแปลงของเซลล์แบบ Apoptosis แต่จะไปรบกวนการทำงานของไมโตคอนเดรีย ทำให้เกิดการสร้าง Reactive oxygen species (ROS) ซึ่งเป็นพิษต่อเซลล์เจ้าบ้าน นอกจากนี้ Granzyme K ที่ไม่สามารถทำให้เกิดการซักนำให้เกิดการปลดปล่อยโปรตีนชนิด Pro-apoptotic เช่น Bid หรือ Bax ได้เช่นกัน (Grossman *et al.*, 2003)

5.2.5 Granzyme M เป็นเอนไซม์ในกลุ่มของ Serine protease ที่ถูกค้นพบในมนุษย์และหนูพบว่ามีความสัมพันธ์กับระบบภูมิคุ้มกันที่มีมาตั้งแต่เกิด (Innate immunity) ซึ่งพบว่าถูกสร้างมาจาก Natural killer cells และจะแตกต่างจาก Granzyme ชนิดอื่นตรงตำแหน่งตัดของ Substrate เป็น Methionine หรือ Leucine residues แทน สำหรับหน้าที่และการทำงานของ Granzyme M ไม่จำเป็นต้องอาศัยโปรตีนในกลุ่มของ Caspases แต่จะมีบทบาทไปรบกวนการทำงานของไมโตคอนเดรียซึ่งจะไม่สามารถทำให้เกิดการแตกหักของ DNA ได้ (Chowdhury and Lieberman, 2008) และจาก การศึกษาของ Pao *et al.* (2005) พบว่าหากหนูขาด Granzyme M ในขั้นตอนการเปลี่ยนแปลงหรือ การพัฒนาตัว (Development) และการรักษาระดับความสมดุลของเซลล์ (Homeostasis) จะทำให้เกิดการเปลี่ยนแปลงของเซลล์ไปเป็นเซลล์ Tumor ได้

จากการศึกษาส่วนใหญ่แล้ว พบว่ามีรายงานการศึกษาเย็น Granzyme ชนิดต่าง ๆ ในมนุษย์และหนูเป็นส่วนใหญ่ โดยการศึกษาจะเกี่ยวข้องกับการรักษาโรคที่เกิดจากมะเร็งหรือเนื้องอก หรือเกิดจากการติดเชื้อภายในเซลล์ เช่น ไวรัส ซึ่งเป็น Granzyme จะเป็นตัวกลางสำคัญที่เกิดขึ้นภายในเซลล์ ในกลไกการตายของเซลล์ นอกจากนี้จากการศึกษาของ Praveen *et al.* (2004) ได้ทำการศึกษาคุณลักษณะของเย็น Granzyme ในปลากระดูกแข็ง (Teleost) โดยสามารถค้นพบเย็นชนิดนี้ได้เป็นครั้งแรก จากการศึกษาพบว่าเป็นเย็นในกลุ่ม Granzyme-like serine protease ที่ได้จาก Cytotoxic cells ที่เป็น Nonspecific cytotoxic cells (NCC) ในปลา Channel catfish หรือเรียกว่า

“Channel catfish Granzyme-1 (CFGR-1)” ซึ่งยืนชนิดนี้มีลักษณะโครงสร้างของยีนคล้ายกับยีน Granzyme A และ Granzyme K เพราะมี Substrate ที่จำเพาะเป็น Arginine หรือ Lysine residues แล้วบังพบร่วมกับการแสดงออกของยีนชนิดนี้มากในเซลล์เม็ดเลือดขาวในกระเพาะเลือด ไซส์ส่วนหนึ่ง และมีม้า และจากการศึกษาของ Praveen *et al.* (2006a) ได้ทำการศึกษาโครงสร้างและลักษณะของยีน Granzyme อีกครั้ง โดยสามารถค้นพบยีน Granzyme ได้ในปลา尼ล (Nile tilapia) ซึ่งสร้างมาจาก Nonspecific cytotoxic cells (NCC) และเรียกยีนชนิดนี้ว่า “Tilapia granzyme-1 (TLGR-1)” ผลจาก การศึกษาโครงสร้างของยีน TLGR-1 ทั้งหมด 2,541 bp โดยมีลำดับกรดอะมิโนที่อยู่ใน Open reading frame (ORF) เท่ากับ 254 Residues และจากการทำ Alignment บังพบริเวณลำดับกรดอะมิโน PXXG motif ทางด้าน N-terminal ซึ่งทำหน้าที่ในการส่งสัญญาณในกระบวนการเกิด Apoptosis ซึ่งจำเพาะสำหรับกลุ่มยีน Granzyme ของสัตว์มีชีวิตชนิดต่าง ๆ ด้วย (Bode *et al.*, 1989)

## อุปกรณ์และวิธีการ

### อุปกรณ์

1. ปลา尼ล (Oreochromis niloticus Linn.) ตัวเดี่ยว น้ำหนักประมาณ 800 กรัม จำนวน 21 ตัว และปลา尼ลน้ำหนักประมาณ 40 กรัม จำนวน 81 ตัว จากภาควิชาแพะเลี้ยงสัตว์น้ำ คณะประมง มหาวิทยาลัยเกษตรศาสตร์
2. อาหารเม็ดสำหรับจูบ
3. ตู้กระจกขนาด 100 ลิตร และเครื่องให้อากาศพร้อมอุปกรณ์
4. เครื่องชั่ง Mettler PJ 400
5. ตู้แช่เยือกแข็งอุณหภูมิ -20 องศาเซลเซียส (Mirage)
6. ตู้แช่เยือกแข็งอุณหภูมิ -80 องศาเซลเซียส (Thermo Forma)
7. Autoclave (Hirayama)
8. Centrifuge DYNAC II (Centrifuge Clay Adams)
9. Centrifuge tube ขนาด 15 และ 50 มิลลิลิตร
10. Cylinder ขนาด 100 และ 1,000 มิลลิลิตร
11. Electrophoresis machine, MyRun (Bioactive)
12. Erlenmeyer flask ขนาด 125, 250 และ 1,000 มิลลิลิตร
13. Gel documentation system (Syngene)
14. Glass/Teflon potter homogenizers
15. Green SSeriker II, VS-8480 SFN (Vision Scientific)
16. Grinder (Asahi Glass Co., Ltd.)
17. Hot air oven (Memmert)
18. Incubator (Memmert)
19. Microwave oven (Sanyo Electric Co., Ltd.)
20. Microcentrifuge Mikro 200R (Hettich)
21. Micropipette ขนาด 10, 20, 200 และ 1,000 ไมโครลิตร (Costar)
22. Minicentrifuge (Profuge 6K, Korea)
23. Monovette ขนาด 92x11.5 มิลลิเมตร (Sapstedt)
24. Orbital shaker (Forma Scientific)
25. Optical cap, 8X strip Qty. 120 (Stratagene)

26. PCR tube ขนาด 0.2 มิลลิลิตร (Costar)
27. Pipette ขนาด 10 มิลลิลิตร (Gilson)
28. Plastic box for tube ขนาด 1.5/2.0 มิลลิลิตร และ 10x10 channel
29. 96 Well polypropylene plates natural, non sterile 25 plates/case (Stratagene)
30. Power supply power PAC 200 (Bio-Rad)
31. Real-time PCR machine (Mx Pro 3000P QPCR, Stratagene)
32. Spectrophotometer, Spectronic 401 (Milton Roy)
33. Spectrophotometer, Spectronic 2000 (Bausch&Lomb)
34. Syringe needle No. 20, 22 และ 24 (Nipro)
35. Takara gradient thermal cycler (Takara)
36. Tomy MX-301 High speed refrigerated microcentrifuge (Meditop)
37. Tube ขนาด 15 มิลลิลิตร (Neptune)
38. Vortex-2 genic (Scientific Industries, USA)
39. Waterbath shaker 1083 (GFL)
40. สารเคมีสำหรับงานทางอนุชีววิทยาและกุล
  - Absolute ethanol; C<sub>2</sub>H<sub>5</sub>OH (Merck)
  - 40% Acrylamide/Bis-solution, 19:1 (Bio-Rad)
  - Agarose gel (Conda)
  - Ampicillin sodium salt (Bio Basic Inc.)
  - 5-bromo-4 chloro-3-indoyl-β-D-thiogalactoside; X-Gal (Sigma)
  - Boric acid; H<sub>3</sub>BO<sub>3</sub> (Merck)
  - Brilliant® II SYBR Green QPCR Master mix (Stratagene)
  - Chloroform, CHCl<sub>3</sub> (Merck)
  - Concanavalin A (Bio basic Inc.)
  - 100 mM dNTP (Wardmedic)
  - Diethyl pyrocarbonate (DEPC), C<sub>6</sub>H<sub>10</sub>O<sub>5</sub> (Sigma)
  - Dimethyl sulfoxide (DMSO), C<sub>6</sub>H<sub>10</sub>O<sub>5</sub> (Amersco)
  - Ethidium bromide; EtBr (Sigma)
  - Ethylene diamine tetraacetic acid (EDTA), disodium salt dehydrate (Fluka)
  - Fetal bovine serum, standard quality (PAA)
  - Formamide และ Formaldehyde (BDH)

- GeneRuler™ 100 bp DNA Ladder Plus 0.05 มิลลิกรัม (Wardmedic)
- Glyceral (Bio Basic Inc.)
- Heparin sodium salt (Sigma)
- Isopropyl- $\beta$ -D-thiogalactoside; IPTG (Sigma)
- Isopropanol (Merck)
- Lymphoprep (Axis-shield)
- Magnesium chloride; MgCl<sub>2</sub> (Merck)
- N, N, N', N'-Tetramethylenediamide; TEMED (Bio-Rad)
- 3-[N-morpholino] propane-sulfonic acid; MOPS (Bio basic Inc.)
- Penicillin/Streptomycin (PAA)
- Phosphate-buffer saline (PBS)
- RPMI medium 1640 (Gibco)
- Sodium chloride; NaCl (Merck)
- Sodium hydroxide; NaOH (Eka-Nobel)
- Sterile distilled water; dH<sub>2</sub>O
- Tri-Sodium citrate dihydrate (Scharlau)
- Tris-base; Tris-Hydroxymethyl amino methane (Pacific science)
- Trizol reagent (Molecular Research Center)

41. ชุด Kit สำหรับรูป

- BD Smart™ RACE cDNA Amplification Kit (BD Bioscience clontech)
- Plasmid DNA Extraction Kit (Bioexcellence)
- Quick Prep® Micro mRNA Purification Kit (Amersham pharmacia biotech)
- RevertAid™ First Stand cDNA synthesis Kit (Fermentas)
- Wizard® SV Gel and PCR Clean-Up System (Promega)

42. เอนไซม์ตัดจำพวก (Restriction enzyme) และ Clonning vector

- *Bam* HI (Fermentas)
- *Eco* RI (Fermentas)
- *Taq* DNA polymerase (Fermentas)
- *Xho* I (Fermentas)
- pGEM®-T- Easy Vector (Promega)

43. สายพันธุ์ของเชื้อแบคทีเรีย

- *Escherichia coli* สายพันธุ์ JM 109
- *Streptococcus agalactiae* สายพันธุ์ AQSA001
- *Aeromonas hydrophila* สายพันธุ์ AQAH001

44. อาหารเลี้ยงเชื้อ (ภาคผนวก)

- Luria Bertani Broth (LB Broth)
- Luria Bertani Agar (LB Agar)
- Trypticase Soy Broth; TSB (Difco)
- Trypticase Soy Agar; TSA (Difco)
- Yeast extract (Scharlau)
- Super Optimal Culture Medium (SOC Medium)

45. โปรแกรมคอมพิวเตอร์สำหรับการวิเคราะห์ลำดับนิวคลีโอไทด์และกรดอะมิโน

- BLASTN and BLASTX program
  - <http://www.ncbi.nlm.nih.gov/blast/BlastN>
  - <http://www.ncbi.nlm.nih.gov/blast/BlastX>
- CLUSTALW program
  - <http://www.ebi.ac.uk/Tools/clustalw/index.html>
- DAS transmembrane prediction program
  - <http://www.sbc.su.se/~miklos/DAS/>
- EMBOSS Pairwise alignment algorithms
  - <http://www.ebi.ac.uk/emboss/align/>
- ExPASy Proteomics Server
  - <http://au.expasy.org/tools/protparam.html>
- MatGat version 2.01
- MEGA program version 3.0
- MxPro™ QPCR software version 4.0
- Genetyx® version 7.0
- PROSITE predictions
  - <http://au.expasy.org//prosite>
- PSIPRED Protein Structure Prediction Server
  - <http://bioinf.cs.ucl.ac.uk/psipred/psiform.html>

- Vecscreen

<http://www.ncbi.nlm.nih.gov/VecScreen/VecScreen.html>

**ตารางที่ 1 ไพรเมอร์และลำดับนิวคลีโอไทด์ของไพรเมอร์ที่ใช้ในการทดลอง**

Oligonucleotide primers	Sequence 5' → 3'
T3 primer	ATTAACCCTCACTAAAGGGA
T7 primer	TAATACGACTCACTATAGGG
M13F primer	TTGTAAAACGACGCCAGTG
M13R primer	CCTTGTGATACTGGTACT
Caspase F1 primer	GGACCTGGAGTGGACGATACA
Caspase R1 primer	AGGGGAGAAGGCGTAGAGGA
Caspase F2 primer	ACAGATCTGGATCCAGGCAT
Caspase R2 primer	ATCACTGATCCCTGAAGCCA
Caspase F3 primer	TGCAGGCAACGCCATGAGAGTATT
Caspase R3 primer	TACTGAGCCGTCCGTACCAAAGAA
Granzyme F1 primer	ACGTCGCTGATACCTGTCAAG
Granzyme R1 primer	ATGTGGTGGACTAGCCAAGTG
Granzyme F2 primer	ACAGGTATCAGCGACGTTGTACC
Granzyme R2 primer	GACTGATGCTGGTGGTTCACACA
β-actin F1 primer	GGTCATCACCATTGGCAATG
β-actin R1 primer	GAGTAACCGTACCGAAGTCA
β-actin F2 primer	ACAGGATGCAGAAGGAGATCACAG
β-actin R2 primer	GTACTCCTGCTTGCTGATCCACAT

## วิธีการ

### **1. การโคลนและศึกษาคุณลักษณะของลำดับนิวคลีโอไทด์ที่สัมบูรณ์ของ Complementary DNAs (cDNAs) ของยีน Caspase-3 และ Granzyme ในปลา尼ล**

#### **1.1 การเตรียมสัตว์ทดลอง**

นำปลา尼ลตัวเดิมวัยน้ำหนักประมาณ 800 กรัม จำนวน 1 ตัว ที่ไม่มีอาการของโรคมาเลี้ยงในตู้กระจกขนาดประมาณ 100 ลิตร ในโรงเพาะเลี้ยงสัตว์น้ำ ภาควิชาเพาะเลี้ยงสัตว์น้ำ คณะประมง มหาวิทยาลัยเกษตรศาสตร์ เพื่อปรับสภาพปลาnidให้คุ้นเคยกับสิ่งแวดล้อมใหม่ โดยให้อาหารสำเร็จรูป 2 ครั้งต่อวัน เวลาเช้าและเย็น เปลี่ยนถ่ายน้ำและคุณตากอนทุก ๆ 2 วัน ให้อาหารตลอดเวลาประมาณ 1 สัปดาห์

#### **1.2 การเก็บตัวอย่างเนื้อเยื่อและการเตรียม Total RNA**

ทำการเก็บตัวอย่างเนื้อเยื่อไตก่อส่วนหน้าของปลา尼ล โดยใช้กรรไกรที่ม่าเชือแล้วตัดเป็นชิ้นเล็ก ๆ ถ้างานนี้เป็นเยื่อเยื่อคัวบ RPMI medium แล้วใส่ลงใน Microcentrifuge tube ขนาด 1.5 มิลลิลิตร ให้ได้ปริมาตร 50-100 มิลลิกรัม เติม Trizol Reagent (Molecular Research Center) ปริมาตร 1 มิลลิลิตร แซ่ในน้ำแข็ง จากนั้นใส่ลงใน Glinger เพื่อทำการบดเนื้อเยื่อให้ละเอียด ทำลาย Genomic DNA โดยใช้เข็มพิคยาเบอร์ 24 ดูดขึ้นลงประมาณ 10-15 ครั้ง บ่มที่อุณหภูมิห้องนาน 5 นาที แล้วจึงสกัด Total RNA ตามวิธีการของบริษัท Molecular Research Center โดยเติม Cholroform ปริมาตร 0.2 มิลลิลิตรต่อปริมาตรของ Trizol Reagent 1 มิลลิลิตร ผสมให้เข้ากัน โดยการกลับหลอดไปมา นาน 15 วินาที แล้วจึงบ่มที่อุณหภูมิห้อง เป็นเวลา 3 นาที นำไปปั่นให้ว่องไว้ 12,000 rpm ที่อุณหภูมิ 4 องศาเซลเซียส เป็นเวลา 15 นาที จากนั้นดูดส่วนไส้ด้านบนซึ่งเป็นชั้นของ RNA ไปใส่ใน Microcentrifuge tube ขนาด 1.5 มิลลิลิตร หลอดใหม่ แล้วเติม Isopropyl alcohol 0.5 มิลลิลิตร ผสมให้เข้ากัน โดยการกลับหลอดไปมา แล้วจึงบ่มที่อุณหภูมิห้อง เป็นเวลา 10 นาที นำไปปั่นให้ว่องไว้ 12,000 rpm ที่อุณหภูมิ 4 องศาเซลเซียส เป็นเวลา 10 นาที เทส่วนไส้ด้านบนทิ้ง จากนั้นเติม 75% Ethanol ปริมาตร 1 มิลลิลิตร เพื่อเก็บรักษา Total RNA แล้วจึงนำ Total RNA ที่ได้ไปเก็บที่อุณหภูมิ -80 องศาเซลเซียส

### 1.3 การวัดความเข้มข้นของ Total RNA

นำ Total RNA ที่เก็บอยู่ใน 75% Ethanol มาปั่นเหวี่ยงที่ความเร็วรอบ 7,500 rpm ที่อุณหภูมิ 4 องศาเซลเซียส เป็นเวลา 5 นาที ดูดส่วนใสของ 75% Ethanol ออก แล้วจึงเติม DEPC water เพื่อลดลายตะกอน แล้วดูดสารละลาย Total RNA ปริมาตร 2 ไมโครลิตร ไปผสมกับ DEPC water ปริมาตร 68 ไมโครลิตร ใส่ใน Microcentrifuge tube ขนาด 1.5 มิลลิลิตร หลอดใหม่ จากนั้นนำสารละลายละลายที่ได้ไปวัดค่าการดูดกลืนแสง (Absorbance) โดยใช้เครื่อง Spectrophotometer ที่ความยาวคลื่น 260 นาโนเมตร ( $A_{260}$ ) และที่ความยาวคลื่น 280 นาโนเมตร ( $A_{280}$ ) เพื่อวัดความเข้มข้น โดยใช้อัตราส่วน  $A_{260}/A_{280}$  ถ้าค่าที่ได้อยู่ในช่วง 1.65-1.85 แสดงว่ามี DNA ปนอยู่ แต่ถ้าค่าที่ได้มากกว่า 1.85 แสดงว่าได้ RNA ก่อนข้างบริสุทธิ์ แต่ถ้าได้น้อยกว่า 1.65 แสดงว่ามีโปรตีนหรือฟีโนล (Phenol) ปนอยู่ใน Total RNA ทำการคำนวณหาค่าความเข้มข้นของ RNA ได้จากสูตร (Sambrook *et al.*, 1989)

$$\text{ความเข้มข้นของ RNA (ไมโครกรัมต่อไมโครลิตร)} = A_{260} \times \text{dilution factor} \times 40$$

### 1.4 การตรวจสอบคุณภาพ Total RNA โดยวิธี Formaldehyde agarose gel electrophoresis

เตรียม 1% Formaldehyde agarose gel ปริมาตร 50 มิลลิลิตร ใน 1X MOPS buffer โดยการซึ้ง Agarose 0.5 กรัม ละลายใน 1X MOPS buffer โดยเตรียมจาก 10X MOPS ปริมาตร 4.73 มิลลิลิตร และ DEPC ปริมาตร 42.58 มิลลิลิตร แล้วนำไปต้มจนละลายเป็นเนื้อเดียวกัน จากนั้นเติม Formaldehyde 2.68 มิลลิลิตร ลงในเจล ผสมให้เข้ากัน แล้วเทลงในถาด ทึบไว้บนเจลแข็งตัว แล้วจึงทำการเตรียม Total RNA reaction โดยใช้ส่วนผสมดังนี้คือ Total RNA (จากข้อ 1.3) โดยใช้ Total RNA ที่ความเข้มข้น 10 ไมโครกรัมต่อปริมาตร 3.5 ไมโครลิตร เติมลงใน 50% Formaldehyde ปริมาตร 5 ไมโครลิตร ผสมกับ 10X MOPS ปริมาตร 1.5 ไมโครลิตร และ 2.2 M Formaldehyde ปริมาตร 2 ไมโครลิตร เขย่าให้เข้ากัน นำไปต้มที่อุณหภูมิ 65 องศาเซลเซียส เป็นเวลา 5 นาที แล้วทำให้เย็นลงทันทีในน้ำแข็ง จึงเติม Loading dye ปริมาตร 3 ไมโครลิตร ลงในหลอดตัวอย่าง ทำการ load Total RNA reaction ที่ได้ลงใน 1% Formaldehyde agarose gel ที่เตรียมไว้บนเครื่อง Electrophoresis ที่กระแสไฟฟ้า 50 โวลต์ นาน 90 นาที ทำการตรวจสอบโดยการแช่เจลใน Ethidium bromide ที่ความเข้มข้น 0.5-1.0 ไมโครกรัมต่อมิลลิลิตร นาน 15 นาที แล้วจึงล้างออกด้วยน้ำกลั่น ตรวจสอบคุณภาพโดยดูขนาดของแถบ Total RNA ภายใต้รังสี Ultraviolet บันทึกผลด้วยเครื่อง Gel documentation system (Syngene)

### 1.5 การสกัด mRNA

ทำการสกัด mRNA จาก Total RNA ที่ได้ด้วย Quick Prep<sup>®</sup> Micro mRNA Purification Kit (Amersham pharmacia biotech) ตามวิธีการของบริษัท โดยทำการเติมสารละลาย Extraction buffer ปริมาตร 400 ไมโครลิตร ลงใน Total RNA ที่มีปริมาตร 50 ไมโครลิตร แล้วเติมสารละลาย Elution buffer ปริมาตร 750 ไมโครลิตร นำส่วนผสมทั้งหมดใส่ลงใน Oligo (dT)-cellulose ปริมาตร 1 มิลลิลิตร ที่เตรียมไว้ใน Microcentrifuge tube ขนาด 1.5 มิลลิลิตร เขย่าเบา ๆ นาน 3 นาที แล้วนำไปปั่นให้ยังที่ความเร็วรอบ 13,000 rpm เป็นเวลา 10 วินาที คุณส่วนใส่ด้านบนทึ่ง ล้างตะกรอนที่เหลือด้วย High-salt buffer ปริมาตร 1 มิลลิลิตร ทั้งหมด 5 ครั้ง จากนั้nl ล้างตะกรอนด้วย Low-salt buffer ปริมาตร 1 มิลลิลิตร จำนวน 3 ครั้ง โดยครั้งสุดท้ายเติม Low-salt buffer ปริมาตร 0.3 มิลลิลิตร แล้วจึงคุณสารละลายใส่ลงใน Microspin column ที่วางบน Microcentrifuge tube ขนาด 1.5 มิลลิลิตร หลอดใหม่ นำไปปั่นให้ยังที่ความเร็วรอบ 13,000 rpm เป็นเวลา 10 วินาที เทบong เหลวส่วนใส่ด้านล่างก้นหลอดทึ่ง แล้วเติม Low-salt buffer ปริมาตร 0.3 มิลลิลิตร ทำซ้ำ 2 ครั้ง จากนั้นขยับ Microspin column มาใส่ใน Microcentrifuge tube ขนาด 1.5 มิลลิลิตร หลอดใหม่ แล้วเติมสารละลาย Elution buffer ปริมาตร 200 ไมโครลิตร ที่มีอุณหภูมิ 65 องศาเซลเซียส นำไปปั่นให้ยังที่ความเร็วรอบ 13,000 rpm เป็นเวลา 10 วินาที ทำซ้ำ 2 ครั้ง จะได้ปริมาตร 400 ไมโครลิตร จึงทำการตกรตะกรอน mRNA ด้วยการเติมสารละลายไอกลูโคเจน (Glycogen solution) ปริมาตร 10 ไมโครลิตร แล้วเติมสารละลายโพแทสเซียมอะซิตेट (Potassium acetate solution) ปริมาตร 40 ไมโครลิตร สุดท้ายเติม 95% Ethanol ปริมาตร 1 มิลลิลิตร แล้วจึงเก็บไว้ที่อุณหภูมิ -80 องศาเซลเซียส จนกว่าจะใช้

### 1.6 การสังเคราะห์ First strand cDNA ของ 5' RACE และการหาลำดับนิวคลีโอไทด์ cDNA ของยีน Caspase-3 และยีน Granzyme ด้วยวิธี Rapid Amplification of cDNA Ends (RACE)

นำ mRNA ที่ได้จากข้อ 1.5 มาเป็นต้นแบบการสังเคราะห์ First strand cDNA ของ 5' RACE ด้วย BD Smart<sup>TM</sup> RACE cDNA Amplification Kit (BD Bioscience Clontech) ตามวิธีการของบริษัท จากนั้นนำ First strand cDNA ของ 5' RACE ที่ได้มาใช้เป็น Template ในการทำปฏิกิริยา PCR เพื่อหาลำดับนิวคลีโอไทด์ทางด้าน 5' ของ Caspase-3 cDNA ซึ่งจะใช้ Caspase R1 primer (ตารางที่ 1) และลำดับนิวคลีโอไทด์ทางด้าน 5' ของ Granzyme cDNA จะใช้ Granzyme R1 primer (ตารางที่ 1) เป็น Specific primers ซึ่งออกแบบจากลำดับนิวคลีโอไทด์บางส่วนของ cDNA ของยีน Caspase-3 โคลน HK 115 (Accession no. FF27959755138633) และลำดับนิวคลีโอไทด์

บางส่วนของ cDNA ของยีน Granzyme โคdon HK 28 (Accession no. FF27953355138569) จากห้องสมุด cDNA ของปานานิล (เอกสาร, 2551) ร่วมกับ Universal primer ในการทำปฏิกิริยา PCR โดยส่วนผสมของการทำปฏิกิริยาปริมาตรรวม 30 ไมโครลิตร มีส่วนประกอบดังนี้คือ

Takara LA <i>Taq</i>	0.25 ไมโครลิตร
10X LA Buffer	2.50 ไมโครลิตร
25 mM MgCl <sub>2</sub>	2.50 ไมโครลิตร
dNTP	4.00 ไมโครลิตร
Universal primer	2.50 ไมโครลิตร
Specific primer (Caspase-3 หรือ GranzymeR1 primer)	2.50 ไมโครลิตร
นำที่ม่าเชื้อแล้ว	13.25 ไมโครลิตร
First strand cDNA ของ 5' RACE	2.50 ไมโครลิตร
ปริมาตรรวม	30.00 ไมโครลิตร

จากนั้นนำไปเพิ่มปริมาณ DNA ด้วยเครื่อง Thermal cycler (Takara) ที่กำหนดสภาวะการทำงานดังนี้คือ ช่วงแรกของปฏิกิริยาใช้อุณหภูมิ 94 องศาเซลเซียส เป็นเวลา 1 นาที ส่วนช่วงที่สองใช้อุณหภูมิที่ 94 องศาเซลเซียส เป็นเวลา 30 วินาที ที่อุณหภูมิ 68 องศาเซลเซียส เป็นเวลา 30 วินาที และ 72 องศาเซลเซียส เป็นเวลา 3 นาที จำนวน 30 รอบ และช่วงสุดท้ายใช้อุณหภูมิ 72 องศาเซลเซียส เป็นเวลา 5 นาที จากนั้นนำ PCR product เก็บรักษาที่อุณหภูมิ 4 องศาเซลเซียส

ทำการตรวจสอบ PCR product ที่ได้ด้วย 1.5% Agarose gel ใน 1X TBE buffer (Tris-Borate-EDTA) ที่กระแสไฟฟ้า 50 โวลต์ แล้วจึงนำเจลไปแช่ใน Ethidium bromide ที่ความเข้มข้น 0.5-1.0 ไมโครกรัมต่อมิลลิลิตร นาน 15 นาที แล้วจึงล้างออกด้วยน้ำกลัน จากนั้นตรวจสอบผลภายใต้รังสี Ultraviolet บันทึกผลด้วยเครื่อง Gel documentation system (Syngene)

### 1.7 การสกัด DNA จาก Agarose gel

สกัด DNA จาก Agarose gel โดย Wizard® SV Gel and PCR Clean-Up System ตามวิธีของบริษัท Promega โดยตัดเจลที่มีแอบน DNA (ภายใต้แสง Ultraviolet) ที่ต้องการใส่ลงใน Microcentrifuge tube ขนาด 1.5 มิลลิลิตร นำไปซึ่งแล้วจึงเติม Membrane binding solution ปริมาตร

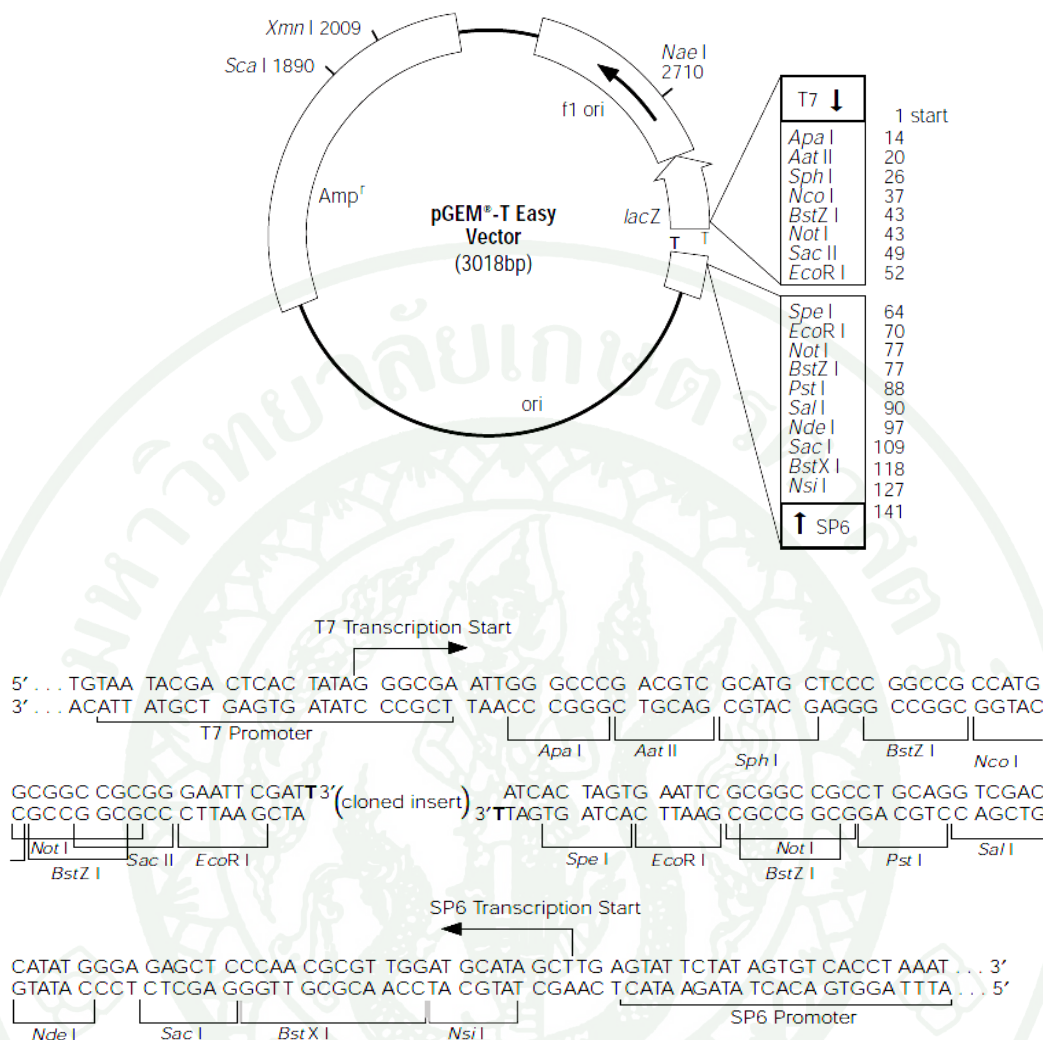
10 ไมโครลิตรต่อ 10 มิลลิกรัม ของน้ำหนักเจล Vortex เพื่อละลายหรือต้มที่อุณหภูมิ 50-60 องศาเซลเซียส เท่าเป็นระยะ ๆ จนกว่าจะละลาย แล้วนำไปใส่ใน Minicolumn บ่มที่อุณหภูมิห้องนาน 1 นาที นำไปปั่นเหวี่ยงที่ความเร็วรอบ 14,000 rpm เป็นเวลา 1 นาที เทส่วนใสทิ้ง แล้วเติม Membrane wash solution ปริมาตร 700 ไมโครลิตร นำไปปั่นเหวี่ยงที่ความเร็วรอบ 14,000 rpm เป็นเวลา 1 นาที อีกครั้ง จากนั้นเทส่วนใสทิ้ง เติม Membrane wash solution ปริมาตร 500 ไมโครลิตร นำไปปั่นเหวี่ยงที่ความเร็วรอบ 14,000 rpm เป็นเวลา 1 นาที เทส่วนใสทิ้งอีกครั้ง จึงข้าย Minicolumn ไปใส่ใน Microcentrifuge tube ขนาด 1.5 มิลลิลิตร หลอดใหม่ แล้วจึงปั่นเหวี่ยงที่ความเร็วรอบ 14,000 rpm นาน 1 นาที แล้วเติม Nuclease free water ปริมาตร 50 ไมโครลิตร บ่มที่อุณหภูมิห้องเป็นเวลา 1 นาที จึงทิ้ง Minicolumn สุดท้ายจะได้สารละลาย DNA นำไปเก็บรักษาที่อุณหภูมิ 4 องศาเซลเซียส

### 1.8 การเชื่อมต่อ DNA fragment จาก PCR product เป้าสู่ Cloning vector (Ligation)

นำ PCR product ที่ต้องการมาเชื่อมต่อเข้าสู่ pGEM T-Easy vector (Promega, USA) ด้วยการนำสารละลาย DNA ที่ทำให้บริสุทธิ์แล้ว (จากข้อ 1.7) ปริมาตร 1.5 ไมโครลิตร เติม เอนไซม์ T4 DNA ligase ปริมาตร 0.5 ไมโครลิตร แล้วเติม 2X Rapid ligation buffer ปริมาตร 2.5 ไมโครลิตร สุดท้ายเติม pGEM T-Easy vector (ภาพที่ 9) ปริมาตร 0.5 ไมโครลิตร ดีดเบา ๆ ด้วยมือ แล้วนำไปปั่นเหวี่ยงอย่างรวดเร็ว บ่มที่อุณหภูมิ 4 องศาเซลเซียส ข้ามคืน

### 1.9 การเตรียม Competent cell

นำเชื้อ *Escherichia coli* สายพันธุ์ JM 109 มาเลี้ยงบนอาหาร LB agar บ่มเชื้อที่ อุณหภูมิ 37 องศาเซลเซียส เป็นเวลา 1 คืน แยกโคลoniเดี่ยวนำเลี้ยงต่อในอาหารเหลว LB broth ปริมาตร 1 มิลลิลิตร บ่มเชื้อใน Water bath ที่อุณหภูมิ 30 องศาเซลเซียส นาน 1 คืน เมื่อเชื้อขึ้นแล้ว เติม 9 มิลลิลิตรของ LB broth เลี้ยงต่ออีก 3 ชั่วโมงที่สภาวะเดิม จึงแบ่งใส่ Microcentrifuge tubes ขนาด 1.5 มิลลิลิตร จำนวน 6 หลอด นำเชื้อมาแช่เย็นในน้ำแข็งนาน 10 นาที ปั่นเหวี่ยงที่ความเร็ว รอบ 3,000 rpm นาน 3 นาที ที่อุณหภูมิ 4 องศาเซลเซียส เทส่วนใสทิ้ง เติม 0.1 M ของ  $\text{CaCl}_2$  ปริมาตร 312.5 ไมโครลิตร ผสมเบา ๆ โดยใช้ Micropipette แล้วแช่ในน้ำแข็งอีก 30 นาที นำไปปั่นเหวี่ยงที่สภาวะเดิมอีกครั้ง เทส่วนใสทิ้ง แล้วเติม 0.1 M  $\text{CaCl}_2$  ที่มี 15% Glycerol ปริมาตร 187.5 ไมโครลิตร ผสมสารละลายให้เข้ากัน แล้วแบ่งใส่ใน Microcentrifuge tubes ขนาด 1.5 มิลลิลิตร เก็บที่อุณหภูมิ -80 องศาเซลเซียส จนกว่าจะใช้



ภาพที่ 9 แผนที่ของ DNA พาหะ (Cloning vector) และลำดับนิวคลีโอไทด์ที่อยู่ในตำแหน่ง Polylinker ของ pGEM-T Easy vector

ที่มา: Promega (2009)

### 1.10 การนำ DNA ลูกผสมเข้าสู่แบคทีเรียเจ้าบ้าน (Transformation)

ใช้วิธี Heat shock โดยนำ Competent cell จากข้อ 1.9 ปริมาตร 100 ไมโครลิตร ผสม กับ Ligation product จากข้อ 1.8 ปริมาตร 5 ไมโครลิตร ดีดเบาๆ ด้วยมือ แล้วแช่ในน้ำแข็งนาน 25 นาที ทำการ Heat shock ที่อุณหภูมิ 42 องศาเซลเซียส เป็นเวลา 50 วินาที และแช่ในน้ำแข็งทันที นาน 2 นาที เติมอาหาร Super Optimal Culture (SOC) Medium ปริมาตร 0.9 มิลลิลิตร ปิดด้วย

Parafilm บ่มเชื้อใน Water bath ที่อุณหภูมิ 37 องศาเซลเซียส นาน 1 ชั่วโมง 30 นาที นำไปปั่น เหวี่ยงที่ความเร็วรอบ 6,000 rpm นาน 5 นาที ที่อุณหภูมิ 28 องศาเซลเซียส ลดปริมาตรของสารละลายน้ำเหลืองประมาณ 100 ไมโครลิตร แล้วดูดขึ้นลงโดยใช้ Micropipette แล้วจึงนำไปเกลี่ยให้ทั่วบนอาหาร LB Ampicillin, X-gal และ IPTG plate ที่เกลี่ยด้วย IPTG ความเข้มข้น 100 mM ปริมาตร 100 ไมโครลิตร และ X-gal ความเข้มข้น 50 มิลลิกรัมต่อมิลลิลิตร ปริมาตร 20 ไมโครลิตร ลงบนอาหาร LB agar ไว้ก่อนแล้ว บ่มเชื้อที่อุณหภูมิ 37 องศาเซลเซียส เป็นเวลา 18 ชั่วโมง

### 1.11 การทำ Master plate หรือ Replica plate

จากข้อ 1.10 โคลอนีที่คาดว่าจะมี Insert จะมีสีขาว ส่วนโคลอนีที่ไม่มี Insert จะมีสีฟ้า จึงทำการคัดเลือกเอาโคลอนีสีขาวเท่านั้น แล้วใช้มีจ้มพินที่มีเชื้อแล้วเจาะโคลอนีลงใน LB Ampicillin plate ใหม่ บ่มเชื้อที่อุณหภูมิ 37 องศาเซลเซียส เป็นเวลา 18 ชั่วโมง

### 1.12 การตรวจสอบผลของการโคลน

ทำการตรวจสอบผลของการโคลน ที่ได้จากแบคทีเรียใน Master plate ด้วยเทคนิค Polymerase Chain Reaction (PCR) โดยการใช้ Universal primer 2 ชนิด คือ M13F primer และ M13R primer (ตารางที่ 1) ใช้ DNA ในแบคทีเรียโคลอนีเดี่ยวที่ขึ้นบน Master plate เป็น Template โดยทำการเจาะโคลอนีของแบคทีเรียจาก Master plate ลงในหลอด PCR tubes ซึ่งมีสารเคมีที่ใช้สำหรับทำ PCR อยู่แล้ว โดยใช้มีจ้มพินที่มีเชื้อแล้ว โดยส่วนผสมของการทำปฏิกิริยาปริมาตรรวม 15 ไมโครลิตร มีส่วนประกอบดังนี้คือ

5 U/UI <i>Taq</i> DNA polymerase	0.20 ไมโครลิตร
10X <i>Taq</i> buffer + $(\text{NH}_4)_2\text{SO}_4$ - $\text{MgCl}_2$	1.50 ไมโครลิตร
1.25 mM $\text{MgCl}_2$	1.875 ไมโครลิตร
2.5 mM dNTP	1.60 ไมโครลิตร
10 $\mu\text{M}$ M13F primer	1.50 ไมโครลิตร
10 $\mu\text{M}$ M13R primer	1.50 ไมโครลิตร
น้ำที่มีเชื้อแล้ว	6.825 ไมโครลิตร
ปริมาตรรวม	15.00 ไมโครลิตร

จากนั้นนำไปเพิ่มปริมาณ DNA ในเครื่อง Thermal cycler (Takara) เป็นเวลา 2 ชั่วโมง 10 นาที ที่กำหนดสภาวะการทำงานดังนี้คือ ช่วงแรกของปฏิกิริยาใช้อุณหภูมิ 95 องศาเซลเซียส เป็นเวลา 5 นาที ส่วนช่วงที่สองใช้อุณหภูมิที่ 95 องศาเซลเซียส เป็นเวลา 30 วินาที ที่อุณหภูมิ 55 องศาเซลเซียส เป็นเวลา 30 วินาที และ 72 องศาเซลเซียส เป็นเวลา 1 นาที 30 วินาที จำนวน 30 รอบ และช่วงสุดท้ายใช้อุณหภูมิ 72 องศาเซลเซียส เป็นเวลา 5 นาที จากนั้นนำ PCR product เก็บรักษาที่อุณหภูมิ 4 องศาเซลเซียส

ตรวจสอบผลที่ได้ด้วย 1.5% Agarose gel ใน 1X TBE buffer (Tris-Borate-EDTA) ที่กระแทกไฟฟ้า 50 โวลต์ นำเจลไปแช่ใน Ethidium bromide ที่ความเข้มข้น 0.5-1.0 ไมโครกรัมต่อ มิลลิลิตร นาน 15 นาที แล้วจึงล้างออกด้วยน้ำกลั่น จากนั้นตรวจสอบผลภายใต้รังสี Ultraviolet บันทึกผลด้วยเครื่อง Gel documentation system (Syngene)

### 1.13 การสกัดพลาสมิด (Plasmid extraction)

นำแบคทีเรียที่คาดว่าจะมีชิ้น Insert จากข้อ 1.12 มาทำการสกัดพลาสมิด โดยใช้ Plasmid DNA extraction ตามวิธีของบริษัท Bioexcellence โดยนำโคลอนีแบคทีเรียจาก Master plate ที่นำไปตรวจสอบด้วยเทคนิค PCR และมีขนาดของ PCR product ใกล้เคียงกับขนาดของชิ้น Insert ที่ต้องการ มาเลี้ยงใน LB Ampicillin broth ปริมาตร 3 มิลลิลิตร ใน Water bath ที่อุณหภูมิ 37 องศาเซลเซียส เป็นเวลา 12-18 ชั่วโมง จากนั้นนำแบคทีเรียที่เลี้ยงไว้ขามีนมา Vortex แล้วแบ่งใส่ Microcentrifuge tubes ขนาด 1.5 มิลลิลิตร นำไปปั่นเหวี่ยงที่ความเร็วรอบ 12,000 rpm นาน 3 นาที ที่อุณหภูมิ 25 องศาเซลเซียส เทส่วนใสทิ้ง ทำซ้ำอีกครั้ง แล้วละลายตะกอนด้วยการเติม Cell suspension solution ปริมาตร 200 ไมโครลิตร แล้วใช้ Micropipette ดูดสารละลายขึ้นลงจนตะกอนละลายหมด จากนั้นเติม Cell lysis solution ปริมาตร 200 ไมโครลิตร ผสมให้เข้ากันโดยกลับหลอดไปมาช้าๆ แล้วแยกตะกอนด้วยการปั่นเหวี่ยงที่ความเร็วรอบ 12,000 rpm นาน 5-10 นาที จึงดูดสารละลายส่วนใสใส่ Microcentrifuge tubes ขนาด 1.5 มิลลิลิตร หลอดใหม่ (ระวังอย่าให้ตะกอนสีขาวติดมา) เติม Isopropanol ปริมาตร 600 ไมโครลิตร แล้วกลับหลอดช้าๆ อีกครั้ง นำไปปั่นเหวี่ยงที่ความเร็วรอบ 12,000 rpm นาน 5-10 นาที ที่อุณหภูมิ 25 องศาเซลเซียส ล้างตะกอนด้วยการเติม 70% Ethanol กลับหลอดไปมาหรือเชย่า เพื่อกำจัดเกลือที่ตกค้าง จากนั้นปั่นเหวี่ยงที่ความเร็วรอบ 12,000 rpm นาน 5-10 นาที ที่อุณหภูมิ 25 องศาเซลเซียส แล้วเทส่วนใสออกช้าๆ ชั้น 70% Ethanol ด้วยกระดาษชั้น ทำการตากตะกอนให้แห้งพอกมาด้วยอุณหภูมิห้องจน Ethanol ระเหยหมด ละลาย

ตะกอนด้วย TE buffer ปริมาตร 20 ไมโครลิตร ถ้าตะกอนไม่ละลายให้บ่มที่อุณหภูมิ 65 องศาเซลเซียส เขย่าเป็นระยะ ๆ ถูกท้ายเก็บพลาสมิดที่อุณหภูมิ -20 องศาเซลเซียส

#### 1.14 การทำ Restriction enzyme digestion

ทำการตรวจสอบพลาสมิด ที่มีชิ้น Insert และขนาดของชิ้น Insert ที่สักด้วยการใช้เอนไซม์ตัดจำเพาะ Eco RI ซึ่งมีตำแหน่งอยู่บนข้างชิ้น Insert ใน pGEM-T Easy vector (ภาพที่ 9) โดยส่วนผสมของการทำปฏิกิริยาปริมาตรรวม 10 ไมโครลิตร มีส่วนประกอบดังนี้คือ

10X buffer	2.00 ไมโครลิตร
Eco RI	0.25 ไมโครลิตร
พลาสมิด DNA	2.00 ไมโครลิตร
น้ำที่ผ่าเชื้อแล้ว	5.75 ไมโครลิตร
ปริมาตรรวม	10.00 ไมโครลิตร

นำส่วนผสมทั้งหมดใส่ลงใน Microcentrifuge tubes ขนาด 0.6 มิลลิลิตร จากนั้นนำไปบ่มที่อุณหภูมิ 37 องศาเซลเซียส เป็นเวลา 6 ชั่วโมง แล้วจึงนำไปตรวจสอบผลเพื่อทราบขนาดของ Insert ด้วย 1.5% Agarose gel ใน 1X TBE buffer (Tris-Borate-EDTA) ที่กระแสไฟฟ้า 50 โวลต์ นำเจลไปแช่ใน Ethidium bromide ที่ความเข้มข้น 0.5-1.0 ไมโครกรัมต่อมิลลิลิตร นาน 15 นาที แล้วจึงถ่ายออกตัวยาน้ำกลัน จากนั้นตรวจสอบผลภายใต้รังสี Ultraviolet บันทึกผลด้วยเครื่อง Gel documentation system (Syngene)

#### 1.15 การหาลำดับนิวคลีโอไทด์ของ cDNA โคลน (DNA sequencing)

นำพลาสมิด ที่มีชิ้น Insert ที่มีขนาดใกล้เคียงกับขนาดของ PCR product ของ 5' RACE มาทำการตรวจสอบลำดับนิวคลีโอไทด์ โดยใช้ Themo Sequence Fluorescent Labeled Primer Cycle Sequencing Kit (Amersham pharmacia biotech) โดย Macrogen, Inc. (Korea)

## 2. การวิเคราะห์ลำดับนิวคลีโอไทด์ที่สมบูรณ์ของ cDNA การเปรียบเทียบลำดับนิวคลีโอไทด์ ลำดับกรดอะมิโนและการศึกษาความสัมพันธ์เชิงวิวัฒนาการของยีน Caspase-3 และยีน Granzyme ในปานิลกับสิ่งมีชีวิตต่าง ๆ

### 2.1 การวิเคราะห์ลำดับนิวคลีโอไทด์ที่สมบูรณ์ของ cDNA ของยีน Caspase-3 และยีน Granzyme ในปานิล

นำผลของลำดับนิวคลีโอไทด์ที่ได้ มาทำการตัดส่วนที่เป็นลำดับนิวคลีโอไทด์ของ Vector และ Adaptor ที่อยู่ในรูปของ Chromatogram file โดยใช้โปรแกรม Gentyx version 7.0 แล้ว จึงนำลำดับนิวคลีโอไทด์ที่ได้ในแต่ละ โคdon มาทำการเปรียบเทียบกับลำดับนิวคลีโอไทด์ของยีนที่รายงานไว้ใน GenBank database (<http://www.ncbi.nlm.nih.gov/>) โดยใช้โปรแกรม BlastN ที่กำหนดให้มีความเหมือนของลำดับนิวคลีโอไทด์มากกว่า 100 คู่เบส และต้องมีค่าความน่าจะเป็นของการเกิด Random matching (E-value) น้อยกว่า  $10^{-4}$  แล้วจึงใช้โปรแกรม BlastX เพื่อทำการเปรียบเทียบความเหมือนของลำดับกรดอะมิโน โดยบริเวณที่เหมือนกันต้องมีจำนวนของกรดอะมิโนไม่น้อยกว่า 10 Residues และมีปอร์เซ็นต์ความเหมือนไม่น้อยกว่า 45% โดยมีความน่าจะเป็นของการเกิด Random matching (E-value) ที่น้อยกว่า  $10^{-4}$  (Cao et al., 2001)

นำผลที่ได้จากการเปรียบเทียบลำดับนิวคลีโอไทด์ที่รายงานไว้ใน GenBank database ซึ่งเป็นยีน Caspase-3 และ Granzyme มาทำ Alignment กับลำดับนิวคลีโอไทด์บางส่วนของ cDNA ของยีน Caspase-3 โคdon HK 115 (Accession no. FF27959755138633) และลำดับนิวคลีโอไทด์ บางส่วนของ cDNA ของยีน Granzyme โคdon HK 28 (Accession no. FF27953355138569) จากห้องสมุด cDNA ของปานิล (เอกสาร, 2551) เพื่อให้ได้ลำดับนิวคลีโอไทด์ที่สมบูรณ์ (Full-length) ของยีนทั้งสองในปานิล

### 2.2 การเปรียบเทียบความคล้ายคลึงกันของลำดับนิวคลีโอไทด์และลำดับกรดอะมิโนและการศึกษาความสัมพันธ์เชิงวิวัฒนาการของยีน Caspase-3 และ Granzyme ในปานิลกับสิ่งมีชีวิตต่าง ๆ

นำลำดับนิวคลีโอไทด์ที่สมบูรณ์ (Full-length) ของยีน Caspase-3 และ Granzyme ในปานิล เนพะส่วนที่เป็น Open Reading Frame (ORF) ซึ่งตัด Leader peptide ออกแล้ว มาเปรียบเทียบความคล้ายคลึงของลำดับนิวคลีโอไทด์และลำดับกรดอะมิโนกับสิ่งมีชีวิตต่าง ๆ ที่รายงานใน

GenBank database (<http://www.ncbi.nlm.nih.gov/>) อีกครั้งโดยใช้โปรแกรม ClustalW (<http://www.ebi.ac.uk/Tools/clustalw/index.html>) และโปรแกรม Emboss pairwise alignment algorithms (<http://www.ebi.ac.uk/emboss/align/>) ตามลำดับ จากนั้นทำการหาบิวต์ Hydrophobic leader sequence จากลำดับกรดอะมิโน ด้วยโปรแกรม “DAS-Transmembrane prediction” (<http://www.sbc.su.se/~miklos/DAS/>) แล้วจึงหาความสัมพันธ์เชิงวิเคราะห์ของการของยีนด้วยโปรแกรม MEGA version 3.1 (Kumar *et al.*, 2004) ด้วยวิธี UPMGA โดยมีค่า Bootstrap เท่ากับ 1,000 ครั้ง

### **3. การศึกษาการแสดงออกของยีน Caspase-3 และ Granzyme ในปลาณิลที่ได้รับเชื้อ *S. agalactiae* โดยใช้เทคนิค Reverse Transcription Polymerase Chain Reaction (RT-PCR)**

#### **3.1 การเตรียมสัตว์ทดลอง**

นำปลาณิลตัวเต็มวัยน้ำหนักประมาณ 800 กรัม จำนวน 2 ตัว ที่ไม่มีอาการของโรคต่างๆ มาเลี้ยงในสภาพเดียวกับข้อ 1.1

#### **3.2 การเตรียมเชือแบบที่เรียสำหรับการทดลอง**

นำเชื้อ *Streptococcus agalactiae* สายพันธุ์ AQSA001 มาเขยบบนอาหาร Tryptic soy agar (TSA) บ่มเชื้อที่อุณหภูมิ 37 องศาเซลเซียส เป็นเวลา 24 ชั่วโมง แยกโคลoni เดี่ยวมาเลี้ยงต่อในอาหารเหลว Tryptic soy broth (TSB) บ่มเชื้อที่อุณหภูมิ 37 องศาเซลเซียส เป็นเวลา 24 ชั่วโมง จากนั้นนำไปปั่นให้วายที่ความเร็วรอบ 2,500 rpm เป็นเวลา 15 นาที จะเกิดการแยกชั้นระหว่างตะกอนแบบที่เรียบ บริเวณก้นหลอดกับอาหารเลี้ยงเชื้อส่วนใสด้านบน เทส่วนใสทิ้ง แล้วล้างตะกอนแบบที่เรียกว่า “เกลือ 0.85%” ปั่นให้วายที่ความเร็วรอบ 2,500 rpm เป็นเวลา 15 นาที จำนวน 2 ครั้ง แล้วทำการปรับความเข้มข้นของแบบที่เรียบให้มีความเข้มข้นประมาณ  $1 \times 10^8$  CFU ต่อมิลลิลิตร ที่ความยาวคลื่น 540 นาโนเมตร ที่ Absorbance เท่ากับ 0.15 จึงนำแบบที่เรียบที่เตรียมได้ไปฉีดเข้าบริเวณช่องท้อง (Intraperitoneal injection) ในปลาณิลตัวแรก ที่ปริมาตร 0.5 มิลลิลิตร และปลาตัวที่เหลืออีกด้วยน้ำเกลือ 0.85% ปริมาตร 0.5 มิลลิลิตร เข่นกัน จากนั้นเลี้ยงปลาณิลและให้อาหารต่อไปเป็นเวลา 3 วัน สังเกตอาการของปลาตลอดการเลี้ยง เพื่อเตรียมสกัด Total RNA ในขั้นตอนต่อไป

### 3.3 การเก็บตัวอย่างเนื้อเยื่อและการเตรียม Total RNA

เมื่อครบ 3 วัน ทำการเก็บตัวอย่างเนื้อเยื่อในปลาปกติที่ฉีดด้วยน้ำเกลือและปานิลที่ฉีดเข้า *S. agalactiae* จำนวน 12 อวัยวะ ซึ่งได้แก่ สมอง (Brain), เหงือก (Gills), อวัยวะสร้างเซลล์สืบพันธุ์ (Gonad), ไตส่วนหน้า (Head kidney), หัวใจ (Heart), ลำไส้ (Intestine), ตับ (Liver), กล้ามเนื้อ (Muscle), เซลล์เม็ดเลือดขาวในกระแสเลือด (Peripheral blood leukocytes), ม้าม (Spleen), กระเพาะอาหาร (Stomach) และไตส่วนหลัง (Trunk kidney) ตามลำดับ โดยใช้กรรไกรที่ผ่าเชือดแล้ว ตัดเนื้อเยื่อเป็นชิ้นเล็ก ๆ ล้างเนื้อเยื่อด้วย RPMI medium และแยกใส่ลงใน Microcentrifuge tubes ขนาด 1.5 มิลลิลิตร เติม Trizol Reagent (Molecular research center) ปริมาณ 1 มิลลิลิตร แช่ในน้ำแข็ง จากนั้นใส่ลงใน Glinger เพื่อทำการบดเนื้อเยื่อให้ละเอียด ทำลาย Genomic DNA โดยใช้เข็มฉีดยาเบอร์ 24 คุณขั้นลงประมาณ 10-15 ครั้ง บ่มที่อุณหภูมิห้องนาน 5 นาที แล้วจึงสกัด Total RNA ตามวิธีการในข้อ 1.2

### 3.4 การวัดความเข้มข้นของ Total RNA

นำ Total RNA ที่สกัดได้จากเนื้อเยื่อต่าง ๆ จากข้อ 3.3 มาวัดความเข้มข้นของ Total RNA ตามวิธีการในข้อ 1.3

### 3.5 การตรวจสอบคุณภาพ Total RNA โดยวิธี Formaldehyde agarose gel electrophoresis

การตรวจสอบคุณภาพ Total RNA ของเนื้อเยื่อต่าง ๆ ที่ได้จากข้อ 3.4 มาตรวจสอบคุณภาพ Total RNA โดยวิธี Formaldehyde agarose gel electrophoresis ตามวิธีการในข้อ 1.4

### 3.6 การสังเคราะห์ First stand cDNA จาก Total RNA

การสังเคราะห์ First stand cDNA จาก Total RNA ของเนื้อเยื่อต่าง ๆ ภายหลังจากการตรวจสอบคุณภาพ Total RNA โดยใช้ RevertAid<sup>TM</sup> First stand cDNA synthesis ตามวิธีการของบริษัท Fermentas โดยทำการเตรียมส่วนผสมในการทำปฏิกิริยาใส่ลงใน PCR tubes ประกอบไปด้วย Total RNA ของเนื้อเยื่อต่าง ๆ ปริมาณ 2 ไมโครกรัม พร้อมกับเติม Oligo (dT)<sub>18</sub> primer (0.5 ไมโครกรัมต่อ ไมโครลิตร) ปริมาณ 1 ไมโครลิตร ใส่ DEPC-treat water จนครบ 12 ไมโครลิตร ผสมให้เข้ากันโดยการปั่นให้วิ่งอย่างรวดเร็ว 3-5 วินาที จากนั้นมั่งที่อุณหภูมิ 70 องศาเซลเซียส

นาน 5 นาที แล้วทำให้เย็นลงทันทีโดยจุ่มในน้ำแข็ง เติม 5X Reaction buffer ปริมาตร 4 ไมโครลิตร แล้วจึงเติม RiboLock™ Ribonuclease inhibitor (20U ต่อ ไมโครลิตร) ปริมาตร 2 ไมโครลิตร และเติม 10 mM ของ dNTP mix ปริมาตร 1 ไมโครลิตร ผสมสารละลายทั้งหมดให้เข้ากันด้วยการปั่นให้เขียวขี้งอย่างรวดเร็ว 3-5 วินาที นำไปบ่มที่อุณหภูมิ 37 องศาเซลเซียส เป็นเวลา 5 นาที สุดท้ายเติม RevertAid™ M-MuLV Reverse Transcriptase (200U ต่อ ไมโครลิตร) ปริมาตร 1 ไมโครลิตร ซึ่งจะได้สารละลายปริมาตรรวม 20 ไมโครลิตร นำไปบ่มที่อุณหภูมิ 42 องศาเซลเซียส นาน 60 นาที แล้วหยุดปฏิกิริยาด้วยความร้อนที่อุณหภูมิ 70 องศาเซลเซียส นาน 10 นาที ซึ่งจะทำให้ได้ First stand cDNA template จากนั้นเก็บที่อุณหภูมิ -20 องศาเซลเซียส จนกว่าจะใช้

### 3.7 การศึกษาการแสดงออกของยีน Caspase-3 และ Granzyme ในปานิคลปกติและปานิลภายนอกจากกระตุ้นด้วยเชื้อ *S. agalactiae* โดยใช้เทคนิค RT-PCR

ทำการศึกษาการแสดงออกของยีน Caspase-3 และ Granzyme ในปานิคลปกติและปานิลภายนอกจากกระตุ้นด้วยเชื้อ *S. agalactiae* โดยใช้เทคนิค RT-PCR จาก First stand cDNA ที่เตรียมได้จากเนื้อเยื่อต่าง ๆ เป็น Template และใช้ Specific primer ที่ออกแบบมาจากลำดับนิวคลีโอไทด์บางส่วนของ cDNA ของยีน Caspase-3 และ Granzyme จำนวน 2 คู่ ได้แก่ Caspase F1 primer คู่กับ Caspase R1 primer และ Granzyme F1 primer คู่กับ Granzyme R1 primer (ตารางที่ 1)

แล้วนำไปเปรียบเทียบกับการแสดงออกของยีน  $\beta$ -actin โดยมี Specific primer คือ  $\beta$ -actin F1 primer คู่กับ  $\beta$ -actin R1 primer (ตารางที่ 1) ซึ่งจะใช้เป็น Internal control โดยใช้สภาวะการทำปฏิกิริยา PCR เช่นเดียวกับการศึกษาการแสดงออกของยีน Caspase-3 และ Granzyme ในปานิล

ส่วนผสมของการทำปฏิกิริยาปริมาตรรวม 25 ไมโครลิตร มีส่วนประกอบดังนี้คือ

5 U/UI <i>Taq</i> DNA polymerase	0.2 ไมโครลิตร
10X <i>Taq</i> buffer + $(\text{NH}_4)_2\text{SO}_4$ - $\text{MgCl}_2$	2.5 ไมโครลิตร
1.25 mM $\text{MgCl}_2$	0.8 ไมโครลิตร
2.5 mM dNTP	1.5 ไมโครลิตร
10 $\mu\text{M}$ Forward primer	1.0 ไมโครลิตร
10 $\mu\text{M}$ Reverse primer	1.0 ไมโครลิตร
น้ำที่ไม่ใช้แล้ว	17.0 ไมโครลิตร

First stand cDNA (Template)	1.0 ไมโครลิตร
ปริมาณรวม	25.0 ไมโครลิตร

ใส่สารต่าง ๆ ลงใน PCR tubes ขนาด 200 ไมโครลิตร จากนั้นนำไปเพิ่มปริมาณ DNA ในเครื่อง Thermal cycler (Takara) ที่กำหนดสภาพการทำงานดังนี้คือ ช่วงแรกของปฏิกิริยาใช้อุณหภูมิ 95 องศาเซลเซียส เป็นเวลา 5 นาที ส่วนช่วงที่สองใช้อุณหภูมิที่ 95 องศาเซลเซียส เป็นเวลา 30 วินาที ที่อุณหภูมิ 55 องศาเซลเซียส เป็นเวลา 30 วินาที และ 72 องศาเซลเซียส เป็นเวลา 1 นาที จำนวน 25 รอบ และช่วงสุดท้ายใช้อุณหภูมิ 72 องศาเซลเซียส เป็นเวลา 5 นาที จากนั้นนำ PCR product เก็บรักษาที่อุณหภูมิ 4 องศาเซลเซียส แล้วจึงนำไปตรวจสอบผล PCR product ด้วย 1% Agarose gel ใน 1X TBE buffer (Tris-Borate-EDTA) ที่กระแทกไฟฟ้า 50 วัลต์ นำเจลไปแช่ใน Ethidium bromide ที่ความเข้มข้น 0.5-1.0 ไมโครกรัมต่อมิลลิลิตร นาน 15 นาที แล้วจึงถ่ายออกด้วยน้ำกลัน จากนั้นตรวจสอบผลภายใต้รังสี Ultraviolet บันทึกผลด้วยเครื่อง Gel documentation system (Syngene) และเปรียบเทียบขนาดของแถบ PCR products ที่เกิดจากการใช้ Specific primers ของยีน Granzyme, Caspase-3 และ  $\beta$ -actin ที่ได้ในอวัยวะต่าง ๆ ของปลาทั้งสองตัว

#### 4. การศึกษารูปแบบการแสดงออกของยีน Granzyme และ Caspase-3 ในตัวปลา nil ภายหลังจากได้รับเชื้อ *S. agalactiae* (*In vivo*) โดยใช้เทคนิค Quantitative real-time PCR

##### 4.1 การทดลองในตัวสัตว์ทดลอง (*In vivo*)

###### 4.1.1 การเตรียมสัตว์ทดลอง

นำปลา nil หนักประมาณ 40 กรัม จำนวน 81 ตัว ที่ไม่มีอาการของโรคมาเลี้ยงในสภาพเดียวกับข้อ 1.1 จากนั้นนำปลามาแบ่งเลี้ยงในตู้กระจกขนาด 100 ลิตร ตู้ละ 9 ตัว จำนวน 9 ตู้

###### 4.1.2 การเตรียมเชื้อแบคทีเรียสำหรับการทดลอง

นำเชื้อ *S. agalactiae* สายพันธุ์ AQSA001 มาเลี้ยงตามวิธีในข้อ 3.2 แล้วทำการปรับความเข้มข้นของแบคทีเรียให้มีความเข้มข้นที่แตกต่างกัน โดยแบ่งเป็น 2 ความเข้มข้นคือ ที่ความเข้มข้นของแบคทีเรียเท่ากับ  $1 \times 10^7$  CFU ต่อมิลลิลิตร และความเข้มข้นของแบคทีเรียเท่ากับ  $1 \times 10^9$  CFU ต่อมิลลิลิตร

4.1.3 การวางแผนการทดลองเพื่อศึกษารูปแบบการแสดงออกของยีน Caspase-3 และ Granzyme ในปลาโนล ภายหลังจากการกระตุ้นด้วยเชื้อ *S. agalactiae* (*In vivo*) โดยใช้เทคนิค Quantitative real-time PCR

นำปลาโนลที่เตรียมไว้ในข้อ 4.1.1 มาแบ่งออกเป็น 3 กลุ่มการทดลอง (แต่ละกลุ่มการทดลองทำ 3 ชุด โดยแยกเลี้ยงจำนวน 3 ตู้) และทำการเตรียมสภาพของการทดลองดังนี้

กลุ่มที่ 1 เป็นกลุ่มควบคุม (Control) นำปลาโนลทุกตัวในกลุ่มควบคุมทั้งหมด 27 ตัว มาฉีดด้วยน้ำเกลือ 0.85% ตัวละ 0.5 มิลลิลิตร โดยฉีดเข้าบริเวณช่องท้อง (Intraperitoneal injection)

กลุ่มที่ 2 เป็นกลุ่มทดลอง (Treatment 1) นำปลาโนลทุกตัวในกลุ่มที่ 2 ทั้งหมด 27 ตัว มาฉีดด้วยเชื้อ *S. agalactiae* ที่ความเข้มข้น  $1 \times 10^7$  CFU ต่อมิลลิลิตร ตัวละ 0.5 มิลลิลิตร โดยฉีดเข้าบริเวณช่องท้อง

กลุ่มที่ 3 เป็นกลุ่มทดลอง (Treatment 2) นำปลาโนลทุกตัวในกลุ่มที่ 3 ทั้งหมด 27 ตัว มาฉีดด้วยเชื้อ *S. agalactiae* ที่ความเข้มข้น  $1 \times 10^9$  CFU ต่อมิลลิลิตร ตัวละ 0.5 มิลลิลิตร โดยฉีดเข้าบริเวณช่องท้อง

ทำการเลี้ยงปลาโนลต่อไป โดยระหว่างนี้ทำการเก็บเนื้อเยื่อไส้ส่วนหน้าเพื่อ เตรียมสักด Total RNA จากปลาทั้ง 3 กลุ่มการทดลอง โดยนำปลาโนลที่แบ่งเลี้ยงจากแต่ละตู้ ละ 1 ตัว ทั้งหมด 9 ตัว มาเก็บเนื้อเยื่อไส้ส่วนหน้าตามช่วงเวลาดังต่อไปนี้คือที่ช่วงโมงที่ 0, 1, 3, 6, 9, 12, 24, 48 และ 72 ตามลำดับ โดยระหว่างที่ทำการเก็บเนื้อเยื่อ เลี้ยงปลาโนลที่เหลือและให้อาหารต่อไป จนกว่าจะทำการทดลองเสร็จสิ้น

#### 4.1.4 การเก็บตัวอย่างเนื้อเยื่อและการเตรียม Total RNA

นำตัวอย่างเนื้อเยื่อไ泰ส่วนหน้าของปลาโนลจากทั้ง 3 กลุ่มการทดลองในช่วงเวลาต่าง ๆ มาทำการสกัดเอา Total RNA โดยใช้กรีทาร์ที่ผ่านการฆ่าเชื้อแล้ว ตัดเนื้อเยื่อของไ泰ส่วนหน้าเป็นชิ้นเล็ก ๆ นำหนักประมาณ 0.5 กรัม ล้างเนื้อเยื่อด้วย RPMI medium แล้วแยกใส่ลงใน Microcentrifuge tubes ขนาด 1.5 มิลลิลิตร เติม Trizol Reagent (Molecular research center) ปริมาณ 1 มิลลิลิตร แช่ในน้ำแข็ง จนน้ำแข็งใน Glinder เพื่อทำการบดเนื้อเยื่อให้ละเอียด ทำลาย Genomic DNA โดยใช้เข็มฉีดยาเบอร์ 24 โดยการดูดขึ้นลงประมาณ 10-15 ครั้ง บ่มที่อุณหภูมิห้องนาน 5 นาที แล้วจึงสกัด Total RNA ตามวิธีการในข้อ 1.2

#### 4.1.5 การวัดความเข้มข้นของ Total RNA

นำ Total RNA ที่สกัดได้จากเนื้อเยื่อต่าง ๆ จากข้อ 4.1.4 มาวัดความเข้มข้นของ Total RNA ตามวิธีการในข้อ 1.3

#### 4.1.6 การตรวจสอบคุณภาพ Total RNA โดยวิธี Formaldehyde agarose gel electrophoresis

ตรวจสอบคุณภาพ Total RNA ของเนื้อเยื่อต่าง ๆ ที่ได้จากข้อ 4.1.4 มาตรวจสอบคุณภาพของ Total RNA โดย Formaldehyde agarose gel electrophoresis ตามวิธีการในข้อ 1.4

#### 4.1.7 การสังเคราะห์ First stand cDNA จาก Total RNA

สังเคราะห์ First stand cDNA จาก Total RNA ของเนื้อเยื่อไ泰ส่วนหน้าของปลาในแต่ละกลุ่มการทดลอง ในช่วงเวลาต่าง ๆ ภายหลังจากการตรวจสอบคุณภาพของ Total RNA โดยใช้ RevertAid<sup>TM</sup> First stand cDNA synthesis ของบริษัท Fermentas ตามวิธีการในข้อ 3.6

#### 4.1.8 การศึกษาการแสดงออกของยีน Caspase-3 และ Granzyme ในปลาโนล ภายหลังจากการกระตุ้นด้วยเชื้อ *S. agalactiae* (*In vivo*) โดยใช้เทคนิค Quantitative real-time PCR

นำ First stand cDNA ที่เตรียมได้จากเนื้อเยื่อของไส้ส่วนหน้าของปลาในแต่ละกลุ่มการทดลอง ที่เก็บในช่วงเวลาต่าง ๆ จากข้อ 4.1.7 มาเป็น Template และใช้ Specific primers ที่ออกแบบมาจากการลำดับนิวคลีโอไทด์บางส่วนของ cDNA ของยีน Caspase-3 และ Granzyme จำนวน 2 คู่ ซึ่งได้แก่ Caspase F3 primer คู่กับ Caspase R3 primer และ Granzyme F2 primer คู่กับ Granzyme R2 primer (ตารางที่ 1) เพื่อนำมาใช้ในการทำปฏิกิริยาในขั้นตอนของ Real-time PCR

ผลที่ได้จะถูกนำไปเปรียบเทียบกับการแสดงออกของยีน  $\beta$ -actin โดยมี Specific primers ที่ออกแบบมาจากการลำดับนิวคลีโอไทด์บางส่วนของ cDNA โคลน HK 1101 (Accession no. FF28049155139527) ของยีน  $\beta$ -actin ( $\beta$ -actin F2 primer คู่กับ  $\beta$ -actin R2 primer; ตารางที่ 1) ซึ่งจะใช้เป็น Normalizer โดยใช้สภาวะการทำปฏิกิริยา เช่นเดียวกับการศึกษาการแสดงออกของยีน Caspase-3 และ Granzyme ซึ่งมีส่วนผสมของการทำปฏิกิริยา ปริมาตรรวม 25 ไมโครลิตร โดยมีส่วนประกอบดังนี้คือ

2X Brilliant II SYBR Green QPCR master mix	12.5	ไมโครลิตร
10 $\mu$ M Forward primer	1.0	ไมโครลิตร
10 $\mu$ M Reverse primer	1.0	ไมโครลิตร
น้ำที่มีเชื้อแล้ว	9.5	ไมโครลิตร
First stand cDNA (Template)	1.0	ไมโครลิตร
ปริมาตรรวม	25.0	ไมโครลิตร

ใส่สารต่าง ๆ ข้างต้น ลงใน 96 Well polypropylene plates จากนั้นนำไปทำปฏิกิริยาในเครื่อง Mx Pro™ 3000P QPCR (Stratagene) ที่กำหนดสภาวะการทำงานดังนี้คือ ช่วงแรกของปฏิกิริยาใช้อุณหภูมิ 95 องศาเซลเซียส เป็นเวลา 10 นาที ส่วนช่วงที่สองใช้อุณหภูมิที่ 95 องศาเซลเซียส เป็นเวลา 30 วินาที ที่อุณหภูมิ 56 องศาเซลเซียส เป็นเวลา 30 วินาที และ 72 องศาเซลเซียส เป็นเวลา 1 นาที จำนวน 40 รอบ และช่วงสุดท้ายใช้อุณหภูมิ 95 องศาเซลเซียส เป็นเวลา 1 นาที ที่อุณหภูมิ 55 องศาเซลเซียส เป็นเวลา 30 วินาที สุดท้ายที่อุณหภูมิ 95 องศาเซลเซียส เป็นเวลา 30 วินาที จำนวน 1 รอบ บันทึกผลของ Thrshold cycle หรือค่า  $C_t$  จากโปรแกรม MxPro™ QPCR version 4.0 เพื่อนำมาใช้ในการวิเคราะห์รูปแบบการแสดงออกของยีนทั้งสองชนิดต่อไป

#### 4.1.9 การวิเคราะห์ผลที่ได้จากใช้เทคนิค Real-time PCR และการวิเคราะห์ข้อมูลทางสถิติ

นำค่า  $C_T$  ที่ได้จากทุก ๆ กลุ่มการทดลองในแต่ละช่วงเวลา มาทำการคำนวณเพื่อหาค่า Relative expression ratio ตามวิธีการของ Livak and Schmittgen (2001) โดยสามารถคำนวณได้จากสูตร

$$\text{Relative expression ratio} = 2^{-(\Delta\Delta C_T)}$$

เมื่อ  $\Delta C_T$  คือความแตกต่างของค่า  $C_T$  ของยีน Granzyme และ Caspase-3 กับค่า  $C_T$  ของยีน  $\beta$ -actin ที่ทำการทดลองในแต่ละช่วงเวลา โดยสามารถเขียนเป็นสมการ ได้ดังนี้คือ

$$\text{Relative expression ratio ของยีน Caspase-3 } \Delta C_T = C_T \text{ Caspase-3} - C_T \beta\text{-actin}$$

$$\text{Relative expression ratio ของยีน Granzyme } \Delta C_T = C_T \text{ Granzyme} - C_T \beta\text{-actin}$$

จากนั้นนำค่า  $\Delta C_T$  จากการทดลองที่เวลา 0 ชั่วโมง ( $\Delta C_T$  ที่เวลา 0) ใช้เป็น Calibrator เพื่อปรับค่า  $\Delta C_T$  ของการทดลองในแต่ละชั่วโมง ( $\Delta C_T$  ที่เวลา X) ให้เป็นมาตรฐานเดียวกัน โดยค่าที่ได้จากการคำนวณดังกล่าวจะคือ  $\Delta\Delta C_T$  และสามารถเขียนเป็นสมการ ได้ดังนี้คือ

$$\Delta\Delta C_T = \Delta C_T \text{ ที่เวลา X} - \Delta C_T \text{ ที่เวลา 0}$$

จากนั้นจึงแทนค่า  $\Delta\Delta C_T$  ลงในสมการ เพื่อหาค่า Relative expression ratio แล้วจึงทำการวิเคราะห์ค่าความแตกต่างของระดับการแสดงออกของยีน Caspase-3 และ Granzyme ระหว่างกลุ่มการทดลอง ในแต่ละชั่วโมง โดยแยกกัน โดยใช้วิธีวิเคราะห์ความแปรปรวน (Analysis of variance) ตามแผนการทดลองแบบสุ่มตัดอุด (Completely randomized design) และเปรียบเทียบความแตกต่างของค่าเฉลี่ยในแต่ละชั่วโมงในกลุ่มการทดลองของแต่ละยีน โดยใช้วิธี Duncan's new multiple range test (อนันต์ชัย, 2542)

**5. การศึกษารูปแบบการแสดงออกของยีน Caspase-3 และ Granzyme ในเซลล์เม็ดเลือดขาวในกระเพาะเลือด ในหลอดทดลอง (*In vitro*) ภายหลังจากการกระตุ้นด้วยเชื้อ *A. hydrophila* และ Concanavalin A โดยใช้เทคนิค Quantitative real-time PCR**

**5.1 การทดลองในหลอดทดลอง (*In vitro*)**

**5.1.1 การเตรียมสัตว์ทดลอง**

นำปลา尼ลตัวเต็มวัยน้ำหนักประมาณ 800 กรัม จำนวน 18 ตัว ที่ไม่มีอาการของโรคต่างๆ มาเลี้ยงในสภาพแวดล้อมห้องข้อ 1.1

**5.1.2 การเตรียมเชื้อแบคทีเรียสำหรับการทดลอง**

นำเชื้อ *Aeromonas hydrophila* สายพันธุ์ AQAH001 มาเขี้ยบบนอาหาร Tryptic soy agar (TSA) บ่มเชื้อที่อุณหภูมิ 37 องศาเซลเซียส เป็นเวลา 24 ชั่วโมง แยกโคลoni เดี่ยวมาเลี้ยงต่อในอาหารเหลว Tryptic soy broth (TSB) บ่มเชื้อที่อุณหภูมิ 37 องศาเซลเซียส เป็นเวลา 24 ชั่วโมง จากนั้นนำไปปั่นให้ว่องที่ความเร็วรอบ 2,500 rpm เป็นเวลา 15 นาที จะเกิดการแยกชั้นระหว่างตะกอนแบคทีเรีย บริเวณก้นหลอดกับอาหารเลี้ยงเชื้อส่วนใสด้านบน เทส่วนใสทิ้ง แล้วล้างตะกอนแบคทีเรียด้วยน้ำเกลือ 0.85% ปั่นให้ว่องที่ความเร็วรอบ 2,500 rpm เป็นเวลา 15 นาที จำนวน 2 ครั้ง จึงทำการละลายตะกอนแบคทีเรียที่ได้ในน้ำเกลือ 0.85% ปรับความเข้มข้นของแบคทีเรียโดยใช้เครื่อง Spectrophotometer ที่ความยาวคลื่น 540 นาโนเมตร และมีค่า Absorbance เท่ากับ 0.1 จะได้เชื้อแบคทีเรียมีความเข้มข้นประมาณ  $1 \times 10^5$  CFU ต่อมิลลิลิตร

**5.1.3 การเตรียมเซลล์เม็ดเลือดขาว**

นำปลา尼ลขนาดประมาณ 800 กรัม ที่เตรียมไว้จำนวน 18 ตัวมาทำการดูดเลือดโดยใช้เข็มฉีดยาเบอร์ 24 ตัวละ 9 มิลลิลิตร ให้ได้เลือดปริมาณทั้งหมด 162 มิลลิลิตร จากนั้นนำเลือดทั้งหมดที่ได้มาผสานกับ Medium A (Penicillin/Streptomycin solution ปริมาตร 200 มิลลิลิตร, Heparin ความเข้มข้น 200 unit ต่อ Fecal carp serum ที่ทำการ Inactivated ด้วยความร้อนที่อุณหภูมิ 56 องศาเซลเซียส นาน 30 นาที ปริมาตร 1 มิลลิลิตร, RPMI No.1640 ปริมาตร 19 มิลลิลิตร) ในอัตราส่วนเลือด ปริมาตร 1 มิลลิลิตรต่อ Medium A ปริมาตร 2 มิลลิลิตร จะได้เลือดที่เจือจางແล็ก

ทั้งหมดปริมาตรรวม 486 ไมโครลิตร ผสมสารละลายน้ำต่าง ๆ ให้เข้ากันด้วยการเรียบเรียงแล้วนำไปสูญญากาศใน Tube ทั้งหมด 54 หลอด ขนาด 15 มิลลิลิตร ที่บรรจุ Lymphoprep (Axis-shield) ปริมาตร 3 มิลลิลิตร แบ่งใส่ลงใน Tube ทั้งหมด 15 หลอด ขนาด 15 มิลลิลิตร ที่บรรจุ 25 องศาเซลเซียส ด้วย Swing rotor จากนั้นเม็ดเลือดจะเกิดการแยกชั้น ทำการคุณลักษณะที่เป็นบริเวณที่รวมตัวกันของเซลล์เม็ดเลือดขาว ออกมายัง Tube ขนาด 15 มิลลิลิตร อันใหม่ แล้วจึงเติม Phosphate buffer saline (PBS) ปริมาตร 3 มิลลิลิตร ผสมให้เข้ากัน โดยใช้ Micropipette แล้วปั่นให้เขียวที่ความเร็วรอบ 400 xg (1,500 rpm) เป็นเวลา 30 นาที ที่อุณหภูมิ 25 องศาเซลเซียส ด้วย Swing rotor จากนั้นเม็ดเลือดจะเกิดการแยกชั้น ทำการคุณลักษณะที่เป็นบริเวณที่รวมตัวกันของเซลล์เม็ดเลือดขาว ออกมายัง Tube ขนาด 15 มิลลิลิตร อันใหม่ แล้วจึงเติม PBS ปริมาตร 3 มิลลิลิตร เพื่อทำการล้างเซลล์เม็ดเลือดขาว เทสารละลายน้ำ PBS ด้านบนทิ้ง สุดท้ายจะได้ตอกอนสีขาวของเซลล์เม็ดเลือดขาว เติม PBS ปริมาตร 200 ไมโครลิตร ผสมให้เข้ากันเป็น 1:1 โดยใช้ Micropipette ซึ่งจะได้เซลล์เม็ดเลือดขาวทั้งหมด 54 หลอด

#### 5.1.4 การวางแผนการทดลอง

นำเซลล์เม็ดเลือดขาวในกระเพาะเลือด ที่เตรียมไว้ทั้งหมด 54 หลอด มาแบ่งออกเป็น 3 กลุ่มการทดลอง กลุ่มการทดลองละ 6 หลอด (แต่ละกลุ่มการทดลองทำ 3 ชั้้ง) โดยในแต่ละหลอดจะมีเซลล์เม็ดเลือดขาวที่ละลายใน PBS หลอดละ 200 ไมโครลิตร และมีความหนาแน่นของเซลล์เท่ากับ  $2 \times 10^7$  เซลล์ ต่อจากนั้นนำเซลล์เม็ดเลือดขาวในกระเพาะเลือดที่ได้มาจัดกลุ่มการทดลอง ดังนี้

กลุ่มที่ 1 เป็นกลุ่มควบคุม (Control) นำเซลล์เม็ดเลือดขาวในกระเพาะเลือดที่ละลายใน PBS ที่มีความหนาแน่นของเซลล์เท่ากับ  $2 \times 10^7$  เซลล์ มาเติม Medium A ปริมาตร 2 มิลลิลิตร เพียงอย่างเดียว โดยจะได้เซลล์เม็ดเลือดขาวในกระเพาะเลือดมีความหนาแน่นสุดท้ายประมาณ  $9 \times 10^6$  เซลล์

กลุ่มที่ 2 เป็นกลุ่มทดลอง (Treatment 1) นำเซลล์เม็ดเลือดขาวในกระเพาะเลือดที่ละลายใน PBS ที่มีความหนาแน่นของเซลล์เท่ากับ  $2 \times 10^7$  เซลล์ มาเติม Medium A ปริมาตร 2 มิลลิลิตร ที่มีเชื้อ *A. hydrophila* ความเข้มข้น  $2 \times 10^5$  CFU ต่อมิลลิลิตร เพื่อให้ได้ความเข้มข้นสุดท้ายประมาณ  $1 \times 10^5$  CFU ต่อมิลลิลิตร

กลุ่มที่ 3 เป็นกลุ่มทดลอง (Treatment 2) นำเซลล์เม็ดเลือดขาวในกระแสเลือดที่ละลายใน PBS ที่มีความหนาแน่นของเซลล์เท่ากับ  $2 \times 10^7$  เซลล์ มาเติม Medium A ปริมาตร 2 มิลลิลิตร ที่มี Concanavalin A ซึ่งมีความเข้มข้น 20 ไมโครกรัมต่อมิลลิลิตร เพื่อให้ได้ความเข้มข้นสุดท้ายประมาณ 10 ไมโครกรัมต่อมิลลิลิตร

นำเซลล์เม็ดเลือดขาวในกระแสเลือดที่เตรียมไว้ทั้งหมด 3 กลุ่มการทดลอง มาเลี้ยงในตู้บ่มที่อุณหภูมิ 25 องศาเซลเซียส เขย่าตลอดเวลาโดยใช้ความเร็วรอบ 25 rpm แล้วจึงเริ่มเก็บเซลล์เม็ดเลือดขาวในกระแสเลือด เพื่อเตรียมสักด Total RNA โดยเก็บจากแต่ละกลุ่มการทดลอง จากแต่ละช่วงเวลา กลุ่มละ 1 หลอด ทั้งหมด 9 หลอด โดยมีช่วงเวลาที่เก็บดังต่อไปนี้คือที่ 0, 6, 12, 24, 48 และ 72 ชั่วโมง ตามลำดับ ระหว่างนี้เลี้ยงเซลล์เม็ดเลือดขาวในกระแสเลือด ที่เหลือในสภาวะเดิม จนกว่าจะทำการทดลองเสร็จสิ้น

#### 5.1.5 การเก็บตัวอย่างเซลล์เม็ดเลือดขาวในกระแสเลือดและการสักด Total RNA

นำตัวอย่างเซลล์เม็ดเลือดขาวในกระแสเลือดจากทั้ง 3 กลุ่มการทดลอง แบ่งใส่ลงใน Microcentrifuge tubes ขนาด 1.5 มิลลิลิตร นำไปปั่นเหวี่งที่ความเร็วรอบ 7,500 rpm เป็นเวลา 15 นาที ที่อุณหภูมิ 25 องศาเซลเซียส เพื่อตกรตะกอนเซลล์เม็ดเลือดขาวในกระแสเลือด เทสารละลายส่วนใหญ่ แล้วจึงเติม Trizol Reagent (Molecular research center) ปริมาตร 1 มิลลิลิตร แล้วในน้ำแข็ง จากนั้นบดเซลล์เม็ดเลือดขาวในกระแสเลือดให้ละเอียดด้วยทีบดเม็ดเลือดที่ม่าเชื้อแล้ว แล้วจึงทำลาย Genomic DNA โดยใช้เข็มพิคบานอร์ 24 คู่ขึ้นลงประมาณ 10-15 ครั้ง บ่มที่อุณหภูมิห้องเป็นเวลา 5 นาที แล้วจึงสักด Total RNA ตามวิธีการ ในข้อ 1.2

#### 5.1.6 การวัดความเข้มข้นของ Total RNA

นำ Total RNA ที่สักด ได้จากเซลล์เม็ดเลือดขาวในกระแสเลือด จากข้อ 5.1.5 มาวัดความเข้มข้นของ Total RNA ตามวิธีการในข้อ 1.3

### 5.1.7 การตรวจสอบคุณภาพ Total RNA โดยวิธี Formaldehyde agarose gel electrophoresis

ตรวจสอบคุณภาพ Total RNA ของเซลล์เม็ดเลือดขาวในกระแสเลือด ที่ได้จากข้อ 5.1.6 มาตรวจสอบคุณภาพ Total RNA โดยวิธี Formaldehyde agarose gel electrophoresis ตามวิธีการในข้อ 1.4

### 5.1.8 การสังเคราะห์ First stand cDNA จาก Total RNA

นำ Total RNA ที่สักด้วยเจลล์เม็ดเลือดขาวปลาในแต่ละกลุ่มการทดลอง จากข้อ 5.1.5 ในแต่ละช่วงเวลา มาสังเคราะห์ First stand cDNA ภายหลังจากการตรวจสอบคุณภาพ Total RNA โดยใช้ RevertAid<sup>TM</sup> First stand cDNA synthesis ของบริษัท Fermentas ตามวิธีการในข้อ 3.6

### 5.1.9 การศึกษาการแสดงออกของยีน Caspase-3 และ Granzyme ในเซลล์เม็ดเลือดขาวในกระแสเลือด ในหลอดทดลอง ภายหลังจากการกระตุ้นด้วยเชื้อ *A. hydrophila* และ Concanavalin A โดยใช้เทคนิค Quantitative real-time PCR

นำ First stand cDNA ที่เตรียมได้จากเซลล์เม็ดเลือดขาวในกระแสเลือด ในแต่ละกลุ่มการทดลอง ที่เก็บในแต่ละช่วงเวลา จากข้อ 5.1.8 มาเป็น Template และใช้ Specific primers ที่ออกแบบมาจำกัดบนนิวคลีโอไทด์บาง ส่วนของ cDNA ของยีน Caspase-3 และ Granzyme ได้แก่ Caspase F3 primer คู่กับ Caspase R3 primer และ Granzyme F2 primer คู่กับ Granzyme R2 primer (ตารางที่ 1) เพื่อนำมาใช้ในการทำปฏิกิริยาของ Real-time PCR ตามวิธีการในข้อ 4.1.8 หลังจากนั้น ผลของการแสดงออกของยีนที่ได้นำไปเปรียบเทียบกับการแสดงออกของยีน  $\beta$ -actin โดยมี Specific primers ( $\beta$ -actin F2 primer คู่กับ  $\beta$ -actin R2 primer; ตารางที่ 1) ซึ่งจะใช้เป็น Normalizer โดยใช้สภาวะการทำปฏิกิริยา เช่นเดียวกับการศึกษาการแสดงออกของยีน Caspase-3 และ Granzyme เช่นเดียวกับในข้อ 4.1.8

ส่วนผสมของการทำปฏิกิริยาปริมาณรวม 25  $\mu$ l ในโครลิตร มีส่วนประกอบและสภาวะการทำงานของเครื่อง Mx Pro<sup>TM</sup> 3000P QPCR (Stratagene) ตามวิธีการในข้อ 4.1.8

### 5.1.10 การวิเคราะห์ข้อมูลทางสถิติ

นำค่า  $C_T$  ที่ได้จากการทดลองในแต่ละช่วงเวลา มาทำการคำนวณเพื่อหาค่า Relative expression ratio โดยทำการวิเคราะห์ค่าความแตกต่างของการแสดงออกของยีน Caspase-3 และ Granzyme ในเซลล์เม็ดเลือดขาวในกระแสเลือด ในหลอดทดลอง ตามวิธีการในข้อ 4.1.9

### สถานที่และระยะเวลาทำการวิจัย

ห้องปฏิบัติการการจัดการสุขภาพสัตว์น้ำ ภาควิชาพยาบาลสัตว์น้ำ คณะประมง มหาวิทยาลัยเกษตรศาสตร์ โดยดำเนินการทำวิจัยในระหว่างเดือนกันยายน 2550 - ธันวาคม 2552

## ผลและวิจารณ์

### ผล

#### **1. การโคลนและการศึกษาคุณลักษณะของลำดับนิวคลีโอไทด์ที่สมบูรณ์ของ Complementary DNAs (cDNAs) ของยีน Caspase-3 และ Granzyme ในปานิล**

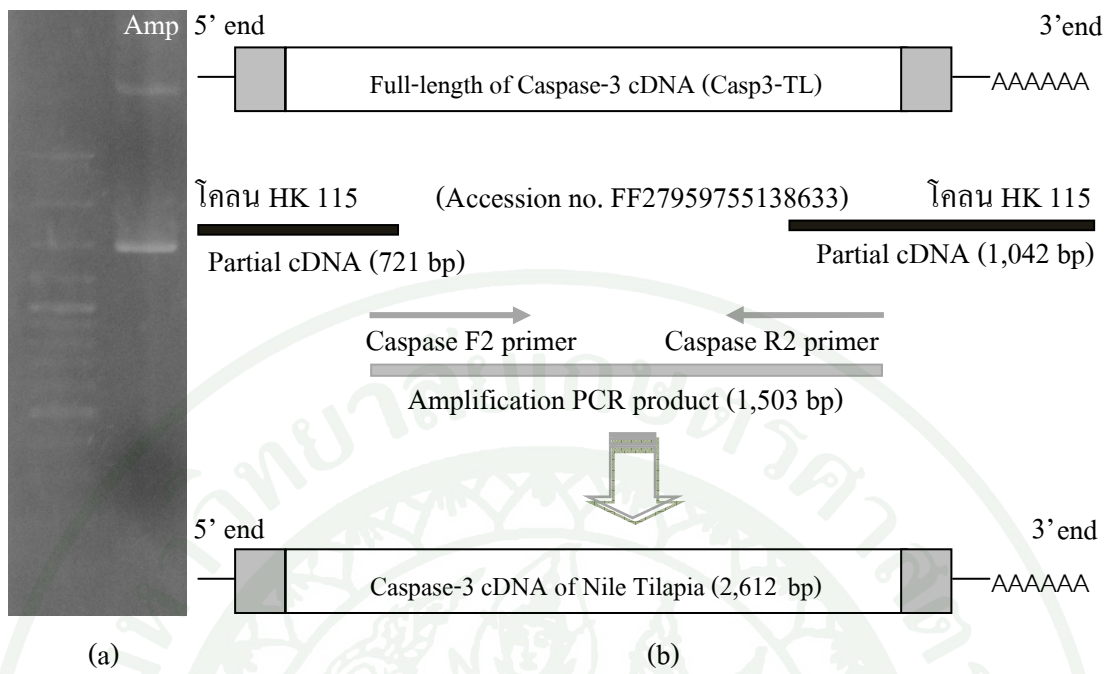
จากการศึกษาการแสดงออกของยีนจากไตส่วนหน้าและม้ามใน cDNAs library ของปานิล หลังจากถูกกระตุนด้วยเชื้อ *Streptococcus agalactiae* โดยใช้เทคนิค Expressed sequence Tags (ESTs) โดยการรายงานของ Srisapoome *et al.* (2008) พบว่าลำดับนิวคลีโอไทด์ที่มีการบันทึกไว้ในฐานข้อมูล GeneBank Database (Direct submittion, Accession no. ตั้งแต่ FF27951855138554-FF28060355139639 ที่ได้ศึกษาในไตส่วนหน้าและ Accession no. ตั้งแต่ FF28060455139640-FF28169055140732 ที่ได้ศึกษาในม้าม เมื่อนำลำดับนิวคลีโอไทด์บางส่วนของ ESTs โคลนเหล่านี้ มาตรวจสอบโดยการนำไปเปรียบเทียบความคล้ายคลึงกันของลำดับนิวคลีโอไทด์และลำดับกรดอะมิโน (Blast N และ Blast X) กับสิ่งมีชีวิตต่าง ๆ ที่มีรายงานใน GenBank database พบว่าภายใน จากการกระตุนด้วยเชื้อ *S. agalactiae* มีการแสดงออกของกลุ่มยีนที่เกี่ยวข้องกับกลไกการเกิดกระบวนการ Apoptosis อยู่หลายชนิด หนึ่งในจำนวนนั้นคือการค้นพบลำดับนิวคลีโอไทด์บางส่วนของ cDNA ของยีน Caspase-3 (โคลน HK 115, Accession no. FF27959755138633) และยีน Granzyme (โคลน HK 28, Accession no. FF27953355138569) ซึ่งพบเฉพาะใน cDNA library ซึ่งสร้างจากไตส่วนหน้าของปานิลเท่านั้น

เมื่อนำ cDNA โคลน HK 115 มาทำการตัดด้วย.enon ไซน์ตัดจำเพาะ *Xho* I และ *Eco* RI แล้วนำไปตรวจสอบบน Agarose gel พบว่า cDNA โคลน HK 115 นี้ มีขนาดของชิ้น Insert ประมาณ 1,000 bp (ภาพที่ 10) และเมื่อทำการตรวจสอบลำดับนิวคลีโอไทด์บางส่วนของ cDNA โคลน HK 115 โดยการนำไปทำการหาลำดับนิวคลีโอไทด์ (Sequencing) โดยใช้ Universal primers ชนิด M13F primer และ M13R primer (ตารางที่ 1) ทำให้ได้ลำดับนิวคลีโอไทด์ 721 bp และ 1,042 bp ตามลำดับ และเมื่อนำมาทำ Multiple alignment เพื่อหาส่วนที่ซ้อนทับกัน กลับปรากฏว่าไม่สามารถหาส่วนที่ซ้อนทับดังกล่าวได้ ซึ่งเมื่อพิจารณาถึงหลักความจริงจากขนาดของ Insert size แล้วไม่น่าเป็นไปได้หรืออาจเป็นไปได้ลำดับนิวคลีโอไทด์ของ cDNA โคลน HK 115 อาจมีขนาดใหญ่กว่า 1,000 bp ผู้วิจัยจึงทำการออกแบบ Forward และ Reverse primers [Caspase F2 primer และ Caspase R2 primer (ตารางที่ 1)] แล้วนำไปเพิ่มจำนวน DNA ในปฏิกิริยา PCR โดยใช้พลาสมิดโคลน HK

115 เป็นแม่แบบ (Template) ทำให้ได้ PCR products ขนาดประมาณ 1,500 bp (ภาพที่ 11a) เมื่อนำ PCR products นี้ไปทำการ โคลนและตรวจสอบลำดับนิวคลีโอไทด์ พบร่วมกับขนาดเท่ากับ 1,503 bp และภายหลังจากนำเอาระบบลำดับนิวคลีโอไทด์ที่ได้นี้ไปทำ Multiple alignment กับระบบลำดับนิวคลีโอไทด์ที่ได้จากการตรวจสอบลำดับนิวคลีโอไทด์โดยใช้ M13 Forward และ M13 Reverse primers ทำให้ทราบว่าลำดับนิวคลีโอไทด์ทั้งหมดของ cDNA โคลน HK 115 มีความยาวเท่ากับ 2,612 bp (ภาพที่ 11b) และทำการตั้งชื่อ cDNA นี้ว่า “Casp3-TL”



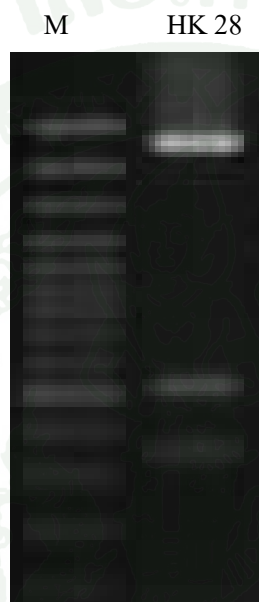
**ภาพที่ 10** ขนาดของชิ้น Insert ของ cDNA โคลน HK 115 ภายหลังจากการตัดด้วยendon ไซม์ตัด จำพวก *Xho* I และ *Eco* RI บน Agarose gel โดยที่ M คือ 100 bp DNA Ladder



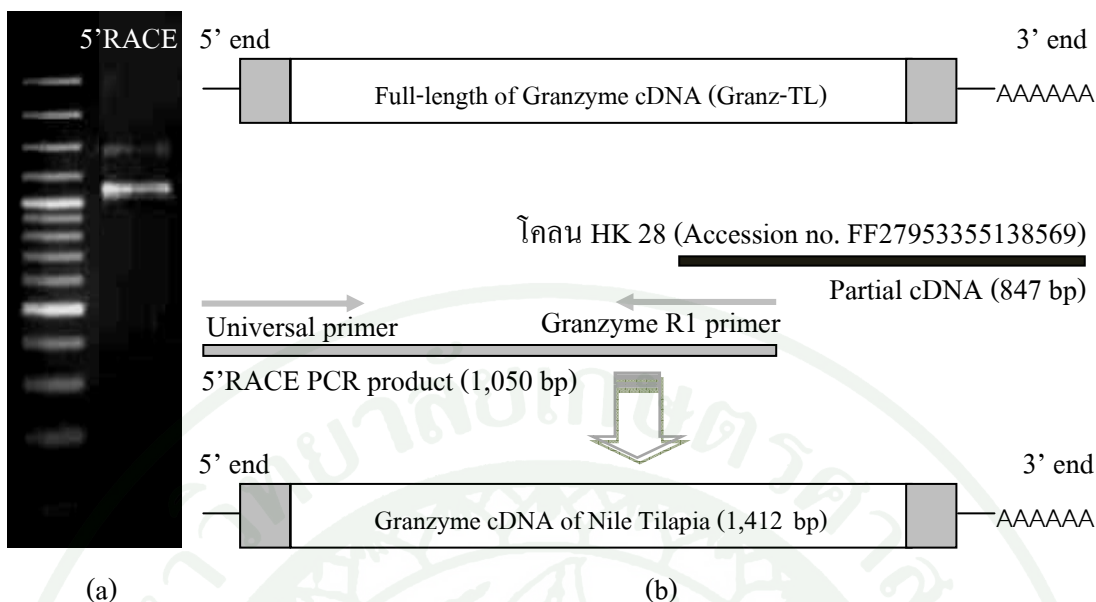
**ภาพที่ 11** แบบแผนการโคลนลำดับนิวคลีโอไฮด์ที่สมบูรณ์ของ cDNA ของยีน Caspase-3 ในปานิล (Casp3-TL) (a) แอบ DNA ของ Amplification PCR product จากการหาลำดับนิวคลีโอไฮด์ตำแหน่งช่วงกลางของ cDNA ของยีน Casp3-TL ในปานิล (b) แผนภาพการโคลนลำดับนิวคลีโอไฮด์ที่สมบูรณ์ของ cDNA ของยีน Casp3-TL และตำแหน่งของ Specific primers (Caspase F2 primer และ Caspase R2 primer)

เมื่อนำ Plasmid ของ cDNA โคลน HK 28 ที่ได้จากการศึกษาการแสดงออกของยีนจากไตรส่วนหน้าใน cDNA library ของปลานิลหลังจากถูกกระตุนด้วยเชื้อ *S. agalactiae* โดยใช้เทคนิค Expressed sequence Taqs (ESTs) (เอกสาร, 2551) นั้น มาทำการตัดด้วยเอนไซม์ตัดจำเพาะ *Xho* I และ *Eco* RI แล้วนำไปตรวจสอบบน Agarose gel พบว่า cDNA โคลน HK 28 มีขนาดของ Insert คร่าวๆ ประมาณ 850 bp (ภาพที่ 12) และเมื่อนำ Plasmid นี้ไปหาลำดับนิวคลีโอไทด์ (Sequencing) โดยใช้ Universal primers ชนิด M13F primer และ M13R primer (ตารางที่ 1) พบว่า cDNAs นี้มีขนาดเท่ากับ 847 bp อย่างไรก็ตาม เมื่อนำไปทำการเปรียบเทียบความคล้ายคลึงกันของลำดับนิวคลีโอไทด์และกรดอะมิโน โดยการใช้โปรแกรม Blast X ใน GenBank database พบว่า cDNA โคลน HK 28 นี้บรรจุลำดับนิวคลีโอไทด์บางส่วนของยีน Granzyme ในปลานิลทางด้าน 3' เท่านั้น จึงทำการออกแบบ Specific primer เพื่อใช้ในการ Amplify ลำดับนิวคลีโอไทด์ส่วนที่เหลือทางด้าน 5' โดยการใช้เทคนิค 5' RACE (Rapid Amplification of cDNA Ends) ตามวิธีการของบริษัท BD Smart<sup>TM</sup> RACE cDNA Amplification kit (BD Bioscience Clontech) ทำให้ได้ PCR product

ประมาณ 1,000 bp (ภาพที่ 13a) และวิจัยนำ PCR product ที่ได้ไปทำการโคลนเข้าสู่ pGem T Easy vector และหาลำดับนิวคลีโอไทด์ (Sequencing) โดยการใช้ M13 Forward และ M13 Reverse primers พบว่า PCR product ที่ได้นี้มีขนาดเท่ากับ 1,050 bp และเมื่อนำลำดับนิวคลีโอไทด์ที่ได้นี้ไปทำการ Alignment กับลำดับนิวคลีโอไทด์ทางค้าน 3' ที่ได้ก่อนหน้านี้ ทำให้ได้ลำดับนิวคลีโอไทด์ที่สมบูรณ์ของ cDNA ของยีน Granzyme ในปลา尼ล มีความยาวทั้งสิ้นรวม 1,412 bp (ภาพที่ 13b) จึงทำการตั้งชื่อ cDNA นี้ว่า “Granz-TL”



ภาพที่ 12 ขนาดของชิ้น Insert ของ cDNA โคลน HK 28 ภายหลังจากการตัดด้วยเอนไซม์ตัดจำพวก *Xho* I และ *Eco* RI บน Agarose gel โดยที่ M คือ 100 bp DNA Ladder

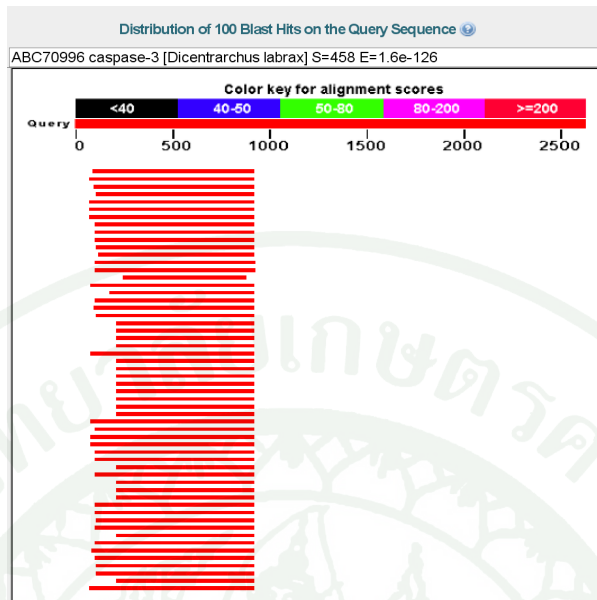


**ภาพที่ 13** แบบแผนการโคลนลำดับนิวคลีโอไทด์ที่สมบูรณ์ของ cDNA ของยีน Granzyme (Granz-TL) ในปลาโนล (a) แอบ DNA ของ 5' RACE PCR product (b) แผนภาพการโคลนลำดับนิวคลีโอไทด์ที่สมบูรณ์ของ cDNA ของยีน Granz-TL และตำแหน่งของ Reverse primer (Granzyme R1 primer)

2. การวิเคราะห์ลำดับนิวคลีโอไทด์ที่สมบูรณ์ของ cDNA การเปรียบเทียบลำดับนิวคลีโอไทด์ ลำดับกรดอะมิโนและการศึกษาความสัมพันธ์เชิงวิจัยของการของยีน Caspase-3 และยีน Granzyme ในปานิลกับสิ่งมีชีวิตต่าง ๆ

2.1 การวิเคราะห์ลำดับนิวคลีโอไทด์ที่สมบูรณ์ของ cDNA ของยีน Caspase-3 (Casp3-TL) และ Granzyme (Granz-TL) ในปานานิล

เมื่อนำผลของลำดับนิวคลีโอไทด์ที่สมบูรณ์ของ cDNA ของยีน Caspase-3 ในปลา尼ล (Casp3-TL) ที่ได้จากข้อ 1 ไปทำการเปรียบเทียบลำดับนิวคลีโอไทด์และลำดับกรดอะมิโนด้วยโปรแกรม Blast X กับสิ่งมีชีวิตชนิดอื่น ๆ ที่มีการรายงานไว้ใน GenBank database พบว่าลำดับนิวคลีโอไทด์ที่สมบูรณ์ของ Casp-3 TL มีความคล้ายคลึงกับลำดับนิวคลีโอไทด์และกรดอะมิโนของยีน Caspase-3 ของปลา European sea bass (*Dicentrarchus labrax*) มากที่สุด (ภาพที่ 14) โดยมีค่า E-values สูงสุดเท่ากับ  $2e^{-126}$  รองลงมาคือยีน Caspase-3 ของปลา Large yellow croaker (*Larimichthys crocea*) ซึ่งมีค่า E-values เท่ากับ  $4e^{-126}$  (ตารางที่ 2)



gb|ABC70996.1| caspase-3 [Dicentrarchus labrax]  
gb|ABC70996.1| caspase-3 [Dicentrarchus labrax]  
Length=281

Score = 458 bits (1178), Expect = 2e-126  
Identities = 223/277 (80%), Positives = 244/277 (88%), Gaps = 1/277 (0%)  
Frame = +2

Query	Subject	Sequence	Length
95		SGPGVDDTDAKPGNGKRSAGSSSASVPMVDVDAKPQSHSFYRLDFPSIGQCIIINNKFD +GPG D TDA+ G+G S S SAS PMDVKDAKP S SFY L++PS+GQCIIINNKFD	274
4		NGPGEDSTDARRGDGQESEASFASGPMVDVDAKPNSRSFRYSLNYPMSGQCIIINNKFD	63
275		RSTGMNQRNGTDVDAGNAMEVFKNLGYNVKMYNDQTVQDMNNVLTDASKEDHSNSASFVC R TGMMNQRNGTDVDAGNAMEVFKNLGYNVKMYNDQTVQDMNNVLTDASKEDHSNSASFVC	454
64		RRTGMNQRNGTDVDAGNAMEVFKNLGYKVFTKLGYKTKIYNDQTVQDMNNVLTDASKEDHSNSASFIC RRTGMNQRNGTDVDAGNAMEVFKNLGYKVFTKLGYKTKIYNDQTVQDMNNVLTDASKEDHSNSASFIC	123
455		ILLSHGDEGVFFGTDGSVALKHLTSLFRGDRCKSLVKGKPQLFFIQACRGTDLDPGIETDS +LLSHGDEGVFFGTDGSVALKHLTSLFRGDRCKSLVKGKPQLFFIQACRGTDLDPGIETDS	634
124		VLLSHGDEGVFFGTDGSVELKYLTLFRGNHCISLVKGKPQLFFIQACRGTDLDPGIETDS VLLSHGDEGVFFGTDGSVELKYLTLFRGNHCISLVKGKPQLFFIQACRGTDLDPGIETDS	183
635		ETDG-VKIPVEANFLYAFSPAPGYYSWRNTMTGSWFIQSVCMDISKYGKELEILHIMTRV DG KIPVEA+FPLYAFSPAPGYYSWRNTTGGSWFIQS+CD+ISKYGKELE+ HIMTRV	811
184		GEDGTTKIPVEADFLYAFSTAPGYYSWRNTTGGSWFIQSCLCDLISKYGKELELQHIMTRV GEDGTTKIPVEADFLYAFSTAPGYYSWRNTTGGSWFIQSCLCDLISKYGKELELQHIMTRV	243
812		NHKVAVEFESASNNSPGFDAKKQIPIPCIVSMLTKEMYFS 922 N HKVAVEFES ASNNSPGF+AKKQIPIPCIVSMLTKEMYFS	
244		NHKVAVEFESISNSPGFNNAKKQIPIPCIVSMLTKEMYFS 280	

**ภาพที่ 14** การเปรียบเทียบความคล้ายคลึงของลำดับนิวคลีโอไทด์ที่สมบูรณ์ของ cDNA ของยีน Caspase-3 ของปลา尼ล (Casp3-TL) กับสิ่งมีชีวิตชนิดอื่น ๆ ที่มีรายงานไว้ใน GenBank database (<http://blast.ncbi.nlm.nih.gov/Blast.cgi>) โดยใช้โปรแกรม Blast X

**ตารางที่ 2 การเปรียบเทียบความคล้ายคลึงกันของลำดับนิวคลีโอไทด์ที่สมมูลณ์ของ cDNA ของ Caspase-3 ในปลา尼ล (Casp3-TL) กับสิ่งมีชีวิตชนิดอื่น ๆ ที่มีค่า E-value สูงสุด 5 อันดับแรก โดยใช้โปรแกรม Blast X**

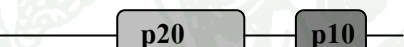
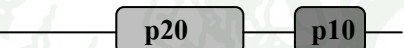
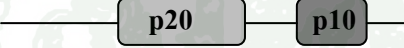
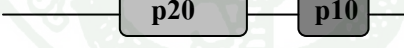
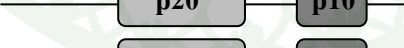
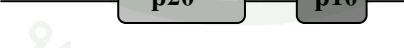
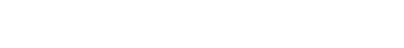
<b>Putative genes</b>	<b>Closest species</b>	<b>E-values</b>	<b>Score</b>	<b>Length</b>	<b>Accession</b>
			(bits)	(residues)	number
Caspase-3	<i>Dicentrarchus labrax</i>	2e-126	458	281	DQ345773
Caspase-3	<i>Larimichthys crocea</i>	4e-126	457	285	EU878546
Caspase 3B	<i>Oryzias latipes</i>	3e-121	441	280	AB032608
Caspase-3 precursor	<i>Salmo salar</i>	1e-120	438	284	BT059710
Caspase 3	<i>Takifugu rubripes</i>	2e-119	434	280	AF042797

เมื่อทำการพิจารณาแล้วพบว่าลำดับนิวคลีโอไทด์ที่สมมูลณ์ของ Casp3-TL ในปลา尼ล มีความยาวรวมทั้งสิ้น 2,612 bp (ภาพที่ 15) สามารถถอดรหัสเป็นกรดอะมิโน (Open reading frame หรือ ORF) มีความยาวรวม 846 bp และมีลำดับของนิวคลีโอไทด์ทางด้านปลาย 5' และปลาย 3' Untranslated region (UTR) ที่ไม่เกี่ยวข้องกับการสร้างโปรตีน มีความยาวเท่ากับ 79 และ 1,684 bp ตามลำดับ โดยลำดับนิวคลีโอไทด์ที่แสดงการเริ่มต้นการแปลงรหัส (Start codon หรือ ATG) อยู่ในตำแหน่งลำดับนิวคลีโอไทด์ลำดับที่ 80 bp และสามารถพบตำแหน่งของลำดับนิวคลีโอไทด์ที่เป็น ATTAA (Instability) motif ซึ่งทำหน้าที่เกี่ยวข้องกับการคงสภาพของ mRNA อยู่ทางด้านปลาย 3' UTR จำนวน 2 ตำแหน่ง โดยอยู่ห่างจากลำดับของ Poly A tail ทางด้านปลาย C-terminal เท่ากับ 377 และ 1,150 bp ตามลำดับ และลำดับนิวคลีโอไทด์ที่เป็น Polyadenylation signal sites (AATAAA) จำนวน 1 ตำแหน่ง โดยอยู่ห่างจากลำดับของ Poly A tail เท่ากับ 38 bp ส่วนลำดับนิวคลีโอไทด์ที่แสดงการสิ้นสุดการถอดรหัส (Termination codon หรือ TAA) อยู่ห่างจากลำดับของ Poly A tail ประมาณ 1,684 bp (ภาพที่ 15)

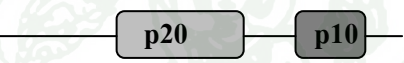
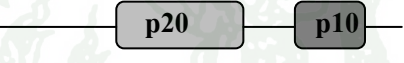
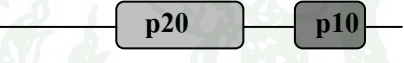
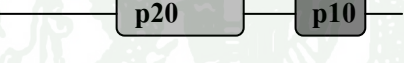
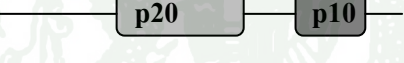
และเมื่อทำการตรวจสอบในส่วนของลำดับนิวคลีโอไทด์ที่สามารถถอดรหัสเป็นกรดอะมิโน (ORF) พบว่ากรดอะมิโนของ Casp3-TL มีความยาวรวมทั้งสิ้น 282 Residues จากนั้นทำการหาบริเวณ Hydrophobic leader sequence จากลำดับกรดอะมิโน ด้วยโปรแกรม “DAS-Transmembrane prediction” (<http://www.sbc.su.se/~miklos/DAS/>) แล้วพบว่าไม่สามารถหาตำแหน่งที่เป็นตำแหน่งของ Hydrophobic leader sequence ได้ (ภาพที่ 16) อย่างไรก็ตามกลับพบว่าลำดับกรดอะมิโนในช่วง Residues ที่ 121-130 เป็นบริเวณที่แสดงตำแหน่งของ Hydrophobic

sequence อายุงชั้ดเจน และเมื่อทำการหาบริเวณที่เป็น Catalytic domain โดยใช้โปรแกรม PROSITE predictions (<http://au.expasy.org/prosite>) พบว่าสามารถแบ่งโครงสร้างของโปรตีนของ Casp3-TL ออกเป็น 2 ส่วน คือ Large subunit หรือ Caspase family p20 domain (p20) และ Small subunit หรือ Caspase family p10 domain (p10) แล้วขึ้งพบตำแหน่งตัดของ Histidine active site อีกหนึ่งตำแหน่งโดยมีลำดับของกรดอะมิโนดังนี้คือ H<sub>117</sub>snsaSfvCiLLSHG<sub>131</sub> (ตารางที่ 3) ซึ่งเป็นช่วงที่อยู่ติดกับ Hydrophobic sequence พอดี โดยทั่วไปแล้วใน Caspases ที่จัดอยู่ในกลุ่ม Effector caspase ซึ่งได้แก่ Caspase-3, Caspase-6 และ Caspase-7 ของสิ่งมีชีวิตในกลุ่ม Vertebrate จะไม่พบ Prodomain ซึ่งโดยปกติแล้วจะอยู่บนตำแหน่งของ Hydrophobic leader sequence โดยใน Caspases ในกลุ่มนี้ จะแตกต่างจากกลุ่มของ Initiator caspases และ Inflammatory caspases โดยเฉพาะ Initiator caspases จะมี Domain สำคัญ ๆ บริเวณตำแหน่งของ Prodomain เช่น Caspase activation recruitment domain (CARD) หรือ Death effector domain (DED) เป็นต้น (Takle and Andersen, 2007) นอกจากนี้ผลการวิเคราะห์ลำดับกรดอะมิโนที่เป็น Open reading frame พบว่ามีกรดอะมิโน Cysteine (Cys หรือ C) ทั้งหมด 6 ตำแหน่ง คือตำแหน่งที่ C<sub>56</sub>, C<sub>125</sub>, C<sub>157</sub>, C<sub>172</sub>, C<sub>225</sub> และ C<sub>269</sub> ตามลำดับ แล้วขึ้งสามารถพบตำแหน่งของ Glycosylation site (NXT หรือ NXS) โดย N คือ Asparagine (Asn), T คือ Threonine (Thr), S คือ Serine (Ser) และ Xaa (X) คือกรดอะมิโนชนิดอื่น ๆ ถึง 2 ตำแหน่งด้วยกัน ได้แก่ Asn-Gly-Ser (N<sub>4</sub>GS) และ Asn-Gly-Thr (N<sub>74</sub>GT) ตามลำดับ (ภาพที่ 16)

ตารางที่ 3 การเปรียบเทียบโครงสร้างที่เป็น Catalytic domain และบริเวณกรดอะมิโนของตำแหน่งตัด (Active site) ของกลุ่ม Caspase family และยืน Caspase-3 ในปลา尼 (Casp3-TL) กับยืน Caspase-3 ของปลาชนิดต่าง ๆ โดยใช้โปรแกรม PROSITE predictions (<http://au.expasy.org//prosite>)

Putative genes	Common name	Catalytic domain		Proteolytic cleavage site (Histidine active site)	Amino acid
		Large Subunit	Small subunit		
Caspase-3	Nile tilapia			Histidine/ 117-131	HsnsaSfvCiLLSHG
Caspase-3	European sea bass			Histidine/ 115-129	HscnaSfiCvLLSHG
Caspase-3	Large yellow croaker			Cysteine/ 161-172	KPKLFFIQACRG
Caspase-3	Zebra fish			Histidine/ 119-133	HscyaSfvCvLLSHG
Caspase-3	White cloud mountain minnow			Cysteine/ 165-176	KPKLFFIQACRG
Caspase-3B	Japanese medaka			Histidine/ 111-125	HsrcaSlvCvLLSHG
Caspase-3 precursor	Atlantic salmon			Cysteine/ 157-168	KPKLFFIQACRG
				Cysteine/ 157-168	KPKLFFIQACRG
				Histidine/ 115-129	HdsaaSfvCiLLSHG
				Cysteine/ 161-172	KPKLFFIQACRG
				Histidine/ 117-131	HscsaSfvCvLLSHG
				Cysteine/ 163-174	KPKLFFIQACRG

ตารางที่ 3 (ต่อ)

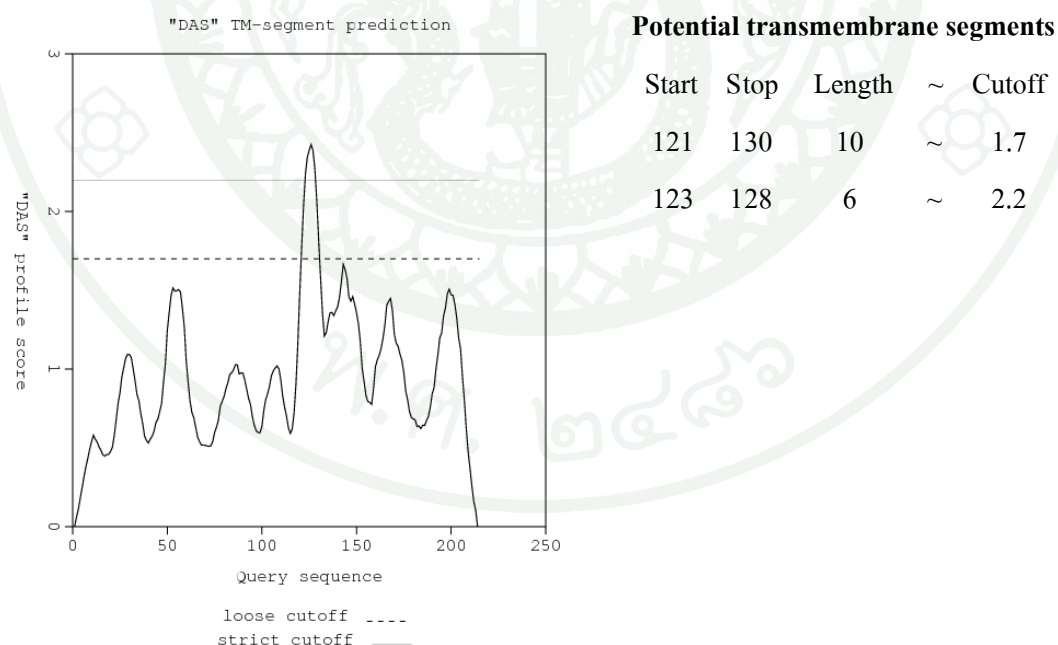
Putative genes	Common name	Catalytic domain		Proteolytic cleavage site (Histidine active site)	Amino acid
		Large Subunit	Small subunit		
Caspase-3	Fugu rubripes			Histidine/ 114-128 Cysteine/ 160-171	HsacaSfvCvLLSHG KPKLFFIQACRG
Caspase-3 precursor	Northern pike			Histidine/ 119-133 Cysteine/ 165-176	HsqsaSfvCvLLSHG KPKLFFIQACRG
Caspase-3 precursor	Sablefish			Histidine/ 129-143 Cysteine/ 175-186	HsdraSfvCvLLSHG KPKLFFIQACRG

1	GGCACGAGGGAGGCCTCTTGTACATAGAGAGCGCGAATTGTTGGTTAGCGTT	60
61	AATTACTTGCCTGTAAAA <u>ATG</u> TCGGAAAACGGATCCGGACCTGGAGTGGACGATAACAGA	120
(1)	M S E <b>N</b> <b>G</b> <b>S</b> G P G V D D T D	(14)
121	CGCAAAGCCAGGCAATGGAAAACGATCAGCGGGCTTCGTCTGCTCTGCCATGGA	180
(15)	A K P G N G K R S A G S S S A S V P M D	(34)
181	CGTGGATGCCAAGCCCCAGTCACACAGCTTCAGATACCGCCTCGATTCCCCAGCATGG	240
(35)	V D A K P Q S H S F R Y R L D F P S I G	(54)
241	CCAGTGTATCATTATCAACAACAAGAACTTGACAGGAGTACAGGCATGAATCAGCGAAA	300
(55)	Q <b>C</b> I I N N K N F D R S T G M N Q R <b>N</b>	(74)
301	CGGTACTGACGTGGATGCAGGCAACGCCATGAGAGTATTAAAAATTAGTTATAATGT	360
(75)	<b>G</b> <b>T</b> D V D A G N A M R V F K N L G Y N V	(94)
361	GAAGATGTACAATGACCAGACAGTCGATCAGATGATGAATGTTTAAGTGCATCTAA	420
(95)	K M Y N D Q T V D Q M M N V L T D A S K	(114)
421	GGAAGATCACAGCAACTCAGCCTTTGTCTGCATTCTTGAGTCACGGGGATGAAGG	480
(115)	E D H S N S A S F V <b>C</b> I L L S H G D E G	(134)
481	CGTGTCTTGATCGGACGGCTCAGTAGCGCTAAACACCTAACCTCACTTTGAGG	540
(135)	V F F G T D G S V A L K H L T S L F R G	(154)
541	CGATCGCTGTAAATCACTGGTGGAAAACCCCCAGCTCTTCATCCAGGGTTGCAGAGG	600
(155)	D R <b>C</b> K S L V G K P Q L F F I Q A <b>C</b> R G	(174)
601	TACAGATCTGGATCCAGGCATTGAAACAGACAGCGAAACTGATGGTGTAAAGATCCCTGT	660
(175)	T D L D P G I E T D S E T D G V K I P V	(194)
661	GGAAGCAAACCTCCCTACGCCTCTCCCCTGCCCCAGGTTACTACTCCTGGAGGAATAC	720
(195)	E A N F L Y A F S P A P G Y Y S W R N T	(214)
721	AATGACTGGTCTGGTCATCCAGTCGGTGTGCACATGATCAGCAAGTACGGAAAAGA	780
(215)	M T G S W F I Q S V <b>C</b> D M I S K Y G K E	(234)
781	ACTGGAGATCCTGCACATCATGACCCGAGTGAACCAAGGTGGCAGTAGAGTTGAGTC	840
(235)	L E I L H I M T R V N H K V A V E F E S	(254)
841	TGCCCTCAATTCTCCAGGGTTGATGCAAAGAAACAAATCCCCGTATTGTGTCAATGCT	900
(255)	A S N S P G F D A K K Q I P <b>C</b> I V S M L	(274)
901	GACCAAAGAGATGTATTTCTCGT <u>TAA</u> TGTCAGAAAATAGAAGAAAGGTTGGAGT	960
(275)	T K E M Y F S R *	(282)

**ภาพที่ 15** ลำดับนิวคลีโอไทด์ (อักษรและบัน) และลำดับกรดอะมิโน (อักษรและลักษณะ) ที่สมบูรณ์ของ cDNA ของยีน Caspase-3 ในปลา尼ล (Casp3-TL) โดยกรอบสีเหลืองทางด้าน 5' UTR แสดงถึง Start codon (ATG) และทางด้าน 3' UTR แสดงถึง Stop codon (TAA) วงกลมแสดงถึง Cysteine residues หัวหมุด 6 ตำแหน่ง ตัวอักษรทึบหนาเน้นและขีดเส้นใต้แสดงถึงตำแหน่ง N-glycosylation site (NXT หรือ NXS) จำนวน 2 ตำแหน่ง และตัวอักษรทึบหนาและขีดเส้นใต้แสดงถึงตำแหน่งของ Polyadenylation signal site (AATAAA) และ ATTAA motif ทางด้านปลาย C-terminal

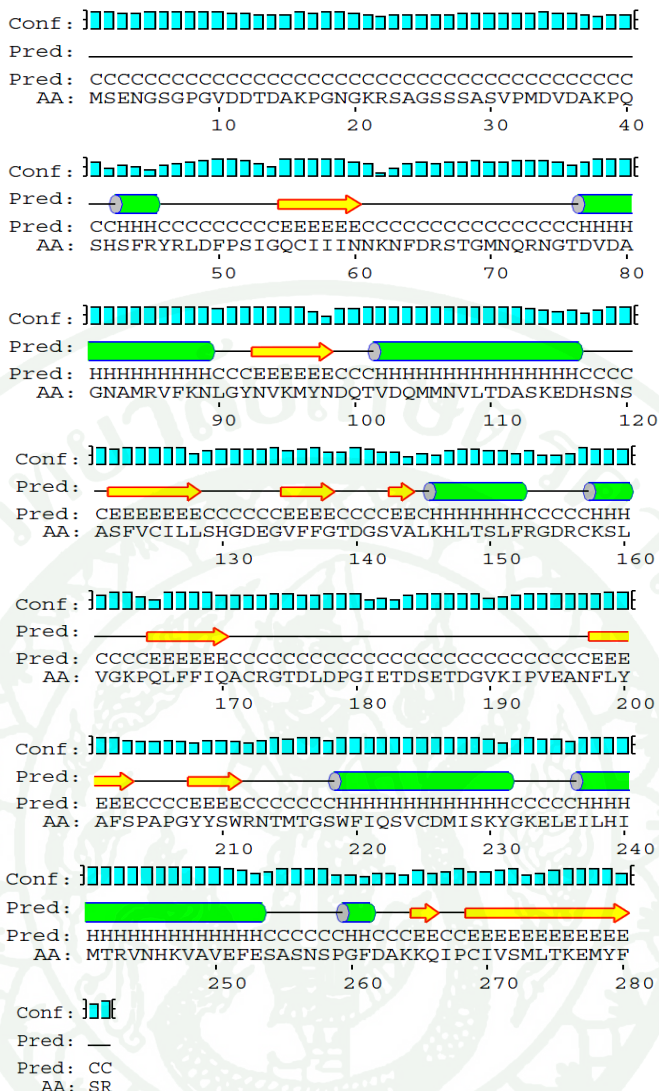
961	GCTTGATTTTTTTGATTTTTTTAATGTACACTTGTAACTCAATATCTCTTCTA	1020
1021	ACTTCATATTGCTGGAGGGCAGACACGATGCAAATGTCAGTCATTCTCACCACCTG	1080
1081	GCATTATTAAGTTATTCACTGTTGAGTAGTTATGTAAGTATGGCATTCACTTTATCCC	1140
1141	AGCAGCAGGCCCTTAACCAAAATGAAAGTTATTTCACATACCAACATGACACAAAAC	1200
1201	CTACAGATGCTACAAGTAACAACAGGGCTGAATTCCGGGCGAGTGTGTTGCCTTT	1260
1261	TGCTGTTACACTACACATTCAAGGACATTGTTGAGTCAGTTGATAGGAAATTGA	1320
1321	CCTTTGCATTTGTTAGTCATGAAACCATAATGGCCTGATTGTCACCAAGCAGCAAT	1380
1381	ATTTCATACATGAGGAGTTATTGTAACCTAACAGTCAGCAGATGACGGCTGTCTT	1440
1441	TATTGTTTGCCTCT <u>ATTTA</u> CATTTTATTGTCCTCATTGTTGAGTGTGATGTCA	1500
1501	TTCACTGGATCGGTACCTGATGCGTTGCAAAGCTAAATTAAAGCACCCGCTGAACCT	1560
1561	GGTGGGTAAATTATTATGTAAGCAAATTCAAGAGGATCCTGTAAGTTAAATGTATGTGGGT	1620
1621	TAGAAAGCTCAGAATTACGTTCTTATTTCTGGCTTTCTGGCGATTCTCTCTTG	1680
1681	CTTGTGAAAATCTTGATGGGAAAGCAGGTTAATAGCCTGCATGGGAAATGCTCAGCAA	1740
1741	CCCGCACAAATGCTGTTTTGAGCCATATTAAACACGTTAGACATACTTGAACCTTTT	1800
1801	TTATTCACTACTCTTTCATGGTTCTTGACTGGCGATTAAACCTCATAGGTAGTCCA	1860
1861	CGGTGCAAAGTGTAGACATTCAAGGATGTGGTTAGTTAATTAGTCAGACAAACCGGAAC	1920
1921	TACAAAGATGGATTGTTAGACATTCAAGGATGTGGTTAGTTAATTAGTCAGACAAACCGGAAC	1980
1981	CACAAAGCGTAGTACATCCTTCCCGTAAACTTAAGAGGTTGCTGCCTGGTCAG	2040
2041	ACCAAACATGATCTTGAATATGTTCACTTGGCTCAGGATCAGTGATAATCCTTTT	2100
2101	CCACAAACAAATGAGCCAGTAAAAGAAATTATGAAATTGATGAAAAAAAGCTTTGGTG	2160
2161	CAGCTTAAAGAAACGTTCATGGTGGCTTTTTTTAAATTAAATAACCAA	2220
2221	TGAATGCAA <u>ATTTA</u> CTAAAGACATTGTTACTTCAGTGATGCAAATTCTTAATAACCA	2280
2281	CAAGCAAACATGAGTAAAAGTTCTGCAAGCTCATGTCACCATGAATAATCAAATAATT	2340
2341	CATAAGAGATGAAGCACAGTTGATTGCACATTGATCCTGTTTACATGTGACAAATCA	2400
2401	TGAAAATGCGATTGTTATGACCAAGACAGCTGTATCTGCACTTGTCGTTAAAT	2460
2461	AAATTCATCGTTCATGTTGACATGCACATTCTCAATTGGCTTTGTAACATGA	2520
2521	TTTGTAAACAGCTGTGATGTAAGGTTGATGTACTGTGTTCACGCAA <u>AATAAA</u> GACCAC	2580
2581	TTTGTTATTCTGAAAAAAAAAAAAAA	2612

ภาพที่ 15 (ต่อ)

ภาพที่ 16 การหาตำแหน่งของ Hydrophobic leader sequence ของ cDNA ของยีน Caspase-3 ใน  
ปลาบลีด (Casp3-TL) โดยใช้โปรแกรม "DAS"- Transmembrane Prediction

เมื่อทำการวิเคราะห์ลำดับนิวคลีโอไทด์ที่สมบูรณ์ของ cDNA ของ Casp3-TL ในปลา nil โดยการใช้โปรแกรม ExPASy Proteomics Server (<http://au.expasy.org/tools/protparam.html>) แล้วพบว่า Casp3-TL ในปลานิลมีน้ำหนักโมเลกุลของโปรตีนชนิดนี้ประมาณ 70,105.8 Da และมีค่า Theoretical isoelectric point (pI) เท่ากับ 5.09 ซึ่งค่า pI หรือจุดไอโซเอเล็กตริก เป็นค่าที่บอกถึงค่าประจุของกรดอะมิโนหรือโปรตีน สำหรับโปรตีนที่ประกอบไปด้วยกรดอะมิโนหลายชนิดนั้น จะทำให้มีหมู่อะตอมที่แตกตัวได้อย่างหลากหลายถ้วนด้วยกัน ค่า pI ของโปรตีนจึงขึ้นอยู่กับอัตราส่วนความเข้มข้นของกรดอะมิโนที่มีการแตกตัวของหมู่ R ว่าจะเป็นกรดหรือด่าง การพิจารณาประจุสุทธิของโปรตีนในสารละลายทำได้โดยพิจารณาว่าถ้าหากค่า pH ของสารละลายมากกว่าค่า pI ของโปรตีน โปรตีนจะมีประจุสุทธิเป็นลบ และถ้า pH ของสารละลายน้อยกว่าค่า pI ของโปรตีน โปรตีนจะมีประจุเป็นบวก โดยพบว่าค่า pI ของโปรตีน Casp3-TL ในปลานิลมีค่าใกล้เคียงกับโปรตีน Albblumin ใน Serum คือมีค่า pI เท่ากับ 4.9 (พางาม, 2545)

โดยทั่วไปแล้วโครงสร้างของโปรตีนมีไดถึง 4 ระดับ ได้แก่ โครงสร้างปฐมภูมิ (Primary structure), โครงสร้างทุติยภูมิ (Secondary structure), โครงสร้างตertiary ภูมิ (Tertiary structure) และ โครงสร้างจตุรภูมิ (Quarternary structure) ตามลำดับ สำหรับโครงสร้างทุติยภูมิ หรือโครงสร้างลำดับที่ 2 คือลักษณะโครงรูป (Conformation) ต่าง ๆ ของแต่ละส่วนของสายเพปไทด์ที่เกิดจากการม้วน การขดหรือการทบกันของสายเพปไทด์นั้น ๆ ในโครงสร้างทุติยภูมิลักษณะที่พบมากที่สุดมีอยู่สองชนิดคือ  $\alpha$ -helix และ  $\beta$ -plated sheet หรือ  $\beta$ -strand (พางาม, 2545) การศึกษาครั้งนี้จึงทำการทำนายโครงสร้างทุติยภูมิของ Casp3-TL จาก PSIPRED Protein Structure Prediction Server (<http://bioinf.cs.ucl.ac.uk/psipred/psiform.html>) พบว่าโครงสร้างทุติยภูมิของโปรตีนของยืน Casp3-TL ในปลานิลประกอบด้วยส่วนที่เป็น  $\alpha$ -helix หรือ H จำนวน 8 ส่วน สำหรับส่วนที่เป็น  $\beta$ -strand หรือ E จำนวน 10 ส่วน และส่วนที่เหลือจะเป็น Random coil หรือ C (ภาพที่ 17)



ภาพที่ 17 การทำงานของ Caspase-3 ในปานิล (Casp3-TL) สำหรับ  $\alpha$ -helix แทนด้วยอักษร H สำหรับ  $\beta$ -strand แทนด้วยอักษร E และ Random coil แทนด้วยอักษร C

สำหรับลำดับนิวคลีโอไทด์ที่สมบูรณ์ของ cDNA ของยีน Granzyme ในปลา尼ล (Granz-TL) ที่ได้จากการโคกนในข้อ 1 นั้น เมื่อนำไปทำการเปรียบเทียบลำดับนิวคลีโอไทด์และกรดอะมิโนด้วยโปรแกรม Blast X กับสิ่งมีชีวิตชนิดอื่น ๆ ที่มีรายงานไว้ใน GenBank database แล้วพบว่าลำดับนิวคลีโอไทด์ที่สมบูรณ์นี้ มีความคล้ายคลึงกับลำดับของกรดอะมิโนของยีน Granzyme I-1 ในปลา Bastard halibut (*Paralichthys olivaceus*) (ภาพที่ 18) โดยมีค่า E-values สูงสุดเท่ากับ  $4e^{-73}$  ซึ่งมีค่าเท่ากับ Granzyme III-1 ในปลา Bastard halibut (*P. olivaceus*) เช่นเดียวกัน และรองลงมาคือยีน Granzyme II ในปลา Bastard halibut (*P. olivaceus*) โดยมีค่า E-values เท่ากับ  $2e^{-69}$  (ตารางที่ 4)

เมื่อพิจารณาลำดับนิวคลีโอไทด์ที่สมบูรณ์ของ cDNA ของ Granz-TL ในปลา尼ล แล้วพบว่า cDNA นี้มีความยาวรวมทั้งสิ้น 1,412 bp สามารถถอดรหัสเป็นกรดอะมิโน (Open reading frame หรือ ORF) มีความยาวรวม 765 bp และมีลำดับของนิวคลีโอไทด์ที่เป็น Untranslated region ทางปลาย 5' และปลาย 3' ซึ่งไม่เกี่ยวข้องกับการสร้างโปรตีน มีความยาวเท่ากับ 125 และ 519 bp ตามลำดับ โดยลำดับนิวคลีโอไทด์ลำดับที่ 126 bp และสามารถพบทามแน่นของลำดับนิวคลีโอไทด์ที่เป็น ATTAA motif อยู่ทางด้านปลาย 3' UTR จำนวน 2 ตำแหน่ง โดยอยู่ห่างจากลำดับของ Poly A tail ทางด้านปลาย C-terminal เท่ากับ 215 และ 400 bp ตามลำดับ และยังพบอีกว่าลำดับนิวคลีโอไทด์ที่เป็น Polyadenylation signal sites (AATAAA) จำนวน 1 ตำแหน่ง โดยอยู่ห่างจากลำดับของ Poly A tail ประมาณ 105 bp ส่วนลำดับนิวคลีโอไทด์ที่แสดงการสิ้นสุดการถอดรหัส (Termination codon หรือ TAA) อยู่ห่างจากลำดับของ Poly A tail ประมาณ 519 bp (ภาพที่ 19)

และเมื่อทำการตรวจสอบลำดับนิวคลีโอไทด์เฉพาะส่วนที่สามารถถอดรหัสเป็นกรดอะมิโน (ORF) เท่านั้น พบว่าสามารถแปลงเป็นลำดับกรดอะมิโนมีความยาวรวมทั้งสิ้น 255 Residues จากนั้นทำการหาบริเวณ Hydrophobic leader sequence จากลำดับกรดอะมิโน ด้วยโปรแกรม “DAS-Transmembrane prediction” (<http://www.sbc.su.se/~miklos/DAS/>) แล้วพบว่า cDNA ของยีน Granz-TL ในปลา尼ลมีความยาวของ Signal peptide ทั้งหมด 19 Residues ทำให้ได้ลำดับกรดอะมิโนในส่วนของ Mature protein ของยีนเท่ากับ 236 Residues (ภาพที่ 19) จากนั้นทำการหาบริเวณที่เป็น Catalytic domain โดยใช้โปรแกรม PROSITE predictions (<http://au.expasy.org/prosite>) พบว่ายีน Granz-TL ของปลา尼ล จัดอยู่ในกลุ่มของ Serine protease domain ชนิด Trypsin family โดยลำดับกรดอะมิโนที่ถอดรหัสเป็น Trypsin domain มีความยาวรวม 227 Residues และยังพบตำแหน่งตัด (Active site) ของยีน Granz-TL ในปลา尼ลได้อีก 2 ตำแหน่งคือ

Histidine active site ที่มีลำดับของกรดอะมิโนเป็น L<sub>63</sub>TAAHC<sub>68</sub> และ Serine active site ที่มีลำดับของกรดอะมิโนเป็น D<sub>202</sub>TcqGDSGGPLL<sub>213</sub> (ตารางที่ 5)

จากนั้นจึงทำการวิเคราะห์ลำดับกรดอะมิโนที่เป็น Open reading frame พบว่า โครงสร้างโปรตีน Granz-TL ของปลา尼ล มีกรดอะมิโน Cysteine (Cys หรือ C) ทั้งหมด 11 ตำแหน่ง คือตำแหน่งที่ C<sub>13</sub> ซึ่งอยู่ใน Leader sequence และ C<sub>52</sub>, C<sub>68</sub>, C<sub>114</sub>, C<sub>115</sub>, C<sub>144</sub>, C<sub>174</sub>, C<sub>192</sub>, C<sub>204</sub>, C<sub>214</sub> และ C<sub>228</sub> ตามลำดับ ซึ่งอยู่ใน Mature Protein และยังสามารถพบตำแหน่งของ Glycosylation site (NXT หรือ NXS) ถึง 5 ตำแหน่งด้วยกัน ได้แก่ Asn-Phe-Ser (N<sub>6</sub>FS), Asn-Glu-Ser (N<sub>84</sub>ES), Asn-Gln-Ser (N<sub>155</sub>QS), Asn-Val-Thr (N<sub>165</sub>VT) และ Asn-Gly-Ser (N<sub>196</sub>GT) ตามลำดับ (ภาพที่ 19) โดยตำแหน่ง Glycosylation site ตำแหน่งแรกคือ Asn<sub>6</sub>-Phe-Ser (NFS) อยู่ในส่วนของ Putative signal peptide หรือ Leader sequence

ตารางที่ 4 การเปรียบเทียบความคล้ายคลึงกันของลำดับนิวคลีโอไทด์ที่สมบูรณ์ของ cDNA ของยีน Granzyme ในปลา尼ล (Granz-TL) กับสิ่งมีชีวิตชนิดอื่น ๆ ที่มีค่า E-value สูงสุด 5 อันดับแรก โดยใช้โปรแกรม Blast X

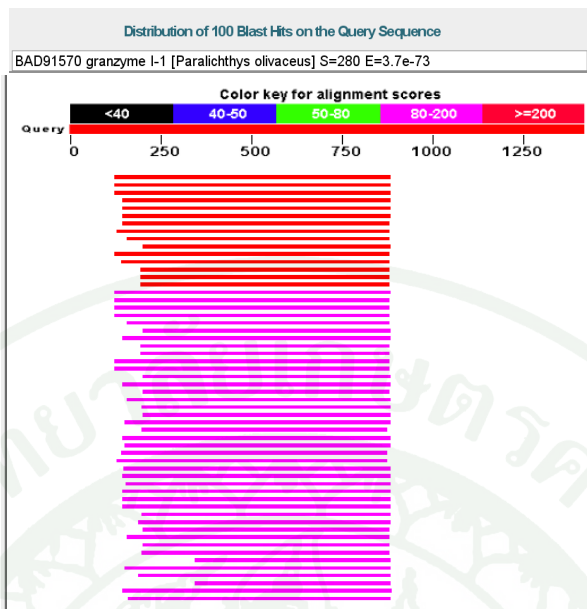
Putative genes	Closest species	E-values	Score	Length	Accession
			(bits)	(residues)	number
Granzyme I-1	<i>Paralichthys olivaceus</i>	4e-73	280	260	AB191196.1
Granzyme III-1	<i>Paralichthys olivaceus</i>	4e-73	280	261	AB191198.1
Granzyme II	<i>Paralichthys olivaceus</i>	2e-69	267	261	AB191194.1
Granzyme A	<i>Salmo salar</i>	1e-59	235	262	NM_001141037.1
Granzyme A precursor	<i>Salmo salar</i>	1e-58	231	262	BT048690.1

ตารางที่ 5 การเปรียบเทียบโครงสร้างที่เป็น Catalytic domain และบริเวณกรดอะมิโนของตำแหน่งตัด (Active site) ของกลุ่ม Serine protease ของยีน Granzyme ในปลา尼ล (Granz-TL) กับยีน Granzyme ในปลาชนิดต่าง ๆ โดยใช้โปรแกรม PROSITE predictions (<http://au.expasy.org//prosite>)

Putative gene	Common name of fish	Serine protease Domain	Position of active site	Amino acid motif
Granzyme	Nile tilapia	Trypsin	Histidine / 63-68 Serine / 202-213	LTAHC DTcqGDSGGPLL
Granzyme	Channel catfish	Trypsin	Histidine / 60-65	LTAHC
Granzyme-like I	Channel catfish	Chymotrypsin	Histidine / 62-67 Serine / 201-212	LTAHC GAcqGDSGGPLV
Granzyme-like III	Channel catfish	Trypsin	Histidine / 59-64	LTAHC
Granzyme I-1	Bastard halibut	Trypsin	Histidine / 62-67 Serine / 205-216	LTAHC DTcqGDSGGPLM

ตารางที่ 5 (ต่อ)

<b>Putative gene</b>	<b>Common name of fish</b>	<b>Serine protease Domain</b>	<b>Position of active site</b>	<b>Amino acid motif</b>
Granzyme II	Bastard halibut	Trypsin	Histidine / 62-67 Serine / 205-216	LTAAC ATcaGDSGGPLM
Granzyme III-1	Bastard halibut	Trypsin	Histidine / 62-67 Serine / 205-216	LTAAC ATckGDSGGPLM
Granzyme A	Atlantic salmon	Trypsin	Histidine / 64-69 Serine / 206-217	LTAAC DScqGDSGGPLV
Granzyme A precursor	Northern pike	Trypsin	Histidine / 68-73 Serine / 210-221	LTAAC DAckGDSGGPLM
Granzyme-1	Nile tilapia	Chymotrypsin	Histidine / 62-67	LTAAC



dbj|BAD91570.1| granzyme I-1 [Paralichthys olivaceus]  
dbj|BAD91571.1| granzyme I-2 [Paralichthys olivaceus]  
Length=260

```

Score = 280 bits (715), Expect = 4e-73
Identities = 145/257 (56%), Positives = 178/257 (69%), Gaps = 5/257 (1%)
Frame = +3

Query 126 MSSLKNFSLICSVLLFIIQPGRGSRIINGKEVEPHSLPYMAYLRTVTNSWCGGTLIHPQ 305
      M L++F+ SC++L I+ GS IING EV P+SLPYMA L+T T CGG LI P
Sbjct  1 MFCLRDFTGFFSCMVLLIVHSSHGSEIINGTEVTPNSLPYMAILQ-TKPVCGGILIDPS 59

Query 306 WVLTAACHTGSYWWVILGAHSRTKNESSKHQRV-VEKSFPHPDYCCAKIDNDLMLLKL-KE 479
      WVLTAAH C G V+LG HS E + Q V VEK F HP Y + ND+MLLKL K
Sbjct  60 WVLTAAHCKGIKTVLLGVHSIKAGEKNSRQLVKVEKHFAPHCYDPDEKVNDIMLLKGKR 119

Query 480 PVRKTRAVQWLEFGDTVRDPAAGSTCLVAGWGATENN--QSSDVLMNVNTVVDRQTCNS 653
      V++T+ V+ L+ G+ ++DP AG++C+VAGWG T N + SDVLM NVTVVDR TCNS
Sbjct 120 SVKETKTVKCLKLGNVIKDPPAGTSCIVAGWGYTNNEVKKMSDVLM SANVTVVDRGTCNS 179

Query 654 RDYYNHRPEITKHMICAGSNGTNVADTCQGDGGPLLCDGALVGVT SYAGCGVITKPGI 833
      R YYN +P IT MICAGS+G DTC GDGGPL+C+G L GTVS+G CG KPG+
Sbjct 180 RQYYNSKPVITSGMICAGSDGKKNTDCGGDGGPLMCNGVLAGVTSFGHKCGQKEKPGV 239

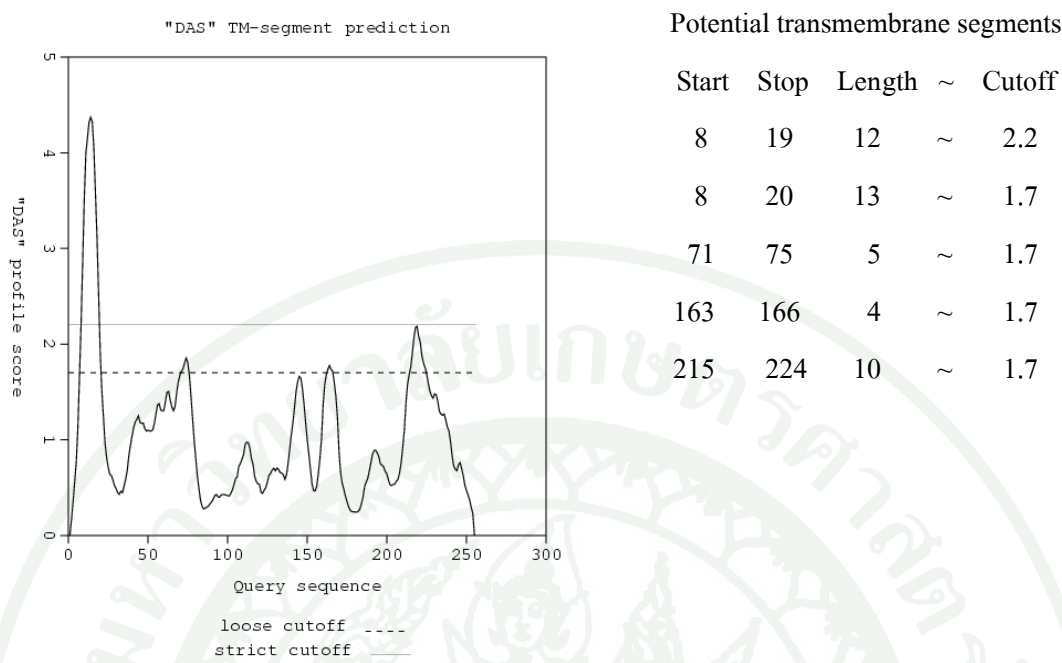
Query 834 YSFISEKQLYWIKTTMK 884
      Y+++S KQL WIK TMK
Sbjct 240 YTYLSVKQLSWIKKTMK 256

```

**ภาพที่ 18** การเปรียบเทียบความคล้ายคลึงของลำดับนิวคลีโอไทด์ที่สมบูรณ์ของ cDNA ของยีน Granzyme ของปลาโนนิล (Granz-TL) กับลำดับเมธีโวตชนิดต่าง ๆ ที่มีรายงานไว้ใน Genbank database (<http://blast.ncbi.nlm.nih.gov/Blast.cgi>) โดยใช้โปรแกรม Blast X

1	CGGGGCAGTGAATTGTATACGACTCACTATAGGGCGAATTGATTTACATCCTATAGGG	60
61	CAAGCAGTGGTATCAACGCAGAGTACGCCGGGGCATTCAGCATTGCTAAAGAAGGAAG	120
121	AAGAA <u>ATG</u> TCTCTGAAAAATTCTAGTCTTCATCTCATGTGTGCTCCTGTTCATCA	180
(1)	M S S L K <b>N F S</b> L L I S (C) V L L F I I	(19)
181	TCCAGCCAGGTCGTGGATCTAGGATTATTAATGGGAAAGAGGTCGAGCCACACTCACTGC	240
(20)	Q P G R G S R I I N G K E V E P H S L P	(39)
241	CTTATATGGCCTATCTTAGAACTGTGACAAATTCTGGTGTGGAGGGACATTAATCCATC	300
(40)	Y M A Y L R T V T N S W (C) G G T L I H P	(59)
301	CACAGTGGGTGCTGACAGCTGCCACTGCAGTGGAGTTATTGGGTGATCTGGGAGCAC	360
(60)	Q W V L T A A H (C) T G S Y W V I L G A H	(79)
361	ACTCCAGAACGAAAAACGAAAGTCCAAGCATCAAAGAGTCGTTGAGAAAAGTTCCCTC	420
(80)	S R T K <b>N E S</b> S K H Q R V V E K S F P H	(99)
421	ATCCTGACTACTGTTGTGCAAAGATAGACAATGACCTCATGTTGCTGAAGCTTAAAGAAC	480
(100)	P D Y (C) C A K I D N D L M L L K L K E P	(119)
481	CGGTGAGGAAAACCAGGGCAGTGCAGTGGCTCGAGTTGGCGACACTGTGAGAGACCCGG	540
(120)	V R K T R A V Q W L E F G D T V R D P A	(139)
541	CAGCTGGCAGCACGTGCCTGGTGGCTGGATGGGAGCAACTGAAAACAACCAATCATCAG	600
(140)	A G S T (C) L V A G W G A T E N <b>N Q S</b> S D	(159)
601	ACGTCCCTCATGTCGTCAATGTGACTGTGGTGACAGACAGACGTGCAACTCTCGTGATT	660
(160)	V L M S V <b>N V T</b> V V D R Q T (C) N S R D Y	(179)
661	ATTACAACCACAGACCTGAGATCACAAACACATGATATGTGCTGGTCAAATGGTACAA	720
(180)	Y N H R P E I T K H M I (C) A G S <b>N G T</b> N	(199)
721	ACGTCGCTGATACTGTCAAGGGATTCAAGGGCTCAGGAGGGCCGCTGTTGTGCGATGGAGCGCTGG	780
(200)	V A D T (C) Q G D S G G P L L (C) D G A L V	(219)
781	TTGGAGTCACTCTTATGGAGCAGGCTGTGGTGTCAATTACAAACCTGGAATCTACTCAT	840
(220)	G V T S Y G A G (C) G V I T K P G I Y S F	(239)
841	TTATCTCAGAAAAACAGCTGACTGGATCAAAACTACGATGAAGTTATTCTAAATGTGTG	900
(240)	I S E K Q L Y W I K T T M K L F *	(255)
901	AAACCACAGCATCAGTCTGCATGATTGATGTTATCTGTCAGTGGTCTCTGTAGA	960
961	CCATTATTCAAGTTTATCATTTACTGTCCTCTTACAGTTATGATC <b>ATTTA</b> GTTCCTGC	1020
1021	CAGCTTGCTATACTTTAAAAAATAGATTCTGCACCTGGCTAGTCCACCATGAACCA	1080
1081	CATTTAGACCTACTGAGAACAAAATTGAAAACACTGTTGAAATTTCACCATCTTCAC	1140
1141	CACACAAACCAGACAGAACATGGTTATATCTAACATCATTTTCAAATA <b>ATTTA</b> AAG	1200
1201	AATTACAAACACGAGTGCCTGGTTGTCAGATGAGTGCAGTAAACCAAG	1260
1261	GAGAAGCAATTATGTACACTCAAAGCCATGATTGTA <u>AATAAA</u> AAAGAGATTATTC	1320
1321	AGACTGTCAAACAGACAGATTCAACGGCTCATATACAACCAACTGAACCTGAAAATGAGG	1380
1381	CCTGCGGACAGGATTGTTGAAAAAAAAAAAAAA	1412

**ภาพที่ 19 ลำดับนิวคลีโอไทด์ (อักษรและบัน) และลำดับกรดอะมิโน (อักษรและล่าง) ที่สมบูรณ์**  
 ของ cDNA ของยีน Granzyme ในปลาณิล (Granz-TL) โดยกรอบสีเหลืองทางด้าน 5' UTR  
 และคงถึง Start codon (ATG) และทางด้าน 3' UTR และคงถึง Stop codon (TAA) กรดอะมิโนที่ขึ้นเส้นได้ แสดงถึงตำแหน่งของ Putative signal peptide จำนวน 19 residues วงกลม  
 และคงถึง Cysteine residues ทั้งหมด 11 ตำแหน่ง ตัวอักษรที่บันหนาเนื่องและขึ้นเส้นได้  
 และคงถึง N-glycosylation site (NXT หรือ NXS) จำนวน 5 ตำแหน่ง และตัวอักษรที่บัน  
 หนาและขึ้นเส้นได้ แสดงถึงตำแหน่งของ Polyadenylation signal site (AATAAA) และ  
 ATTAA motif ทางด้านปลาย C-terminal



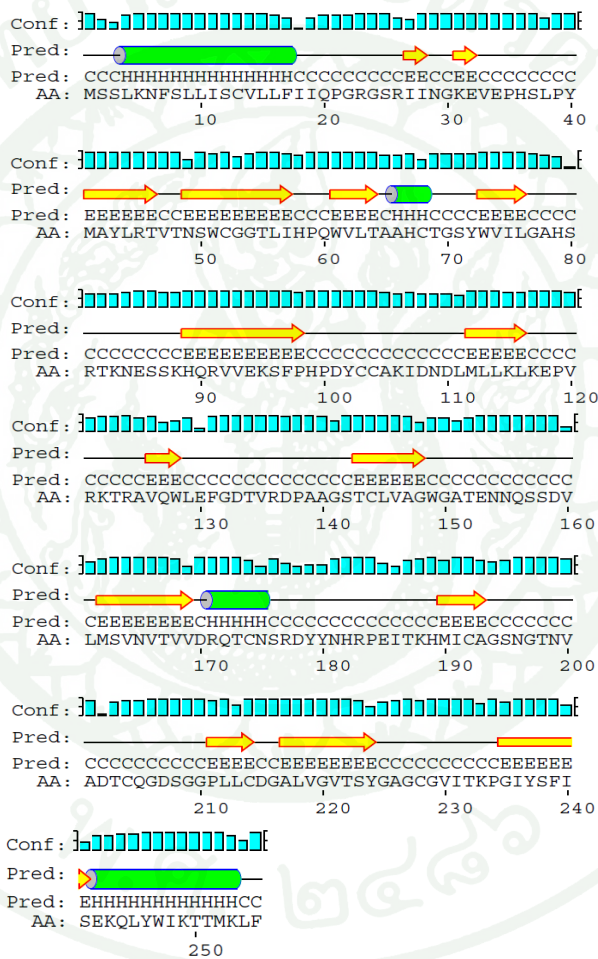
ภาพที่ 20 การหาตำแหน่งของ Hydrophobic leader sequence ของ cDNA ของยีน Granzyme ในปานิล (Granz-TL) โดยใช้โปรแกรม “DAS”- Transmembrane Prediction

เมื่อทำการวิเคราะห์ลำดับนิวคลีโอไทด์ที่สมบูรณ์ของ cDNA ของยีน Granzyme ในปานิล (Granz-TL) โดยการใช้โปรแกรม ExPASy Proteomics Server (<http://au.expasy.org/tools/protparam.html>) และพบว่าโครงสร้างโปรตีนของ Granz-TL ในปานิลมีน้ำหนักโมเลกุลของโปรตีนประมาณ 62,996.4 Da และมีค่า Theoretical isoelectric point (pI) เท่ากับ 5.12 เมื่อพิจารณาแล้วพบว่ามีค่าไกล์เดียวกับโปรตีนของยีน Caspase-3 ในปานิลเท่านั้น

จากนั้นทำการนำยโครงสร้างทุกด้านหรือโครงสร้างลำดับที่ 2 โดยใช้ PSIPRED Protein Structure Prediction Server (<http://bioinf.cs.ucl.ac.uk/psipred/psiform.html>) พบว่าโครงสร้างลำดับที่ 2 ของโปรตีนของยีน Granz-TL ในปานิลประกอบด้วยส่วนที่เป็น  $\alpha$ -helix หรือ H จำนวน 4 ส่วน สำหรับส่วนที่เป็น  $\beta$ -strand หรือ E จำนวน 15 ส่วน และส่วนที่เหลือจะเป็น Random coil หรือ C (ภาพที่ 21) ดังนั้นชนิดและลำดับการเรียงตัวของกรดอะมิโนในโปรตีน จึงมีบทบาทสำคัญต่อการทำหน้าที่ทางชีวภาพของโปรตีน สำหรับโปรตีน Caspase-3 และ Granzyme ในปานิลนั้นจัดได้วาเป็นโปรตีนที่ทำหน้าที่เป็นเอนไซม์ในกระบวนการของปฏิกิริยาทางชีวเคมีบางประเภทที่จำเพาะภายในเซลล์ให้เกิดขึ้น ได้อย่างรวดเร็ว โดยมีหน้าที่เกี่ยวข้องกับการสร้างหรือ

สลายพันธะของสารชีวโมเลกุลจำนวนนวนมาก “ได้แก่” ไรบอนิวคลีอเรส (Ribonuclease) และทริปซิน (Trypsin) เป็นต้น (พรограм, 2545)

ในปัจจุบันคำศัพท์นิวคลีโอไฮด์ที่สมบูรณ์ของทั้ง Casp3-TL และ Granz-TL ของปลา尼ลได้ถูกบันทึกไว้แล้วในฐานข้อมูล GenBank database โดยมีคำศัพท์ Accession no. เป็น GQ421464 และ FJ429322 ตามลำดับ



ภาพที่ 21 การทำนายโครงสร้างทุติยภูมิของโปรตีนของยีน Granzyme ในปลา尼ล (Granz-TL)  
สำหรับ  $\alpha$ -helix แทนด้วยอักษร H สำหรับ  $\beta$ -strand แทนด้วยอักษร E และ Random  
coli แทนด้วยอักษร C (<http://bioinf.cs.ucl.ac.uk/psipred/psiform.html>)

## 2.2 การเปรียบเทียบความคล้ายคลึงกันของลำดับนิวคลีโอไทด์ ลำดับกรดอะมิโนและการศึกษาความสัมพันธ์เชิงวิวัฒนาการของยีน Caspase-3 (Casp3-TL) และ Granzyme (Granz-TL) ในปลา尼ลกับสิ่งมีชีวิตต่าง ๆ

เมื่อนำลำดับนิวคลีโอไทด์ที่สมบูรณ์ของ cDNA ของ Casp3-TL ในปลา尼ล ไปทำการเปรียบเทียบความคล้ายคลึงกันของลำดับนิวคลีโอไทด์และลำดับกรดอะมิโน (Homology) ของ Casp3-TL ในปลา尼ล กับยีน Caspase-3 ของสิ่งมีชีวิตชนิดอื่น ๆ ที่มีการบันทึกไว้ใน GenBank database ดังนี้คือ Zebra fish (*Danio rerio*); AB047003, European sea bass (*Dicentrarchus labrax*); DQ345773, White cloud mountain minnow (*Tanichthys albonubes*); GQ406344, Japanese medaka (*Oryzias latipes*); AB032608, Atlantic salmon (*Salmo salar*); BT059710, Fugu rubripes (*Takifugu rubripes*); AF042797, Large yellow croaker (*Larimichthys crocea*); EU878546, Northern pike (*Esox lucius*); BT079078, Sablefish (*Anoplopoma fimbria*); BT082348, Chimpanzee (*Pan troglodytes*); AY665274, Bolivian squirrel monkey (*Saimiri boliviensis*); AY665229, Human (*Homo sapiens*); BC016926, Chinese hamster (*Cricetulus griseus*); FJ940732, Pig (*Sus scrofa*); AB029345, Norway rat (*Rattus norvegicus*); BC081854, House mouse (*Mus musculus*); BC038825, Dog (*Canis lupus familiaris*); AB085580, Chicken (*Gallus gallus*); AF083029, Domestic cat (*Felis catus*); AB090246, Cattle (*Bos taurus*); BC123503, Gray short-tailed opossum (*Monodelphis domestica*); DQ296557, African clawed frog (*Xenopus laevis*); D89784, Zebra Finch (*Taeniopygia guttata*); XM\_002191258, *Caligus clemensi*; BT080223 และ Rabbit (*Oryctolagus cuniculus*); AF506008 ตามลำดับ แล้วจึงเริ่มทำการเปรียบเทียบความเหมือนและความคล้ายคลึงของลำดับนิวคลีโอไทด์และลำดับกรดอะมิโนนำมาทำการ Multiple sequence alignment ด้วยโปรแกรม Clustal W (<http://www.ebi.ac.uk/Tools/clustalw2/index.html>) และโปรแกรม MatGat 2.01 (<http://bitincka.com/ledion/matgat>) แล้วจึงทำการศึกษาความสัมพันธ์เชิงวิวัฒนาการของยีน โดยการสร้าง Phylogenetic tree โดยนำลำดับกรดอะมิโนของยีน Caspase-3 ของปลา尼ลและสิ่งมีชีวิตดังกล่าวข้างต้น รวมทั้งยีน Caspases ของ Banana Prawn (*Fenneropenaeus merguiensis*); AY839873 และ Black tiger shrimp (*Penaeus monodon*); DQ846887 ซึ่งจะใช้เป็น Out group มาสร้าง Phylogenetic tree ด้วยโปรแกรม MEGA 3 version 3.1 ตามวิธีของ UPGMA โดยใช้ค่า Bootstrap ที่ 1,000 Replicates

จากการเปรียบเทียบความคล้ายคลึงกันของลำดับกรดอะมิโนของยีน Caspase-3 ในปลา尼ลกับลำดับกรดอะมิโนของยีน Caspase-3 กับสิ่งมีชีวิตชนิดอื่น ๆ จากการทำ Multiple sequence alignment ด้วยโปรแกรม Clustal W พบว่าคุณลักษณะของลำดับกรดอะมิโนของยีน Caspase-3 ในปลา尼ลมีความ Yahawong ลำดับกรดอะมิโนเท่ากับ 282 Residues ซึ่งมีขนาดใกล้เคียงกับ cDNA ของยีน Caspase-3 ของปลา European sea bass คือเท่ากับ 281 Residues (Reis *et al.*, 2007) โดยที่ลำดับกรดอะมิโนของยีน Caspase-3 ในกลุ่มของปลาชนิดต่าง ๆ มีจำนวนกรดอะมิโนอยู่ในช่วง 279-299 Residues และมีจำนวนลำดับกรดอะมิโนใกล้เคียงกับกลุ่มของสัตว์เลี้ยงลูกด้วยนมคืออยู่ในช่วง 274-283 Residues และเมื่อทำการพิจารณาถึงลักษณะโครงสร้าง โมเลกุลโปรตีนของยีน Caspase-3 ในปลา尼ล พบว่าประกอบไปด้วย 2 ส่วนหลัก คือส่วนของ Prodomain ทางด้านปลาย N-terminal ที่มีความยาวของลำดับกรดอะมิโนเท่ากับ 34 Residues และส่วนของ Domain หรือ Catalytic domain ซึ่งสามารถแบ่งออกเป็น 2 ส่วนย่อย ได้แก่ Large subunit หรือ Caspase family p20 domain (P17) ที่มีขนาดโมเลกุลประมาณ 20 kDa ซึ่งเป็นกรดอะมิโนจำนวน 125 Residues โดยเริ่มจากลำดับกรดอะมิโนตำแหน่งที่ S<sub>52</sub> จนถึง D<sub>176</sub> ตามลำดับ และ Small subunit หรือ Caspase family p10 domain (P12) ซึ่งเป็นกรดอะมิโนจำนวน 92 Residues โดยเริ่มจากลำดับกรดอะมิโนตำแหน่งที่ K<sub>191</sub> จนถึง R<sub>282</sub> ตามลำดับ คิดเป็นโปรตีนขนาดประมาณ 10 kDa (ภาพที่ 22)

โดยทั่วไปกลุ่มยีน Caspases ของปลาสามารถแบ่งออกเป็น 3 กลุ่มใหญ่ตามลักษณะโครงสร้างบริเวณ Prodomain ซึ่งได้แก่ กลุ่มของ Inflammatory caspases จะมี Domain ที่เรียกว่า PYRIN domain (PYD) หรือ DAPIN (Domain in apoptosis and interferon response) ในส่วนของ Prodomain ทางด้าน N-terminal ของโมเลกุล โดยเป็นโปรตีนที่จัดอยู่ในกระบวนการ Apoptosis และการอักเสบ (Fairbrother *et al.*, 2001) นอกจากนี้ยังมียีน Caspase-A (Casp), Caspase-B (Casp2) หรือ Caspase-B like และ Caspase-C หรือ Caspase-C like จัดอยู่ในกลุ่มนี้ด้วย Caspase กลุ่มที่สองคือกลุ่มที่ไม่มี Prodomain จะเรียกว่า “Cell death execution” ยีนที่จัดอยู่ในกลุ่มนี้ได้แก่ Caspase-3, Caspase-6 และ Caspase-7 ตามลำดับ และกลุ่มสุดท้ายคือกลุ่มของ Cell death initiation ประกอบไปด้วย Promain ที่สำคัญคือ Caspase activation recruitment domain (CARD) และ Death effector domain (DED) ที่จัดอยู่ใน Superfamily ของ Six-helix bundle death domain-fold (DD) โดย Domain เหล่านี้เป็นตำแหน่งที่จับกับ Adaptor molecule ของโปรตีนที่ใช้ในการกระตุ้น Effector caspases ต่าง ๆ โดยยีน Caspase ที่จัดอยู่ในกลุ่มนี้ได้แก่ Caspase-8a/Caspase-8b/Caspase-8/Caspase-8 like, Caspase-8a like, Caspase-8, Caspase-10a หรือ Caspase-10c, Caspase-10, Caspase-9 และ Caspase-2 ตามลำดับ (Takle and Andersen, 2007) (ภาพที่ 23)

และเมื่อพิจารณาถึงลำดับกรดอะมิโนที่อยู่ในบริเวณ Large subunit สามารถพบตำแหน่งลำดับกรดอะมิโนสำคัญ ๆ ที่เป็นลักษณะเฉพาะของกลุ่มยืน Caspase family ในสิ่งมีชีวิตชนิดต่าง ๆ ซึ่งได้แก่ Histidine active site ซึ่งมีลำดับกรดอะมิโนของยืน Caspase-3 ในปานิลเป็น HsnsaSfvCiLLSHG โดยอยู่ในช่วงลำดับกรดอะมิโนที่ 117-131 และยังพบว่าลำดับกรดอะมิโนในบริเวณนี้ค่อนข้างคล้ายคลึงกันเมื่อเปรียบเทียบกับยืน Caspase-3 ของสิ่งมีชีวิตชนิดต่าง ๆ โดยมีลักษณะของ Consensus pattern ดังนี้คือ His-Xaa(4)-Ser-Xaa(2)-Cys-Xaa-Leu-Leu-Ser/Thr-His-Gly (HXXXXSXXCXLLS/THG) ซึ่ง Xaa คือกรดอะมิโนชนิดใด ๆ และตัวเลขในวงเล็บคือจำนวนกรดอะมิโน โดยตำแหน่งตัดของ Histidine active site จะเป็น Histidine residues ลำดับที่สองของลำดับกรดอะมิโนใน Motif นี้ และลำดับกรดอะมิโนที่เรียกว่า Integrin-recognition motif หรือ Arginine-Glycine-Aspartate motif (Arg-Gly-Asp หรือ RGD) ที่สามารถพบได้ในทุก ๆ สิ่งมีชีวิตกรดอะมิโนบริเวณนี้ทำหน้าที่เป็น Adhesion protein จับสิ่งแผลกปลอม ซึ่งอาศัย Receptor ที่อยู่บนผิวเซลล์ เช่น Ligand fibrinogen เป็นต้น (Adderley and Fitzgerald, 2000) และสามารถพบลำดับกรดอะมิโน QACXG หรือ Pentapeptide active-site motif หรือ Cysteine active site เป็นตำแหน่งตัดของ Active site aspartate residue ที่อยู่บริเวณปลาย C-terminal ตำแหน่งตัดนี้จะเป็นตัวแบ่งแยกระหว่าง Large และ Small subunit โดยมีความ Conserved กันสูงในสิ่งมีชีวิตทุกชนิด ซึ่งสามารถพบได้ในบริเวณลำดับกรดอะมิโนที่ 170-174 Residues ของยืน Caspase-3 ในปานิล (ภาพที่ 22) และในส่วนของ Small subunit สามารถพบลำดับกรดอะมิโน Tryptophan (Trp หรือ W) 2 ตำแหน่งคือที่ W<sub>214</sub> และ W<sub>222</sub> ซึ่งเป็นตำแหน่งที่แสดงถึงการเรียงตัวใหม่ (Rearrangement) ทำให้กลายเป็นยืน Caspase-3 ที่ Active แล้ว (Park *et al.*, 2004) และสุดท้ายลำดับกรดอะมิโนที่เป็น Protein binding domain คือเป็นบริเวณ Active site อีกด้านหนึ่งหนึ่งที่ทำหน้าที่จับกับ-Proteinของสิ่งมีชีวิตอื่น ๆ (Monteiro *et al.*, 2009) โดยมีกรดอะมิโนเป็น Glycine-Serine-Tryptophan-Phenylalanine-Isoleucine (Gly-Ser-Trp-Phe-Ile หรือ GSWFI) ตรงตำแหน่ง Residues ที่ 220-224 ซึ่งพบอยู่ทางด้านปลาย C-terminal และพบว่ามีความ Conserved กันค่อนข้างสูง ซึ่งสามารถสังเกตได้อย่างชัดเจน (ภาพที่ 22)

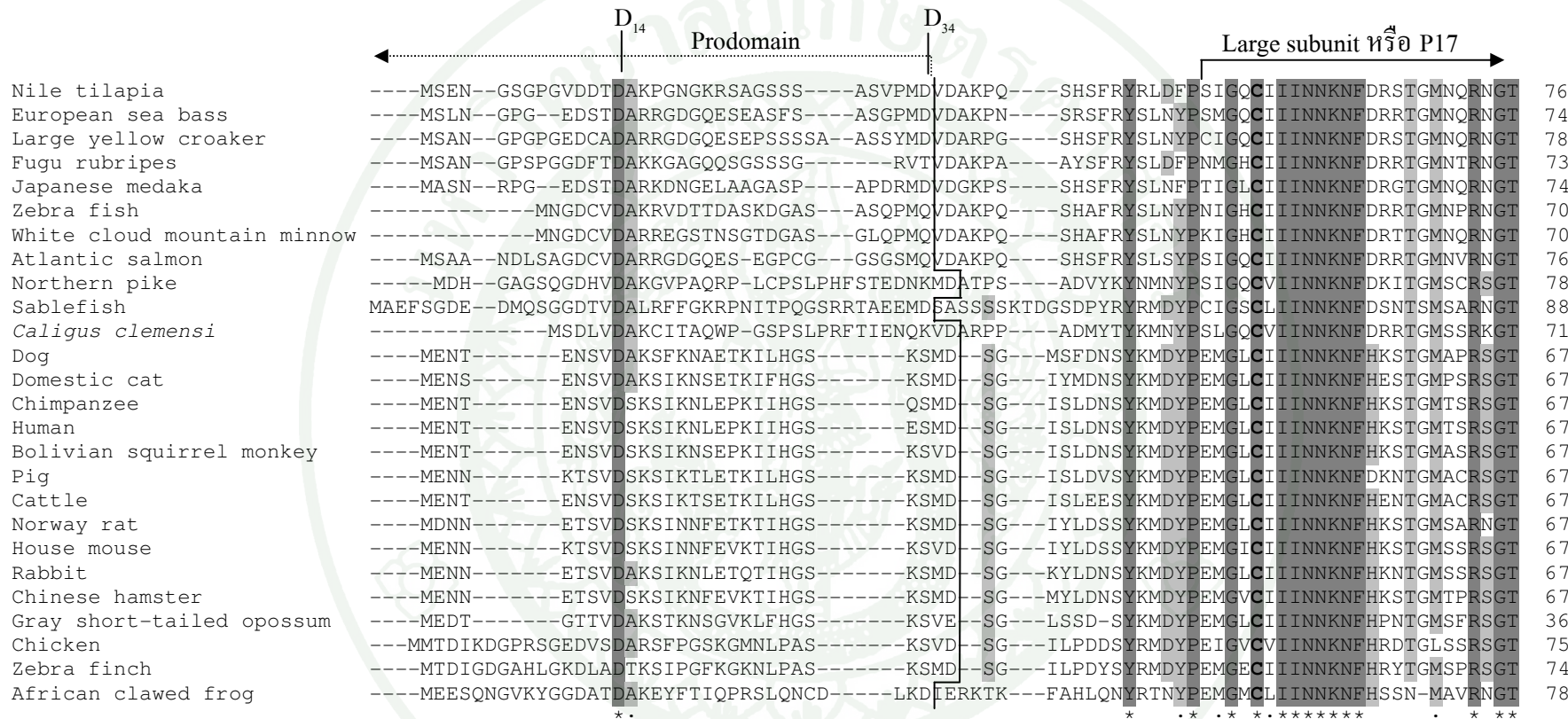
เมื่อพิจารณาโครงสร้างโดยรวม โดยอาศัยข้อมูลข้างต้น ทำให้สามารถสรุปได้ว่า Casp3-TL มีลักษณะโครงสร้างไม่แตกต่างกับ Caspase-3 ของสิ่งมีชีวิตชนิดอื่น ๆ ซึ่งโดยทั่วไปแล้ว ยืน Caspase-3 จะเป็นยืนที่อยู่ในกลุ่ม Effector caspases ซึ่งภายหลังจากการเกิดกระบวนการ Translation โปรตีนที่ได้จะอยู่ในรูปของ Procaspsase-3 ซึ่งอยู่ในสภาพที่เรียกว่า “Zymogen” หรือโปรตีนที่ยังไม่สามารถทำงานได้ (Inactive) โดยจะอยู่เป็นอิสระเพียงโมเลกุลเดียว (Monomer) จากนั้น โมเลกุลเดี่ยวของ โปรตีนนี้จะถูกตัด (Cleave) ในตำแหน่ง Aspartate residues

(Asp หรือ D) อย่างจำเพาะซึ่งใน Casp3-TL ไม่เลกุล จะมีทั้งหมด 3 ตำแหน่ง ได้แก่ D<sub>14</sub>, D<sub>34</sub> และ D<sub>178</sub> โดย Caspase-9 เพื่อให้ Pro caspase-3 เป็นส่วนราชการให้อยู่ในรูปของ Proteinที่พร้อมจะทำงาน (Active) และมีความเสถียรสูงแล้วเกิดการรวมตัวกันของ Large subunit และ Small subunit เป็น 2 ไมเลกุลในลักษณะที่เป็น Dimer หรือ Heterodimer ซึ่งพร้อมที่จะไปทำหน้าที่ในการ Activated substrate ได้อย่างจำเพาะเจาะจงต่อไป ในกลไกการทำงานภายในเซลล์ (Walters, 2009) (ภาพที่ 24)

ผลจากการเปรียบเทียบความเหมือนและความคล้ายคลึงของลำดับนิวคลีโอไทด์และลำดับกรดอะมิโนของ Casp3-TL ในปลา尼 กับยืน Caspase-3 ของสัมมีชีวิตต่าง ๆ ด้วยโปรแกรม MatGat 2.01 และเมื่อพิจารณาถึงความเหมือนกันของลำดับกรดอะมิโน (Amino acid identity) ของ Casp3-TL ในปลา尼 กับยืน Caspase-3 ของสัมมีชีวิตในกลุ่มปลา (Fish) พบว่ามีค่าอยู่ในช่วง 57.9-79.9% โดยมีค่าความเหมือนกันสูงสุดกับยืน Caspase-3 ของปลา European sea bass และมีค่าใกล้เคียงกับยืน Caspase-3 ของปลา Large yellow croaker คือเท่ากับ 79.3% รองลงมาคือยืน Caspase-3 ของปลา Fugu rubripes (76.4%), ยืน Caspase-3B ของปลา Japanese medaka (75.9%), ยืน Caspase-3 precursor ของปลา Atlantic salmon (75.7%), ยืน Caspase-3 ของปลา Zebra fish (71.1%), ยืน Caspase-3 ของปลา White cloud mountain minnow (70.7%), ยืน Caspase-3 precursor ของปลา Northern pike (58.9%) และมีค่าต่ำสุดในยืน Caspase-3 precursor ของปลา Sablefish (57.9%) ตามลำดับ และเมื่อทำการเปรียบเทียบความเหมือนกันของลำดับกรดอะมิโนของ Casp3-TL ของปลา尼 กับยืน Caspase-3 ของสัมมีชีวิตในกลุ่มสัตว์เลี้ยงลูกด้วยนม (Mammals), สัมมีชีวิตในกลุ่มสัตว์ปีก (Avians) และสัมมีชีวิตในกลุ่ม Invertebrates พบว่ามีค่าอยู่ในช่วง 51.7-57.3%, 55.9-57.6% และ 58.4% ตามลำดับ เมื่อทำการเปรียบเทียบความคล้ายคลึงของลำดับกรดอะมิโน (Amino acid similarity) ของยืน Casp3-TL ในปลา尼 กับยืน Caspase-3 ของสัมมีชีวิตในกลุ่มปลา (Fish) พบว่ามีค่าอยู่ในช่วง 71.6-87.2% และมีค่าความคล้ายคลึงสูงสุดกับยืน Caspase-3 ในปลา European sea bass โดยมีค่าเท่ากับ 87.2% และมีค่าใกล้เคียงกับยืน Caspase-3 ในปลา Large yellow croaker คือเท่ากับ 86.3% รองลงมาคือยืน Caspase-3 ในปลา Puffer fish (85.8%), ยืน Caspase-3B ในปลา Japanese medaka (84.4%), ยืน Caspase-3 ในปลา White cloud mountain minnow (84.4%), ยืน Caspase-3 ในปลา Zebra fish (83.3%), ยืน Caspase-3 precursor ในปลา Atlantic salmon (83.1%), ยืน Caspase-3 precursor ในปลา Northern pike (76.6%) และมีค่าต่ำสุดในยืน Caspase-3 precursor ในปลา Sablefish (71.6%) ตามลำดับ และเมื่อทำการเปรียบเทียบค่าความคล้ายคลึงของลำดับกรดอะมิโนของยืน Casp3-TL ในปลา尼 กับสัมมีชีวิตในกลุ่มที่เป็นสัตว์เลี้ยงลูกด้วยนม (Mammals), สัมมีชีวิตในกลุ่มสัตว์ปีก (Avians) และสัมมีชีวิตในกลุ่ม Invertebrates พบว่ามีค่าอยู่ในช่วง 68.4-71.6%, 72.4-74.5% และ 78.0% ตามลำดับ (ตารางที่ 6)

นอกจากนี้ ผลจากการศึกษาและวิเคราะห์ขั้งพบร่วมกับความเหมือนกันของลำดับนิวคลี-ไอโอดี (Nucleotide identity) มีค่าอยู่ในช่วง 58.0-81.7% เมื่อเปรียบเทียบกับยืน Caspase-3 ในกลุ่มของปลา โดยมีค่าความเหมือนกันของลำดับนิวคลี-ไอโอดีสูงสุดกับยืน Caspase-3 ในปลา European sea bass (81.7%) เช่นเดียวกัน และเมื่อทำการเปรียบเทียบความเหมือนกันกับสิ่งมีชีวิตในกลุ่มของสัตว์เลี้ยงลูกด้วยนม สิ่งมีชีวิตในกลุ่มสัตว์ปีก และสิ่งมีชีวิตในกลุ่ม Invertebrates พบร่วมกับค่าอยู่ในช่วง 59.0-62.5%, 38.6-62.7% และ 63.2% ตามลำดับ โดยพบว่าค่าที่ได้คล้ายคลึงและเป็นไปในทำนองเดียวกันกับค่าความเหมือนและความคล้ายคลึงกันของลำดับกรดอะมิโนของ Casp3-TL ในปานิช กับสิ่งมีชีวิตชนิดอื่น ๆ ดังที่กล่าวมาแล้วข้างต้น (ตารางที่ 6)





ภาพที่ 22 การเปรียบเทียบลำดับกรดอะมิโนของยีน Caspase-3 ในปลา尼ลกับลำดับกรดอะมิโนของยีน Caspase-3 ของสัตว์มีชีวิตต่าง ๆ โดยที่สัญลักษณ์ (\*)

แสดงตำแหน่งของกรดอะมิโนที่มีความเห็นอกัน (-) และตำแหน่งของกรดอะมิโนที่มีความคล้ายคลึงกันสูง (.) และตำแหน่งของกรดอะมิโนที่มีความคล้ายคลึงกันต่ำ (◀-----) แสดงตำแหน่งของ Prodomain (→) และตำแหน่งของ Large subunit (→) และตำแหน่งของ Small subunit และกรอบสี่เหลี่ยม แสดงตำแหน่งของ Active site, Conserve sequence และ Motif ต่าง ๆ

Nile tilapia	DVDAGNAMRVFKNLGYNVKMYNDQTVDQMMNVLTDASKEDHSNSASFVC <b>I</b> LLSHGDE-GVFFGTDGSVALKHLSLFRGD <b>R</b> CKSLVGKPK	165
European sea bass	DVDAGNAMKVFTKLGYKTKIYNDQTVEQMVKLISVSKEDHSCNASFI <b>C</b> VLLSHGDE-GVFFGTDGSVELKYLTSLFRGNHC <b>I</b> SLVGKPK	163
Large yellow croaker	DVDAANVMKVFAKLG <b>Y</b> RAKVYNDQTVDQMQRQLTSAKE <b>D</b> HSCYASFVC <b>V</b> VLLSHGDE-GVFFGTDGSIELKYLTSLFRGD <b>R</b> CKSLVGKPK	167
Fugu rubripes	DVDAANAMKVFLSLGYKVKVHNDQTVNQMKQLLVSAEEEDHSACASFVC <b>V</b> VLLSHGDE-GVFFGTDGSVELKYLTSLFRGD <b>R</b> CKSLVGKPK	162
Japanese medaka	DIDAASAMKVFSKLGYRVRKIYNDQTVKQIKQLLTDVS <b>R</b> MHDSDSASFVC <b>I</b> LLSHGDE-GVFFGTDGSIELKTLTSLFRGD <b>H</b> CKSLVGKPK	163
Zebra fish	DVDAGNVMNVFRKLGYIVKVYNDQTVAQIMQVLTTVAHDDHSRCASLVC <b>V</b> VLLSHGDE-GVFFGTDTSVDLKSLTSLFRGD <b>R</b> CPSLVGKPK	159
White cloud mountain minnow	DVDAGNVMNVFKKLGYVVVKVYNDQTVMQIKQVLTTAVAHDDHSRCASLVC <b>V</b> MP <b>S</b> HGDD-GVFFGTDGAVELKALTSLFRGD <b>R</b> C <b>Q</b> SLVGKPK	159
Atlantic salmon	DVDAGNVMKVFGKLGYKVKVYNDQTVDQIKHVLTTASKEDHS <b>C</b> SASFVC <b>V</b> VLLSHGDD-GVFFGTDASIELKSLTSLFRGD <b>R</b> C <b>N</b> SLVGKPK	165
Northern pike	DVDAAHAMKLF <b>T</b> GLGYKIKFVNDQSVQIQDLLLKVSQEDHSQSASFVC <b>V</b> VLLSHGDD-GVLYGTDGIVQLKKLTSL <b>K</b> GDC <b>C</b> CKTLVGKPK	167
Sablefish	DVDAAA <b>V</b> QAFSKLGYKVNANDQTVKQMKQLLYDASREDHS <b>D</b> RSASFVC <b>V</b> VLLSHGDE-GV <b>I</b> YGTDGFERFEDLT <b>I</b> YFKGD <b>R</b> CRSLVGKPK	177
<i>Caligus clemensi</i>	DVDAGYARKVF <b>E</b> RLGYNVKVANDQT <b>V</b> QQIQ <b>Q</b> LLYTVSQDNHSQSASFVC <b>V</b> MLSHGGE-GV <b>F</b> YGTDGNE <b>V</b> LRKLTGLFRGD <b>R</b> CKTLVGKPK	160
Dog	DVDAANLRETFTNLKYEVRNKNDLTCEE <b>I</b> ELMNSVSKE <b>D</b> HSKRSSFVC <b>V</b> VLLSHGDE-G <b>I</b> IFTNGPVDLRKV <b>T</b> GFRGD <b>D</b> YCRSLTGKPK	156
Domestic cat	DVDAANLRETFTNLKYEVRNKNDLTREQIVALLDSVS <b>R</b> EDHS <b>K</b> RSSF <b>I</b> CVLLSHGEE-G <b>I</b> IFTNGPVDLKKL <b>T</b> GFRGD <b>D</b> YCRSLTGKPK	156
Chimpanzee	DVDAANLRETFRNLKYEVRNKNDLTREE <b>I</b> VELMRDV <b>S</b> KE <b>D</b> HSKRSSFVC <b>V</b> VLLSHGEE-G <b>I</b> IFTNGPVDLKKITNF <b>T</b> RGDRCRSLTGKPK	156
Human	DVDAANLRETFRNLKYEVRNKNDLTREE <b>I</b> VELMRDV <b>S</b> KE <b>D</b> HSKRSSFVC <b>V</b> VLLSHGEE-G <b>I</b> IFTNGPVDLKKITNF <b>T</b> RGDRCRSLTGKPK	156
Bolivian squirrel monkey	DVDAANLRETFMNLKYEVRNKNDLTREE <b>I</b> VELMHSVSKE <b>D</b> HSKRSSF <b>I</b> CVLLSHGEE-G <b>I</b> IFTNGPVDLKKITS <b>F</b> RGDC <b>C</b> RSLTGKPK	156
Pig	DVDAANLRETFTNLKYEVRNKNDLTREE <b>I</b> LEMHSVSKE <b>D</b> HSKRSSF <b>I</b> CVLLSHGEE-G <b>K</b> IFTNGPVDLKKLTS <b>F</b> RGDC <b>C</b> RTLTGKPK	156
Cattle	DVDAANLRETFMNLKYEVRIKNDLT <b>C</b> EMLE <b>M</b> NSVSKE <b>D</b> HSKRSSF <b>I</b> CVLLSHGEE-G <b>I</b> IFTNGPVNLKKLAS <b>F</b> RGDYCRSLTGKPK	156
Norway rat	DVDAANLRETFRMALKYEVRNKNDLTREE <b>I</b> ME <b>L</b> MDVS <b>S</b> KE <b>D</b> HSKRSSFVC <b>V</b> VILSHGDE-G <b>V</b> IFTNGPVDLKKLTS <b>F</b> RGDYCRSLTGKPK	156
House mouse	DVDAANLRETFMGLKY <b>Q</b> VRNKNDLTRE <b>I</b> DE <b>L</b> MDVS <b>S</b> KE <b>D</b> HSKRSSFVC <b>V</b> VILSHGDE-G <b>V</b> IFTNGPVELKKLTS <b>F</b> RGDYCRSLTGKPK	156
Rabbit	DVNAANLGETFMNLKYEVRNKNDLTREE <b>I</b> ME <b>L</b> MY <b>N</b> VSKE <b>D</b> HSKRSSF <b>I</b> CVILSHGDE-G <b>V</b> IFTNGPIELKKLTS <b>F</b> RGDYCRSLTGKPK	156
Chinese hamster	DVDAANLRETFRMLKYEVRNKNDLT <b>C</b> GE <b>I</b> VELMKNV <b>S</b> KE <b>D</b> HSRRSSF <b>I</b> CVILSHGDE-G <b>V</b> IFTNGPVDLKKLTT <b>F</b> RGDYCRSLTGKPK	156
Gray short-tailed opossum	DVDAASLSDTFRSLKYEVRIKNDLT <b>C</b> NE <b>I</b> TELLNSVSKE <b>D</b> HSQRSSF <b>I</b> CVILSHGEE-G <b>V</b> IFTDRSVELKRLTC <b>F</b> RGDKCRSLTGKPK	155
Chicken	DADAASVREVFM <b>K</b> LG <b>Y</b> KVKLNNDLSSRD <b>I</b> FKLLKNVSEEDHSKRSSFVC <b>V</b> VLLSHGDE-GLFYGTDGP <b>E</b> LELKVLTSLFRGD <b>R</b> CKRSLAGKPK	164
Zebra finch	DADAASVREVFM <b>K</b> LG <b>Y</b> KIKINNDLSC <b>E</b> GIFNLLKNVSEEDHSKRSSFVC <b>V</b> VLLSHGDE-GLIYGTDGP <b>E</b> LELKALTSLFRGD <b>R</b> CRSLAGKPK	163
African clawed frog	DVDALKLHETFTGLGYEVMV <b>C</b> ND <b>Q</b> SSDI <b>I</b> GR <b>L</b> KK <b>I</b> SEEDHSKRSSFVC <b>C</b> AILSH <b>G</b> EDGSICGV <b>D</b> VPI <b>H</b> IKNL <b>D</b> LF <b>R</b> GD <b>R</b> CKTLVGKPK	167

Histidine active site  
(The Caspase family signature)

ภาพที่ 22 (ต่อ)

Nile tilapia  
European sea bass  
Large yellow croaker  
Fugu rubripes  
Japanese medaka  
Zebra fish  
White cloud mountain minnow  
Atlantic salmon  
Northern pike  
Sablefish  
*Caligus clemensi*  
Dog  
Domestic cat  
Chimpanzee  
Human  
Bolivian squirrel monkey  
Pig  
Cattle  
Norway rat  
House mouse  
Rabbit  
Chinese hamster  
Gray short-tailed opossum  
Chicken  
Zebra finch  
African clawed fog

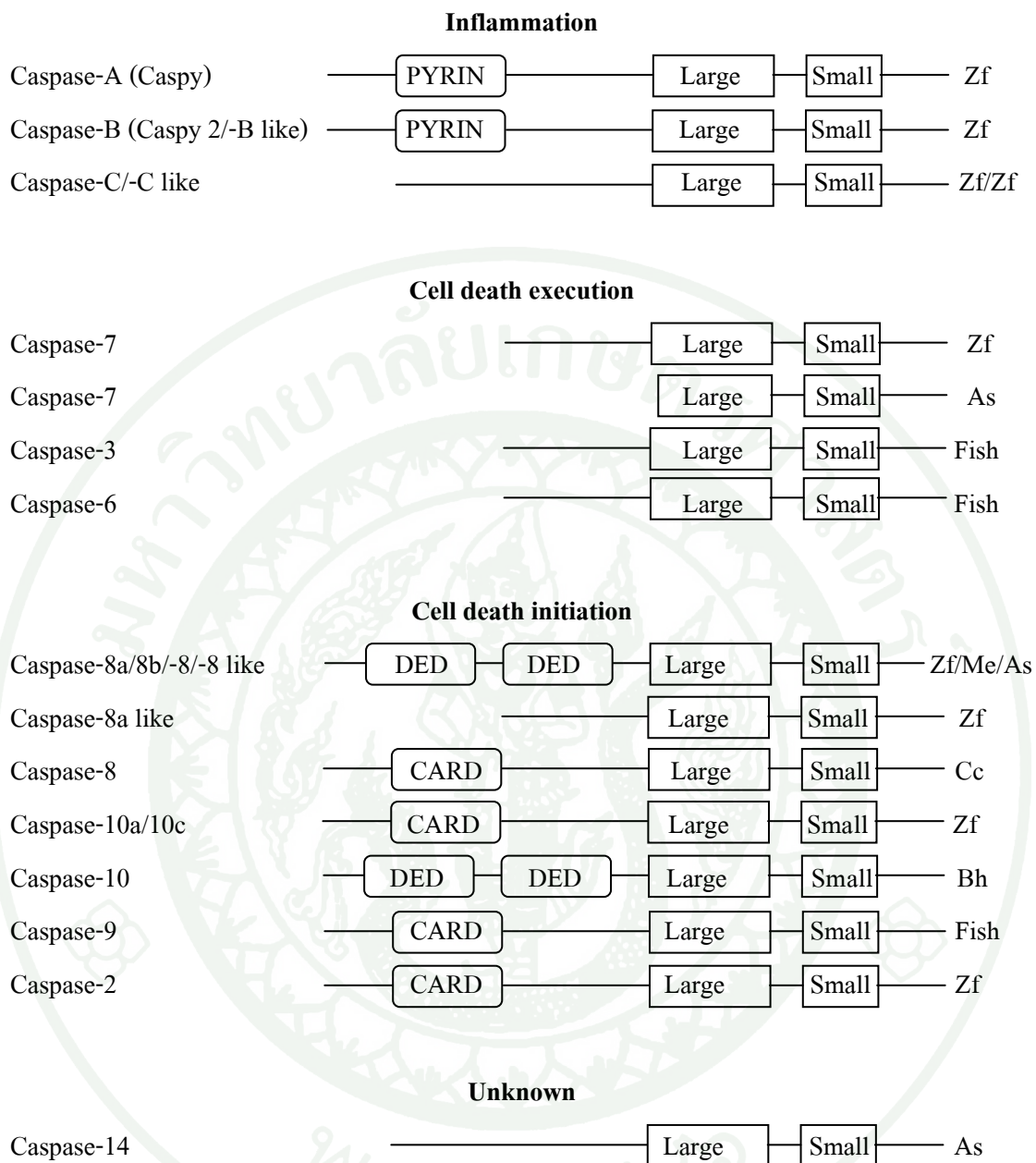
### ) Pentapeptide active-site motif

## Protein binding domain (GSWFI)

ກາພທີ 22 (ຕ່ອ)

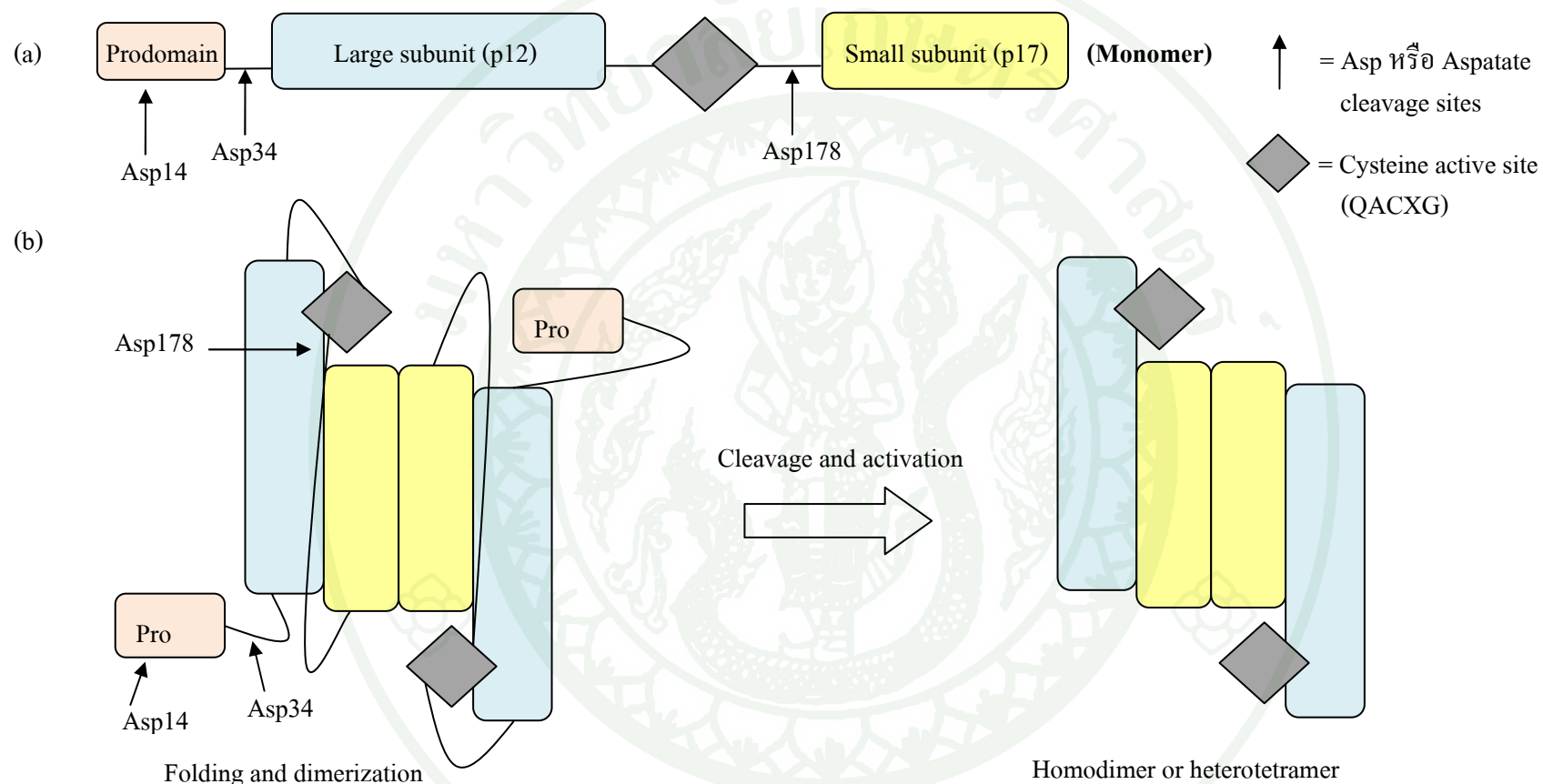
Nile tilapia	MTRVNHKVAVEFESASNSPGFDAKKQIPCIVSMLTKEMYFSR-	282
European sea bass	MTRVNHKVAVEFESISNSPGFNACKQIPCIVSMLTKEMYFSP-	281
Large yellow croaker	MTRVNHKVAVEFESISHSPGFHAKKQIPCIVSMLTKEMYFSP-	285
Fugu rubripes	LTRVNHKVAVDFESVSNLPGFDAKKQIPCIVSMLTKEMYFS--	280
Japanese medaka	MTRVNHMVAVEFESISTLPGFHAKKQIPCIVSMLTKEMYFYP-	280
Zebra fish	MTRVNHKVALDFESTSNMPGFDASKQIPCIVSMLTKEMYFTP-	282
White cloud mountain minnow	MTRVNHKVALDFVSTSNNMPDFDSKKQIPCIVSMLTKEMYFSA-	279
Atlantic salmon	LTRVNHKVATEFESESASNSPGFDAKKQIPCIVSMLTKEMYFTP-	284
Northern pike	MTRVNHMVALNFESSSTPGFSCKKQIPCIVPMLTKELYFPS-	286
Sablefish	MTRVNCKVALHFEASGLPGYSGKKQIPCIVSMLTKDFYFPQK	299
<i>Caligus clemensi</i>	MTRVNHKVAHDFEASAN----KQIPCIVSMLTKHLYFPQ-	281
Dog	LTRVNRKVATEFESFSLDSAFHGKKQIPCIVSMLTKELYLYH-	277
Domestic cat	LTRVNRKVATEFESFSDATFHAKKQIPCIVSMLTKELYFYH-	277
Chimpanzee	LTRVNRKVATEFESFSDATFHAKKQIPCIVSMLTKELYFYH-	277
Human	LTRVNRKVATEFESSFDATFHAKKQIPCIVSMLTKELYFYQ-	277
Bolivian squirrel monkey	LTRVNRKVATEFESFSTDSTFHAKKQIPCIVSMLTKELYFYH-	277
Pig	LTRVNRKVAIEYESFSTDASFHAKKQIPCIMSMLTKELY----	274
Cattle	LTRVNRKVATEFESFSLDATFHAKKQIPCIVSMLTKELYFYH-	277
Norway rat	LTRVNRKVATEFESFSLDSTFHAKKQIPCIVSMLTKELYFYH-	277
House mouse	LTRVNRKVATEFESFSLDATFHAKKQIPCIVSMLTKELYFYH-	277
Rabbit	LTRVNRKVATEFESFSDATFHAKKQIPCIVSMLTKELYFYH-	277
Chinese hamster	LTRVNRKVAIEFESFSLDSTFHAKKQIPCIVSMLTKELYFYQ-	277
Gray short-tailed opossum	LTRVNRKVATEFESYSLDISFHAKKQVPCIMSMLTKELYFSH-	276
Chicken	LTRVNRRVA-EYESCSTRQDFNAKKQIPCIVSMLTKEFYFPC-	283
Zebra finch	LTRVNRRVA-EYESCSTRQDFNAKKQIPCIVSMLTKEFYFPS-	282
African clawed fog	LTCVNHMVALDFET-----FHAKKQIPCIVVSMLTKSFYFFFK-	282
	: * * * * . : : * * : * * : * * * * : *	

ภาพที่ 22 (ต่อ)



**ภาพที่ 23** การจัดกลุ่มของยีน Caspases ในปลา โดยแบ่งตามลักษณะของ Prodomain โดยที่ As คือ Atlantic, Bh คือ Bastard halibut, Cc คือ Channel catfish, Me คือ Medaka และ Zf คือ Zebrafish

**ที่มา:** Takle and Andersen (2007)



ภาพที่ 24 โครงสร้างโมเลกุลอย่างง่ายของยีน Caspase-3 ในปลานิล (Nile tilapia) (a) ในรูป Inactive (b) ในรูป Active

ที่มา: ดัดแปลงจาก Walters (2009)

ตารางที่ 6 การเปรียบเทียบความเหมือนและความคล้ายคลึงกันของลำดับนิวคลีโอไทด์และลำดับกรดอะมิโนของยีน Caspase-3 ในป岚านิลกับสิ่งมีชีวิตต่าง ๆ

Common names	Putative genes	Scientific name	Amino acid		Nucleotide Identity (%)	Accession number
			Identity (%)	Similarity (%)		
<b>Mammals</b>						
Human	Caspase-3	<i>Homo sapiens</i>	57.0	71.3	62.5	BC016926
Chimpanzee	Caspase-3	<i>Pan troglodytes</i>	57.0	71.3	62.4	AY665274
Bolivian squirrel monkey	Caspase-3	<i>Saimiri boliviensis</i>	56.6	71.3	62.0	AY665229
Chinese hamster	Caspase-3	<i>Cricetulus griseus</i>	56.6	69.9	62.1	FJ940732
Pig	Caspase-3	<i>Sus scrofa</i>	55.9	70.6	59.0	AB029345
Norway rat	Caspase-3	<i>Rattus norvegicus</i>	57.3	69.9	62.4	BC081854
House mouse	Caspase-3	<i>Mus musculus</i>	56.3	69.5	60.1	BC038825
Dog	Caspase-3	<i>Canis lupus familiaris</i>	56.3	69.1	61.8	AB085580
Domestic cat	Caspase-3	<i>Felis catus</i>	57.0	69.5	60.4	AB090246
Cattle	Caspase-3	<i>Bos taurus</i>	54.5	70.6	59.9	BC123503
Gray short-tailed opossum	Caspase-3-like protein 1	<i>Monodelphis domestica</i>	54.2	71.6	60.5	DQ296557
African clawed frog	XCPP32	<i>Xenopus laevis</i>	51.7	68.4	59.6	D89784
Rabbit	Cysteine protease CPP32	<i>Oryctolagus cuniculus</i>	56.3	71.3	60.6	AF506008

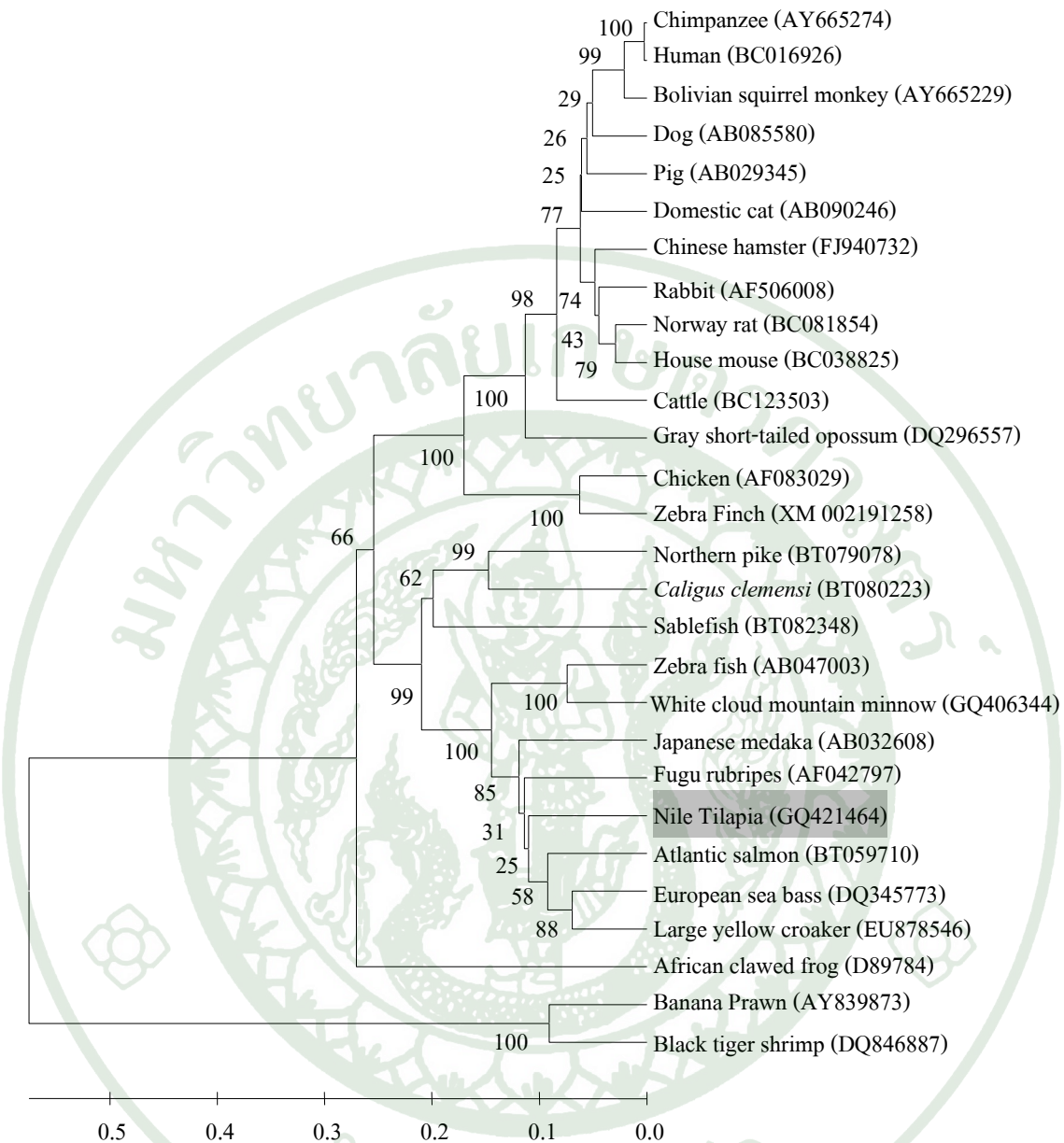
ตารางที่ 6 (ต่อ)

Common names	Putative genes	Scientific name	Amino acid		Nucleotide Identity (%)	Accession number
			Identity (%)	Similarity (%)		
<b>Avian</b>						
Chicken	Caspase-3	<i>Gallus gallus</i>	55.9	72.4	38.6	AF083029
Zebra Finch	Caspase-3	<i>Taeniopygia guttata</i>	57.6	74.5	62.7	XM_002191258
<b>Fish</b>						
Zebra fish	Caspase-3	<i>Danio rerio</i>	71.1	83.3	70.0	AB047003
European sea bass	Caspase-3	<i>Dicentrarchus labrax</i>	79.9	87.2	81.7	DQ345773
White cloud mountain minnow	Caspase-3	<i>Tanichthys albonubes</i>	70.7	84.4	69.5	GQ406344
Japanese medaka	Caspase-3B	<i>Oryzias latipes</i>	75.9	84.4	58.0	AB032608
Atlantic salmon	Caspase-3 precursor	<i>Salmo salar</i>	75.7	83.1	75.6	BT059710
Puffer fish	Caspase-3	<i>Takifugu rubripes</i>	76.4	85.8	76.6	AF042797
Large yellow croaker	Caspase-3	<i>Larimichthys crocea</i>	79.3	86.3	81.2	EU878546
Northern pike	Caspase-3 precursor	<i>Esox lucius</i>	58.9	76.6	66.5	BT079078
Sablefish	Caspase-3 precursor	<i>Anoplopoma fimbria</i>	57.9	71.6	63.7	BT082348

ตารางที่ 6 (ต่อ)

Common names	Putative genes	Scientific name	Amino acid		Nucleotide Identity (%)	Accession number
			Identity (%)	Similarity (%)		
<b>Invertebrate</b>						
Fish lice	Caspase-3 precursor	<i>Caligus clemensi</i>	58.4	78.0	63.2	BT080223

จากการศึกษาความสัมพันธ์เชิงวิวัฒนาการ โดยการสร้าง Phylogenetic tree ตามวิธีของ UPGMA เพื่อศึกษาถึงความสัมพันธ์เชิงวิวัฒนาการของยีน Caspase-3 ในปลาani กับสิ่งมีชีวิตต่างๆ รวมทั้งสิ้น 27 ชนิด พบร่วมกันถึงความสัมพันธ์ดังกล่าวออกเป็น 2 กลุ่มใหญ่ โดยกลุ่มแรกคือ กลุ่มของยีน Caspase-3 ของสัตว์มีกระดูกสันหลัง (Vertebrate) ชั้นสูง ที่ประกอบไปด้วยสิ่งมีชีวิต ส่องกลุ่มย่อย คือกลุ่มของสัตว์เลี้ยงลูกด้วยนม (Mammals) และกลุ่มของสัตว์ปีก (Avians) กับกลุ่ม ที่ส่องคือกลุ่มของยีน Caspase-3 ของปลาทั้งหมดรวมอยู่กับ Fish lice (*Caligus clemensi*) ซึ่งเป็น Invertebrate ที่แยกตัวรวมกันเป็นกลุ่มย่อยกับปลา Northen pike กับ Sable Fish ขณะที่ Casp3-TL ของปลา尼ลูฟจัดอยู่ในกลุ่มย่อยของยีน Caspase-3 โดยมีความสัมพันธ์ใกล้ชิดกับ Japanese medaka, Puffer fish, Large yellow croaker, European sea bass, Atlantic salmon, Zebra fish และ White cloud mountain minnow ตามลำดับ (ภาพที่ 25) ขณะที่ยีน Caspase-3 ของ African clawed frog ซึ่งอยู่ในกลุ่มของสัตว์ครึ่งบกครึ่งน้ำ (Amphibian) กลับปรากฏว่าไม่มีความสัมพันธ์กับยีน Caspase-3 ของสิ่งมีชีวิตทั้งสองกลุ่มเลย นอกจากนี้ ยีน Caspases ของ Banana prawn และ Black tiger shrimp ซึ่งใช้เป็น Control out group จะพบว่าแยกออกจากกลุ่มของยีน Caspase-3 จาก สิ่งมีชีวิตทั้งสองกลุ่มอย่างชัดเจน



ภาพที่ 25 ความสัมพันธ์ในเชิงวิทยาการระหว่างลำดับกรดอะมิโนของยีน Caspase-3 ในปลา尼 กับยีน Caspase-3 ของสิ่งมีชีวิตต่าง ๆ ที่ได้รายงานไว้ใน GenBank database ด้านหลังชื่อ สามัญของสิ่งมีชีวิตแสดงถึงหมายเลข Accession number

ในส่วนของลำดับนิวคลีโอไทด์ที่สมบูรณ์ของ cDNA ของยีน Granzyme ในปลา尼ล (Granz-TL) นั้น เมื่อทำการเปรียบเทียบความคล้ายคลึงกันของลำดับนิวคลีโอไทด์และลำดับกรดอะมิโนของยีน Granz-TL ในปลา尼ล กับยีน Granzyme ชนิดต่าง ๆ จากสิ่งมีชีวิตที่มีการบันทึกไว้ใน GenBank database ดังนี้คือ House mouse granzyme M (*Mus musculus*); AB015728, House mouse granzyme K (*Mus musculus*); AB032200, House mouse granzyme N (*Mus musculus*); AB049454, Bastard halibut granzyme II (*Paralichthys olivaceus*); AB191194, Bastard halibut granzyme I-1 (*Paralichthys olivaceus*); AB191196, Bastard halibut granzyme III-1 (*Paralichthys olivaceus*); AB191198, Platypus granzyme (*Ornithorhynchus anatinus*); AF275653, Chicken granzyme A precursor (*Gallus gallus*); AJ544060, Horse granzyme B (*Equus caballus*); AM183299, Channel catfish granzyme (*Ictalurus punctatus*); AY286012, Nile tilapia granzyme-1 (*Oreochromis niloticus*); AY918866, Channel catfish granzyme-like I (*Ictalurus punctatus*); AY942183, Channel catfish granzyme-like III (*Ictalurus punctatus*); AY942184, Norway rat granzyme A (*Rattus norvegicus*); B082125, House mouse granzyme B (*Mus musculus*); BC002085, Human granzyme K (*Homo sapiens*); BC035802, House mouse granzyme C (*Mus musculus*); BC120757, Norway rat granzyme B (*Rattus norvegicus*); BC127475, Northern pike granzyme A precursor (*Esox lucius*); BT079306, Pig-tailed macaque granzyme K (*Macaca nemestrina*); EU526083, Pig granzyme H (*Sus scrofa*); FJ439673, House mouse granzyme G (*Mus musculus*); J02872, House mouse granzyme D (*Mus musculus*); J03255, House mouse granzyme F (*Mus musculus*); J03257, Cattle granzyme A (*Bos taurus*); NM\_001099095, Atlantic salmon granzyme A (*Salmo salar*); NM\_001141037 และ Norway rat granzyme-like protein III (*Rattus norvegicus*); X76996 ตามลำดับ แล้วจึงเริ่มทำการเปรียบเทียบความคล้ายคลึงของลำดับกรดอะมิโน โดยการนำมายิเคราะห์ Multiple sequence alignment ด้วยโปรแกรม Clustal W (<http://www.ebi.ac.uk/Tools/clustalw2/index.html>) และโปรแกรม MatGat 2.01 (<http://bitincka.com/ledion/matgat>) แล้วจึงทำการศึกษาความสัมพันธ์เชิงวิถีทางการของยีน Granzyme โดยการสร้าง Phylogenetic tree ด้วยโปรแกรม MEGA 3 version 3.1 ตามวิธีของ UPGMA โดยใช้ค่า Bootstrap ที่ 1,000 Replicates

จากการเปรียบเทียบความคล้ายคลึงกันของลำดับกรดอะมิโนของยีน Granz-TL ในปลา尼ลกับลำดับกรดอะมิโนของสิ่งมีชีวิตชนิดต่าง ๆ ที่ได้จากการทำ Multiple sequence alignment ด้วยโปรแกรม Clustal W พบว่าคุณลักษณะของลำดับกรดอะมิโนของยีน Granz-TL ในปลา尼ล พบว่ามีความยาวของลำดับกรดอะมิโนเท่ากับ 256 Residues ซึ่งพบว่าลักษณะลำดับกรดอะมิโนนั้น

คล้ายคลึงกับยีน Granzyme ในกลุ่มของปลา Bastard halibut ได้แก่ยีน Granzyme-I, ยีน Granzyme II และยีน Granzyme III-1 ตามลำดับ และพบว่าความยาวลำดับกรดอะมิโนของยีน Granzyme ที่จัดอยู่ในกลุ่มปลาชนิดอื่น ๆ มีจำนวนกรดอะมิโนอยู่ในช่วง 254-263 Residues และมีจำนวนลำดับกรดอะมิโนใกล้เคียงกับยีน Granzyme ของกลุ่มสัตว์เลี้ยงลูกด้วยนมคือพบว่าอยู่ในช่วง 239-264 Residues และในกลุ่มของ Avian ความยาวของลำดับกรดอะมิโนของยีน Granzyme A ใน Chicken มีค่าเท่ากับ 260 Residues เมื่อทำการพิจารณาถึงลักษณะโครงสร้างไม่เลกุล โปรตีนของยีน Granz-TL ในปานิลพบว่าประกอบไปด้วย 2 ส่วนหลัก ๆ ดังนี้คือส่วนของ Prodomain หรือ (Proprotein) ทางด้านปลาย N-terminal ที่มีความยาวของลำดับกรดอะมิโนทั้งสิ้น 19 Residues และส่วนของ Domain หรือ Catalytic domain (Mature protein) จะเริ่มต้นตั้งแต่ +1 โดยจะมีกรดอะมิโนเริ่มต้นเป็น Isoleucine-Isoleucine-Xaa-Glycine (Ilu-Ilu-X-Gly หรือ IIXG) conserve sequence และตำแหน่งของลำดับกรดอะมิโน Proline-Histidine-Serine-Arginine-Proline-Tyrosine-Methionine-Alanine (Pro-His-Ser-Arg-Pro-Tyr-Met-Ala หรือ PHSRPYMA) motif ซึ่งทั้งสอง Motif นี้สามารถพบได้ทั่วไปในยีนกลุ่ม Serine protease ที่มีการแสดงออกใน Hemopoietic tissues ของสัตว์มีกระดูกสันหลังโดยทั่วไป (Praveen *et al.*, 2006a, Hwang *et al.*, 2007) จากการศึกษา Granz-TL ในครั้นี้สามารถพบกรดอะมิโน Cysteine (Cys หรือ C) ถึง 11 ตำแหน่ง โดยอยู่ในบริเวณ Mature protein ถึง 10 ตำแหน่ง และพบว่ากรดอะมิโน Cysteine เหล่านี้อยู่ในตำแหน่งที่คล้ายคลึง (Conserved) กับยีน Granzyme ของสั่งมีชีวิตอื่นถึง 6 ตำแหน่ง และยังมีความสำคัญที่ใช้ในการสร้างพันธะ Disulfide ได้ทั้งหมด 3 คู่ คือ C<sub>52</sub>-C<sub>68</sub>, C<sub>144</sub>-C<sub>214</sub> และ C<sub>174</sub>-C<sub>192</sub> ตามลำดับ นอกจากนี้เป็นที่น่าสนใจเป็นอย่างยิ่งว่าผลจากการวิเคราะห์โครงสร้างของยีน Granz-TL ในปานิล โดยใช้โปรแกรม PROSITE predictions สามารถพันธะ Disulfide ซึ่งเกิดจากกรดอะมิโน Cysteine อีก 1 คู่ คือที่ตำแหน่ง C<sub>204</sub>-C<sub>228</sub> ซึ่งตำแหน่งของ Cysteine ทั้งสองนี้จะ Conserved เฉพาะกับยีน Granzyme ของสั่งมีชีวิตในกลุ่มของปลาและ Granzyme M ของ House mouse เท่านั้น (Taniguchi *et al.*, 1999) (ภาพที่ 26)

และเมื่อพิจารณาโครงสร้างโปรตีน Granz-TL ของปานิล ตามรายงานก่อนหน้านี้ ยังพบลำดับกรดอะมิโนที่ทำหน้าที่เป็นบริเวณเร่ง (Active site) ซึ่งจะเป็นบริเวณที่ทำให้เกิดการม้วนพับของสาย Polypeptide พบว่าโครงสร้างโปรตีนของยีน Granz-TL ในปานิล จะมีบริเวณ Active site 3 ตำแหน่ง เช่นเดียวกับที่พบในสั่งมีชีวิตชนิดอื่น ๆ (Pilat *et al.*, 1994; Rotonda and Calvo, 2001) ซึ่งให้ผลต่างไปจากการทำงานโดยการใช้โปรแกรม PROSITE predictions ที่แสดงตำแหน่งของ Active site เพียง 2 ตำแหน่งเท่านั้น โดยในบริเวณ Active site ที่ 1 จะมีกรดอะมิโน Histidine (His) ตำแหน่ง Active site ที่ 2 จะมีกรดอะมิโน Aspartate (Asp) และตำแหน่ง Active site ที่ 3 จะมี

กรดอะมิโน Serine (Ser) ( $H_{67}\text{-D}_{110}\text{-S}_{208}$ ) ซึ่งจะเป็นลำดับกรดอะมิโนที่เป็นป้าหมายที่ใช้ในการแสดงลักษณะและทำหน้าที่ของยีนในกลุ่ม Serine protease ที่เรียกว่า Catalytic triads (Chowdhury and Lieberman, 2008) โดยพบว่าตำแหน่ง Active site ที่ 1, 2 และ 3 มีความขาวของลำดับกรดอะมิโนเท่ากับ 21 ( $N_{54}\text{SWCGGTLIHPQWVLAAHCT}_{74}$ ), 12 ( $D_{110}\text{LMLLKLKEPV R}_{121}$ ) และ 14 ( $D_{202}\text{TCQGDGGPLLC}_{215}$ ) Residues ตามลำดับ (ภาพที่ 26)

ผลการศึกษาการเปรียบเทียบความเหมือนและความคล้ายคลึงของลำดับนิวคลีโอไทด์ และลำดับกรดอะมิโนของยีน Granz-TL ในปลา尼ลกับยีน Granzyme ชนิดต่าง ๆ ของสิ่งมีชีวิตจำนวนทั้งหมด 27 ชนิด ด้วยโปรแกรม MatGat 2.01 พบว่า ยีน Granz-TL ในปลา尼ลมีค่าความเหมือนกันของลำดับกรดอะมิโน (Amino acid identity) กับยีน Granzyme I-1 ของปลา Bastard halibut มากที่สุด ซึ่งมีค่าเท่ากับ 55.6% รองลงมาคือ ยีน Granzyme III-1 ของปลา Bastard halibut (55.3%), ยีน Granzyme II ของปลา Bastard halibut (53.1%), ยีน Granzyme A ของปลา Atlantic salmon (49.6%), ยีน Granzyme A precursor ของปลา Northern pike (47.7%), ยีน Granzyme ของปลา Channel catfish (40.7%), ยีน Granzyme-1 ของปลา Nile tilapia (35.9%), ยีน Granzyme-like III ของปลา Channel catfish (35.3%) และมีค่าต่ำสุดเท่ากับ 31.5% กับยีน Granzyme-like I ในปลา Channel catfish ตามลำดับ และเมื่อทำการเปรียบเทียบความเหมือนกันของลำดับกรดอะมิโนของยีน Granzyme กับสิ่งมีชีวิตในกลุ่มที่เป็นสัตว์เลี้ยงลูกด้วยนม (Mammals) พบว่า มีค่าอยู่ในช่วง 31.6-42.2% และมีค่าเท่ากับ 42.9% เมื่อเปรียบเทียบกับสิ่งมีชีวิตในกลุ่มของสัตว์ปีก (Avian) ซึ่งมีเพียงชนิดเดียว นั่นคือ ยีน Granzyme A ในไก่ (Chicken) และเมื่อเปรียบเทียบความคล้ายคลึงของลำดับกรดอะมิโน (Amino acid similarity) ของยีน Granz-TL ในปลา尼ล กับยีน Granzyme ของสิ่งมีชีวิตในกลุ่มปลา (Fish) พบว่า มีค่าอยู่ในช่วง 50.8-70.5% ซึ่งมีค่าความคล้ายคลึงสูงสุดกับกลุ่มยีน Granzyme III-1 ในปลา Bastard halibut (70.5%), Granzyme I-1 ในปลา Bastard halibut (70.0%) และยีน Granzyme II ในปลา Bastard halibut (69.3%) ตามลำดับ และเมื่อทำการเปรียบเทียบค่าความคล้ายคลึงของลำดับกรดอะมิโนของยีน Granzyme ในปลา尼ล กับสิ่งมีชีวิตในกลุ่มที่เป็นสัตว์เลี้ยงลูกด้วยนม (Mammals) และสิ่งมีชีวิตในกลุ่มสัตว์ปีก (Avian) พบว่า มีค่าอยู่ในช่วง 46.7-60.2% และมีค่าเท่ากับ 61.5% ตามลำดับ นอกจากนี้ ผลจากการศึกษาค่าความเหมือนกันของลำดับนิวคลีโอไทด์ (Nucleotide identity) พบว่า มีค่าอยู่ในช่วง 52.4-68.8% ในสิ่งมีชีวิตในกลุ่มของปลา (Fish) โดยมีค่าความเหมือนกันของลำดับนิวคลีโอไทด์สูงสุดกับยีน Granzyme II ในปลา Bastard halibut (68.8%) เช่นเดียวกัน และเมื่อทำการเปรียบเทียบความเหมือนกันของลำดับนิวคลีโอไทด์ กับสิ่งมีชีวิตในกลุ่มของสัตว์เลี้ยงลูกด้วยนม (Mammals) พบว่า มีค่าอยู่ในช่วง 50.9-55.1% และมีค่าเท่ากับ 56.1% ในยีน Granzyme A ในไก่ ตามลำดับ โดยพบว่า ค่าที่ได้คล้ายคลึงและเป็นไปใน

ทำงานองเดียวกันกับค่าความเหมือนและค่าความคล้ายคลึงกันของลำดับกรดอะมิโนของยีน Granz-TL ในปแลนิล กับสิ่งมีชีวิตชนิดต่าง ๆ ดังที่กล่าวมาแล้วข้างต้น (ตารางที่ 7)





ภาพที่ 26 การเปรียบเทียบลำดับกรดอะมิโนของยีน Granzyme ของปลา尼ลกับลำดับกรดอะมิโนของยีน Granzyme ของสัตว์มีชีวิตต่าง ๆ โดยที่สัญลักษณ์ (\*) แสดงตำแหน่งของกรดอะมิโนที่มีความเหมือนกัน (:) แสดงตำแหน่งของกรดอะมิโนที่มีความคล้ายคลึงกันสูง (.) แสดงตำแหน่งของกรดอะมิโนที่มีความคล้ายคลึงกันต่ำ และสัญลักษณ์ (▼) แสดงตำแหน่งของ Catalytic triad

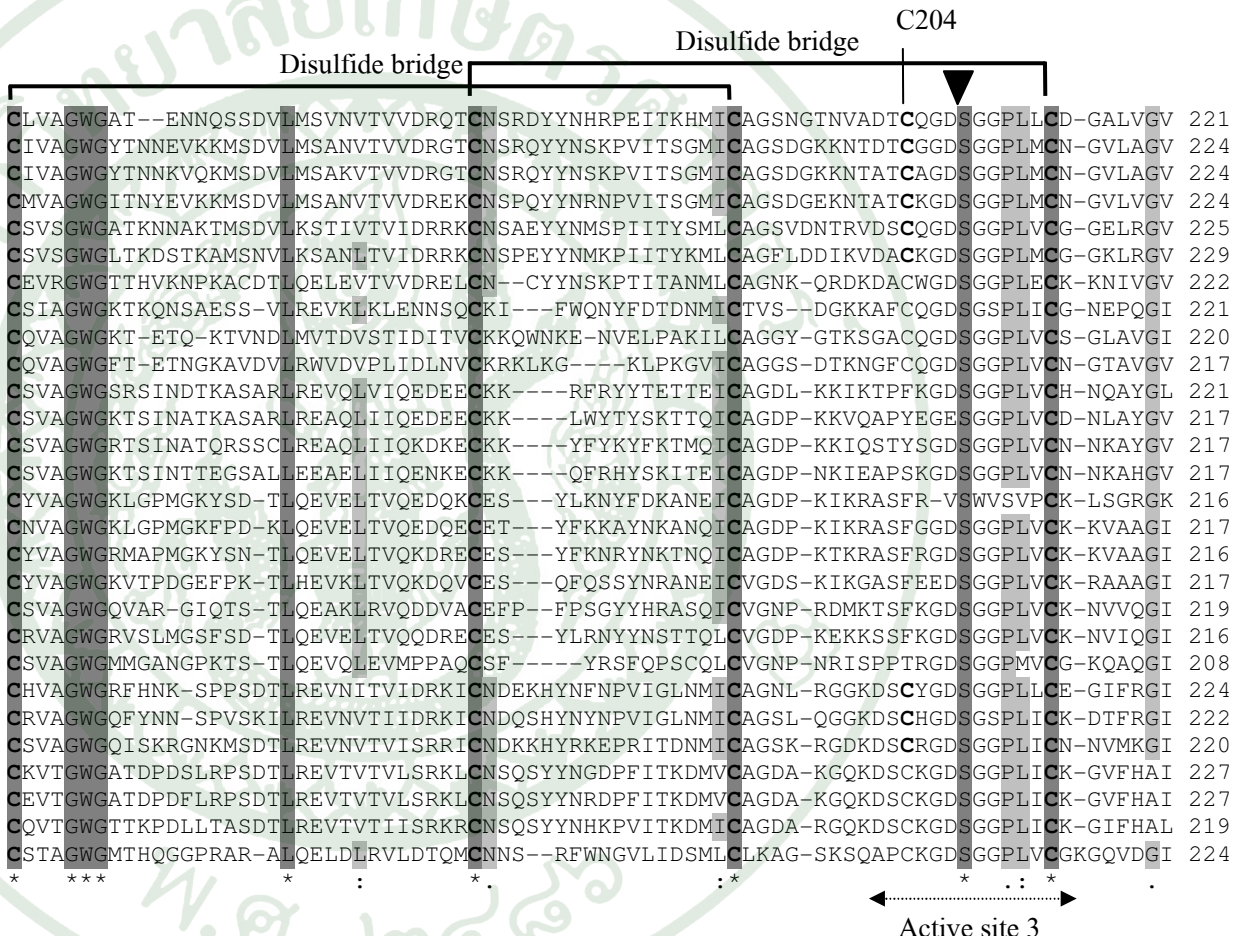
Nile tilapia Granzyme  
 Bastard halibut Granzyme I-1  
 Bastard halibut Granzyme II  
 Bastard halibut Granzyme III-1  
 Atlantic salmon Granzyme A  
 Northern pike Granzyme A precursor  
 Channel catfish Granzyme  
 Channel catfish Granzyme-like III  
 Channel catfish Granzyme-like I  
 Nile tilapia Granzyme-1  
 House mouse Granzyme D  
 House mouse Granzyme G  
 House mouse Granzyme F  
 House mouse Granzyme N  
 Norway rat Granzyme-like protein III  
 Norway rat Granzyme B  
 House mouse Granzyme B  
 House mouse Granzyme C  
 Pig Granzyme H  
 Horse Granzyme B  
 Platypus Granzyme  
 Norway rat Granzyme A  
 Cattle Granzyme A  
 Chicken Granzyme A precursor  
 Human Granzyme K  
 Pig-tailed macaque Granzyme K  
 House mouse Granzyme K  
 House mouse Granzyme M

---GSYWVILGAHSRTKNE-SSKHQRVVEKSFPHPDYCCAKID-NDIMLLKL-KEPVRKTRAVQWLEFGDTVRDPAAG-ST 146  
 ---GIKTVLGVHSIKAGEKNSRQLVKVEKHFAHPCYDPDEKV-NDIMLLKLKGKRSVKEKTVKCLKLGNVIKDPPAG-TS 146  
 ---GIKTVLGVHSIKADEKNSRQLIKVKHHFAHPCYDPDEM-NDIMLLKLKGKRSVKEKTVKCLKLGNVIKDPPAG-TS 146  
 ---GIKTVLGVHSIKANEKNSRQLIKVEKHFPHPDYDPDKH-NDIMLLKLKGKESVKEKTVKCLKLGNNAIKDPPAG-TS 146  
 ---DINKVFLGVHSIKQEEKETRQVRKVKGRIPHPCYDPDIKV-NDIMLLKLDDKK-VKPTKAVKPLALPVPVADVQAG-TN 148  
 ---HMKKVLLGVHAINKEEKETRQVRKVKSEVPHPCFDHNSTV-NDIMLLKLDDKK-VKLSKAVNIPPLPDSVDDVPAG-TV 152  
 LQFKPIEVLLGAHSLTKDK--NAMRVKVLCFHISPKFATTRV-HDIMLLKLQDKVQLKKNKVDVKKIPKSGKDIPAG-TK 147  
 SGKDKLEVLLGAHNINQKE-SQQQRIQVQKYILHPCYERGP-NDIMLLKLKSK-AKENKFVKVIALPKKDENLPAR-QE 150  
 -QSN-LSVVLGQTQNIDAKR-NELRRYAVKSMHIHPSYKENPRYGSIDLKFSGK-VNLNKDLKVIKISSNHKRVKPN-TK 146  
 -KNSPMEVVIGTHNLKKVN-NNKMRYSVKTCK-HPRY-DKVESGNDIMLLKLSRK-LQDKKVKPQLARKEIKAKDN-VK 145  
 S---SMTVTLGAHNITAKE-ETQQIIPVAKDIPHDPYNATIFY-SDIMLLKLESK-AKRTKAVRPLKLPRSARVKPG-DV 149  
 ---SMTVTLGAHNIAKAKE-ETQQIIPVAKAIPHPAFNRKHGT-NDIMLLKLESK-AKRTKAVRPLKLPRPNARVKPG-DV 145  
 ---SMRVLGAHNIRAKE-ETQQIIPVAKAIPHPAYDDKDNT-SDIMLLKLESK-AKRTKAVRPLKLPRPNARVKPG-HV 145  
 ----SMTVTLGAHNRLAQE-ETQQIIPVAKAIPHPAYDDKDNT-SDIMLLKLESK-AKRTKAVRPLKLPRPNARVKPG-DV 145  
 ----KINVTLGGAHNIKEQE-KMQQIIPVNVKALPHPDYNPLDHT-NDIMLLKLKSK-AKRTRDVPLKLPGPDKVNPG-DV 145  
 ----KITVTLGGAHNIKEQE-KMQQVIPVVKIIPHPAYNSKTIS-NDIMLLKLKSK-AKRTRAVPLPRLPRRNVKVPG-DV 145  
 ----IINVTLGAHNIKEQE-KTQQVIPMVKCIPHPDYNPKTFS-NDIMLLKLKSK-AKRTRAVPLNLPRRNVNVKPG-DV 144  
 ----SMTVTLGAHNIAKAKE-ETQQIIPVAKAIPHPDYNPDRS-NDIMLLKLVRN-AKRTAVRPLNLPRRNNAHVVKPG-DE 145  
 ----SINVTLGAHNICKQE-ETQQVIPVRAIKRHPDYNNEKRIS-NDIMLLQLERK-AKLTAVKTLGLPGAKARVKPG-QV 148  
 ----SFKVTLGAHDIEKQE-TTQQNFSVKAIPHPDYNPKNYS-NDIMLLKLVRN-AKLTAVVRLSLPRAKAQVRPR-QV 144  
 ----KMGVLLGAHSIAYRE-ATQORIPVAEKFSH-DYNNRTHV-NDIMLLKLAHT-ANMTKEVNVLPLPVTVVKPG-TT 138  
 -PGKXSEVILGAHSIKKE--PEQQILSVKKAYPYPCFDKHTHE-GDLQLLRLKKK-ATLNKNVAILHLPKKGDDVKPG-TR 149  
 -LNQKSQIILGAHSRNKEE-PEKQIMFVKKEFPYPCYDPDTHE-GDLKLKLNNK-ATLNKNVAILQLPKEGKDVEPG-TA 147  
 -LKG-GRVILGAHSRTKRE-EEEQVIEIAEEIRYPDYCPERKE-HDIMLLKLKSR-AKINSAVKVIPLPTSGDDILQG-TI 145  
 TKGQSPTVVLGAHSLSKNE-ASKQTEIJKKFIPFSRVTSDPQS-NDIMLVKLQTA-AKLNKHKVMLHIRSK-TSLRSG-TK 152  
 TKGQSPTVVLGAHSLSKNE-ASKQILEIJKKFIPFPRFTSDPQS-NDIMLVKLQTA-AKLNKHKVLLHVRSK-TYLRSRSG-TK 152  
 PRGHSPPTVVLGAHSLSKNE-PMKQTFEIJKKFIPFSRQLQSGSAS-HDIMLLKLRTA-AELNKNVQLLHLGSK-NYLRDG-TK 144  
 --LQNLKLVLGLHNLHDLQ-DPGLTFYIREAIKHPGYNHKYEN--DLALLKLDRR-VQPSKNVVKPLALPRKPRSKPAEGTW 150

Active site 2

ภาพที่ 26 (ต่อ)

Nile tilapia Granzyme  
 Bastard halibut Granzyme I-1  
 Bastard halibut Granzyme II  
 Bastard halibut Granzyme III-1  
 Atlantic salmon Granzyme A  
 Northern pike Granzyme A precursor  
 Channel catfish Granzyme  
 Channel catfish Granzyme-like III  
 Channel catfish Granzyme-like I  
 Nile tilapia Granzyme-1  
 House mouse Granzyme D  
 House mouse Granzyme G  
 House mouse Granzyme F  
 House mouse Granzyme N  
 Norway rat Granzyme-like protein III  
 Norway rat Granzyme B  
 House mouse Granzyme B  
 House mouse Granzyme C  
 Pig Granzyme H  
 Horse Granzyme B  
 Platypus Granzyme  
 Norway rat Granzyme A  
 Cattle Granzyme A  
 Chicken Granzyme A precursor  
 Human Granzyme K  
 Pig-tailed macaque Granzyme K  
 House mouse Granzyme K  
 House mouse Granzyme M



ภาพที่ 26 (ต่อ)

Nile tilapia Granzyme  
 Bastard halibut Granzyme I-1  
 Bastard halibut Granzyme II  
 Bastard halibut Granzyme III-1  
 Atlantic salmon Granzyme A  
 Northern pike Granzyme A precursor  
 Channel catfish Granzyme  
 Channel catfish Granzyme-like III  
 Channel catfish Granzyme-like I  
 Nile tilapia Granzyme-1  
 House mouse Granzyme D  
 House mouse Granzyme G  
 House mouse Granzyme F  
 House mouse Granzyme N  
 Norway rat Granzyme-like protein III  
 Norway rat Granzyme B  
 House mouse Granzyme B  
 House mouse Granzyme C  
 Pig Granzyme H  
 Horse Granzyme B  
 Platypus Granzyme  
 Norway rat Granzyme A  
 Cattle Granzyme A  
 Chicken Granzyme A precursor  
 Human Granzyme K  
 Pig-tailed macaque Granzyme K  
 House mouse Granzyme K  
 House mouse Granzyme M

C228

TSYG-AG-CGVITKPGIYSFISEKQLYWIKTTMKLF-----	255
TSFG-HK-CGQKEKPGVYTYLSVKQLSWIKKTMKKSDI-----	260
TSFGPKI-CGQNKNPPVFTYLSEKQLSWIKKTMKKSDI-----	261
TSFGPKI-CGQNKNPPVFTYLSEKQLSWIKETMKKSDI-----	261
VSFG-IK-CGIKTKPGVYTLLSKEHIDWINKTMKSLID-----	262
VSFG-EG-CGVTKPGVYTLLT-KYLDWIKKTMGKKH-----	263
VSGGSG--CGNPKPGVYTLLSKEHIDWINKIIKK-----	255
AAYTHPHDCLNPYPGVYMKIS-YFLPWIQVIH-----	254
VSFNLHDNCSPNVPNVYTEIS-AYADWINKVIKRDA-----	256
VSFNINGNCKYPNYPNVYTDIS-KHLSWIKNILNKQC-----	254
FAYAK---NGTISSGIFTKVV-HFLPWISWNMKLL-----	252
VSYGI---NRTITPGVFTKVV-HFLPWISTNMKLL-----	248
LTYGL---NRTIGPGVFTKVV-HYLPWISRNMKLL-----	248
LSYVK---SKKISSGVFTKVV-HFLPWISTNMKLL-----	248
GIWDL---EIQTSRDSFTPWL-FSFSLVRAGTNN-----	246
VAYGS---KNGSAPEAFTKVS-TFLSWIKETMKKS-----	248
VSYGY---KDGSPPRRAFTKVS-SFLSWIKKTMKSS-----	247
VSYGQ---TDGSAPQVFTRVL-SFVSWIKKTMKHS-----	248
FSYGK---MDGTPPGVFTKVS-HFLPWIKKTMKPL-----	251
VSYGR---NNGTPPRRAFTKVS-SFLPWIKKTMKSL-----	247
VSYGR---WAGKPPNVYTRIS-FYLPWIKEILQKN-----	239
TAFGLEGRCGDPKGPGIYTLTLLSDKHLDWIRKTAKGAV-----	261
TAFGIPGRGCGDRPGPGVYTLTLLSKKHLNWIVKTMQAV-----	259
TSFGKS-PCGDPGGPGVYTRITDKYLKIRKTIIGDLLTGF-	260
VSGGHE--CGVATKPGIYTLTLLKKYQTWIKSNLVPPHTN--	264
VSGGHE--CGVAKKPGIYTLTLLNKKYQTWIKSNLAPPHTN--	264
VSQGYK--CGIAKKPGIYTLTLLKKYQTWIKSKLAPSRAH--	256
LSFSSKT-CTDIFKPPVATAVA-PYSSWIRKVIGRWPQSLV	264

:

ภาคที่ 26 (ต่อ)

ตารางที่ 7 การเปรียบเทียบความเหมือนและความคล้ายคลึงกันของลำดับนิวคลีโอไทด์และลำดับกรดอะมิโนของยีน Granzyme ในปานิลกับสั่งเมชิตต่าง ๆ

Common names	Putative genes	Scientific name	Amino acid		Nucleotide Identity (%)	Accession number
			Identity (%)	Similarity (%)		
<b>Mammals</b>						
Human	Granzyme K	<i>Homo sapiens</i>	41.0	58.7	54.1	BC035802
Pig-tailed macaque	Granzyme	<i>Macaca nemestrina</i>	40.9	58.3	54.5	EU526083
Platypus	Granzyme	<i>Ornithorhynchus anatinus</i>	36.5	52.9	51.8	AF275653
Cattle	Granzyme A	<i>Bos taurus</i>	41.1	58.7	52.6	NM_001099095
Pig	Granzyme H	<i>Sus scrofa</i>	37.5	53.7	53.7	FJ439673
House mouse	Granzyme D	<i>Mus musculus</i>	35.7	55.3	50.8	J03255
House mouse	Granzyme F	<i>Mus musculus</i>	36.6	54.5	52.5	J03257
House mouse	Granzyme G	<i>Mus musculus</i>	35.9	55.7	52.2	J02872
House mouse	Granzyme B	<i>Mus musculus</i>	39.1	54.5	53.5	BC002085
House mouse	Granzyme M	<i>Mus musculus</i>	31.6	51.9	51.6	AB015728
House mouse	Granzyme C	<i>Mus musculus</i>	37.5	52.5	50.9	BC120757
House mouse	Granzyme N	<i>Mus musculus</i>	36.1	56.5	51.6	AB049454
House mouse	Granzyme K	<i>Mus musculus</i>	40.7	60.2	55.1	AB032200

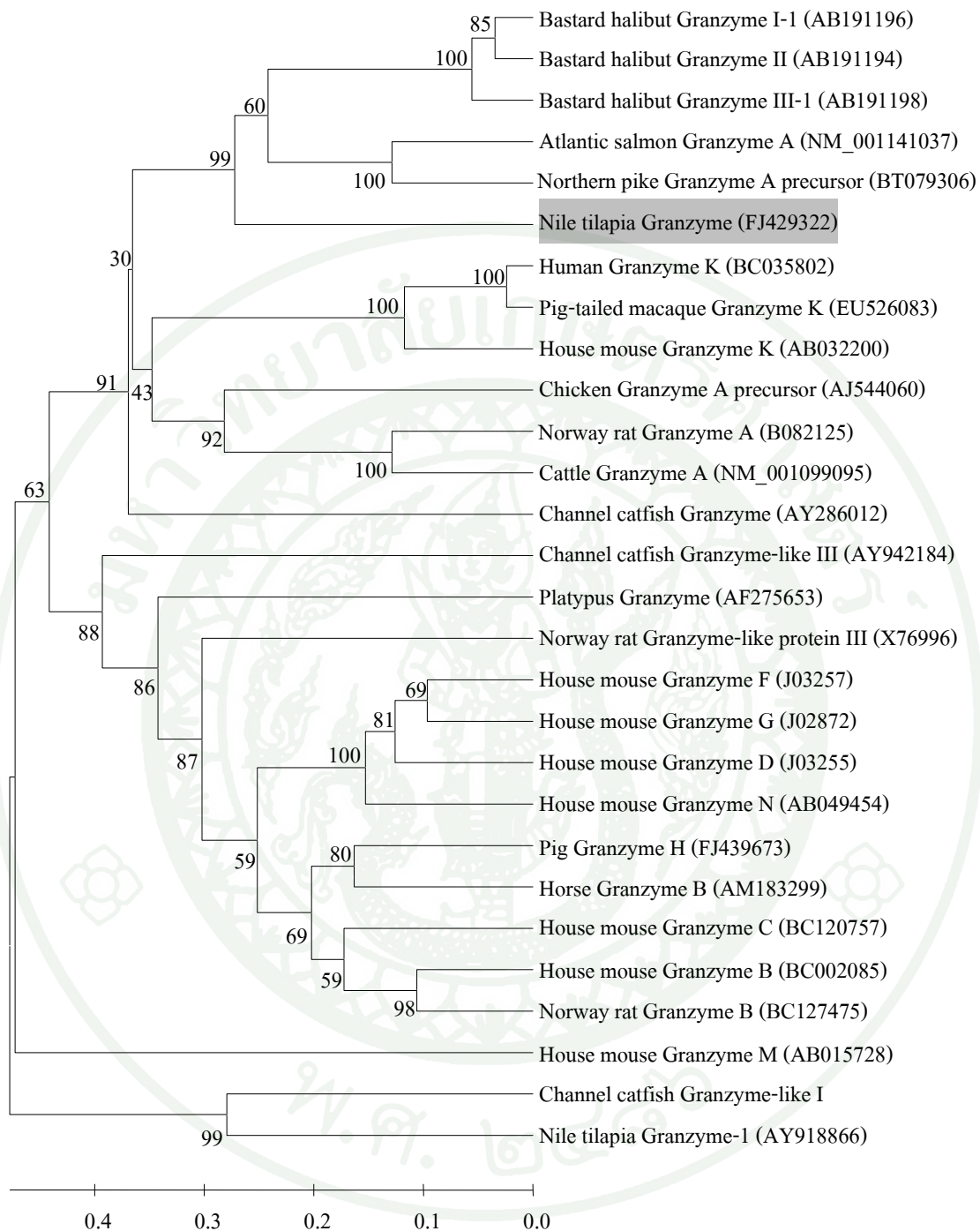
ตารางที่ 7 (ต่อ)

Common names	Putative genes	Scientific name	Amino acid		Nucleotide Identity (%)	Accession number
			Identity (%)	Similarity (%)		
<b>Mammals (Continuous)</b>						
Horse	Granzyme B	<i>Equus caballus</i>	38.4	52.5	52.2	AM183299
Norway rat	Granzyme A	<i>Rattus norvegicus</i>	42.2	57.1	52.5	B082125
Norway rat	Granzyme -like protein III	<i>Rattus norvegicus</i>	33.7	46.7	51.8	X76996
Norway rat	Granzyme B	<i>Rattus norvegicus</i>	38.8	53.7	53.0	BC127475
<b>Avian</b>						
Chicken	Granzyme A precursor	<i>Gallus gallus</i>	42.9	61.5	56.1	AJ544060
<b>Fish</b>						
Channel catfish	Granzyme	<i>Ictalurus punctatus</i>	40.7	60.4	54.9	AY286012
Channel catfish	Granzyme-like I	<i>Ictalurus punctatus</i>	31.5	50.8	52.4	AY942183
Channel catfish	Granzyme-like III	<i>Ictalurus punctatus</i>	35.3	54.1	52.9	AY942184
Bastard halibut	Granzyme I-1	<i>Paralichthys olivaceus</i>	55.6	70.0	66.7	AB191196
Bastard halibut	Granzyme II	<i>Paralichthys olivaceus</i>	53.1	69.3	66.8	AB191194
Bastard halibut	Granzyme III-1	<i>Paralichthys olivaceus</i>	55.3	70.5	68.5	AB191198

ตารางที่ 7 (ต่อ)

Common names	Putative genes	Scientific name	Amino acid		Nucleotide Identity (%)	Accession number
			Identity (%)	Similarity (%)		
<b>Fish (Continuous)</b>						
Atlantic salmon	Granzyme A	<i>Salmo salar</i>	49.6	61.5	58.8	NM_001141037
Northern pike	Granzyme A precursor	<i>Esox lucius</i>	47.7	63.5	58.2	BT079306
Nile tilapia	Granzyme-1	<i>Oreochromis niloticus</i>	35.9	54.1	52.6	AY918866

ผลจากการศึกษาความสัมพันธ์เชิงวิถุตนาการ โดยการใช้ลำดับกรดอะมิโนของยีน Granz-TL ที่ได้จากปลา尼ลกับสิ่งมีชีวิตชนิดต่าง ๆ โดยการสร้าง Phylogenetic tree ตามวิธีของ UPGMA ที่มีค่า Bootstrap เท่ากับ 1,000 ครั้ง เพื่อศึกษาถึงความสัมพันธ์เชิงวิถุตนาการของยีน Granzyme ในปลา尼ลกับสิ่งมีชีวิตชนิดต่าง ๆ รวมทั้งสิ้น 28 ชนิด ซึ่งผลจากการศึกษาหาความสัมพันธ์ของสิ่งมีชีวิตจากการสร้าง Phylogenetic tree นี้ พบว่าสามารถแบ่งความสัมพันธ์เชิงวิถุตนาการของยีน Granzyme ในสิ่งมีชีวิตออกเป็น 3 กลุ่มใหญ่ คือ กลุ่มที่ 1 เป็นกลุ่มของยีน Granzyme ซึ่งประกอบด้วย Granzyme ของสัตว์เลี้ยงลูกด้วยนม ประกอบด้วย Granzyme K ของ Human, Pig-tailed macaque และ House mouse, Granzyme A ของไก่ Norway rat และ Cattle และ Granzyme ของปลา โดยพบว่า Granz-TL ของปลา尼ลก็ถูกจัดอยู่ในกลุ่มนี้ เช่นเดียวกัน โดยมีความสัมพันธ์ใกล้ชิดกับ Granzyme I-1, II และ III-1 ของปลา Bastard halibut และ Granzyme A ของปลา Atlantic salmon และปลา Northen pike ตามลำดับ และยังมียีน Granzyme ของปลา Channel catfish อีกหนึ่งชนิดที่มีความสัมพันธ์แยกจาก Granzyme ของสิ่งมีชีวิตดังกล่าวข้างต้น ขณะที่กลุ่มที่ 2 ประกอบด้วยยีน Granzyme ของสิ่งมีชีวิตในกลุ่มสัตว์เลี้ยงลูกด้วยนม ซึ่งประกอบด้วย House mouse Granzyme B, C, D, F, G, N, Norway rat Granzyme like protein III และ Granzyme B, Pig Granzyme H และ Horse Granzyme B เป็นต้น และเป็นที่น่าสังเกตว่าในกลุ่มนี้ยังมีสมาชิกเป็นยีน Granzyme ของปลา Channel catfish (Channel catfish Granzyme-like III) ขณะที่กลุ่มที่ 3 จะประกอบด้วย Channel catfish Granzyme-like I และ Nile tilapia Granzyme-1 ที่ได้รายงานไว้ก่อนหน้านี้ (Praveen *et al.*, 2006a) (ภาพที่ 27)

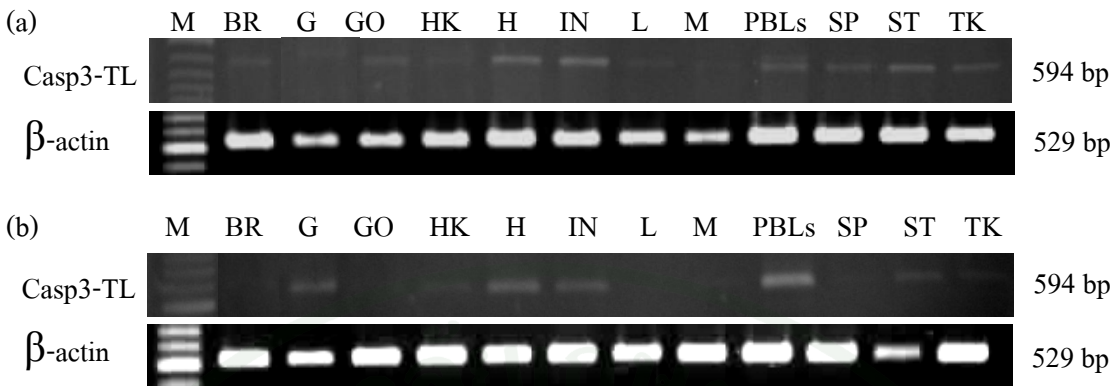


ภาพที่ 27 ความสัมพันธ์ในเชิงวิทยาการระหว่างลำดับกรดอะมิโน (Mature protein) ของยีน Granzyme ในปลา尼 กับยีน Granzyme ของสิ่งมีชีวิตต่าง ๆ ที่ได้รายงานไว้ใน Genbank database ด้านหลังชื่อสามัญของสิ่งมีชีวิตแสดงถึงหมายเลข Accession number

### 3. การศึกษาการแสดงออกของยีน Caspase-3 และ Granzyme ในปานิลที่ได้รับเชื้อ *S. agalactiae* โดยใช้เทคนิค Reverse Transcription Polymerase Chain Reaction (RT-PCR)

#### 3.1 การศึกษาการแสดงออกของยีน Caspase-3 ในปานิลปกติและปานิลภายหลังจากกระตุ้นด้วยเชื้อ *S. agalactiae* โดยใช้เทคนิค RT-PCR

ผลการศึกษาการแสดงออกของยีน Caspase-3 ในปานิลปกติ จากเนื้อเยื่อทั้งหมด 12 อวัยวะ ซึ่งได้แก่ สมอง (Brain), เหงือก (Gills), อวัยวะสร้างเซลล์สืบพันธุ์ (Gonad), ไตส่วนหน้า (Head kidney), หัวใจ (Heart), ลำไส้ (Intestine), ตับ (Liver), กล้ามเนื้อ (Muscle), เซลล์เม็ดเลือดขาวในกระแสเลือด (Peripheral blood leukocytes), ม้าม (Spleen), กระเพาะอาหาร (Stomach) และไตส่วนหลัง (Trunk kidney) ตามลำดับ โดยใช้เทคนิค RT-PCR และใช้ Specific primer ที่ออกแบบจากลำดับนิวคลีโอไทด์ของยีน Caspase-3 คือ Caspase F1 primer และ Caspase R1 primer (ตารางที่ 1) พบว่าในปานิลที่ฉีดด้วยน้ำเกลือ 0.85% มีการแสดงออกของยีน Casp3-TL อย่างเบาบางในทุก อวัยวะที่ทำการตรวจสอบแต่จะเห็นเฉพาะ PCR ขนาดประมาณ 594 bp ค่อนข้างชัดที่สมอง อวัยวะสืบพันธุ์ ไตส่วนหน้า ลำไส้ เซลล์เม็ดเลือดขาวในกระแสเลือด (PBLs) ม้าม กระเพาะอาหารและไตส่วนหลัง เท่านั้น และเมื่อนำผลที่ได้ไปเปรียบเทียบกับปานิลที่ได้รับการฉีดกระตุ้นด้วยเชื้อแบคทีเรีย *S. agalactiae* ที่ระดับความเข้มข้น  $1 \times 10^8$  CFU ต่อมิลลิลิตรพบว่าสามารถสังเกตเห็นเฉพาะ PCR ของการแสดงออกของยีน Casp3-TL แตกต่างจากปานิลที่ฉีดกระตุ้นด้วยน้ำเกลือ 0.85% เพียงเล็กน้อย โดยสามารถสังเกตเห็นเฉพาะ PCR ชุดเจนขึ้นในส่วนของ PBLs และแบบแน่นที่เบาบางในเหงือก ไตส่วนหน้า หัวใจ ลำไส้ และกระเพาะอาหารเท่านั้น ส่วนในอวัยวะอื่น ๆ นั้นไม่สามารถสังเกตพบ PCR ได้เลย (ภาพที่ 28) ส่วนการแสดงออกของยีน  $\beta$ -actin ที่ใช้เป็น Internal control นั้นสามารถพบรการแสดงออกได้ในทุก ๆ อวัยวะของปานิล ซึ่งให้seen PCR product ที่มีความหนาไกล์คือเท่ากัน โดยมีขนาดประมาณ 594 bp (ภาพที่ 28)

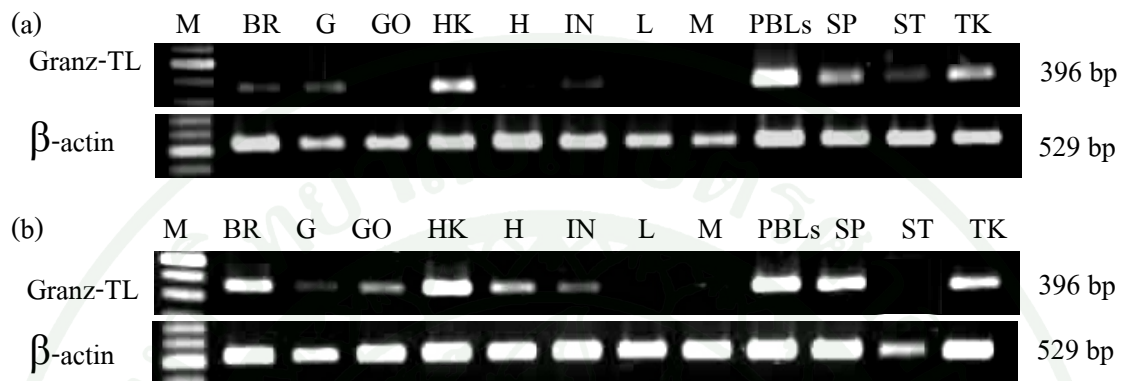


**ภาพที่ 28** การแสดงออกของยีน Caspase-3 ในปแลนิล (a) จากปแลนิลที่นิดด้วยน้ำเกลือ 0.85% (b) จากปแลนิลที่นิดด้วยเชื้อ *S. agalactiae* ที่ความเข้มข้น  $10^8$  CFU ต่อมิลลิลิตร โดยใช้เทคนิค RT-PCR ใน 12 อวัยวะ โดยที่ M; 100 bp Ladder marker, BR; Brain, G; Gill, GO; Gonad, HK; Head kidney, H; Heart, IN; Intestine, L; Liver, M; Muscle, PBLs; Peripheral blood leukocytes, SP; Spleen, ST; Stomach และ TK; Trunk kidney ตามลำดับ

### 3.2 การศึกษาการแสดงออกของยีน Granzyme ในปแลนิลปกติและปแลนิลภายหลังจากกระตุ้นด้วยเชื้อ *S. agalactiae* โดยใช้เทคนิค RT-PCR

ผลการศึกษาการแสดงออกของยีน Granzyme ในปแลนิลปกติ จากเนื้อเยื่อทั้งหมด 12 อวัยวะ ซึ่งได้แก่ สมอง (Brain), เหงือก (Gills), อวัยวะสร้างเซลล์สีบพันธุ์ (Gonad), ไตส่วนหน้า (Head kidney), หัวใจ (Heart), ลำไส้ (Intestine), ตับ (Liver), กล้ามเนื้อ (Muscle), เซลล์เม็ดเลือดขาวในกระแสเลือด (Peripheral blood leukocytes), ปอด (Spleen), กระเพาะอาหาร (Stomach) และ ไตส่วนหลัง (Trunk kidney) ตามลำดับ โดยใช้เทคนิค RT-PCR ซึ่งใช้ Specific primer ที่ออกแบบจากลำดับนิวคลีโอไทด์ของยีน Granz-TL พบร่วมในปแลนิลที่นิดด้วยน้ำเกลือ 0.85% มีการแสดงออกของยีน Granz-TL มากที่สุดใน PBLs โดยสังเกตจากความหนาของแอบ PCR ซึ่งมีขนาด 396 bp และกลุ่มของอวัยวะที่มีการแสดงออกปานกลาง ได้แก่ ไตส่วนหน้า ปอด และ ไตส่วนหลัง ขณะที่กลุ่มที่มีการแสดงออกอย่างเบาบาง ได้แก่ สมอง เหงือก ลำไส้ และกระเพาะอาหาร ส่วนอวัยวะที่ไม่มีการแสดงออกของยีน Granz-TL เลย คือ อวัยวะสร้างเซลล์สีบพันธุ์ หัวใจ ตับ และ กล้ามเนื้อ และเมื่อนำผลการทดลองที่ได้ไปเปรียบเทียบกับปแลนิลที่นิดกระตุ้นด้วยเชื้อ *S. agalactiae* ความเข้มข้น  $10^8$  CFU ต่อมิลลิลิตร พบร่วมยีน Granz-TL ในปแลนิล มีการแสดงออกเพิ่มขึ้นอย่างเห็นได้ชัดเจน ในอวัยวะดังต่อไปนี้คือสมอง อวัยวะสร้างเซลล์สีบพันธุ์ ไตส่วนหน้า หัวใจ ลำไส้ ปอด และ ไตส่วนหลัง ตามลำดับ ในขณะที่ PBLs ยังเห็นการแสดงออกอย่างหนาแน่น

เข่นเดียวกับที่พบในกลุ่มควบคุม ส่วนในกระเพาะอาหารเป็นอวัยวะเดียวที่พบว่ามีการแสดงออกน้อยลงจนแทบไม่สามารถสังเกตได้ ขณะที่ตับและกล้ามเนื้อ ยังเป็นอวัยวะที่ไม่พบการแสดงออกของยืนนี้เลย (ภาพที่ 29)



**ภาพที่ 29** การแสดงออกของยืน Granzyme ในปลา尼ล (a) จากปลา尼ลที่ฉีดด้วยน้ำเกลือ 0.85% (b) จากปลา尼ลที่ฉีดด้วยเชื้อ *S. agalactiae* ที่ความเข้มข้น  $10^8$  CFU ต่อมิลลิลิตร โดยใช้เทคนิค RT-PCR ใน 12 อวัยวะโดยที่ M; 100 bp Ladder marker, BR; Brain, G; Gill, GO; Gonad, HK; Head kidney, H; Heart, IN; Intestine, L; Liver, M; Muscle, PBLs; Peripheral blood leukocytes, SP; Spleen, ST; Stomach และ TK; Trunk kidney ตามลำดับ

#### 4. การศึกษารูปแบบการแสดงออกของยีน Caspase-3 และ Granzyme ในตัวปลา尼ล ภายหลังจาก การไดรับเชื้อ *S. agalactiae (In vivo)* โดยใช้เทคนิค Quantitative real-time PCR

เทคนิค Quantitative real-time PCR โดยทั่วไปนั้น มีความแตกต่างจากการใช้เทคนิค Polymerase chain reaction (PCR) ตรงที่ได้ทำการพัฒนาความสามารถในการตรวจหาปริมาณ PCR products ในสารละลาย โดยการใช้สารเรืองแสง (Fluorescence reporters) ชนิดต่าง ๆ และการพัฒนา เครื่อง Thermocycler ชั้นนำด้วยความสามารถเพิ่มลดอุณหภูมิตามระยะเวลาที่กำหนด มาเป็นเครื่อง Real-time thermocycler ที่มีการเพิ่มส่วนที่เป็นแหล่งกำเนิดแสงเพื่อเป็นแหล่งก่อการรวมแสงของ PCR products รวมถึงส่วนการตรวจวัดการเรืองแสงที่เกิดจาก PCR products ภายในหลอดปฏิกิริยา ดังนั้นการใช้เทคนิค Real-time PCR จึงเป็นการเพิ่มปริมาณ DNA เป้าหมาย และสามารถทำการ ตรวจวัดปริมาณ PCR products ที่เกิดขึ้นจริง ณ เวลาหนึ่ง ๆ ทำให้สามารถติดตามการเกิด PCR products ในช่วง Exponential phase ได้อย่างแม่นยำ นำไปสู่การวัดปริมาณได้ โดยมีสมการของ PCR ดังนี้

$$X_n = X_0 (1 + E)^n$$

โดย  $X_n$  คือ ปริมาณ PCR product ที่ Cycle ที่ n

$X_0$  คือ ปริมาณเริ่มต้นของ Template

E คือ Amplification efficiency

n คือ Cycle number

การใช้ Quantitative real-time PCR จะต้องเริ่มต้นโดยการเตรียม Templates ของยีนที่เรา สนใจ ในการศึกษาระบบนี้จะใช้ Plasmids ที่มี cDNA ของยีนที่ต้องการตรวจสอบและทราบความ เชื้อมขั้นที่แน่นอนแล้ว ซึ่งได้แก่ยีน Caspase-3, Granzyme และ β-actin ในปลานิลมาเป็น Templates สำหรับการหาค่าความเข้มข้นของยีนทั้ง 3 ดังกล่าว呢 ทำได้โดยการวัดความเข้มข้นของ Plasmid ด้วยเครื่อง Spectrophotometer เพื่อให้ได้ความเข้มข้นที่แน่นอน แล้วจึงนำมาคำนวณหาค่า Copy number จากโปรแกรม DNA concentration to copy number version 1.5 (<http://stanice.euweb.cz/bio/DNAtoCopy.html>) ทำการเตรียม Plasmid ให้ได้ความเข้มข้นดังต่อไปนี้ คือที่ความเข้มข้นของ Copy number เท่ากับ  $10^8$ ,  $10^7$ ,  $10^6$  และ  $10^5$  ตามลำดับ ทำการวิเคราะห์ผลโดยการใช้เครื่อง Real-time PCR (Mx3000p, Stratagene) จากโปรแกรม MxPro™ QPCR version 4.0 เพื่อทำการหา ปริมาณ Template ที่ได้จากการการตรวจจับสารเรืองแสง (Fluorescence reporters) ในการทดลองนี้

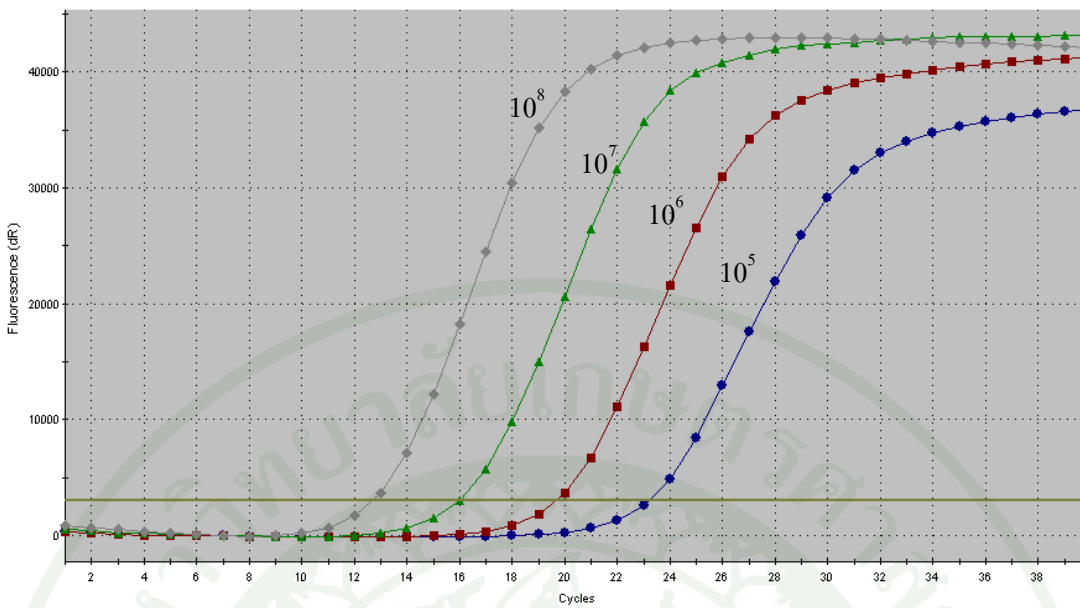
จะใช้สารเรืองแสง SYBR Green I Dye ผลที่ได้จะแสดงออกมารูปแบบของ Amplification plot ในแต่ละยีน (ภาพที่ 30-32) โดยพบว่าโปรแกรม MxPro™ QPCR version 4.0 จะแสดงผลของค่า Melting temperature ในแต่ละยีน ออกมายื่นรูปของ Dissociation curve ค่า Melting temperature ที่ได้จากแต่ละยีนนี้ จะใช้ในการพิจารณาถึงลักษณะของ PCR product ที่เกิดขึ้น ซึ่งสามารถตรวจพบได้ทันทีหลังจากการเกิด PCR เสร็จสิ้นลง โดยการตรวจขับสารเรืองแสง (Fluorescence) พบว่า DNA จาก Plasmid ของยีนแต่ละชนิด จะมี Melting temperature (Tm) เฉพาะตัว โดยค่า Tm นี้จะเป็นจุดที่คู่เบสของนิวคลีโอไทด์จะแยกตัวออกจากกันประมาณครึ่งหนึ่งของทั้งหมด การตรวจขับสารเรืองแสงจะลดลงอย่างลับลับ ณ จุดนั้น โดยอุณหภูมนี้จะขึ้นกับความยาวและปริมาณ G และ C ที่มีใน DNA เป้าหมายของยีนแต่ละชนิด ดังนั้นจึงสามารถใช้แยก PCR product ออกจาก Product อื่นที่ปนเปื้อนได้ กราฟที่ได้จะเกิด Peak สำหรับยีนแต่ละตัว PCR product ที่ถูกต้องจะแสดง Peak เดียวที่อุณหภูมิสูง (ภาพที่ 33-35) โดยทั่วไปจะสูงกว่า 80°C ในขณะที่ Non-specific product หรือ Primer-dimer จะให้ Peak ที่มีขนาดกว้างที่อุณหภูมิต่ำกว่า (อ่อนทัย, 2549)

โดยเราจะนำกราฟ Amplification plot นี้ไปทำการหาค่าความชัน (Slope) ของกราฟมาตรฐาน (Standard curve) ต่อเพื่อนำมาใช้ในการคำนวณหาค่า PCR Efficiency จากสูตร

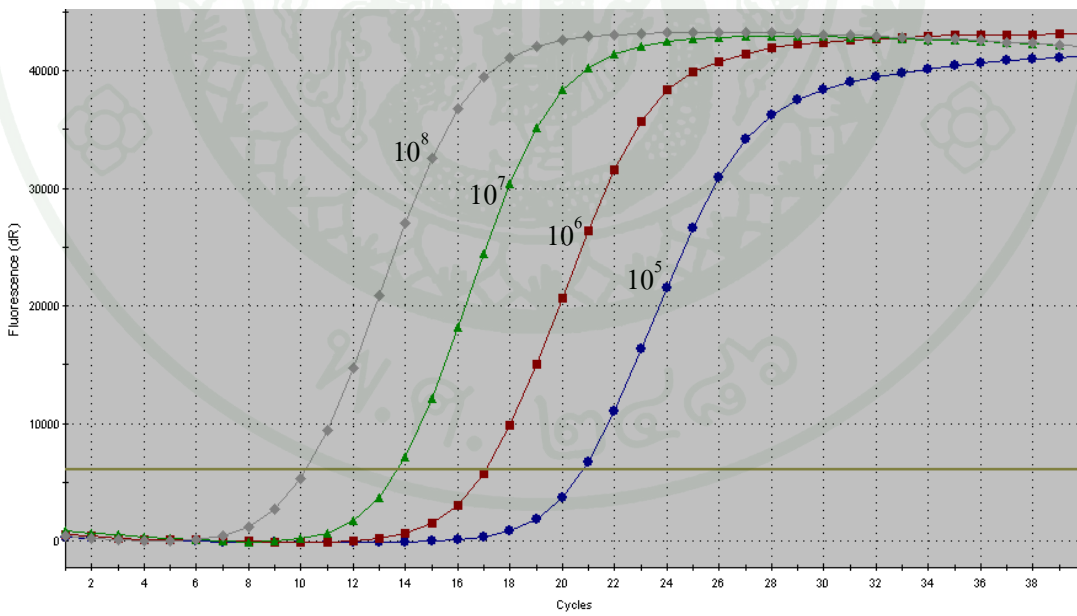
$$\text{PCR Efficiency (E)} = 10^{\frac{-1}{\text{Slope}}}$$

โดย E คือ ประสิทธิภาพของปฏิกิริยา PCR ที่สามารถเกิดขึ้นได้ Slope คือ ค่าความชันของกราฟใน Log scale ใน Exponential phase ของปฏิกิริยา

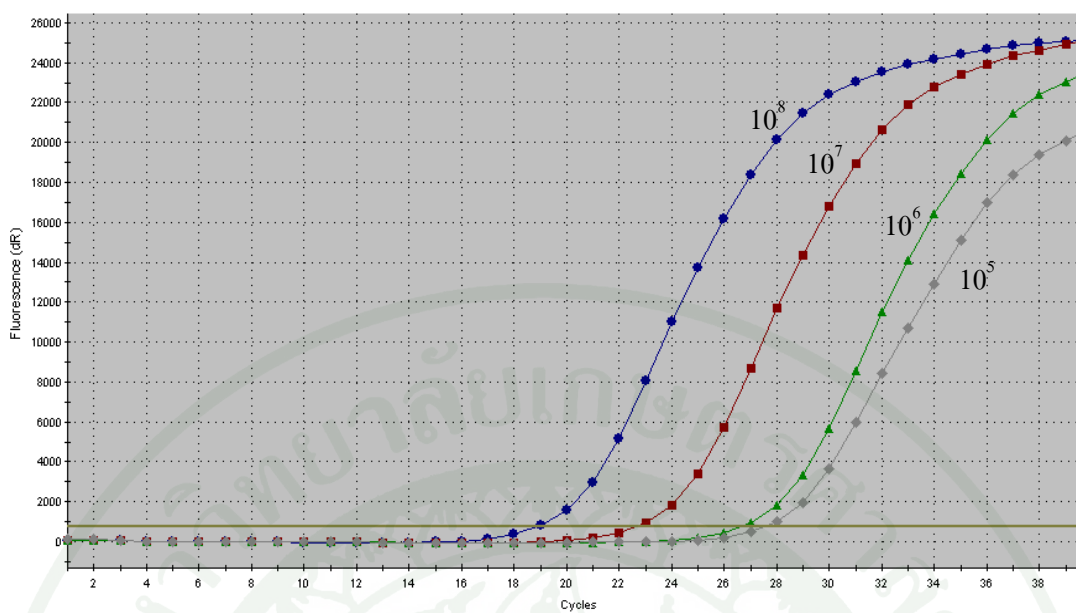
โดยทั่วไปแล้ว Efficiency ของ PCR ควรมีค่าอยู่ที่ 90-100% (Ideal slope = -3.322 ซึ่งเป็น 100% โดย Efficiency จะหมายถึงการที่ DNA เป้าหมายนั้นได้มีการเพิ่มจำนวนเป็น 2 Copy ทุกรอบ ในขณะที่หาก Slope = -3.462, Efficiency จะเท่ากับ 1.95 นั่นคือได้ 1.95 Copy/Cycle) โดยพบว่าลักษณะความผันแปรที่มีผลต่อค่า Efficiency ของ PCR สามารถเกิดขึ้นได้ เช่น ความยาวของ Amplicon, Secondary structure และการออกแบบ Primer เป็นต้น (Kubista *et al.*, 2006) โดยในการศึกษาครั้งนี้สามารถตรวจสอบค่า Efficiency ของยีนทั้ง 3 ได้จากการมาตราฐาน (ภาพที่ 36-39)



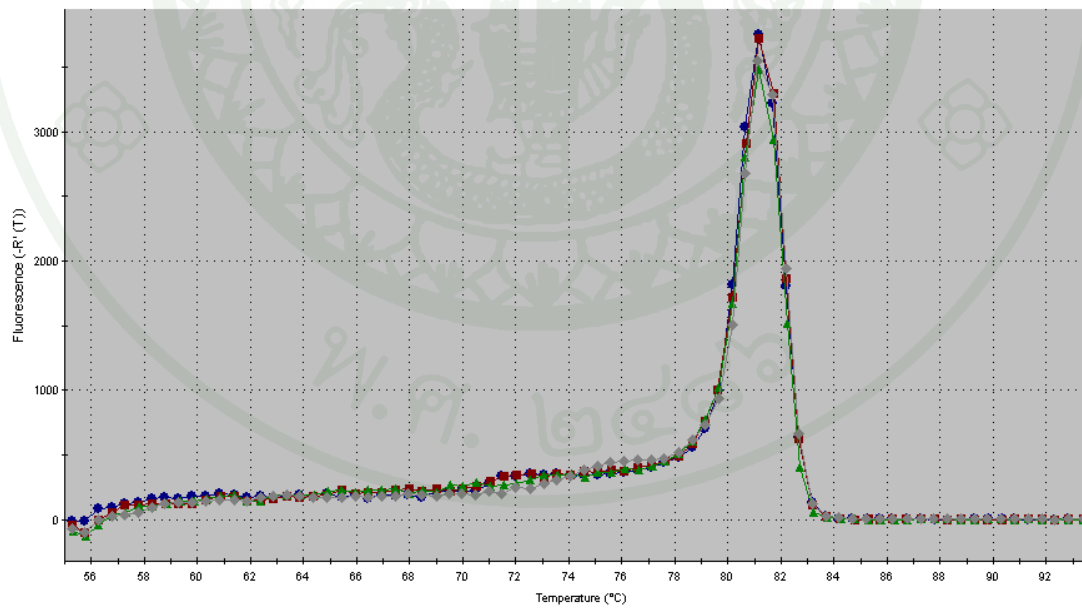
ภาพที่ 30 Amplification plot ในช่วง Exponential phase ของปฏิกิริยาจากการตรวจจับสัมัญญาณเรืองแสง (SYBR Green I Dye) ของ Plasmid ที่ทราบความเข้มข้นที่แน่นอน (Copy number เท่ากับ  $10^8$ ,  $10^7$ ,  $10^6$  และ  $10^5$ ) ของยีน Caspase-3 ในปลานิล



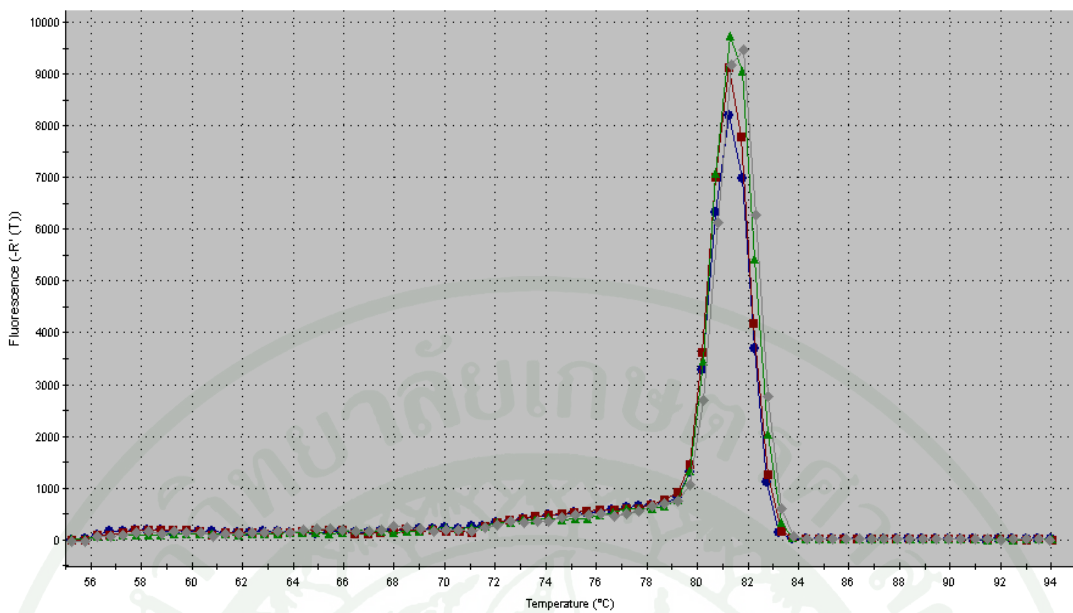
ภาพที่ 31 Amplification plot ในช่วง Exponential phase ของปฏิกิริยาจากการตรวจจับสัมัญญาณเรืองแสง (SYBR Green I Dye) ของ Plasmid ที่ทราบความเข้มข้นที่แน่นอน (Copy number เท่ากับ  $10^8$ ,  $10^7$ ,  $10^6$  และ  $10^5$ ) ของยีน Granzyme ในปลานิล



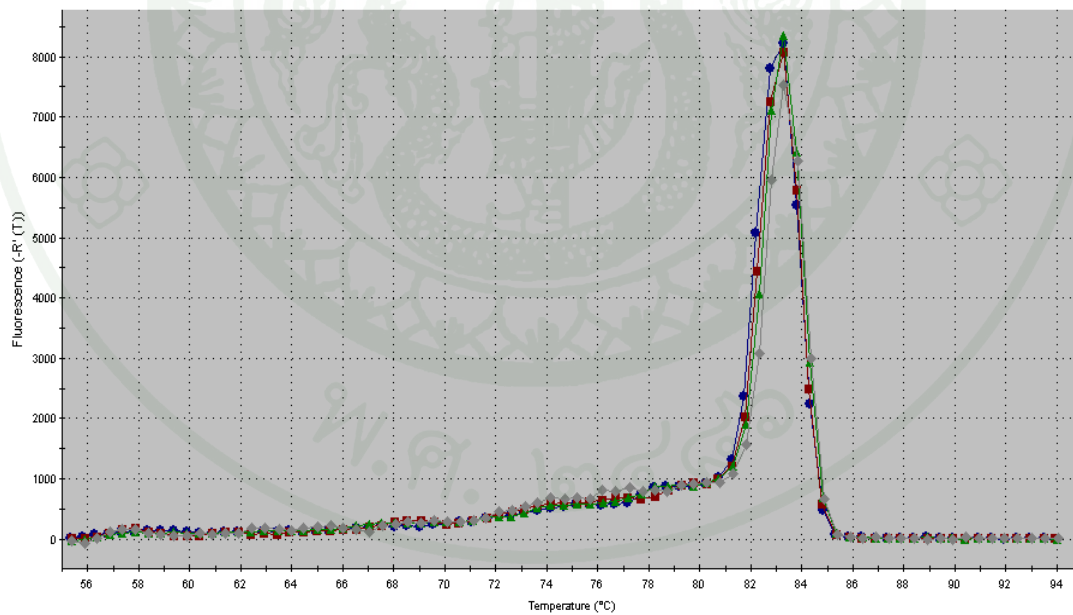
ภาพที่ 32 Amplification plot ในช่วง Exponential phase ของปั๊กิริยาจากการตรวจจับสัญญาณเรืองแสง (SYBR Green I Dye) ของ Plasmid ที่ทราบความเข้มข้นที่แน่นอน (Copy number เท่ากับ  $10^8$ ,  $10^7$ ,  $10^6$  และ  $10^5$ ) ของยีน  $\beta$ -actin ในปลาโนิด



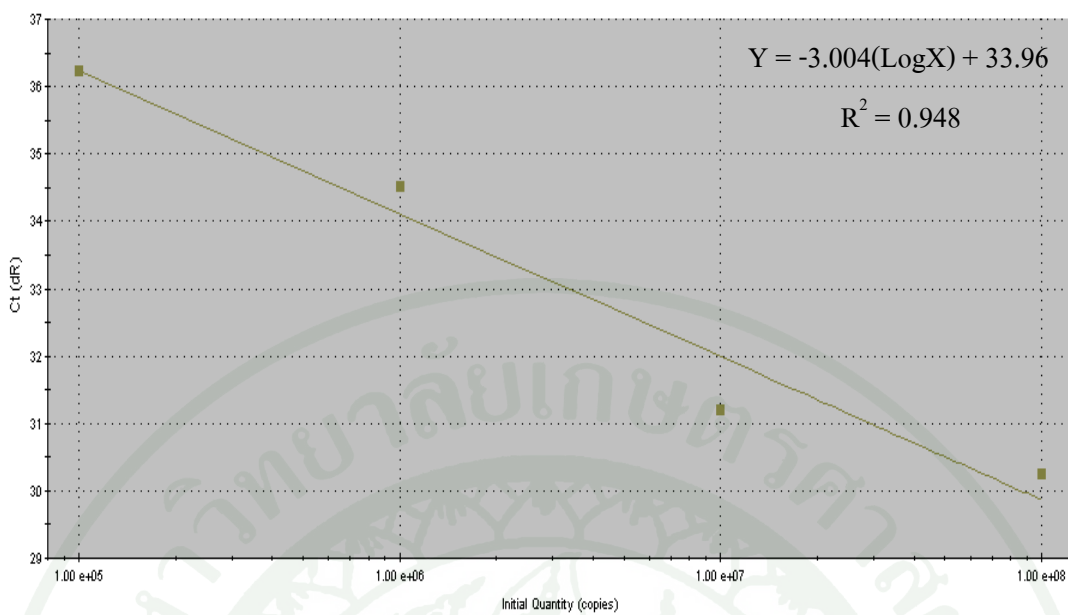
ภาพที่ 33 Dissociation curve แสดงค่า Melting temperature ของ Plasmid ที่ทราบความเข้มข้นที่แน่นอนของยีน Caspase-3 ในปลาโนิด โดยใช้เทคนิค Quantitative real-time PCR



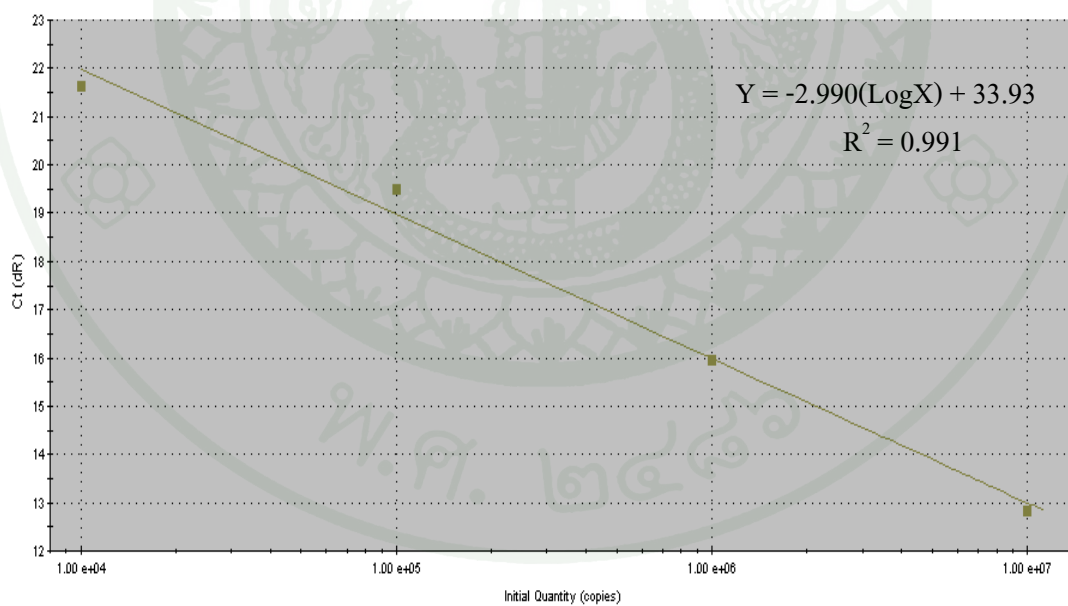
ภาพที่ 34 Dissociation curve และค่า Melting temperature ของ Plasmid ที่ทราบความเข้มข้นที่แน่นอนของยีน Granzyme ในปลานิลโดยใช้เทคนิค Quantitative real-time PCR



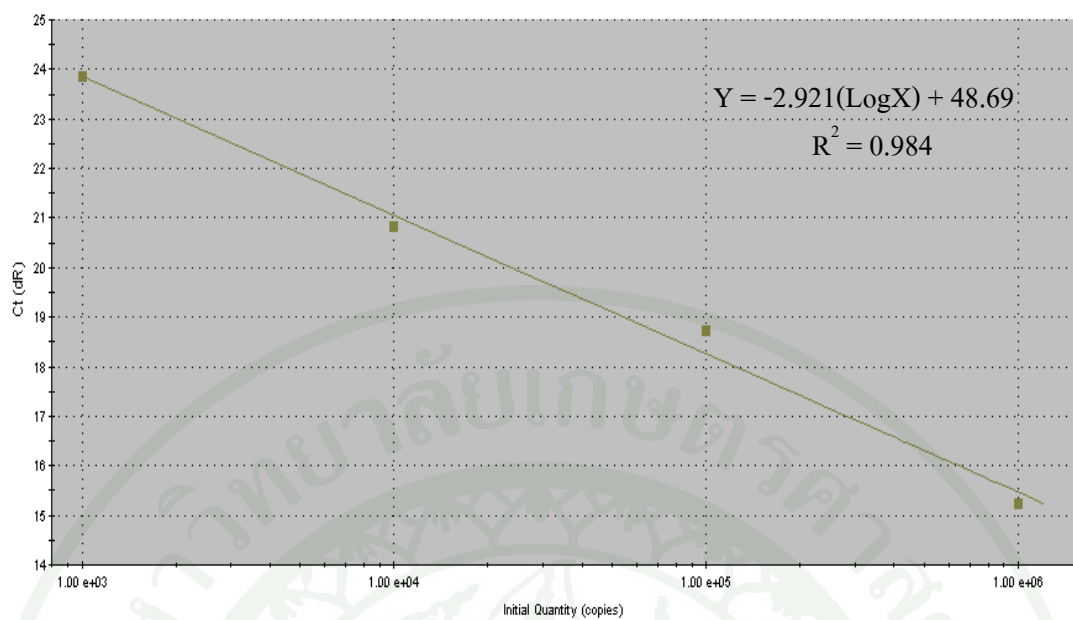
ภาพที่ 35 Dissociation curve และค่า Melting temperature ของ Plasmid ที่ทราบความเข้มข้นที่แน่นอนของยีน  $\beta$ -actin ในปลานิลโดยใช้เทคนิค Quantitative real-time PCR



ภาพที่ 36 Standard curve ที่ใช้ในการศึกษาการแสดงออกของยีน Caspase-3 ในปลาโนลโดยใช้ เทคนิค Quantitative real-time PCR



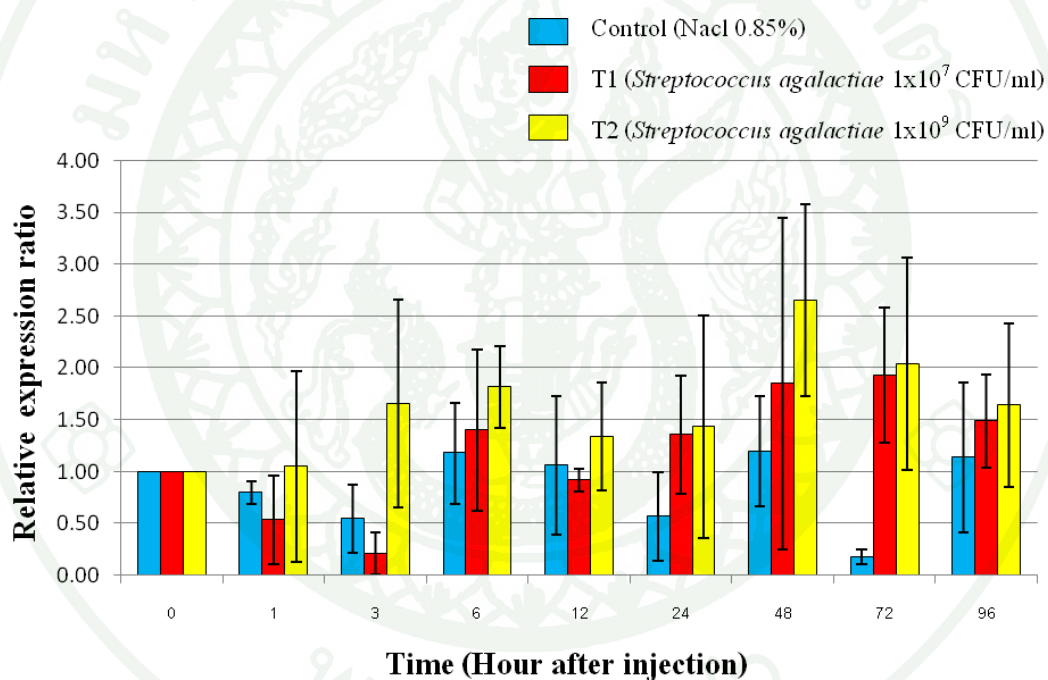
ภาพที่ 37 Standard curve ที่ใช้ในการศึกษาการแสดงออกของยีน Granzyme ในปลาโนลโดยใช้ เทคนิค Quantitative real-time PCR



ภาพที่ 38 Standard curve ที่ใช้ในการศึกษาการแสดงออกของยีน  $\beta$ -actin ในปแลนิล โดยใช้ เทคนิค Quantitative real-time PCR

#### 4.1 การศึกษาการแสดงออกของยีน Caspase-3 ในไสส่วนหน้าของปลาณิล ภายหลังจากการกระตุ้นด้วยเชื้อ *S. agalactiae* (*In vivo*) โดยใช้เทคนิค Quantitative real-time PCR

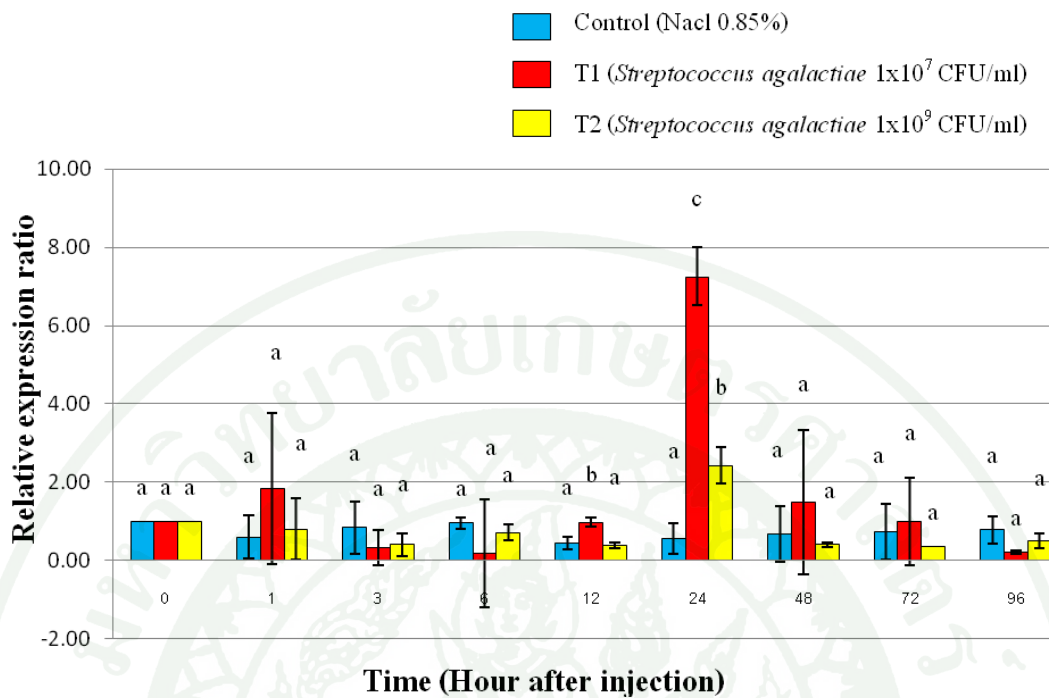
จากการศึกษาการแสดงออกของยีน Casp3-TL ในไสส่วนหน้าของปลาณิล ภายหลังจากการกระตุ้นด้วยเชื้อ *S. agalactiae* ที่ความเข้มข้น  $1 \times 10^7$  และ  $1 \times 10^9$  CFU ต่อมิลลิลิตร เปรียบเทียบกับกลุ่มของปลาปกติที่ได้รับการฉีดด้วยน้ำเกลือ 0.85% (Control) พบว่าลดลงระยะเวลาของการทดลองประมาณ mRNA ที่แสดงออกในปลาทั้ง 3 กลุ่ม โดยสังเกตจากค่า Relative expression ratio มีค่าไม่แตกต่างกันตลอดระยะเวลาของการทดลอง ตั้งแต่ชั่วโมงที่ 0 จนถึงชั่วโมงที่ 96 ( $P > 0.05$ ) (ภาพที่ 39)



ภาพที่ 39 การแสดงออกของยีน Caspase-3 ในปลาณิลภายหลังจากการนឹងกระตุ้นด้วยเชื้อ *S. agalactiae* ที่ความเข้มข้นเท่ากับ  $1 \times 10^7$  และ  $1 \times 10^9$  CFU ต่อมิลลิลิตร เปรียบเทียบกับปลาณิลที่นឹងด้วยน้ำเกลือ 0.85% (Control) โดยใช้เทคนิค Quantitative real-time PCR ( $P > 0.05$ )

#### 4.2 การศึกษาการแสดงออกของยีน Granzyme ในไถส่วนหน้าของปลาโนล ภายหลังจาก การกระตุ้นด้วยเชื้อ *S. agalactiae* (*In vivo*) โดยใช้เทคนิค Quantitative real-time PCR

จากการศึกษาการแสดงออกของยีน Granz-TL ในไถส่วนหน้าของปลาโนล ภายหลัง จากการกระตุ้นด้วยเชื้อ *S. agalactiae* ที่ความเข้มข้น  $1 \times 10^7$  และ  $1 \times 10^9$  CFU ต่อมิลลิลิตร เปรียบเทียบกับกลุ่มของปลาปกติที่ได้รับการฉีดด้วยน้ำเกลือ 0.85% (Control) พบว่าภายหลังจาก การฉีดกระตุ้นดังแต่ ชั่วโมงที่ 1 จนถึงชั่วโมงที่ 6 ปริมาณ mRNA ของยีน Granz-TL ที่แสดงออก ในปลาทั้ง 3 กลุ่ม โดยสังเกตจากค่า Relative expression ratio มีค่าเฉลี่ยไม่แตกต่างกัน ( $P > 0.05$ ) โดยมีแนวโน้มค่อนข้างคงที่และต่ำลงเล็กน้อยเมื่อเปรียบเทียบกับระดับการแสดงออกก่อนการ ทดลอง อย่างไรก็ตาม ในชั่วโมงที่ 12 ของการทดลอง ปลาในกลุ่มที่ได้รับการฉีดกระตุ้นด้วยเชื้อ *S. agalactiae* ความเข้มข้น  $1 \times 10^7$  CFU ต่อมิลลิลิตร เริ่มมีค่า Relative expression ratio ของยีน Granz-TL แตกต่างกันอย่างมีนัยสำคัญกับกลุ่มควบคุมและกลุ่มที่ได้รับการฉีดกระตุ้นด้วยเชื้อ *S. agalactiae* ความเข้มข้น  $1 \times 10^9$  CFU ต่อมิลลิลิตร ( $P < 0.05$ ) (ภาพที่ 40) และโดยเฉพาะอย่างยิ่ง ใน ชั่วโมงที่ 24 ของการทดลอง ปลาในกลุ่มที่ได้รับการฉีดกระตุ้นด้วยเชื้อ *S. agalactiae* ความเข้มข้น  $1 \times 10^7$  CFU ต่อมิลลิลิตร จะมีการแสดงออกเพิ่มสูงขึ้นอย่างเห็นได้ชัด ซึ่งมีระดับการแสดงออก มากกว่าก่อนการทดลองประมาณ 7 เท่า และยังมีค่าสูงกว่ากลุ่มควบคุมและกลุ่มที่ได้รับการฉีด กระตุ้นด้วยเชื้อ *S. agalactiae* ความเข้มข้น  $1 \times 10^9$  CFU ต่อมิลลิลิตร ถึง 11 เท่า และ 3 เท่า ตามลำดับ ( $P < 0.05$ ) นอกจากนี้ปลาในกลุ่มที่ได้รับการฉีดกระตุ้นด้วยเชื้อ *S. agalactiae* ความ เข้มข้น  $1 \times 10^9$  CFU ต่อมิลลิลิตร ยังมีการแสดงออกที่เพิ่มสูงขึ้นและมากกว่ากลุ่มควบคุมอย่างมี นัยสำคัญทางสถิติ ( $P < 0.05$ ) ประมาณ 3 เท่า ด้วยเช่นกัน (ภาพที่ 40) อย่างไรก็ตามในชั่วโมงที่ 48 ค่า Relative expression ratio ของยีน Granz-TL ในกลุ่มของปลาที่ได้รับการฉีดด้วยเชื้อ *S. agalactiae* ทั้งสองกลุ่มมีค่าลดต่ำลงใกล้เคียงกับกลุ่มควบคุมและไม่มีความแตกต่างกันอย่างมี นัยสำคัญทางสถิติ ( $P > 0.05$ ) ไปจนถึงชั่วโมงที่ 72 และ 96 ของการทดลอง ตามลำดับ



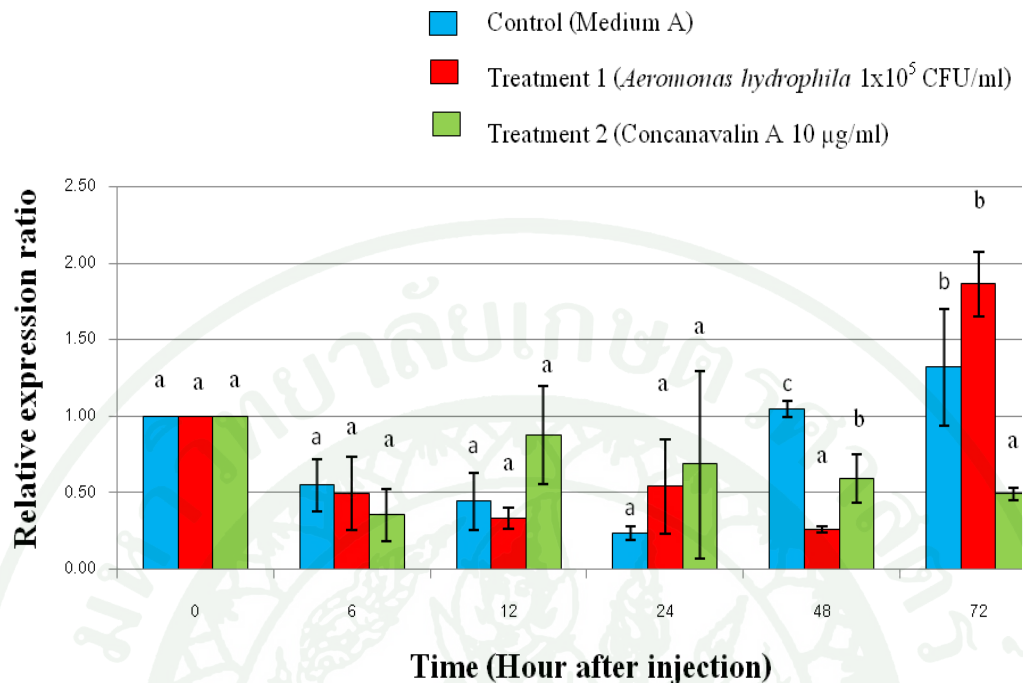
ภาพที่ 40 การแสดงออกของยีน Granzyme ในปานิคลายหลังจากการฉีดกระตุ้นด้วยเชื้อ *S. agalactiae* ที่ความเข้มข้นเท่ากับ  $1 \times 10^7$  และ  $1 \times 10^9$  CFU ต่อมิลลิลิตร เปรียบเทียบกับ ปานิคลที่ฉีดด้วยน้ำเกลือ 0.85% (Control) โดยใช้เทคนิค Quantitative real-time PCR

หมายเหตุ พยัญชนะภาษาอังกฤษที่กำกับบนแท่งกราฟในแต่ละช่วงเวลาที่แตกต่างกัน แสดงว่ามี ความแตกต่างกันอย่างมีนัยสำคัญทางสถิติ ( $P < 0.05$ )

## 5. การศึกษารูปแบบการแสดงออกของยีน Caspase-3 และ Granzyme ในเซลล์เม็ดเลือดขาวในกระเพาะเลือด ในหลอดทดลอง (*In vitro*) ภายหลังจากการกระตุ้นด้วยเชื้อ *A. hydrophila* และ Concanavalin A โดยใช้เทคนิค Quantitative real-time PCR

5.1 การศึกษาการแสดงออกของยีน Casp3-TL ในเซลล์เม็ดเลือดขาวในกระเพาะเลือด ในหลอดทดลอง ภายหลังจากการกระตุ้นด้วยเชื้อ *A. hydrophila* และ Concanavalin A โดยใช้เทคนิค Quantitative real-time PCR

การศึกษาการแสดงออกของยีน Casp3-TL ในเซลล์เม็ดเลือดขาวที่แยกได้จากการแสleioด และถูกกระตุ้นด้วยเชื้อ *A. hydrophila* ที่ความเข้มข้น  $1 \times 10^5$  CFU ต่อมิลลิลิตร และ Concanavalin A ความเข้มข้น 10 ไมโครกรัมต่อมิลลิลิตร ในหลอดทดลอง พบร่วมหาในชั่วโมงที่ 6, 12 และ 24 ของการทดลอง ระดับการแสดงออกของ mRNA ของยีน Casp3-TL ในทุกชุดการทดลองมีปริมาณลดลงเล็กน้อยเมื่อเทียบกับก่อนการทดลอง และไม่พบว่าค่า Relative expression ratio ของยีน Casp3-TL ในแต่ละชุดการทดลองมีความแตกต่างกันอย่างมีนัยสำคัญทางสถิติ ( $P > 0.05$ ) อย่างไรก็ตามในชั่วโมงที่ 48 ค่า Relative expression ratio ของยีน Casp3-TL ในกลุ่มของเม็ดเลือดขาวของปลาที่ได้รับการกระตุ้นด้วยเชื้อ *A. hydrophila* ที่ความเข้มข้น  $1 \times 10^5$  CFU ต่อมิลลิลิตร มีค่าลดต่ำลง ซึ่งส่วนทางกับกลุ่มควบคุมที่มีการแสดงออกเพิ่มสูงขึ้น ใกล้เคียงกับก่อนการทดลอง และเมื่อทำการวิเคราะห์ทางสถิติแล้วพบว่าชุดการทดลองที่ได้รับการกระตุ้นด้วยเชื้อ *A. hydrophila* มีระดับ Relative expression ratio ของยีน Casp3-TL ต่ำกว่ากลุ่มควบคุมและกลุ่มที่ถูกกระตุ้นด้วย Concanavalin A อย่างมีนัยสำคัญทางสถิติ ( $P < 0.05$ ) ประมาณ 3 และ 2 เท่า ตามลำดับ แต่มีอัตราสูงชั่วโมงที่ 72 ของการทดลองเม็ดเลือดขาวของปลาในกลุ่มควบคุมและกลุ่มที่ถูกกระตุ้นด้วย *A. hydrophila* กลับมีค่า Relative expression ratio เพิ่มสูงขึ้นและแตกต่างอย่างมีนัยสำคัญทางสถิติกับกลุ่มที่ได้รับการกระตุ้นด้วย Concanavalin A ในระดับประมาณ 3 และ 4 เท่า ตามลำดับ ( $P < 0.05$ ) (ภาพที่ 41)

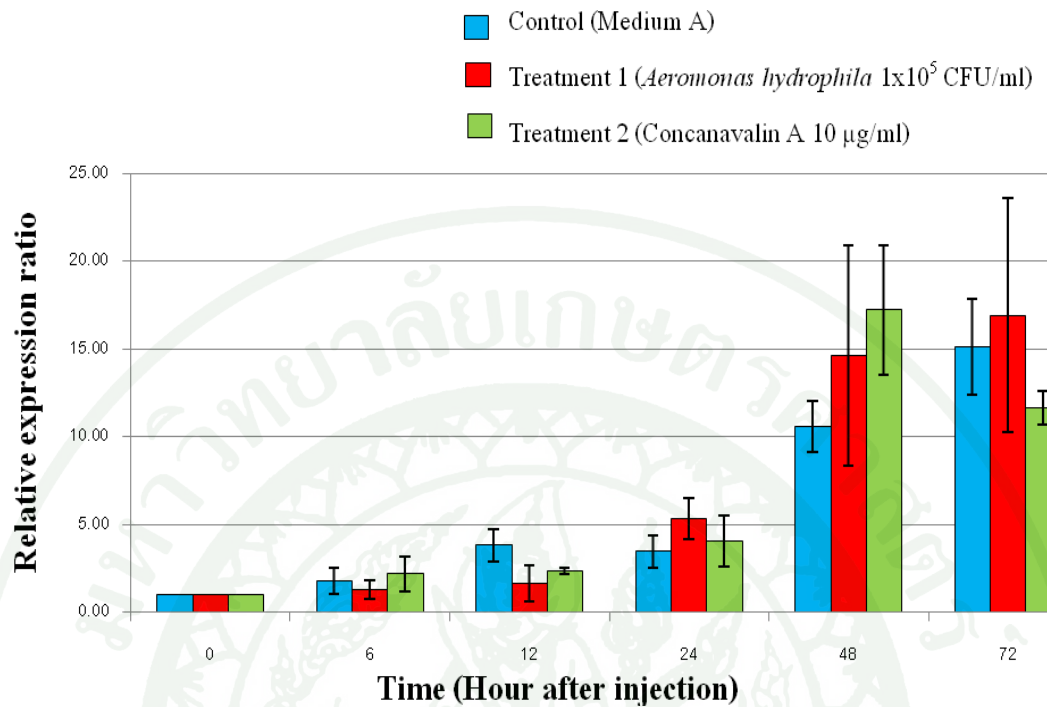


ภาพที่ 41 การแสดงออกของยีน Caspase-3 ในเซลล์เม็ดเลือดขาวในกระแสเลือด ในหลอดทดลอง  
ภายหลังจากการกระตุ้นด้วยเชื้อ *A. hydrophila* และ Concanavalin A เปรียบเทียบกับ  
เซลล์เม็ดเลือดขาวในกระแสเลือดที่ไม่ได้รับการกระตุ้น (Control) โดยใช้เทคนิค  
Quantitative real-time PCR

หมายเหตุ พยัญชนะภาษาอังกฤษที่กำกับบนแท่งกราฟในแต่ละช่วงเวลาที่แตกต่างกัน แสดงว่ามี  
ความแตกต่างกันอย่างมีนัยสำคัญทางสถิติ ( $P < 0.05$ )

**5.2 การศึกษาการแสดงออกของยีน Granz-TL ในเซลล์เม็ดเลือดขาวในกระแสเลือด ในหลอดทดลอง ภายหลังจากการกระตุ้นด้วยเชื้อ *A. hydrophila* และ Concanavalin A โดยใช้เทคนิค Quantitative real-time PCR**

การศึกษาการแสดงออกของยีน Granz-TL ในเซลล์เม็ดเลือดขาวที่แยกได้จากกระแสเลือด และถูกกระตุ้นด้วยเชื้อ *A. hydrophila* ที่ความเข้มข้น  $1 \times 10^5$  CFU ต่อมิลลิลิตร และ Concanavalin A ความเข้มข้น 10 ไมโครกรัมต่อมิลลิลิตร ในหลอดทดลอง พบว่าในช่วงชั่วโมงที่ 6 ถึง 24 ของการทดลอง ระดับ Relative expression ratio ของยีน Granz-TL ของเม็ดเลือดขาวของปลาในทุก ๆ กลุ่ม มีแนวโน้มเพิ่มสูงขึ้นตามระยะเวลาของการทดลอง แต่ก็ไม่พบร่วมกันกับทางสถิติระหว่างชุดทดลองแต่อย่างใด ( $P > 0.05$ ) แต่เมื่อเข้าสู่ชั่วโมงที่ 48 ระดับ Relative expression ratio ของยีน Granz-TL ในปลาทุกกลุ่ม มีค่าเพิ่มสูงขึ้นอย่างรวดเร็ว และแตกต่างกันกับ Relative expression ratio ของยีน Granz-TL เมื่อก่อนเริ่มการทดลอง ประมาณ 11, 15 และ 18 เท่าตามลำดับ แต่ก็ไม่พบร่วมกันกับทางสถิติระหว่างกลุ่มทดลองแต่อย่างใด ( $P > 0.05$ ) เช่นเดียวกับชั่วโมงที่ 72 เม็ดเลือดขาวของปลาในกลุ่มควบคุมและกลุ่มที่ได้รับการกระตุ้นด้วย *A. hydrophila* ยังมีแนวโน้มของค่า Relative expression ratio ของยีน Granz-TL เพิ่มสูงขึ้นอีก ขณะที่กลุ่มที่ได้รับการกระตุ้นด้วย Concanavalin A มีแนวโน้มลดลง โดยในชั่วโมงที่ 72 นี้ เม็ดเลือดขาวของปลาในแต่ละกลุ่มยังมีค่า Relative expression ratio ของยีน Granz-TL ที่ไม่แตกต่างกันอย่างมีนัยสำคัญทางสถิติ ( $P > 0.05$ ) โดยมีค่าสูงกว่าเมื่อเริ่มต้นการทดลองเป็น 15, 18 และ 12 เท่าตามลำดับ (ภาพที่ 42)



**ภาพที่ 42** การแสดงออกของยีน Granzyme ในเซลล์เม็ดเลือดขาวในกระแสเลือด ในหลอดทดลอง  
ภายหลังจากการกระตุ้นด้วยเชื้อ *A. hydrophila* และ Concanavalin A เปรียบเทียบกับ  
เซลล์เม็ดเลือดขาวในกระแสเลือดที่ไม่ได้รับการกระตุ้น โดยใช้เทคนิค Quantitative  
real-time PCR ( $P > 0.05$ )

## วิจารณ์

### 1. ลำดับนิวคลีโอไทด์ที่สมบูรณ์ของ cDNA และการศึกษาความสัมพันธ์เชิงวิถุตนาการของยีน Caspase-3 และยีน Granzyme ในปลา尼ลกับสิ่งมีชีวิตต่าง ๆ

#### 1.1 Caspase-3

ยีนในกลุ่ม Caspases จัดเป็นกลุ่มของยีน (Family) ที่เรียกว่า Cysteine-dependent aspartate specific protease ที่มีความคล้ายคลึงกันทั้งในลำดับของกรดอะมิโนและโครงสร้างของยีน ซึ่งโดยทั่วไปแล้วสามารถแบ่งออกเป็น 2 กลุ่มใหญ่ ๆ คือ 1) Cytokine processor และ 2) Apoptosis initiator or effector (Fink and Cookson, 2005) โดยในบรรดา yīn Caspases นี้ Caspase-3 ถือเป็น yīn ที่มีความสำคัญที่สุดในการควบคุมการเกิด Apoptosis ภายในร่างกายของสิ่งมีชีวิต ซึ่งโดยทั่วไปสามารถพบได้ใน Cytoplasm และ Mitochondrial intermembrane space ของทุกเซลล์ ซึ่งในสภาพเซลล์ปกติ Caspase-3 นี้จะอยู่ในรูปของ Inactive zymogen ขนาดประมาณ 32 kDa และพร้อมจะทำงานในกระบวนการเกิด Apoptosis ในหลาย ๆ Pathway เมื่อถูกกระตุ้นและถูกเรียกเป็น Active form (Nicholson *et al.*, 1995; Fink and Cookson, 2005) โดยที่ Activated caspase-3 ถือเป็นโมเลกุลที่ทำหน้าที่สำคัญในการเป็นศูนย์กลางของการเกิดกระบวนการ Apoptosis โดยการตัดและการขยับยื้องโมเลกุลของ โปรตีนหลายชนิด ซึ่งเกี่ยวข้องกับกระบวนการการเกิด Apoptosis ภายในเซลล์ที่ถูกกระตุ้นให้เกิดการตายของเซลล์แบบ Program cell death

ในปัจจุบัน cDNA ของยีน Caspase-3 นี้ได้ถูกค้นพบในสิ่งมีชีวิตหลาย ๆ ชนิด โดยเฉพาะในกลุ่มของปลา น้ำมีการค้นพบแล้วกว่า 9 ชนิด ซึ่งได้แก่ Zebra fish (AB047003), European sea bass (DQ345773), White cloud mountain minnow (GQ406344), Atlantic salmon (BT059710), Fugu rubripes (AF042797), Large yellow croaker (EU878546), Northern pike (BT079078), Sablefish (BT082348) และ Gudgeon (FJ612583) ซึ่งได้รับการตีพิมพ์แล้วเพียง 3 ชนิด คือ Zebra fish (Yabu *et al.*, 2001), Atlantic salmon (Takle *et al.*, 2006) และ European sea bass (Reis *et al.*, 2007) และเมื่อพิจารณาถึงขนาดของ Full-length ของ cDNA ของยีน Caspase-3 (Casp3-TL) ของปลา尼ล เปรียบเทียบกับสิ่งมีชีวิตชนิดอื่น ๆ พบร่วมกันขนาดใกล้เคียงกันตั้งแต่ 829-900 bp และมีขนาดของโปรตีนประมาณ 274-299 Residues โดยพบว่า Caspase-3 ของวัว (Cattle) มีขนาดสั้นที่สุดคือ 274 Residues และ Caspase-3 ของ Sable fish มีขนาดยาวที่สุดคือ 299 Residues ขณะที่ Casp3-TL มีความยาวเท่ากับ 282 Residues

และเมื่อพิจารณาถึงความเหมือนและความคล้ายคลึงกันของลำดับนิวคลีโอไทด์และกรดอะมิโนของยีน Caspase-3 จากสิ่งมีชีวิตชนิดอื่น ๆ กับ Casp3-TL ของปลา尼ล พบว่า Casp3-TL มีค่าความเหมือนกันของทั้งลำดับนิวคลีโอไทด์และกรดอะมิโน รวมทั้งความคล้ายคลึงกันของกรดอะมิโน กับ European sea bass หากที่สุด แสดงให้เห็นว่ายีน Caspase-3 ของสิ่งมีชีวิตทั้งสองชนิดนี้มีความสัมพันธ์กันในเชิงวิัฒนาการมากที่สุด ทั้งนี้อาจเป็นเพราะว่าทั้ง Nile tilapia และ European sea bass อุปใน Order เดียวกันคือ Order Perciformes (Nelson, 1994) อย่างไรก็ตามเมื่อพิจารณาถึงความสัมพันธ์กันในเชิงวิัฒนาการมากที่สุด ทั้งนี้อาจเป็นเพราะว่าทั้ง Nile tilapia และปลา Large yellow croaker เช่นกัน นอกเหนือจากปลา European sea bass

เมื่อพิจารณาถึงโครงสร้างของโปรตีน พบว่าโปรตีนของยีน Caspase-3 ของสิ่งมีชีวิตทุกชนิดรวมทั้ง Casp3-TL ของปลา尼ล ไม่มีบริเวณที่เป็น Hydrophobic leader sequence เมื่อเทียบกับที่พบในยีนชนิดอื่น ๆ แต่โครงสร้างของโปรตีนทั้งหมดจะประกอบด้วย Prodomain และ Catalytic domain ซึ่งประกอบด้วย Large subunit p20 และ Small subunit p10 เช่นเดียวกัน ซึ่งสอดคล้องกับรายงานของ Grütter (2000) ที่ได้ทำการศึกษาไว้ก่อนหน้านี้ อย่างไรก็ตามเมื่อทำการตรวจสอบ Hydrophobic sequence ด้วยโปรแกรม “DAS”- Transmembrane Prediction กลับพบว่าลำดับกรดอะมิโนตั้งแต่ 117-131 (HsnsaSfvCiLLSHG) เป็นบริเวณที่ตรวจพบ Hydrophobic region ซึ่งจากการตรวจสอบด้วยโปรแกรม PROSITE prediction พบว่าบริเวณของตำแหน่งกรดอะมิโนในบริเวณนี้เป็นบริเวณที่เรียกว่า Histidine active site ซึ่งจัดเป็นส่วนที่มีความสำคัญในการจำแนกกลุ่มของยีนในกลุ่ม Caspases (Caspase family signature) นั่นเอง (Reis *et al.*, 2007) นอกจากนี้ยังพบว่า Pentapeptide active site (QACRG) และ Aspartic acid ที่ตำแหน่ง Residues ที่ 178 ซึ่งเป็นบริเวณที่แบ่งแยกระหว่าง Large กับ Small subunit ออกจากกันซึ่งมีความเหมือนกัน (Conserved) ในทุกสิ่งมีชีวิตที่ทำการตรวจสอบและตำแหน่งของ Aspartic acid ที่ทำนายโดย Nicholson *et al.* (1995) ซึ่งทำหน้าที่ในการตัดแบ่งระหว่าง Prodomain, Large และ Small subunit สามารถพบได้ใน Casp3-TL เช่นกันในตำแหน่ง Asp14, Asp34 และ Asp178 และแสดงให้เห็นว่าโครงสร้างของ Proenzyme ของ Casp3-TL ในปลา尼ลมีลักษณะคล้ายกับ Proenzyme ของโปรตีนของยีน Caspase-3 ของสิ่งมีชีวิตอื่น ๆ ก่อนเปลี่ยนรูปเป็น Active form ซึ่งมีโครงสร้างเป็นแบบเดียวกัน เช่นเดียวกับ RGD motif ที่พบว่ามีความคล้ายคลึงกันสูงระหว่างสิ่งมีชีวิตชนิดต่าง ๆ ถึงแม้ว่าหน้าที่ของ RGD motif นี้ยังไม่ทราบแน่ชัดแต่จากการรายงานของ Pasqualini *et al.* (1995) พบว่า Aspartate-Aspartate-Xaa motif ซึ่งอยู่ใกล้กับบริเวณ Asp178 สามารถจับกับ RGD motif เพื่อกระตุ้นกระบวนการ การเปลี่ยนแปลงโครงสร้างและกระบวนการถูกกระตุ้นภายในหลังที่ถูกเปลี่ยนรูปเป็น Active form (Buckley *et al.*, 1999)

## 1.2 Granzyme

ในปัจจุบันเป็นที่ทราบดีแล้วว่ายีน Granzyme (Granule enzymes) จัดเป็นกลุ่มของยีนที่มีความคล้ายคลึงกันกับยีนในกลุ่ม Serine proteases อย่างมาก ซึ่งทำหน้าที่สำคัญเกี่ยวกับกระบวนการตายของเซลล์แบบ Apoptosis แบบหนึ่งที่เกี่ยวข้องและสำคัญในระบบภูมิคุ้มกันของสิ่งมีชีวิตที่มีกระดูกสันหลัง จึงอาจถือได้ว่ายีนในกลุ่มนี้นั้นมีบทบาทสำคัญในการเป็นเอนไซม์ที่ชักนำทำให้เกิดการตายของเซลล์ภายในร่างกาย (Cell death-inducing enzymes) และโดยทั่วไปแล้วโปรตีนของยีน Granzymes นั้น จะถูกสร้างและเก็บไว้ในเม็ด Granule ของเซลล์ ในกลุ่ม Cytotoxic T lymphocytes และ Natural killer cells เท่านั้น เช่นเดียวกับโปรตีนของยีน Perforin และจะมีการปลดปล่อยออกมาราคาเซลล์ที่มีการบุกรุกของเชื้อโรค โดยเฉพาะไวรัสและแบคทีเรียบางชนิดรวมถึงเซลล์เนื้องอกและมะเร็ง (Tumor and cancer cells) ด้วย จึงอาจถือได้ว่ายีนในกลุ่มของ Granzyme นั้น จะมีบทบาทสำคัญทั้งในระบบภูมิคุ้มกันที่เป็น Innate และ Adaptive immunity ด้วยโดยทำหน้าที่แตกต่างกันอย่างชัดเจนใน 3 Pathways ในการตายของเซลล์แบบ Apoptosis (Chowdhury and Lieberman, 2008)

นอกจากนี้แล้วยังทำหน้าที่ในการควบคุมระบบภูมิคุ้มกัน โดยการควบคุมการอยู่รอดของ Activated lymphocytes และกระบวนการการอักเสบ (Inflammation) โดยการทำปฏิกิริยา กับโครงสร้างของสารแพลก์เพลตومที่เข้ามาภายในร่างกาย และจากรายงานการศึกษาในปัจจุบันพบว่าสามารถค้นพบยีน Granzyme ในคนและในหมูแล้วประมาณ 5 (A, B, H, K และ M) และ 10 ชนิด (A, B, C, D, E, F, G, H, L, M และ N) ตามลำดับ โดยยืนเหล่านี้จะสร้างจากกลุ่มของยีน (Cluster) ขนาดใหญ่ประมาณ 3 กลุ่ม และเมื่อพิจารณาจากการรายงานในปัจจุบัน พบว่ายีน Granzyme A และ Granzyme B นั้น เป็นชนิดที่มีการแสดงออกมากที่สุด ในส่วนของ Granzyme B นั้น ถือได้ว่าเป็นยีนที่มีการศึกษามากที่สุดเมื่อเทียบกับ Granzyme ชนิดอื่น ๆ และเป็นเอนไซม์ที่มีคุณลักษณะสำคัญในการตัด Substrates ในตำแหน่งหลังกรดอะมิโน Aspartic acid (Asp) อย่างจำเพาะ อย่างไรก็ตามในปัจจุบันเริ่มมีนักวิจัยที่ได้เริ่มทำการศึกษาเรื่อง Granzyme ชนิดอื่น ๆ อย่างจริงจังมากยิ่งขึ้น ตามลำดับ

ในปัจจุบันในกลุ่มของปลา ได้มีรายงานการค้นพบ cDNA ของยีนชนิดนี้ได้เพียง 6 ชนิด คือยีน Granzyme I-1 (AB191196), Granzyme II (AB191194) และ Granzyme III-1 (AB191198) ใน Bastard halibut, ยีน Granzyme (AY286012), Granzyme-like I (AY942183) และ Granzyme-like III (AY942184) ใน Channel catfish, ยีน Granzyme A (NM\_001141037) ใน

Atlantic salmon, ใน Granzyme A precursor (BT079306) ใน Northern pike, ใน Granzyme like ใน Atlantic cod (AY661884) และ Granzyme-1 (AY918866) ใน Nile tilapia ซึ่งมีการตัดพิมพ์แล้วเพียง 3 ชนิดคือ Channel catfish (Praveen *et al.*, 2004), Atlantic cod (Wernersson *et al.*, 2006) และ Nile tilapia (Praveen *et al.*, 2006a) และเมื่อพิจารณาถึงขนาดของ Full-length ของ cDNA ของยีน Granzyme (Granz-TL) ของปลา尼ล เปรียบเทียบกับสิ่งมีชีวิตชนิดอื่น ๆ พบร่วมกันในส่วนที่ตัดพิมพ์แล้วเพียง 720-795 bp และมีขนาดของโปรตีนประมาณ 239-264 Residues โดยพบว่า Granzyme ของตุนปากเป็ด (Platypus) มีขนาดสั้นที่สุดคือ 239 Residues และ Granzyme K ของคน (Human), Granzyme K ของ Pig-tailed macaque และ Granzyme M ของ House มีขนาดยาวที่สุดคือ 264 Residues ขณะที่ Granz-TL มีความยาวเท่ากับ 255 Residues

เมื่อพิจารณาถึงโครงสร้างของโปรตีนพบว่าโปรตีนของยีน Granzyme ของสิ่งมีชีวิตทุกชนิดรวมทั้ง Granz-TL ของปลา尼ลในมีบริเวณที่เป็น Hydrophobic leader sequence เมื่อยังคงที่พบร่วมในยีน Granzyme ชนิดอื่น ๆ ซึ่งเมื่อพิจารณาด้วยโปรแกรม “DAS”- Transmembrane prediction พบว่า Hydrophobic leader sequence ของ Granz-TL มีขนาดประมาณ 19 Amino acid residues และแสดงให้เห็นว่า Granz-TL นี้จัดเป็นโปรตีนที่เป็นเอนไซม์ที่ถูกสร้างออกมาก่อนแล้วหลังจากไปนอกเซลล์ในรูป Secrete protein ซึ่ง Hydrophobic leader sequence นี้จะมีความสำคัญต่อการเคลื่อนตัวเข้าไปใน Rough endoplasmic recticulum และการเข้าไปอยู่ใน Exocytic granules ของเซลล์ (Jenne and Tschopp, 1988) และเมื่อทำการเปรียบเทียบโครงสร้างของโปรตีน Granz-TL ของปลา尼ลกับยีน Granzyme ของสิ่งมีชีวิตอื่น โดยการทำ Multiple sequence alignment พบว่าตำแหน่งของ IIXG และ PHSRPYMA motif มีความ Conserved กันสูงมากระหว่าง Granzyme ของสิ่งมีชีวิต เช่นเดียวกับที่พบร่วมในปลา Channel catfish และ Nile tilapia (Praveen *et al.*, 2004; Praveen *et al.*, 2006a) ตามลำดับ นอกจากนี้กรดอะมิโนที่ถือว่ามีความสำคัญและเป็นสัญลักษณ์ของ Catalytic triad (Charge relay system) ของยีนในกลุ่ม Serine protease ซึ่งได้แก่ His<sub>67</sub>, Asp<sub>110</sub> และ Ser<sub>208</sub> ซึ่งมีความ Conserved กันสูงมากรวมทั้งลำดับกรดอะมิโนที่อยู่รอบ ๆ กรดอะมิโนเหล่านี้พบว่ามีความ Conserved กันสูงเช่นเดียวกัน นอกจากนี้ยังพบว่าตำแหน่งของลำดับกรดอะมิโน Cysteine ซึ่งมีความสำคัญต่อการพับตัวและการกระตุนการทำงาน ซึ่งโดยปกติแล้วใน Granzyme ชนิดอื่น ๆ จะมีอยู่เพียง 3 คู่ (Disulfide bonds) เท่านั้น ซึ่งจะ Form ตัวเป็น Disulfide bridges เพื่อมั่นใจว่าโครงสร้างของโปรตีนอย่างไรก็ตามจากการศึกษาครั้งนี้ Granz-TL ของปลา尼ลจะมี Disulfide bridge เพิ่มมาอีก 1 Residue โดยเกิดจากกรดอะมิโน Cysteine ตำแหน่งที่ 204 และ 228 ตามลำดับ ซึ่งลักษณะดังกล่าวจะเป็นลักษณะที่พบในยีน Granzyme A, K และ M เท่านั้น โดย Disulfide bridges ที่เกิดจากกรดอะมิโน Cysteine ตำแหน่งที่ 204 และ 228 จะทำงานร่วมกับกรดอะมิโน

Cysteine ตำแหน่งที่ 52 และ 68 ในการเชื่อมระหว่าง Primary และ Secondary substrate-binding sites เพื่อสร้างตำแหน่งจับเพาเวที่เรียกว่า S1 subsites ใน Granzyme ทั้ง 3 ชนิดนี้ (Sattar *et al.*, 2003)

นอกจากนี้ เป็นที่น่าสนใจว่า Granz-TL ของปลา尼ลจะมีกรดอะมิโน Cysteine ที่เพิ่มขึ้นมาอีก 2 Residues ในตำแหน่งที่ 103 และ 104 ซึ่งเมื่อพิจารณาเปรียบเทียบกับยีน Granzyme ของสัตว์เลี้ยงลูกด้วยนมจะพบว่ามีเพียง Granzyme A เท่านั้นที่มี Additional cysteine ที่เพิ่มขึ้นมาเพื่อทำหน้าที่ในการจับกับ Granzyme A อีก 1 โมเลกุลเพื่อ Form ตัวกันเป็น Dimer (Intermolecular disulfide bonds) (Bell *et al.*, 2003; Hink-Schauer *et al.*, 2003) ดังนั้นจึงอาจเป็นไปได้ว่าคำดับกรดอะมิโนใน Cysteine ตำแหน่งที่ 103 และ 104 ที่เพิ่มขึ้นมาใน Granz-TL นี้อาจจะทำหน้าที่ในการสร้างพันธะ Intermolecular disulfide bonds เช่นเดียวกัน

และเมื่อทำการพิจารณาถึงคำดับกรดอะมิโนรอบ ๆ กรดอะมิโน Serine ใน Active site ที่ 3 ซึ่งเป็นตำแหน่งของ S1 pocket site ที่จะเป็นตัวบ่งบอกถึง Substrate specificity ซึ่งโดยปกติแล้วจะมีอยู่ 3 ตำแหน่ง (Substrate specific triplet residues) ตามระบบการจัดคำดับกรดอะมิโนของ Chymotrypsin numbering ตำแหน่งที่ 189, 216 และ 226 ที่ได้อธิบายไว้ก่อนหน้านี้โดย (Woulter *et al.*, 2003) ซึ่งใน Granz-TL จะพบคำดับกรดอะมิโนในตำแหน่งเหล่านี้เป็น D-G-G ขณะที่ Granzyme ของปลาซึ่งค้นพบก่อนหน้านี้จะมีความแตกต่างกันออกไป เช่น Granzyme-like I, II, III และ Granzyme-1 (AY286012) ที่พบใน Channel catfish (Praveen *et al.*, 2004) จะมีคำดับของกรดอะมิโนในตำแหน่งนี้เป็น G-N-N, G-T-N, A-T-G และ D-G-G ตามลำดับ ในขณะที่ Granzyme A ของปลา Atlantic salmon และปลา Northern pike รวมถึง Granzyme ของปลา Bastard halibut ก็จะพบว่ามีคำดับของกรดอะมิโนในตำแหน่งนี้เป็น D-G-G เช่นเดียวกัน และยังพบว่า Mammalian Granzyme A และ K ก็ซึ่งมีคำดับกรดอะมิโนในตำแหน่งนี้เป็น D-G-G อีกด้วย ขณะที่ Granzyme-1 ของปลา尼ลที่รายงานไว้ก่อนหน้านี้โดย Praveen *et al.* (2006a) กลับมีคำดับกรดอะมิโนในตำแหน่งนี้เป็น G-N-N

และเมื่อพิจารณาถึงตำแหน่งของ Glycosylation site ในส่วนของ Mature protein ของยีน Granzyme จากสิ่งมีชีวิตชนิดต่าง ๆ จะพบว่ามีจำนวนแตกต่างกันออกไปตามชนิดของยีน Granzyme และสิ่งมีชีวิต เช่น Granzyme-1 ของปลา尼ลและปลา Channel catfish มี Glycosylation site เพียง 1 ตำแหน่ง, Granzyme A ของปลา Northen pike มี 2 ตำแหน่ง และ Granzyme A ของปลา Atlantic salmon มี 3 ตำแหน่ง เป็นต้น ซึ่งแตกต่างจาก Granz-TL ในการศึกษาครั้งนี้ ซึ่งพบว่ามีตำแหน่ง Glycosylation site ถึง 4 ตำแหน่ง ซึ่ง Griffiths and Isaaz (1993) ได้ค้นพบว่าตำแหน่ง

Glycosylation site ของยีน Granzyme จะมีความสำคัญอย่างยิ่งในการแพร่ผ่านเข้าไปในเซลล์ในกรณีที่ไม่มีการหลัง Perforin ออกมานั่งกับเซลล์เป้าหมาย โดย Glycosylation site ของยีน Granzyme นี้ จะเป็นเป้าหมายสำคัญที่จะถูก Mannose-6-phosphate receptor ที่อยู่บนผิวเซลล์เมะบรรนองเซลล์เป้าหมาย ซึ่งจะเป็นตัวพา Granzyme เข้าไปในไซโตพลาซึมของเซลล์เป้าหมาย โดยกระบวนการ Endocytosis ในท้ายที่สุด

และเมื่อพิจารณาถึงความเหมือนและความคล้ายคลึงกันของลำดับนิวคลีโอไทด์และกรดอะมิโนของยีน Granzyme จากสิ่งมีชีวิตชนิดอื่น ๆ กับ Granz-TL ของปลา尼ล พบว่า Granz-TL มีค่าความเหมือนกันของทั้งลำดับนิวคลีโอไทด์และกรดอะมิโน รวมทั้งความคล้ายคลึงกันของกรดอะมิโนกับปลา Bastard halibut มากที่สุด แสดงให้เห็นว่ายีน Granzyme ของสิ่งมีชีวิตทั้งสองชนิดนี้มีความสัมพันธ์กันในเชิงวิัฒนาการมากที่สุด ทั้งนี้อาจเป็นเพราะว่าทั้ง Nile tilapia และ Bastard halibut จัดอยู่ใน Class เดียวกันคือ Class Actinopterygii (Nelson, 1994) อย่างไรก็ตามเมื่อพิจารณาถึงความสัมพันธ์กันในเชิงวิัฒนาการกลับพบว่า Granz-TL ของปลา尼ลกลับมีค่าความสัมพันธ์ในเชิงวิัฒนาการสูงกับยีน Granzyme ของปลา Atlantic salmon และปลา Northern pike เช่นกัน นอกเหนือจากปลา Bastard halibut

อย่างไรก็ตาม เมื่อพิจารณาถึงความสัมพันธ์เชิงวิัฒนาการของยีน Granzyme ในภาพรวมทั้งหมดโดยใช้ Phylogenetic tree จากการศึกษาในครั้งนี้ จะให้ผลแตกต่างกับการศึกษาของ Grossman *et al.* (2003) ซึ่งพบว่าสามารถจัดกลุ่มความสัมพันธ์ของยีน Granzyme ที่ได้จากหมูและมนุษย์ออกเป็น 3 กลุ่มอย่างชัดเจน โดยกลุ่มที่ 1 จะประกอบด้วย Granzyme B, C และ H กลุ่มที่ 2 ประกอบด้วย Granzyme A, K และ M และกลุ่มที่ 3 ประกอบด้วย Granzyme D, E, G, F และ N แต่เมื่อมีการนำเอาลำดับกรดอะมิโนของยีน Granzyme ในปลา สัตว์ปีกและสัตว์เลี้ยงลูกด้วยนมชนิดอื่น ๆ มาหาความสัมพันธ์ใน Phylogenetic tree ร่วมกับยีน Granzyme ของหมูและมนุษย์กลับพบว่าสามารถแบ่งกลุ่มของยีน Granzyme ในสิ่งมีชีวิตออกเป็น 3 กลุ่มใหญ่ ๆ เช่นเดียวกันคือ กลุ่มที่ 1 ประกอบด้วย Granzyme ของสัตว์เลี้ยงลูกด้วยนม ซึ่งได้แก่ Granzyme K ของ Human, Pig-tailed macaque และ House mouse, Granzyme A ของไก่ Norway rat และ Cattle และ Granzyme ของปลา โดยพบว่า Granz-TL ของปลา尼ลกับจัดอยู่ในกลุ่มนี้ เช่นเดียวกัน โดยมีความสัมพันธ์ใกล้ชิดกับ Granzyme I-1, II และ III-1 ของปลา Bastard halibut และ Granzyme A ของปลา Atlantic salmon และปลา Northern pike ตามลำดับ และยังมียีน Granzyme ของปลา Channel catfish อีกหนึ่งชนิดที่มีความสัมพันธ์แยกจาก Granzyme ของสิ่งมีชีวิตดังกล่าวข้างต้น แสดงให้เห็นว่า ยีน Granzyme บางชนิดของปลา ที่มีสายวิัฒนาการร่วมกันกับยีน Granzyme ของ

สัตว์มีกระดูกสันหลังชั้นสูง เช่นเดียวกัน กลุ่มที่ 2 ประกอบด้วยยีน Granzyme ของสัตว์มีชีวิตในกลุ่ม สัตว์เลี้ยงลูกด้วยนม ซึ่งประกอบด้วย House mouse Granzyme B, C, D, F, G, N, Norway rat

Granzyme like protein III และ Granzyme B, Pig Granzyme H และ Horse Granzyme B ตามลำดับ ซึ่งเป็นที่น่าสังเกตว่าในกลุ่มนี้ยังมีสมาชิกเป็นยีน Granzyme ของปลา Channel catfish (Channel catfish Granzyme-like III) แสดงให้เห็นว่าในกลุ่มของปลากระดูกแข็ง อาจจะมียีน Granzyme ที่มี วิวัฒนาการร่วมกันกับ Granzyme B และ Orphan granzymes ของสัตว์มีชีวิตชั้นสูง เช่นเดียวกัน ขณะที่ในกลุ่มที่ 3 จะประกอบด้วย Channel catfish Granzyme-like I และ Nile tilapia Granzyme-1 แสดงให้เห็นว่าในสัตว์มีชีวิตพอกสัตว์มีกระดูกสันหลังในกลุ่มของปลา น่าจะมียีน Granzyme ชนิด อื่นที่มีสายวิวัฒนาการแยกออกจากยีน Granzyme ใน 2 กลุ่มใหญ่ ข้างต้น

นอกจากนี้ เป็นที่น่าสนใจอย่างยิ่งว่า เมื่อนำเอาร่องของกรดอะมิโนในตำแหน่งที่เป็น Substrate specificity triplet residues ในบริเวณ S1 pocket site ของยีน Granzyme มาประกอบการ พิจารณาร่วมกับความสัมพันธ์เชิงวิวัฒนาการใน Phylogenetic tree จะมีความสอดคล้องกันอย่าง ชัดเจน กล่าวคือ ในกลุ่มที่ 1 ที่ประกอบด้วยยีน Granzyme A และ K ของสัตว์เลี้ยงลูกด้วยนมและ Granzyme ของปลา ซึ่งมี Substrate specificity triplet residues เหมือนกันคือ D-G-G ส่วนในกลุ่มที่ 2 ประกอบด้วยยีน Granzyme ของปลา Channel catfish, ยีน Granzyme B และ Orphan granzymes ของสัตว์เลี้ยงลูกด้วยนมจะมี Substrate specificity triplet residues ที่มีความหลากหลาย เช่น A-T-G, G-N-N และ S-G-G เป็นต้น ขณะที่ในกลุ่มที่ 3 จะประกอบด้วย Channel catfish Granzyme-like I และ Nile tilapia Granzyme-1 จะมี Substrate specificity triplet residues เป็น G-N-N เท่านั้น ซึ่ง การศึกษาในครั้งนี้จะสอดคล้องและสนับสนุนผลการศึกษาของ Praveen *et al.* (2006a)

เป็นที่น่าสนใจว่าเมื่อพิจารณาเปรียบเทียบลำดับนิวคลีโอไทด์และกรดอะมิโนของยีน Granz-TL และยีน Granzyme-1 ในปแลนิลที่ได้มีรายงานมาก่อนหน้านี้ (Praveen *et al.*, 2006a) จะเห็นได้อย่างชัดเจนว่าลำดับนิวคลีโอไทด์และกรดอะมิโนของยีน Granz-TL และยีน Granzyme-1 ในปแลนิล มีความแตกต่างกันค่อนข้างสูง (ภาพที่ 43) นอกจากนี้ผลของการเปรียบเทียบความ เหมือนและความคล้ายคลึงกันของลำดับนิวคลีโอไทด์และลำดับกรดอะมิโนของยีนทั้งสองนี้ ก็มีค่า เพียง 52.6 และ 35.9% ซึ่งมีค่าค่อนข้างน้อยเมื่อเปรียบเทียบกับยีน Granzyme I-1, II และ III-1 ของ ปลา Bastard halibut (ตารางที่ 7) ขณะเดียวกันผลจากการศึกษาความสัมพันธ์ในเชิงวิวัฒนาการของ ยีน Granz-TL และ Granzyme-1 ก็ยังพบว่ายีนทั้งสองชนิดนี้ถูกจัดอยู่ในกลุ่มใน Phylogenetic tree อย่างชัดเจน (ภาพที่ 27) ดังนั้นผลจากการศึกษาข้างต้นนี้ แสดงให้เห็นว่า cDNA ของยีน Granz-TL ของปแลนิลที่พบในการศึกษาในครั้งนี้เป็นชนิดใหม่ ซึ่งถูกค้นพบเป็นครั้งแรก

Granz-TL	MMHAVH--D <b>M</b> FVYLLTCLG <b>H</b> CHGSE <b>I</b> INGKNVPQNS <b>M</b> OYMASVQIDGKHV <b>C</b> GGFLVSE	58
Granzyme-1	-MSSLKNFS <b>L</b> ISCVLLFII <b>Q</b> PGRGSR <b>I</b> INGKE <b>V</b> E <b>P</b> HS <b>L</b> PYMA <b>Y</b> LR <b>T</b> VTNSW <b>C</b> G <b>G</b> T <b>I</b> HP	59
	* :: . *:: : * : * *:***.*****: * : * : *** :: : *** *:	
Granz-TL	D <b>V</b> LTAAH <b>C</b> YKNSPME <b>V</b> VIGTHN-LKKVNNNKMRYSVK <b>T</b> CKHPR <b>V</b> DKVESGND <b>I</b> MLLK <b>S</b>	117
Granzyme-1	Q <b>W</b> VLTAAH <b>C</b> TG-SYW <b>V</b> I <b>G</b> A <b>S</b> RT <b>K</b> NES <b>S</b> KH <b>Q</b> R <b>V</b> VE <b>K</b> S <b>F</b> PHD <b>C</b> CAK <b>I</b> D <b>N</b> L <b>M</b> LL <b>K</b> <b>K</b>	117
	:*****. . *::*:*. *: . . : * : * *: ** * . : . *:*****.	
Granz-TL	RKLQLDKK <b>V</b> KPIQLARKE <b>I</b> AKADNV <b>K</b> <b>C</b> QVAGWGFT <b>E</b> TNG <b>K</b> AV <b>D</b> V <b>L</b> R <b>W</b> V <b>D</b> V <b>P</b> L <b>I</b> D <b>L</b> N <b>V</b> <b>C</b> K <b>R</b>	177
Granzyme-1	EPVRKTRAV <b>Q</b> W <b>L</b> EFGDTVRDP <b>A</b> AGST <b>C</b> L <b>V</b> AGWGATE <b>N</b> N-QSSD <b>V</b> LMS <b>M</b> N <b>V</b> TV <b>V</b> DRQT <b>C</b> N <b>S</b>	176
	. : : : *: : : : . . . . * ***** *.* : *** *: *: : . *: . :	
Granz-TL	----KLKGKLF <b>G</b> V <b>I</b> CAGGS <b>D</b> T <b>K</b> NG-F <b>C</b> QGD <b>S</b> GG <b>P</b> <b>I</b> L <b>V</b> <b>C</b> NG <b>T</b> AV <b>G</b> V <b>V</b> S <b>F</b> N <b>I</b> NG <b>N</b> <b>C</b> KYPN <b>P</b>	232
Granzyme-1	RD <b>Y</b> YNHR <b>P</b> E <b>I</b> T <b>K</b> <b>H</b> <b>M</b> <b>I</b> CAGSNG <b>I</b> INVAD <b>T</b> <b>C</b> QGD <b>S</b> GG <b>P</b> <b>I</b> <b>L</b> <b>C</b> D <b>G</b> <b>A</b> <b>L</b> <b>V</b> <b>G</b> <b>T</b> <b>S</b> <b>Y</b> <b>G</b> <b>A</b> -- <b>C</b> <b>G</b> <b>V</b> <b>I</b> <b>T</b> <b>K</b> <b>P</b>	234
	: : : : * :*****...*: . *****:*****: *: *: *** . *: . * . *	
Granz-TL	N <b>V</b> YTD <b>I</b> S-K <b>H</b> <b>L</b> <b>S</b> <b>W</b> <b>I</b> <b>K</b> <b>N</b> <b>I</b> <b>L</b> <b>N</b> <b>K</b> <b>Q</b> <b>C</b>	254
Granzyme-1	GI <b>Y</b> <b>S</b> <b>F</b> <b>I</b> <b>S</b> <b>E</b> <b>K</b> <b>O</b> <b>L</b> <b>Y</b> <b>W</b> <b>I</b> <b>K</b> <b>T</b> <b>T</b> <b>M</b> <b>K</b> <b>L</b> <b>F</b> --	255
	. : *: *** *: * ***. ::	

ภาพที่ 43 การเปรียบเทียบลำดับกรดอะมิโนของยีน Granz-TL กับลำดับกรดอะมิโนของยีน

Granzyme-1 ของปLANiL โดยที่สัญลักษณ์ (\*) แสดงตำแหน่งของกรดอะมิโนที่มีความเหมือนกัน (: ) และตำแหน่งของกรดอะมิโนที่มีความคล้ายคลึงกันสูง และ (.) แสดงตำแหน่งของกรดอะมิโนที่มีความคล้ายคลึงกันต่ำ

## 2. การศึกษาการแสดงออกของยีน Caspase-3 และ Granzyme ในปLANiL ในสภาพต่าง ๆ

### 2.1 การแสดงออกของยีน Caspase-3 ในปLANiL

ในปัจจุบันเป็นที่ทราบแล้วว่ากลุ่มของยีน Caspases จัดเป็นยีนที่มีความสำคัญในการควบคุมการตายของเซลล์แบบ Apoptosis (Program cell death) (Nicholson and Thornberry 1997; Salvesen and Dixit, 1997; Thornberry and Lazebnik, 1998) อย่างไรก็ตาม มีหลายข้อมูลในปัจจุบันได้แสดงให้เห็นแล้วว่าการเกิด Apoptosis นั้นสามารถเกิดขึ้นได้โดยไม่จำเป็นต้องอาศัยการทำงานของยีนในกลุ่ม Caspases (Caspase-independent apoptosis) ซึ่งสามารถเกิดขึ้นได้ทาง Pathway ที่อาศัยการทำงานของโปรตีนหลักชนิด เช่น โปรตีน Bax และ Bak (Ojcius *et al.*, 1998) หรือเกิดจากการกระตุ้นสารในกลุ่ม Calpains (Calcium dependent protease) ซึ่งสามารถชักนำทำให้เกิดการทำงานแบบ Apoptosis โดยปราศจากการทำงานของยีน Caspases (Wolf *et al.*, 1999) หรือการกระตุ้นของโปรตีนในกลุ่มของ Stress kinase (C-jun NH<sub>2</sub>-terminal kinase or JNK) ซึ่งในที่นี้จำเป็นต้องมีการทำงานร่วมกันของ Daxx-ASK ซึ่งจะทำให้เกิดกระบวนการ Caspase-independent mechanism สำหรับกระบวนการกระตุ้น JNK โดยอาศัย Fas protein และตัวกระตุ้นการเกิด Apoptosis อื่น ๆ (Chang *et al.*, 1998; Yang *et al.*, 1997)

อย่างไรก็ตามในบรรดา Effector molecules ที่เกี่ยวข้องกับการเกิด Apoptosis นั้น Activated caspase-3 จัดเป็นโมเลกุลที่มีความสำคัญที่สุดในการเกิด Apoptosis ซึ่งสามารถตัดและยับยั้งโมเลกุลของโปรดตินหลายชนิด เพื่อทำให้เกิดการตายของเซลล์แบบ Apoptosis ตามมาในที่สุด อย่างไรก็ตามปัจจุบันการศึกษาที่เกี่ยวข้องกับยีนชนิดนี้ทั้งในระดับอนุชีวโมเลกุลและบทบาทการทำหน้าที่ในกลุ่มของปลา�ังถือว่ามีจำกัดเมื่อเปรียบเทียบกับสัตว์มีกระดูกสันหลังชนิดอื่น ๆ

ผลจากการศึกษาการแสดงออกของยีน Caspase-3 ในปลา尼ลปกติ จากเนื้อเยื่อทั้งหมด 12 อย่าง โดยใช้เทคนิค RT-PCR พบว่าในปลาที่มีดีดวยน้ำเกลือ 0.85% มีการแสดงออกของยีน Casp3-TL อย่างเบาบางในทุกวัยที่ทำการตรวจสอบแต่จะเห็นແນบ PCR ขนาดประมาณ 594 bp ค่อนข้างชัดที่สมอง อวัยวะสีบพันธุ์ ไตส่วนหน้า ลำไส้ เซลล์เม็ดเดือดขาวในกระแสเลือด (PBLs) ม้าม กระเพาะอาหารและไตส่วนหลัง เท่านั้น ซึ่งให้ผลเช่นเดียวกับการศึกษาของ Reis *et al.* (2007) ที่ทำการศึกษาการแสดงออกของยีน Caspase-3 ในปลา Sea bass โดยการใช้เทคนิค RT-PCR ซึ่งพบว่าการแสดงออกของยีนชนิดนี้มีการแสดงออกอย่างเบาบางในทุกวัยที่ทำการตรวจสอบ แต่จะสามารถสังเกตเห็นได้ในระดับที่สูงกว่าวัยอื่น ในส่วนของ Thymus และหัวใจเท่านั้น

และเมื่อนำผลที่ได้จากการศึกษาข้างต้น ไปเปรียบเทียบกับปลาที่ได้รับการฉีดกระตุ้นด้วยเชื้อแบคทีเรีย *S. agalactiae* ที่ระดับความเข้มข้น  $10^8$  CFU ต่อมิลลิลิตรพบว่าสามารถสังเกตเห็นແນบ PCR ของการแสดงออกของยีน Casp3-TL แตกต่างจากปลาที่มีกระตุ้นด้วยน้ำเกลือ 0.85% เพียงเล็กน้อย โดยสามารถสังเกตเห็นແນบ PCR ชัดเจนขึ้นในส่วนของ PBLs และແນบแบบที่เบาบางในเหงือก ไตส่วนหน้า หัวใจ ลำไส้ และกระเพาะอาหารเท่านั้น ส่วนในอวัยวะอื่น ๆ นั้นไม่สามารถสังเกตແນบ PCR ได้เลย และคงให้เห็นว่าเชื้อ *S. agalactiae* สามารถเหนี่ยวนำทำให้เกิดการเพิ่มการแสดงออกของยีน Casp3-TL ใน PBLs ของปลา尼ล ได้ภายหลังการฉีดกระตุ้นนอกจากนี้ การศึกษาการแสดงออกของยีน Casp3-TL ในปลา尼ล ภายหลังจากการกระตุ้นด้วยเชื้อ *S. agalactiae* ที่ความเข้มข้น  $1 \times 10^7$  และ  $1 \times 10^9$  CFU ต่อมิลลิลิตร เปรียบเทียบกับกลุ่มของปลาปกติที่ได้รับการฉีดด้วยน้ำเกลือ 0.85% (Control) กลับพบว่าลดลงระยะเวลาของการทดลองประมาณ mRNA ที่แสดงออกในปลาทั้ง 3 กลุ่ม โดยสังเกตจากค่า Relative expression ratio มีค่าไม่แตกต่างกันตลอดระยะเวลาของการทดลอง ตั้งแต่ชั่วโมงที่ 0 จนถึงชั่วโมงที่ 96 ( $P > 0.05$ ) ซึ่งการทดลองนี้ยังให้ผลที่แตกต่างไปจากการศึกษาของ Reis *et al.* (2007) ที่พบว่าภายหลังฉีดกระตุ้นปลา Sea bass ด้วยเชื้อ *Photobacterium damsela* spp. จะมีผลทำให้ไตส่วนหน้าของปลา มีการแสดงออกของยีน Caspase-3 เพิ่มมากขึ้นตั้งแต่ชั่วโมงที่ 3 ถึง 24 ภายหลังจากการฉีดกระตุ้น

อย่างไรก็ตาม การศึกษาการแสดงออกของยีน Casp3-TL ในเซลล์เม็ดเลือดขาวที่แยกได้จากการแสแลือด และถูกกระตุ้นด้วยเชื้อ *A. hydrophila* ที่ความเข้มข้น  $1 \times 10^5$  CFU ต่อมิลลิลิตร และ Concanavalin A ความเข้มข้น 10 ไมโครกรัมต่อมิลลิลิตร ในหลอดทดลอง กลับพบว่าในชั่วโมงที่ 48 ค่า Relative expression ratio ของยีน Casp3-TL ในกลุ่มของเม็ดเลือดขาวของปลาที่ได้รับการกระตุ้นด้วยเชื้อ *A. hydrophila* ที่ความเข้มข้น  $1 \times 10^5$  CFU ต่อมิลลิลิตร มีค่าลดลง ซึ่งส่วนทางกับกลุ่มควบคุมที่มีการแสดงออกเพิ่มสูงขึ้น ใกล้เคียงกับก่อนการทดลอง แต่เมื่อเข้าสู่ชั่วโมงที่ 72 ของการทดลองเม็ดเลือดขาวของปลาในกลุ่มควบคุมและกลุ่มที่ถูกกระตุ้นด้วย *A. hydrophila* กลับมีค่า Relative expression ratio เพิ่มสูงขึ้นและแตกต่างอย่างมีนัยสำคัญทางสถิติกับกลุ่มที่ได้รับการกระตุ้นด้วย Concanavalin A ในระดับประมาณ 3 และ 4 เท่า ตามลำดับ ( $P < 0.05$ ) แสดงให้เห็นว่าการกระตุ้นเซลล์เม็ดเลือดขาวด้วยเชื้อ *A. hydrophila* และ Concanavalin A ที่ระดับความเข้มข้นดังกล่าวอาจมีผลขับย้งการแสดงออกของยีน Casp3-TL ในช่วงเวลาที่แตกต่างกันได้ซึ่งแตกต่างจากการรายงานของ Shao *et al.* (2004) ที่ได้ทำการศึกษาผลของเชื้อ *Aeromonas hydrophila* ต่อการเกิดการตายแบบ Apoptosis ใน Lymphocytes ของปลา *Carassius auratus* จากการทดลองในหลอดทดลอง (*In vitro*) พบว่าหลังจากที่ได้รับการกระตุ้นด้วย *A. hydrophila* นาน 12 ชั่วโมง พบร่วมกับการลดลงของ Lymphocytes ที่ได้จากม้ามและได้ส่วนหนึ่งของการเปลี่ยนแปลงลักษณะของเซลล์ที่เป็นรูปแบบของการตายของเซลล์แบบ Apoptosis ได้อย่างชัดเจน ทั้งจากการสังเกตจากสัมฐานวิทยาและการแตกหักของ Genomic DNA โดยการเปลี่ยนแปลงสัมฐานวิทยาที่สำคัญ ได้แก่ การหดและรวมตัวของโครมาติน การเพิ่มขึ้นของ Apoptotic body การเปลี่ยนรูปร่างของ Organelle ภายในเซลล์ การเกิด Vaculoue ภายในใช้トイพลาซึมและการเกิดการเลียสภารของเซลล์เมมเบรน โดยการตอบสนองโดยกระบวนการ Apoptosis จะขึ้นอยู่กับความเข้มข้นและระยะเวลาที่ทำการทดลอง การศึกษานี้จึงแสดงให้เห็นได้ว่า Lymphocytes ของปลามีกลไกในการตอบสนองต่อการกระตุ้นด้วยเชื้อบนแบบที่เรียก *A. hydrophila* ได้อย่างชัดเจน

เป็นที่ทราบแล้วว่า Group B Streptococcus นั้น เป็นแบคทีเรียที่สามารถก่อให้เกิดโรคได้ทั้งในสัตว์มีกระดูกสันหลังและสัตว์高等 หลายชนิด รวมถึงกลุ่มของปลา ซึ่งแบคทีเรียกลุ่มนี้ จะมีกลไกหลาย ๆ กลไกในการรอดพ้นจากการต้านทานของระบบภูมิคุ้มกัน เช่น การรอดพ้นจากกระบวนการ Phagocytosis ของเซลล์ Macrophage และ Polymorphonuclear (PMN) cell โดยการใช้ Anti-phagocytic capsule (Spellerberg, 2000) นอกจากนี้ การศึกษาในหลาย ๆ รายงานในปัจจุบันได้ชี้ให้เห็นอย่างชัดเจนว่าแบคทีเรียในกลุ่ม Group B Streptococcus หลายชนิด สามารถกระตุ้นให้เซลล์ของ Host ซึ่งเป็นสัตว์ที่มีกระดูกสันหลัง โดยทั่วไปเกิดการตายแบบ Apoptosis ได้โดยเฉพาะอย่างยิ่งการกระตุ้นทำให้เกิด Apoptosis ในเซลล์ Monocytes และ Macrophage ซึ่งทำ

หน้าที่สำคัญในการด้านทานการบุกรุกของเชื้อโรคและสิ่งแผลกปลอม ในการเป็นค่านแรกของระบบภูมิคุ้มกันแบบไม่จำเพาะเจาะจง นอกจากนี้ภัยหลังจากการตอบสนองต่อเชื้อโรคหรือสิ่งแผลกปลอมที่บุกรุกเข้ามาภายใน Host แล้ว เชลล์ Macrophage ยังทำหน้าที่สำคัญในการเชื่อมต่อ และก่อให้เกิดการตอบสนองทางภูมิคุ้มกันแบบจำเพาะเจาะจงตามมา โดยจะทำหน้าที่สำคัญในการเป็น Antigen presenting cell (APC) สำหรับกลุ่มเซลล์ในระบบการตอบสนองแบบจำเพาะเจาะจง เช่น B และ Helper T lymphocytes สำหรับความสามารถของ Group B Streptococcus ในการเกิด Apoptosis เพื่อให้เซลล์อดพื้นจากระบบภูมิคุ้มกันของ Host นั้น จะมีกลไกที่สามารถอธิบายได้อย่างชัดเจนในหลาย ๆ รายงาน เช่น การศึกษาของ Marriott and Dockrell (2006) ที่ได้ทำการศึกษาการเกิด Apoptosis ที่มีสาเหตุมาจากเชื้อ *Streptococcus pneumoniae* ซึ่งโดยปกติจะก่อโรคในคนทำให้เกิดอาการของโรคที่เรียกว่า Pneumococcal meningitis และ Pneumonia โดยเฉพาะในสมองนั้น ภัยหลังจากการถูกบุกรุกด้วยเชื้อตังกล่าวแล้วจะมีการเกิด Apoptosis ขึ้นอย่างรุนแรง ซึ่งเป็นผลเนื่องมาจากการคุณภาพของเชื้อโรค เช่น Cell wall ของเชื้อ *S. pneumoniae* และองค์ประกอบจาก Host factors เช่น Cholesterol-dependent cytolysin และ pneumolysin ในสมองซึ่งจะมีความสำคัญในการกระตุ้นให้เกิดการสร้าง Hydrogen peroxide ในกระบวนการ Pneumococcal production

เช่นเดียวกันกับ Buratta *et al.* (2002) ยังพบว่า Group B Streptococcus สามารถชักนำ Macrophage ของคนให้เกิดการตายของเซลล์แบบ Apoptosis ได้เช่นกัน โดยระหว่างการเกิด Apoptosis นั้น เชลล์ Macrophage จะเกิดการหลัง Phosphatidylserine ออกมานเป็นจำนวนมาก จึงมีการใช้สารชนิดนี้เป็นดัชนีที่บ่งถึงการเกิด Apoptosis ในเซลล์ Macrophage ได้ นอกจากนี้ Fettucciaro *et al.* (2003) ยังพบว่า Group B Streptococcus ยังสามารถชักนำทำให้เกิดการตายแบบ Apoptosis ของ Macrophage ได้โดยการหลังสารจำพวก  $\beta$ -hemolysin โดยพบว่าระหว่างการเกิด Apoptosis ของเซลล์ Macrophage ที่เกิดจากการชักนำของ Group B Streptococcus ในสภาพที่มีชีวิตนั้น จะมีผลทำให้เซลล์มีการสร้างโปรตีนในกลุ่ม JNK และ p38 ออกมาระรื่องกันในปริมาณมาก พร้อมกับการยับยั้งโปรตีน Extracellular signal-regulated kinase (ERK) ซึ่งโปรตีนทั้ง 3 ชนิดนี้ จัดเป็นสมาชิกที่สำคัญของโปรตีนในกลุ่ม Mitogen activated protein kinases (MAPKs) ที่มีความสำคัญอย่างมากในการเกิด Apoptosis ในเซลล์ Macrophage ของสิ่งมีชีวิต เช่นเดียวกันกับการศึกษาของ Evans *et al.* (2000) ได้รายงานว่าปลาโนลิตที่ได้รับการฉีดด้วยเชื้อ *S. iniae* จะมีการผลิตโปรตีนในกลุ่ม Apoptosis regulatory factors ออกมาระบุคคลน้ำที่ช่วยให้เซลล์ Nonspecific cytotoxic cell (NCC) ที่สกัดได้จากม้า ได้ส่วนหน้าและ Peripheral blood ของปลาปกติมีการสร้าง Cytosolic FasL ซึ่งถือเป็น Factor หนึ่งที่สามารถโน้มนาำทำให้เกิด Apoptosis ในเซลล์ให้มีการแสดงออกของยีนชนิดนี้ได้เช่นกัน นอกจากนี้ Ulett and Anderson (2006) ที่พบว่า Group B

*Streptococcus agalactiae* สามารถชักนำทำให้เกิด Apoptosis ในเซลล์ Macrophage ได้เช่นเดียวกัน โดยพบว่าเซลล์ Macrophage ที่ถูกบุกรุกด้วยเชื้อ *S. agalactiae* จะมีกิจกรรมของ Caspase-3 activity เพิ่มขึ้นสูงถึง 4.4 เท่า ในชั่วโมงที่ 24 และเป็น 1.7 เท่า ในชั่วโมงที่ 48 ภายหลังจากการติดเชื้อ ซึ่งแตกต่างกันอย่างมีนัยสำคัญยิ่งทางสถิติกับกลุ่มควบคุม ( $P<0.01$ ) ที่ไม่ได้รับการกระตุ้นด้วยเชื้อ ดังกล่าว นอกจากนี้ Group B *S. agalactiae* ยังสามารถชักนำให้มีการปลดปล่อยโปรตีน Cytochrome C ซึ่งสร้างจากไมโตคอนเดรียให้มีการหลั่งเพิ่มขึ้น และทำให้เกิดการเปลี่ยนแปลงศักย์ไฟฟ้าที่บริเวณ Mitochondrial membrane อย่างรุนแรงอีกด้วย นอกจากนี้ผลของการกระตุ้นยังมีผลกระทบไปถึงการเพิ่มการแสดงออกของ โปรตีนในกลุ่ม Pro-apoptosis ซึ่งได้แก่ โปรตีน Bad และกลุ่ม โปรตีนที่ทำหน้าที่ในการควบคุมและกำหนดบริเวณในการเกิด Apoptosis ที่สำคัญได้แก่ 14-3-3, Bcl-X<sub>L</sub> และ Omi/HtrA2 เป็นต้น

เมื่อพิจารณาข้อมูลเบื้องต้นจากการศึกษาในครั้งนี้ และจากการรายงานที่ผ่านมาใน ข้างต้นสามารถตั้งข้อสังเกตได้ว่า Group B *Streptococcus* สามารถทำให้เกิดการตายแบบ Apoptosis ในเซลล์ Macrophage หรือ Monocytes ของสัตว์ในกลุ่มมีกระดูกสันหลัง ได้จริง แต่ผลของการนี้ด กระตุ้นปานินิลด้วยเชื้อ *S. agalactiae* ทึ้งในระดับ  $1 \times 10^7$  จนถึง  $1 \times 10^9$  CFU ต่อมิลลิลิตร ทึ้งในการศึกษาโดยการใช้เทคนิค Semi-quantitative RT-PCR และ Quantitative real-time PCR กลับไม่พบว่ากลุ่มของปลาที่ได้รับการกระตุ้นด้วยเชื้อแบคทีเรีย *S. agalactiae* มีการแสดงออกของยีน Casp3-TL เพิ่มมากขึ้นแต่ต่างกับกลุ่มควบคุม และคงให้เห็นว่าการเกิด Apoptosis ในปานินิลนี้จะเกิดขึ้นจากการกระบวนการ (Pathway) ที่ไม่จำเป็นต้องอาศัยการทำงานของยีน Caspase-3 ในการเห็นนี้ยังนำทำให้เกิดการตายของยีนแบบ Apoptosis

## 2.2 การแสดงออกของยีน Granzyme ในปานินิล

จากข้อมูลจนถึงขณะปัจจุบันนี้ทำให้เราทราบว่าในกลุ่มของปานินิลไม่ปรากฏมีการรายงาน Population ของ T cell ในปลาที่ชัดเจน อย่างไรก็ตาม Nonspecific cytotoxic cells (NCC) ซึ่งทำหน้าที่เทียบได้กับ Natural killer cells ในสัตว์ชั้นสูง ได้ถูกค้นพบครั้งแรกใน Channel catfish (Graves *et al.* 1985) และภายหลังก็สามารถพบรายงานในกลุ่มของปลา Catfish, Tilapia และ Trout เช่นเดียวกัน (Faisal *et al.*, 1989; Jaso-Friedmann *et al.*, 1990; Greenlee *et al.*, 1991) แม้กระนั้นก็ตามการศึกษาเกี่ยวกับยีนที่เกี่ยวข้องกับการทำหน้าที่ของเซลล์ชนิดนี้โดยตรงโดยเฉพาะอย่างยิ่งยีน Granzyme นี้ยังถือว่าไม่อยู่อย่างจำกัด

จากข้อมูลในปัจจุบันพบว่ายืน Granzymes นั้น มีการแสดงออกใน Noncytolytic lymphoid cells ซึ่งจะมีการพัฒนาไปเป็น Natural killer cells, Cytotoxic CD4 and CD8 T cells รวมทั้ง T cell บางชนิด (Regulatory T cells) ซึ่งจะมีระดับการแสดงออกแตกต่างกันออกไปโดย ขึ้นกับชนิดของเซลล์และการกระตุ้นจากตัวกระตุ้นต่างๆ (Russell and Ley, 2002) อย่างไรก็ตาม Ebnet *et al.* (1995) ได้ใช้เทคนิค RT-PCR ตรวจสอบการแสดงออกของยืน Granzyme A, B และ C พบว่า mRNA ของยืน Granzymes เหล่านี้มีการแสดงออกใน Progenitor T cells ของหนู (Mouse) ด้วย Granzyme B สามารถพบรการแสดงออกได้ใน Prothymocytes ของตับของตัวอ่อนหนู ขณะที่ Granzyme A, B และ C มีการแสดงออกใน Double-negative thymocytes นอกจากนี้ B-chronic lymphocytic leukemia (B-CLL) cells ที่ถูกกระตุ้นด้วย Interleukin-21 (IL-21) ซึ่งโดยปกติ จะมีการแสดงออกของยืน Granzyme B ในระดับเบาบางจะสามารถถูกกระตุ้นให้มีการแสดงออกเพิ่มมากขึ้นอย่างชัดเจน โดยการกระตุ้นด้วย CpG oligodeoxynucleotide หรือ Anti-B cell receptor (anti-BCR) antibody (Jahrdsorfer *et al.*, 2006) นอกจากนี้การกระตุ้นด้วย CpG oligodeoxynucleotide และ Anti-B cell receptor (anti-BCR) antibody ไปพร้อมๆ กัน สามารถกระตุ้นการแสดงออกใน Human B cells, Epstein-Barr virus-transformed lymphoblast รวมทั้ง Lymphoma cell lines อีกหลายๆ ชนิดได้อีกด้วย (Jahrdsorfer *et al.*, 2006)

นอกเหนือจาก Lymphoid cells ที่พบว่ามีการแสดงออกของยืน Granzymes แล้ว ใน Non-lymphoid cells หลายชนิดก็พบว่ามีการแสดงออกของยืน Granzyme เช่นเดียวกัน โดยเฉพาะ ยืน Granzyme B ที่พบว่าสามารถพบรการแสดงออกใน กลุ่มของ Myeloid cells หลายชนิดโดยไม่ พบว่ามีการแสดงออกของยืน Perforin ควบคู่ไปด้วย โดยเฉพาะอย่างยิ่งใน Human plasmacytoid dendritic cells (pDCs) (Rissoan *et al.*, 2002) เช่นเดียวกับ Neoplastic human mast cells ซึ่งสามารถ พิสูจน์ได้ทั้งการทดลองใน *In vivo* และ *In vitro* ในขณะที่หนู (Mouse) นั้นสามารถพบรการแสดง ออกของ Granzyme B ใน Skin-associated mast cells และใน Bone marrow derived in vitro-differentiated mast cells เท่านั้น แต่กลับไม่พบใน Mast cells ที่แยกได้จากปอด (Lung mast cells) แต่อย่างใด และยังไม่พบว่า Mast cells ของหนูนั้นมีการแสดงออกของยืน Granzyme A และ Perforin ด้วยเช่นกัน นอกจากนี้ใน Human basophils ซึ่งมีสายการพัฒนาที่มีความสัมพันธ์กันอย่าง ใกล้ชิดกับ Mast cells นั้นพบว่า IL-3 สามารถชักนำให้มีการสร้าง Granzyme B โดยไม่พบว่ามีการ แสดงออกของยืน Granzyme A และ Perforin เลย นอกจากนี้ จากการรายงานของ Wagner *et al.* (2004) และ Hochegger *et al.* (2007) ได้รายงานว่า Human neutrophils สามารถสร้าง Granzyme B และ Perforin ไปพร้อมๆ กัน อย่างไรก็ตามรายงานดังกล่าวนั้นได้ก่อให้เกิดข้อโต้แย้งตามมา มากน้อย

นอกจากนี้การแสดงออกของ Granzyme B ก็สามารถพบได้ในระบบสืบพันธุ์ของมนุษย์โดยเฉพาะ Spermatocytes ที่กำลังพัฒนา รวมทั้ง Trophoblasts ที่พับในรกร (Placenta) ด้วย (Hirst *et al.*, 2001) นอกจากนี้ Sasson *et al.* (2001) คืบพว่า Granulosa cells ของ Human ovary ก็สามารถสร้าง Granzyme ชนิดนี้ เพื่อตอบสนองต่อ Follicle stimulating hormone เช่นเดียวกัน ขณะที่การแสดงออกของยีน Granzyme ชนิดอื่น ๆ ก็สามารถพบได้ใน Non-lymphoid cells ของหนู Mouse ที่สำคัญ คือ Granzyme K และ Granzyme M โดยพบว่า Granzyme M นั้น มีการแสดงออกมากอย่างเป็นปกติใน Photoreceptor cells ของ Ratina อีกด้วย (Taniguchi *et al.*, 1999) อย่างไรก็ตามการสร้าง mRNA ของเซลล์เหล่านี้สามารถผลิต mRNA ในรูปแบบของ Alternatively splicing form ออกมาในปริมาณที่สูงกว่ามาก เช่นเดียวกับ Granzyme M, Granzyme K ก็สามารถพบ Alternatively splicing form แสดงออกมาอย่างมากในเซลล์สมองเช่นเดียวกัน (Suemoto *et al.* 1999)

จากการศึกษาการแสดงออกของยีน Granzyme ของปลา尼ลหรือ Granz-TL โดยการใช้เทคนิค RT-PCR ในครั้งนี้พบว่าในปลาปกติที่ถูกนิ่ดด้วยน้ำแข็งลีโอ 0.85% จะมีการแสดงออกของ Granz-TL ในอวัยวะที่เกี่ยวข้องกับ Lymphoid cells อย่างชัดเจน โดยมีการแสดงออกสูงสุดใน PBLs รองลงมาคือ ไตส่วนหน้า ไตส่วนหลังและม้ามเท่านั้น ขณะที่อวัยวะอื่น ๆ ไม่มีการแสดงออกเลย ซึ่งให้ผลสอดคล้องกับการศึกษาของ Praveen *et al.* (2004) ที่ใช้เทคนิค RT-PCR ในการศึกษาการแสดงออกของยีน Granzyme ในปลา Channel catfish ซึ่งพบว่า ในปลาปกตินี้ ไตส่วนหน้า และ NCC cell เป็นเนื้อเยื่อที่มีการแสดงออกของยีน Granzyme มากที่สุดและพบการแสดงออกปานกลางในม้าม ตับ เหงือกและ ไตส่วนหลัง ตามลำดับ อย่างไรก็ตาม เมื่อทำการสกัดเอาเฉพาะ NCC cell จาก Peripheral blood ไตส่วนหน้าและม้าม ทำให้สามารถพบรการแสดงออกของยีน Granzyme ในปลา Channel catfish ได้มากขึ้นอย่างชัดเจน

เช่นเดียวกับการศึกษาของ Wernersson *et al.* (2006) ที่ใช้เทคนิค Northern blot analysis เพื่อศึกษาการแสดงออกของยีน Granzyme A/K และ Granzyme-like I ในปลา Atlantic cod ซึ่งพบว่ายีน Granzyme A/K มีการแสดงออกในม้าม ไตส่วนหน้า Thymus และหัวใจเท่านั้น โดยม้ามจะมีการแสดงออกมากที่สุด ขณะที่อวัยวะอื่น ๆ มีการแสดงออกอย่างเบาบางเท่านั้น ในขณะที่ยีน Granzyme-like I มีการแสดงออกในระดับที่สูงและสามารถสังเกตได้อย่างชัดเจนในม้าม ไตส่วนหน้าและ Thymus เท่านั้น นอกจากนี้ Praveen *et al.* (2006a) ได้ทำการศึกษาการแสดงออกของยีน Granzyme ในปลา尼ล (TLGR-1) โดยการใช้เทคนิค RT-PCR พบร่วมกับ TLGR-1 มีการแสดงออกใน Nonspecific cytotoxic cells ที่แยกได้จากเลือดของปลา尼ล Peripheral blood

leukocytes และ ไトイส่วนหน้าเท่านั้น ผลจากการศึกษาข้างต้นนี้แสดงให้เห็นว่าในปลาปกติถึงแม้ ไม่ได้อ่าย ในสภาพของการติดเชื้อ ก็ยังสามารถตอบการแสดงออกของยีน Granzyme ได้ในอวัยวะ สำคัญ ๆ ที่เกี่ยวข้องกับการตอบสนองทางภูมิคุ้มกัน ซึ่งน่าจะเป็นผลมาจากการอวัยวะเหล่านั้นน่าจะมี NCC cell ของปลาหรือ cytotoxic T cell subpopulation กระจายตัวอยู่ในอวัยวะเหล่านั้นก็ได้

อย่างไรก็ตาม เมื่อทำการทดสอบกับปานิลที่ถูกฉีดกระตุ้นด้วยเชื้อ *S. agalactiae* กลับพบว่า ไトイส่วนหน้า ไトイส่วนหลังและม้าม มีการแสดงออกของยีน Granz-TL เพิ่มสูงขึ้นอย่างชัดเจน เช่นเดียวกับในสมองที่มีการแสดงออกมากที่สุดและเห็นได้ชัด เมื่อเทียบกับปลาปกติที่พบว่า ไม่มีการแสดงออกของยีน Granz-TL เลย นอกจากนี้ อวัยวะที่พบร่วมกับใน PCR product ขึ้นมาให้เห็นในระดับที่พอสามารถสังเกตได้ แสดงให้เห็นว่า เชื้อ *S. agalactiae* สามารถเหนี่ยวนำให้ปานิลมีการตอบสนองทางภูมิคุ้มกัน โดยการสร้าง Granz-TL ออกมากอย่างชัดเจน และเมื่อทำการศึกษาการแสดงออกของยีน Granz-TL ภายหลังจากการฉีดกระตุ้นปานิลทดลองด้วยเชื้อ *S. agalactiae* ที่ระดับความหนาแน่นของเซลล์  $1 \times 10^7$  และ  $1 \times 10^9$  CFU ต่อมิลลิลิตร ตามลำดับ ด้วยเทคนิค Real-time PCR กลับพบว่า ในชั่วโมงที่ 24 ภายหลังจากการฉีดเชื้อ ปลาในกลุ่มที่ได้รับการกระตุ้นด้วย เชื้อ *S. agalactiae* ทั้งสองความเข้มข้นจะมีการแสดงออกของยีน Granz-TL ในไトイส่วนหน้าเพิ่มสูงขึ้นและแตกต่างจากกลุ่มควบคุมถึง 11 เท่า และ 3 เท่า ตามลำดับ ( $P < 0.05$ ) แสดงให้เห็นว่า เชื้อ *S. agalactiae* สามารถกระตุ้นการตอบสนองทางภูมิคุ้มกันในกระบวนการ Cytotoxicity ได้ เช่นเดียวกัน ซึ่งให้ผลคล้ายคลึงกับการศึกษาของ Caipang *et al.* (2009) ที่ได้ทำการศึกษาผลของการให้วัคซีน Heat-killed *Vibrio anguillarum* ต่อการแสดงออกของยีนที่เกี่ยวข้องกับระบบภูมิคุ้มกันในม้ามของปลา Atlantic cod (*Gadus morhua*) โดยการใช้เทคนิค Semi-quantitative RT-PCR พบว่า ภายหลังจากที่ได้รับวัคซีน ตั้งแต่วันที่ 1, 3, 7 และ 10 ของการให้วัคซีน ปลาในกลุ่มที่ได้รับวัคซีนจะมีการแสดงออกของยีน Non-specific cytotoxic cell receptor protein-1 (NCCRP-1) และ Granzyme A/K เพิ่มสูงขึ้นแตกต่างกันอย่างมีนัยสำคัญทางสถิติกับกลุ่มควบคุมอย่างชัดเจน ( $P < 0.05$ ) เช่นเดียวกับการรายงานของ Wang *et al.* (2009) ที่พบว่า ภายหลังจากที่หมูทดลองที่ได้รับการฉีดกระตุ้นด้วย *Mycobacterium tuberculosis* vaccine จะมีการแสดงออกของยีน Granzyme B เพิ่มสูงขึ้นแตกต่างกันอย่างมีนัยสำคัญกับกลุ่มควบคุม ( $P < 0.05$ ) ซึ่ง Toossi *et al.* (2004) และ Andersson *et al.* (2007) ได้อธิบายว่า กลไกของระบบภูมิคุ้มกันที่ใช้ในการต้านทานต่อเชื้อ *M. tuberculosis* จะขึ้นอยู่กับการหลัง Effector molecules หลักชนิดโดยเฉพาะ โปรตีนในกลุ่มของ Granzymes ซึ่งได้แก่ Granzyme B ที่มีการหลังออกมากจาก CD8<sup>+</sup> T cells ในกระบวนการ Cytotoxicity ในการทำลายเซลล์เป้าหมายที่มีการติดเชื้อ *M. tuberculosis* อย่างภายใน

อย่างไรก็ตาม เมื่อทำการศึกษาการแสดงออกของยีน Granz-TL ในเซลล์เม็ดเลือดขาวที่ได้รับการกระตุ้นด้วยเชื้อ *A. hydrophila* และ Concanavalin A ในหลอดทดลอง (*In vitro*) ด้วยเทคนิค Real-time PCR กลับพบว่าลดลงช่วงเวลาที่ทำการทดลองตั้งแต่ 6 จนถึง 72 ชั่วโมง การแสดงออกของยีน Granz-TL ในเซลล์เม็ดเลือดขาวของปลาทั้งสองกลุ่มรวมถึงกลุ่มควบคุม มีแนวโน้มเพิ่มสูงขึ้น โดยเฉพาะในชั่วโมงที่ 48 และ 72 ที่พบว่ามีการแสดงออกสูงสุด โดยที่ในชั่วโมงที่ 72 จะมีระดับการแสดงออกของยีน Granz-TL ในกลุ่มควบคุมและกลุ่มที่ได้รับการกระตุ้นด้วยเชื้อ *A. hydrophila* และ Concanavalin A เป็น 15, 18 และ 12 เท่า ตามลำดับ เมื่อเปรียบเทียบกับก่อนการทดลอง แต่ก็ไม่พบว่ามีความแตกต่างกันทางสถิติแต่อย่างใด ( $P>0.05$ ) ทั้งนี้อาจจะมีผลเนื่องมาจากเซลล์เม็ดเลือดขาว (PBLs) ที่นำมาใช้ในการทดลองครั้งนี้ได้มาจากการสกัดจากปานิลตัวอย่างหลาย ๆ ตัว ซึ่งอาจเป็นผลทำให้เกิดปรากฏการณ์ที่เรียกว่า Mixed leukocytes reaction (MLR) (Heiger *et al.*, 1977; Caspi *et al.*, 1984) โดย Population ของเซลล์เม็ดเลือดขาวโดยเฉพาะ Cytotoxic like T cell รวมทั้ง Nonspecific cytotoxic cell (NCC) เกิดการแยกแยะและจดจำเซลล์เม็ดเลือดขาวใน Population ที่แตกต่างกัน ส่งผลให้มีการหลัง Effector molecules ออกมากำราบซึ่งกันและกันเป็นจำนวนมาก โดยหนึ่งในนั้นอาจเป็นยีน Granz-TL ที่พบในการศึกษาครั้งนี้ อย่างไรก็ตาม จากการศึกษาของ Praveen *et al.* (2006a) ที่ได้ทำการศึกษาการแสดงออกของยีน Granzyme-1 (TLGR-1) ภายหลังจากการกระตุ้น NCC cell ซึ่งแยกได้จาก PBLs ในปลาทดลองเพียงตัวเดียว โดยใช้ Recombinant tilapia TNF-alpha, Phorbol 12-myristate-13-acetate (PMA) ผสมกับ Calcium ionophore และ Lipopolysaccharide (LPS) ซึ่งสกัดได้จาก *E. coli* พบว่า Recombinant tilapia TNF-alpha สามารถกระตุ้นการแสดงออกของยีน TLGR-1 ใน NCC cell ได้ถึง 29 และ 12 เท่า ภายใน 2 และ 4 ชั่วโมง ตามลำดับ ขณะที่ PMA ผสมกับ Calcium ionophore สามารถกระตุ้นการแสดงออกของยีน TLGR-1 ใน NCC cell ได้ถึง 2 และ 2.5 เท่า ภายใน 2 และ 4 ชั่วโมง ตามลำดับ จากการทดลองดังกล่าวเนี้ยทำให้สามารถทราบถึงกลไกการตอบสนองทางภูมิคุ้มกันของปานิลในการสร้างโปรตีน Granzyme ออกมาตอบสนองต่อตัวกระตุ้นชนิดต่าง ๆ ได้อย่างชัดเจน โดยเฉพาะการตอบสนองต่อ Concanavalin A ซึ่งเป็นที่ทราบดีแล้วว่ามีคุณสมบัติในการเป็นสาร Mitogen ที่มีคุณสมบัติในการกระตุ้นการแบ่งเซลล์ของเม็ดเลือดขาวในกลุ่ม T lymphocytes ได้อย่างจำเพาะเจาะจง

การศึกษาในครั้งนี้สามารถค้นพบลำดับนิวคลีโอไทด์ทั้งหมดที่สมบูรณ์ (Full-length) ของ Complementary DNAs (cDNAs) ของยีนที่เกี่ยวข้องกับการตายของเซลล์แบบ Apoptosis (Program cell death) ในระบบภูมิคุ้มกันของปานิล 2 ชนิด ซึ่งได้แก่ Caspase-3 (Casp3-TL) และ

Granzyme (Granz-TL) ได้ถูกโคลนโดยการสืบค้นและการใช้เทคนิค 5' Rapid Amplification cDNA Ends (RACE) PCR ซึ่ง Full-length ของ cDNA ของยีน Casp3-TL มีขนาด 2,612 bp ซึ่งประกอบด้วย ลำดับนิวคลีโอไทด์ที่ไม่เกี่ยวข้องกับการสร้างโปรตีน (Untranslated region; UTR) ทางด้านปลาย 5' และ 3' เป็น 79 และ 1,684 bp ตามลำดับ นอกจากนี้ลำดับนิวคลีโอไทด์ที่เกี่ยวข้องกับการสร้างโปรตีน (Open reading frame: ORF) มีความยาวเท่ากัน 846 bp คิดเป็นสายเปปไทด์ของกรดอะมิโนความยาว 282 Residues เมื่อพิจารณาถึงโครงสร้างของโปรตีนพบว่า Casp3-TL ของปแลนิล ประกอบไปด้วย Domain ที่สำคัญได้แก่ Prodomain, Large และ Small subunit ซึ่งไม่พบว่ามีส่วนของ Hydrophobic leader sequence อยู่เลย ซึ่งมีโครงสร้างคล้ายคลึงกับยีน Caspase-3 ของสัตว์ชีวิตอื่น ๆ โดยพบว่าในส่วนของ Catalytic domain ประกอบไปด้วย Histidine active site ซึ่งจัดเป็นลำดับกรดอะมิโนที่เป็นสัญลักษณ์ของยีนในกลุ่มนี้ (The Caspase family signature) และ Pentapeptide active-site motif หรือ Cysteine active site (QACRG) ที่อยู่ในบริเวณ Large subunit และ Protein binding domain (GSWFI) ที่พับในบริเวณ Small subunit ตามลำดับ ส่วนการศึกษาถึงความสัมพันธ์เชิงวิัฒนาการของยีน Casp3-TL พบว่า Casp3-TL ถูกจัดอยู่ในกลุ่มของยีน Caspase-3 ของปลาและแยกออกจากกลุ่มยีน Caspase-3 ของสัตว์มีกระดูกสันหลังอย่างชัดเจน

ขณะที่ Full-length ของ cDNA ของยีน Granz-TL มีขนาด 1,412 bp ซึ่งประกอบด้วย ลำดับนิวคลีโอไทด์ที่ไม่เกี่ยวข้องกับการสร้างโปรตีน ทางด้านปลาย 5' และ 3' เป็น 125 และ 519 bp ตามลำดับ นอกจากนี้ลำดับนิวคลีโอไทด์ของ ORF มีความยาวเท่ากัน 765 bp คิดเป็นสายเปปไทด์ของกรดอะมิโนความยาว 255 Residues เมื่อพิจารณาถึงโครงสร้างของ Mature โปรตีนพบว่า Granz-TL ของปแลนิล ประกอบด้วยบริเวณ Active site 3 ตำแหน่ง เช่นเดียวกับที่พับในสัตว์ชีวิต ชนิดอื่น ๆ โดยในบริเวณ Active site ที่ 1 จะมีกรดอะมิโน Histidine (His), ตำแหน่ง Active site ที่ 2 จะมีกรดอะมิโน Aspartic acid (Asp) และตำแหน่ง Active site ที่ 3 จะมีกรดอะมิโน ( $H_{67}\text{-}D_{110}\text{-}S_{208}$ ) ซึ่งจะเป็นลำดับกรดอะมิโนที่เป็นป้าหมายที่ใช้ในการแสดงลักษณะและทำหน้าที่ของยีนในกลุ่ม Serine protease ที่เรียกว่า Catalytic triads ส่วนการศึกษาถึงความสัมพันธ์เชิงวิัฒนาการโดยใช้ Phylogenetic tree พบว่า Granz-TL ถูกจัดอยู่ในกลุ่มของยีน Granzyme A/K ของปลาและ Granzyme A และ K ของสัตว์มีกระดูกสันหลังชั้นสูง และแยกออกจากยีน Granzyme-1 ในปแลนิล ที่ถูกรายงานไว้ก่อนหน้านี้อย่างชัดเจน

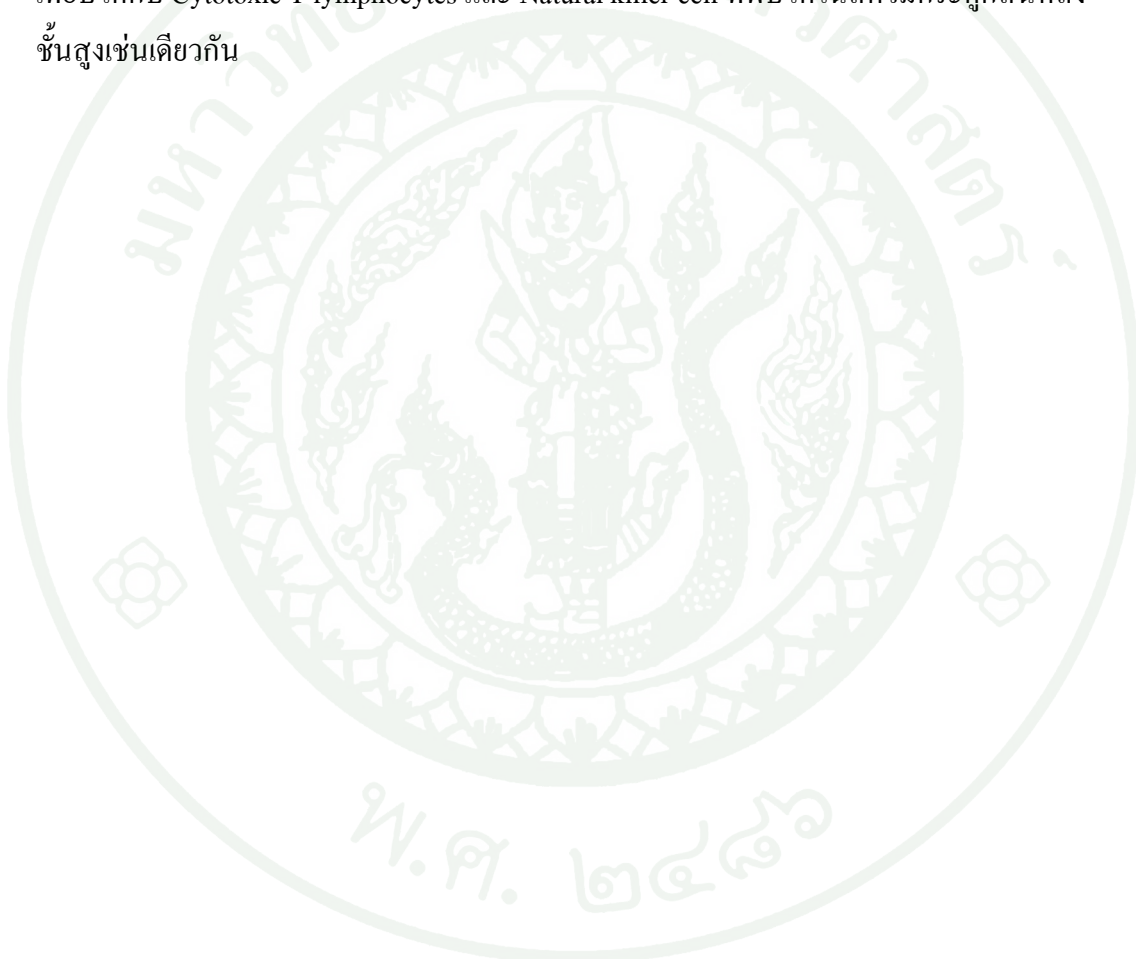
ผลการศึกษาการแสดงออกของยีนในเนื้อเยื่อต่าง ๆ โดยใช้เทคนิค RT-PCR พบว่าในปลาปกติ ยีน Casp3-TL มีการแสดงออกนานาในทุก ๆ อวัยวะ ขณะที่ยีน Granz-TL มีการแสดงออกมากที่สุดในเม็ดเลือดขาวในเลือด (Blood peripheral leukocytes: PBLs) และมีการ

แสดงออกไม่มากนักใน ไตส่วนหน้า ม้ามและ ไตส่วนหลังเท่านั้น และเมื่อทำการตรวจสอบการแสดงออกของยีนทั้ง 2 ชนิด ในปานิลที่ถูกนិดกระตุนด้วยเชื้อ *Streptococcus agalactiae* เป็นเวลา 3 วัน พบร่วงดับการแสดงออกของยีน Casp3-TL ไม่มีความแตกต่างกับปลาปกติ ขณะที่ยีน Granz-TL มีการแสดงออกเพิ่มสูงขึ้นอย่างชัดเจนในสมอง ไตส่วนหน้า ม้ามและ ไตส่วนหลัง ตามลำดับ นอกจากนี้การศึกษาการแสดงออกโดยใช้เทคนิค Real-time PCR ยังพบว่า ปานิลที่ถูกนិดกระตุนด้วยเชื้อ *S. agalactiae* ที่ระดับความเข้มข้น  $1 \times 10^7$  และ  $1 \times 10^9$  CFU ต่อมิลลิลิตร มีการแสดงออกของยีน Casp3-TL ไม่แตกต่างจากกลุ่มควบคุมในทุกช่วงเวลาตั้งแต่ 1 จนถึง 96 ชั่วโมง ซึ่งต่างจากยีน Granz-TL ที่พบว่าในชั่วโมงที่ 24 ปลาที่ถูกกระตุนด้วยเชื้อแบคทีเรียมีการแสดงออกของยีนชนิดนี้เป็น 11 และ 3 เท่า เมื่อเทียบกับกลุ่มควบคุมตามลำดับ อย่างไรก็ตามเมื่อทำการทดสอบในเม็ดเลือดขาว (PBLs) ของปลาที่ถูกกระตุนด้วยเชื้อ *Aeromonas hydrophila* และ Concanavalin A พบร่วงการแสดงออกของยีน Casp3-TL ในเซลล์เม็ดเลือดขาวของปลาที่ถูกกระตุนด้วย *A. hydrophila* จะถูกยับยั้งในชั่วโมงที่ 48 ขณะที่กลุ่มที่ถูกกระตุนด้วย Concanavalin A มีการแสดงออกลดลง เช่นเดียวกัน ในชั่วโมงที่ 48 และ 72 ตามลำดับ ขณะที่ยีน Granz-TL พบร่วงการแสดงออกมีแนวโน้มเพิ่มขึ้นและสูงสุดในชั่วโมงที่ 48 และ 72 ตามลำดับ แต่ก็ไม่พบร่วงความแตกต่างของการแสดงออกของยีนของกลุ่มที่ได้รับการกระตุนกับกลุ่มควบคุมตลอดระยะเวลาของการทดลองแต่อย่างใด

จากข้อมูลที่ได้กล่าวมาแล้วในข้างต้น แสดงให้เห็นว่าการศึกษาการโคลนและการแสดงออกของยีน Caspase-3 (Casp3-TL) ในครั้งนี้ถือเป็นการรายงานครั้งแรกในปานิล และถือเป็นปานิลที่ 7 ที่ยีนชนิดนี้ได้ถูกรายงาน ผลของการศึกษาแสดงให้เห็นว่า Casp3-TL นั้น มีความคล้ายคลึงกับยีน Caspase-3 ของสั่งมีชีวิตชนิดอื่น ๆ และเมื่อทำการศึกษาการแสดงออกของยีนชนิดนี้ภายหลังจากการกระตุนด้วยเชื้อ *S. agalactiae* กลับพบว่ายีนชนิดนี้ไม่มีการเปลี่ยนแปลงของระดับการแสดงออกเมื่อเปรียบเทียบกับกลุ่มควบคุม ซึ่งเป็นข้อมูลในการสนับสนุนว่าการเกิด Apoptosis ของเซลล์ Macrophage ซึ่งเป็นผลมาจากการกระตุนด้วยเชื้อ *S. agalactiae* ในปานิล ไม่ได้มีความเกี่ยวข้องกับกระบวนการการเกิด Apoptosis ที่ต้องอาศัยกลไกการตอบสนองที่ผ่านทางยีน Caspase-3 เป็นสำคัญ

และถึงแม้ว่า ก่อนหน้านี้จะมีการรายงานการค้นพบยีน Granzyme ในปานิลไปก่อนหน้านี้แล้ว อย่างไรก็ตาม เมื่อพิจารณาถึงความคล้ายคลึงของลำดับนิวคลีโอ ไทด์ และลำดับกรดอะมิโนความสัมพันธ์เชิงวิวัฒนาการ โดยใช้ Phylogenetic tree, รูปแบบ (Pattern) ของการแสดงออกของยีน โดยใช้เทคนิค RT-PCR และทำแท่งของ Substrate specificity triplet pocket site ที่มีลำดับ

กรดอะมิโนเป็น D-G-G แสดงให้เห็นว่า Granz-TL ที่พบในปลาณิลครั้งนี้ เป็นยีน Granzyme ชนิดใหม่ที่ถูกค้นพบในการศึกษาครั้งนี้ และการศึกษาการแสดงออกของยีนโดยใช้เทคนิค RT-PCR และ Quantitative real-time PCR ภายหลังจากการกระตุ้นด้วยเชื้อ *S. agalactiae* ทำให้ทราบว่ายีนชนิดนี้ น่าจะมีส่วนสำคัญในการตอบสนองต่อการบุกรุกของเชื้อแบคทีเรีย Group B *S. agalactiae* ในปลาณิล และถึงแม้ว่า Cytotoxic T lymphocytes ในปลาณิลยังไม่มีการค้นพบหรือ Nonspecific cytotoxic cell ที่ถูกค้นพบไปก่อนหน้านี้ การค้นพบยีน Granz-TL ในการศึกษาครั้งนี้ เป็นข้อมูลที่ใช้ในการสนับสนุนอย่างชัดเจนว่าในระบบภูมิคุ้มกันของปลาณิล จะต้องมี Population ของเซลล์ที่ทำหน้าที่เทียบได้กับ Cytotoxic T lymphocytes และ Natural killer cell ที่พบได้ในสัตว์มีกระดูกสันหลัง ชั้นสูง เช่นเดียวกัน



## สรุปและข้อเสนอแนะ

### สรุป

1. การศึกษาในครั้งนี้สามารถค้นพบลำดับนิวคลีโอไทด์ที่สมบูรณ์ของ cDNA ของยีนที่เกี่ยวข้องกับการตายของเซลล์แบบ Apoptosis ที่สำคัญ 2 ชนิด คือ cDNA ของยีน Caspase-3 (Casp3-TL) และ cDNA ของยีน Granzyme (Granz-TL) ในปลาโนล โดยพบว่า Full-length ของ cDNA ของยีน Casp3-TL และ cDNA ของยีน Granz-TL ในปลาโนลนี้ มีลำดับนิวคลีโอไทด์เด่นดังนี้ ความยาว 2,612 และ 1,412 bp ตามลำดับ และมีส่วนของ Open reading frame ซึ่งสามารถอ่านได้เป็นลำดับนิวคลีโอไทด์เท่ากัน 846 และ 765 bp ตามลำดับ ซึ่งคิดเป็นลำดับอะมิโนความยาว 282 และ 255 Residues ตามลำดับ

2. การศึกษาคุณลักษณะของ Casp3-TL ในปลาโนลครั้งนี้ พบว่าส่วนที่เป็น Catalytic domain จะประกอบด้วย Histidine active site, Pentapeptide active site motif และ Protein binding domain เช่นเดียวกับที่พบในยีน Caspase-3 ของสัตว์มีชีวิตอื่น ๆ และการศึกษาคุณลักษณะของ Granz-TL ที่พบในปลาโนล มีบริเวณที่เป็น Catalytic domain จะประกอบด้วย IIYG conserve sequence, PHSRPYMA motif และ Catalytic triad residues ที่ตำแหน่งกรดอะมิโนลำดับที่ His<sub>67</sub>, Asp<sub>110</sub> และ Ser<sub>208</sub> ซึ่งเป็นลักษณะเอกลักษณ์ของยีนในกลุ่ม Serine protease ที่พบในยีน Granzyme ของสัตว์มีชีวิตอื่น ๆ และเมื่อพิจารณาถึงลำดับนิวคลีโอไทด์และลำดับกรดอะมิโน ความสัมพันธ์เชิงวิเคราะห์รวมถึงการศึกษาแสดงออกของยีน ทำให้ทราบว่ายีน Granz-TL ในปลาโนลนี้แตกต่างหรือเป็นยีนคนละชนิดกับยีน Granzyme-1 ในปลาโนลที่ได้มีรายงานไว้ก่อนหน้านี้ และยังพบว่ายีน Granz-TL ในปลาโนลมีความสัมพันธ์ใกล้ชิดกับยีน Granzyme A/K ของปลา รวมถึงยีน Granzyme A และยีน Granzyme K ของสัตว์มีกระดูกสันหลังซึ่งสูงอีกด้วย

3. ผลการศึกษาการแสดงออกของยีนในเนื้อเยื่อต่าง ๆ โดยใช้เทคนิค RT-PCR พบว่าในปลาปกติ ยีน Casp3-TL มีการแสดงเบาบางในทุก ๆ อวัยวะ ขณะที่ยีน Granz-TL มีการแสดงออกมากที่สุดใน เม็ดเลือดขาวในเลือด (Peripheral blood leukocytes: PBLs) และมีการแสดงออกบ้างในไตรส่วนหน้า ม้ามและไตรส่วนหลังเท่านั้น ตามลำดับ และการแสดงออกของยีนทั้งสองชนิดในปลาโนลที่ถูกกระตุ้นด้วยเชื้อ *Streptococcus agalactiae* เป็นเวลา 3 วัน พบว่าระดับการแสดงออกของยีน Casp3-TL ไม่มีความแตกต่างกับปลาปกติ ขณะที่ยีน Granz-TL มีการแสดงออกเพิ่มสูงขึ้นอย่างชัดเจนในสมอง ไตรส่วนหน้า ม้ามและไตรส่วนหลัง ตามลำดับ นอกจากนี้ การศึกษาการแสดงออก

โดยใช้เทคนิค Quantitative real-time PCR ยังพบว่าปลาโนลที่ถูกนีดกระตุนด้วยเชื้อ *S. agalactiae* ที่ระดับความเข้มข้น  $1 \times 10^7$  และ  $1 \times 10^9$  CFU ต่อมิลลิลิตร มีการแสดงออกของยีน Casp3-TL ไม่แตกต่างจากกลุ่มควบคุมในทุกช่วงเวลา ซึ่งต่างจากยีน Granz-TL ที่พบว่าในชั่วโมงที่ 24 ปลาที่ถูกกระตุนด้วยเชื้อแบคทีเรียมีการแสดงออกของยีนชนิดนี้เป็น 11 และ 3 เท่า เมื่อเทียบกับกลุ่มควบคุมตามลำดับ และพบว่าการแสดงออกของยีน Casp3-TL ในเซลล์เม็ดเลือดขาวของปลาที่ถูกกระตุนด้วย *A. hydrophila* จะถูกยับยั้งในชั่วโมงที่ 48 ขณะที่กลุ่มที่ถูกกระตุนด้วย Concanavalin A การแสดงออกของยีน Granz-TL มีการแสดงออกลดลงเหล่านี้เดียวกัน ในชั่วโมงที่ 48 และ 72 ตามลำดับ นอกจากนี้การศึกษาการแสดงออกของยีน Granz-TL ใน PBLs ของปลาทุกกลุ่ม มีแนวโน้มของการแสดงออกเพิ่มขึ้นและสูงสุดในชั่วโมงที่ 48 และ 72 ตามลำดับ แต่ก็ไม่พบความแตกต่างของการแสดงออกของยีนในกลุ่มที่ได้รับการกระตุนกับกลุ่มควบคุมตลอดระยะเวลาของการทดลองแต่อย่างใด

#### ข้อเสนอแนะ

ข้อมูลที่ได้จากการศึกษารั้งนี้ ถือเป็นข้อมูลพื้นฐานที่มีความสำคัญในการทำให้ทราบและเข้าใจถึงกลไกการทำงานในรูปแบบต่าง ๆ ในการตอบสนองทางภูมิคุ้มกันของปลาโนล ให้มีความชัดเจนมากยิ่งขึ้น ซึ่งข้อมูลดังกล่าว อาจสามารถใช้เป็นองค์ความรู้ในการสำรวจหาแนวทางการป้องกัน ควบคุมและรักษาโรคที่มีประสิทธิภาพ ซึ่งอาจจะเกิดจากการติดเชื้อแบคทีเรียม *S. agalactiae*, *A. hydrophila* หรือเชื้อโรคชนิดอื่น ๆ ที่เป็นสาเหตุในการทำให้เกิดโรคในปลาโนลได้ในอนาคต ซึ่งถือเป็นหัวใจสำคัญของการประยุกต์ใช้ความรู้ทางด้านอนุชีววิทยาไม่เลกุล ในการแก้ไขปัญหาที่เกิดขึ้น โดยเฉพาะการเกิดโรคในสัตว์น้ำ ซึ่งถือว่าเป็นปัญหาสำคัญที่สร้างความเสียหายต่อธุรกิจการเพาะเลี้ยงสัตว์น้ำของโลกในปัจจุบัน ให้มีผลที่เป็นรูปธรรมในที่สุด

## เอกสารและสิ่งอ้างอิง

กิจการ ศุภมาตย์, สาวิตติร์ ศิลนาเกย, วุฒิพิร พรมบุนทอง และ สิทธิ บุณยรัตผลิน. 2539. โรคและพยาธิปลา. มหาวิทยาลัยสงขลานครินทร์, สงขลา.

คณิต ชูคันหום และ อนุชา เสนาราช. 2551. ปรสิตภายนอกที่พบในปลาสวยงามในเขตพื้นที่จังหวัดขอนแก่น, น. 208-214. ใน ประชุมวิชาการสัตวแพทยศาสตร์ มข. ครั้งที่ 9 “สัตวแพทย์ทางเลือกวันนี้” 11-12 มิถุนายน 2551. คณะแพทยศาสตร์ มหาวิทยาลัยขอนแก่น, ขอนแก่น.

ศรี ก่ออนันต์กุล. 2542. การเพาะเลี้ยงปลานิลแปลงเพศ. กองประมงนำจีด, กรมประมง, กระทรวงเกษตรและสหกรณ์, กรุงเทพฯ.

เจษฎา ชนกิจกร. 2540. การปรับปรุงความทนทานต่อความเค็มในปลานิล (*Oreochromis niloticus*) โดยวิธีการผสมข้ามชนิดกับปลาหมוเทศ (*Oreochromis mossambicus*). วิทยานิพนธ์ปริญญาโท, มหาวิทยาลัยเกษตรศาสตร์.

ชาญณรงค์ รอดคำ. 2550. โรคสำคัญที่ส่งผลกระทบต่อการเพาะเลี้ยงสัตว์น้ำในประเทศไทย, น. 319-326. ใน ประมวลเรื่องการประชุมวิชาการทางสัตวแพทย์และการเลี้ยงสัตว์ ครั้งที่ 33. ภาควิชาจุลชีววิทยา, คณะสัตวแพทยศาสตร์, จุฬาลงกรณ์มหาวิทยาลัย, กรุงเทพฯ.

ธิติพิ พечรจินดา. 2542. พยาธิใบไม้ในปลานำจีด. วารสารข่าวโรคสัตว์น้ำ 9 (2): 3-6.

นงลักษณ์ สุวรรณพินิจ. 2544. จุลชีววิทยาทั่วไป. สำนักพิมพ์จุฬาลงกรณ์มหาวิทยาลัย, กรุงเทพฯ.

นเรศ ช่วนยุก, หริัญ กังแซ, เรวัตร คงประดิษฐ์ และ กิจการ ศุภมาตย์. 2548. โรคติดเชื้อแบคทีเรีย *Streptococcus agalactiae* ในปลานิล. ว สงขลานครินทร์ วทท. 27 (1): 307-319.

นนทวิทย์ อารีย์ชน. 2547. การวินิจฉัยและการป้องกันรักษาโรคในสัตว์น้ำ. ภาควิชาเพาะเลี้ยง-สัตว์น้ำ, คณะประมง, มหาวิทยาลัยเกษตรศาสตร์, กรุงเทพฯ.

นิคุบล กิจอันเจริญ. 2544. โรคปลาที่เกิดจากเชื้อแบคทีเรีย. เอกสารประกอบการเรียนการสอน  
วิชา 118341. โรคปลาและปรสิตสัตว์น้ำ. ภาควิชาประมง, คณะเกษตรศาสตร์,  
มหาวิทยาลัยขอนแก่น.

นิคุบล ยุษาสะ, ชุตินา หาญจนวนิช และ นงนุช สุวรรณเพ็ง. 2545. การพัฒนาวิธีการในการป้องกัน  
รักษาโรคที่เกิดกับปลานิลที่เลี้ยงในกระชังในเขตภาคตะวันออกเฉียงเหนือ. เอกสาร  
ประกอบงานวิจัยทุนอุดหนุนประจำปี 2545. มหาวิทยาลัยขอนแก่น.

ผลงาน ลิ่มตระกูล. 2545. ชีวเคมีของกรดนิวคลีอิกและโปรตีน. ครั้งที่ 2. โรงพิมพ์ดาว. เชียงใหม่.

มารูต สุขสมจิต. 2539. การใช้เวอร์จิเนียมัยซินเป็นสารเร่งการเจริญเติบโตในปลานิล  
(*Oreochromis niloticus* Linn.) เพศผู้. วิทยานิพนธ์ปริญญาโท,  
มหาวิทยาลัยเกษตรศาสตร์.

ยุพินท์ วิวัฒนชัยศรษณ์ และ พันธ์ศักดิ์ ไชยบุตร. 2543. การเลี้ยงปลานิล. เอกสารคำแนะนำ.  
กรมประมง กระทรวงเกษตรและสหกรณ์.

รัตนา บรรจิดพงศ์ชัย. 2544. คาสเพส (Caspases) กับการตายแบบอะพอฟโตสิส (Apoptosis).  
เชียงใหม่วิชาการ 40 (2): 105-110.

---

2548. การตายแบบอะพอฟโตสิสของเซลล์ในระบบภูมิคุ้มกัน. ครั้งที่ 1.  
โรงพิมพ์ดาวคอมพิวกราฟิก. เชียงใหม่.

วรพงษ์ นลินานนท์. 2545. การกำจัดกลืนที่ไม่พึงประสงค์ในเนื้อปลานิล. วิทยานิพนธ์ปริญญาโท,  
มหาวิทยาลัยเกษตรศาสตร์.

วิน เชษชมนศรี. 2548. วิทยาภูมิคุ้มกัน. ครั้งที่ 1. ห้างหุ้นส่วนจำกัด. เมตตาเก็บปีเบริน. นครปฐม.

วิศณุ บุญญาภิวัฒน์, ทินวรรณ์ ศรีสุข และ วรวิทย์ วัชชวัลคุ. 2550. ประสิทธิภาพของวัคซีนที่  
เตรียมจากเชื้อแบคทีเรีย *Streptococcus agalactiae* ในการป้องกันโรคสเตรปโตโค-

โคลิซในปลานิล. วารสารสัตวแพทยศาสตร์ มข. 17 (1): 43-52.

ศิลปพร ชื่นสุรัตน์. 2544. การวิเคราะห์เศรษฐกิจการผลิตปลา尼ลในจังหวัดสุพรรณบุรีปี 2542.  
วิทยานิพนธ์ปริญญาโท, มหาวิทยาลัยเกษตรศาสตร์.

อนันตชัย เก่อนธรรม. 2542. หลักการวางแผนการทดสอบ. ภาควิชาสถิติ, คณะวิทยาศาสตร์,  
มหาวิทยาลัยเกษตรศาสตร์.

เอกพล วงศ์ชาต. 2551. การแสดงออกของยีนในไตส่วนหน้าและม้ามของปลา尼ล (*Oreochromis niloticus*) ที่กระตุ้นด้วยเชื้อ *Streptococcus agalactiae* โดยใช้เทคนิค Expressed Sequence Tags (ESTs). วิทยานิพนธ์ปริญญาโท, มหาวิทยาลัยเกษตรศาสตร์.

Abbas, A. K., A. H. Lichtman and J. S. Pober. 2000. **Cellular and Molecular Immunology**.  
4<sup>th</sup> ed. W. B. Saunders Company, Philadelphia, Pennsylvania.

Adams, J. M. and S. Cory. 2001. Life or death decisions by the Bcl-2 protein family. **Trends Biochem. Sci.** 26: 61-66.

Adderley, S. R and D. J. Fitzgerald. 2000. Glycoprotein IIb/IIIa antagonists induce apoptosis in rat cardiomyocytes by caspase-3 activation. **J. Biol. Chem.** 275: 5760-5766.

Andersson, J., A. Samarina, J. Fink, S. Rahman and S. Grundström. 2007. Impaired expression of perforin and granzysin in CD8<sup>+</sup> T cells at the site of infection in human chronic pulmonary tuberculosis. **Infect. Immun.** 75: 5210-5222.

Anonymous. 2009. **Cell signaling and neuroscience**. Available Source:  
<http://www.sigmaaldrich.com/life-science/cell-biology/learning-center/pathway-slides-and/granzyme-b.html>, March 12, 2009.

Areechon, N., M. Endo, D. Jantawan, P. Srisapoome and N. Pirarat. 2005. Streptococcal infection in tilapia culture of Thailand, pp. 166-174. *In JSPS-NRCT International Symposium Joint Seminar*, Kasetsart University, Bangkok, Thailand.

- Bell, J. K., D. H. Goetz, S. Mahrus, J. L. Harris, R. J. Fletterick and C. S. Craik. 2003. The oligomeric structure of human granzyme A is a determinant of its extended substrate specificity. **Nat. Struct. Biol.** 10: 527-534.
- Bras, M., B. Queenan and A. Susin. 2005. Programmed cell death via mitochondria: different models of dying. **Biochemistry** 70: 284-293.
- Brune, B. A. 2003. Nitric oxide: NO apoptosis or turning it on. **Cell Death Differ.** 10: 864-869.
- Bode, W., E. Jr. Meyer and J. C. Powers. 1989. Human leukocyte and porcine pancreatic elastase: x-ray crystal structure, mechanism, substrate specificity and mechanism-based inhibitors. **Biochem.** 28: 1951-1963.
- Bols, N. C., J. L. Brubacher, R. C. Ganassin and J. Lee. 2001. Ecotoxicology and innate immunity in fish. **Dev. Comp. Immunol.** 25: 853-873.
- Bots, M. and J. P. Medema. 2006. Granzymes at a glance. **J. Cell Sci.** 119: 5011-5014.
- Buckley, C., D. Pilling, N. V. Henriquez, G. Parsonage, K. Threlfall, D. Scheel-Toellner, D. L. Simmons, A. N. Akbar, J. M. Lord and M. Salmon. 1999. RGD peptides induce apoptosis by direct caspase-3 activation. **Nature** 397: 534-539.
- Buratta, S., K. Fettucciarri, R. Mambrini, I. Fetriconi, P. Marconi and R. Mozzi. 2002. Group B *Streptococcus* (GBS) modifies macrophage phosphatidylserine metabolism during induction of apoptosis. **FEBS Letters** 520: 68-72.
- Buzza, M. S. and P. I. Bird. 2006. Extracellular granzymes: current perspectives. **Biol. Chem.** 387: 827-837.

- Caipang, C. M., M. F. Brinchmann and V. Kiron. 2009. Profiling gene expression in the spleen of Atlantic cod, *Gadus morhua* upon vaccination with *Vibrio anguillarum* antigen. **Comp. Biochem. Physiol. B** 153: 261-267.
- Catalfamo, M. and P. A. Henkart. 2003. Perforin and the granule exocytosis cytotoxicity pathway. **Curr. Opin. Immunol.** 15: 522-527.
- Cao, D., A. Kocabas, Z. Ju, A. Karsi, P. Li, A. Patterson and Z. Liu. 2001. Transcriptome of channel catfish (*Ictalurus punctatus*): initial analysis of genes and expression profiles of the head kidney. **Anim. Genet.** 32: 169-188.
- Caspi, R. R. and R. R. Avtalion. 1984. The mixed leukocyte reaction (MLR) in carp: bidirectional and unidirectional MLR responses. **Dev. Comp. Immunol.** 8: 631-637.
- Caughey, G. H. 2007. Mast cell tryptases and chymases in inflammation and host defense. **Immu. Revs.** 217: 141-154.
- Chang, H. Y., H. Nishitoh, X. Yang, X. Ichijo and D. Baltimore. 1998. Activation of apoptosis signal-regulating kinase 1 (ASK1) by the adapter protein Daxx. **Science** 281: 1860-1863.
- Chang, M. X., P. Nie, H. X. Xie, G. L. Wang and Y. Gao. 2006. Characterization and expression analysis of TNF-related apoptosis inducing ligand (TRAIL) in grass carp *Ctenopharyngodon idella*. **Vet. Immunol. Immunopathol.** 110: 51-63.
- Cheah, F. C., M. B. Hampton, B. A. Darlow, C. C. Winterbourn and M. C. Vissers. 2005. Detection of apoptosis by caspase-3 activation in tracheal aspirate neutrophils from premature infants: relationship with NF-**KB** activation. **J. Leukoc. Biol.** 77: 432-437.
- Chen, M. and J. Wang. 2002. Initiator caspases in apoptosis signaling pathways. **Apoptosis** 7: 313-319.

- Chiarugi, A. and M. A. Moskowitz. 2002. PARP-1 a perpetrator of apoptotic cell death. **Science** 297: 200-201.
- Chowdhury, D., P. J. Beresford, P. Zhu, D. Zhang, J. S. Sung, B. Demple, F. W. Perrino and J. Lieberman. 2006. The exonuclease TREX1 is in the SET complex and acts in concert with NM23-H1 to degrade DNA during granzyme A-mediated cell death. **Mol. Cell.** 23: 133-142.
- \_\_\_\_\_, and J. Lieberman. 2008. Death by a thousand cuts: granzyme pathways of programmed cell death. **Annu. Rev. Immunol.** 26: 389-420.
- Croston, G. 2009. **Granzyme A mediated apoptosis pathway**. Available Source: [http://www.biocarta.com/pathfiles/h\\_setPathway.asp](http://www.biocarta.com/pathfiles/h_setPathway.asp), November 26, 2009.
- Cullen, S. P. and S. J. Martin. 2008. Mechanisms of granule-dependent killing. **Cell Death Differ.** 15: 251-262.
- Danilova, N., V. S. Hohman, E. H. Kim and L. A. Steiner. 2000. Immunoglobulin variable-region diversity in the zebrafish. **Immunogenetics** 52: 81-91.
- Dash, P. 2009. **Cell death**. Available Source: <http://www.sgul.ac.uk/depts/immunology/~dash/apoptosis/>, November 16, 2009.
- Dixon, B. and R. J. Stet. 2001. The relationship between major histocompatibility receptors and innate immunity in teleost fish. **Dev. Comp. Immunol.** 25: 683-699.
- Ebnet, K., M. Hausmann, F. Lehmann-Grube, A. Mullbacher, M. Kopf, M. Lamers and M. M. Simon. 1995. Granzyme A-deficient mice retain potent cell-mediated cytotoxicity. **EMBO J.** 14: 4230-4239.

Ellis, A. E. 2001. Innate host defense mechanisms of fish against viruses and bacteria. **Dev. Comp. Immunol.** 25: 827-839.

Evans, D. L., S. L. Taylor, J. H. Leary III, G. R. Bishop, A. Eldar and L. J. Friedmann. 2000.

*In vivo* activation of tilapia nonspecific cytotoxic cells by *Streptococcus iniae* and amplification with apoptosis regulatory factor (s). **Fish Shellfish Immunol.** 10: 419-434.

\_\_\_\_\_, J. H. Leary III and L. J. Friedmann. 2001. Nonspecific cytotoxic cells and innate immunity: regulation by programmed cell death. **Dev. Comp. Immunol.** 25: 791-805.

Fairbrother, W. J., N. C. Gordon, E. W. Humke, K. M. O'Rourke, M. A. Starovasnik, J. P. Yin and V. M. Dixit. 2001. The PYRIN domain: a member of the death domain-fold superfamily. **Protein science.** 10: 1911-1918.

Faisal, M., II Ahmed, G. Peters and E. L. Cooper. 1989. Natural cytotoxicity of tilapia leucocytes. **Dis. Aquat. Organ.** 7: 17-22.

Farmer, E. 2006. **Labelled diagram of a cell undergoing apoptosis.** Available Source: <http://en.wikipedia.org/wiki/File:Apoptosis.png>, December 4, 2009.

Fan, Z., P. J. Beresford, D. Y. Oh, D. Zhang and J. Lieberman. 2003. Tumor suppressor NM23-H1 is a granzyme A-activated DNase during CTL-mediated apoptosis, and the nucleosome assembly protein SET is its inhibitor. **Cell** 112: 659-672.

\_\_\_\_ and Q. Zhang. 2005. Molecular mechanisms of lymphocyte-mediated cytotoxicity **Cell. Mol. Immunol.** 2: 259-264.

- Fernandes, T. A., G. Litwack and E. S. Alnemri. 1994. CPP32, a novel human apoptotic protein with homology to *Caenorhabditis elegans* cell death protein Ced-3 and mammalian interleukin-1 beta-converting enzyme. **J. biol. Chem.** 269: 30761-30764.
- Fettucciaro, K., I. Fetriconi, A. Bartoli, R. Rossi and P. Marconi. 2003. Involvement of mitogen-activated protein kinases in Group B *Streptococcus*-induced macrophage apoptosis. **Pharmacol. Res.** 47: 355-362.
- Fink, S. L. and B. T. Cookson. 2005. Apoptosis, pyroptosis, and necrosis: mechanistic description of dead and dying eukaryotic cells. **Infect. Immun.** 73: 1907-1916.
- Graves, S. S., D. L. Evans and D. L. Dawe. 1985. Antiprotozoan activity of nonspecific cytotoxic cells (NCC) from the channel catfish (*Ictalurus punctatus*). **J. Immunol.** 134: 78-85.
- Greenlee, A. R., R. A. Brown and S. S. Ristow. 1991. Nonspecific Cytotoxic cells of rainbow trout (*Oncorhynchus mykiss*) kill YAC-1 targets by both necrotic and apoptotic mechanisms. **Dev. Comp. Immunol.** 15: 153-164.
- Griffiths, G. M. and S. Isaaz. 1993. Granzymes A and B are targeted to the lytic granules of lymphocytes by the mannose-6-phosphate receptor. **J. Cell. Biol.** 120: 885-896.
- Grütter, M. G. 2000. Caspases: key players in programmed cell death. **Curr. Opin. Struct. Biol.** 10: 649-655.
- Grossman, W. J., P. A. Revell, Z. H. Lu, H. Johnson, A. J. Bredemeyer and T. J. Ley. 2003. The orphan granzymes of humans and mice. **Curr. Opin. Immunol.** 15: 544-552.
- Guerrero, I. and A. R. Altaba. 2003. Development, longing for Ligand: hedgehog, patched and cell death. **Science** 301: 774-776.

- Hansen, J. D., E. D. Landis and R. B. Phillips. 2005. Discovery of a unique Ig heavy-chain isotype (IgT) in rainbow trout: Implications for a distinctive B cell developmental pathway in teleost fish. **Proc. Natl. Acad. Sci.** 102: 6919-6924.
- Heiger, H. M, H. O. Hodgins and J. M. Chiller. 1977. Evolution of the lymphoid system II. Evidence for immunoglobulin determinants on all rainbow trout lymphocytes and demonstration of mixed leukocyte reaction. **Eur. J. Immunol.** 7: 881-887.
- Hink-Schauer, C., E. P. Estebanez, F. C. Kurschus, W. Bode and D. E. Jenne. 2003. Crystal structure of the apoptosis-inducing human granzyme A dimer. **Nat. Struct. Biol.** 10: 535-540.
- Hirst, C. E., M. S. Buzzia, V. R. Sutton, J. A. Trapani, K. L. Loveland and P. I. Bird. 2001. Perforin-independent expression of granzyme B and proteinase inhibitor 9 in human testis and placenta suggests a role for granzyme B-mediated proteolysis in reproduction. **Mol. Hum. Reprod.** 7: 1133-1142.
- Hochegger, K., P. Eller, J. M. Huber, D. Bernhard, G. Mayer, J. G. Zlabinger and A. R. Rosenkranz. 2007. Expression of granzyme A in human polymorphonuclear neutrophils. **Immunology** 121: 166-173.
- Hwang, J. Y., I. Hirono and T. Aoki. 2007. Cloning and expression of a novel serine protease from Japanese flounder, *Paralichthys olivaceus*. **Dev. Comp. Immunol.** 31: 587-595.
- Jahrdsdorfer, B., S. E. Blackwell, J. E. Wooldridge, J. Huang, M. W. Andreski, L. S. Jacobus, C. M. Taylor and G. J. Weiner. 2006. B-chronic lymphocytic leukemia cells and other B cells can produce granzyme B and gain cytotoxic potential after interleukin-21-based activation. **Blood** 108: 2712-2719.

Jaso-Friedmann, L., D. T. Harris, A. John, H. S. Koren and D. L. Evans. 1990. A monoclonal antibody-purified soluble target cell antigen inhibits nonspecific cytotoxic cell activity. **J. Immunol.** 144: 2413-2418.

Jenne, D. E. and J. Tschopp. 1988. Granzymes, a family of serine proteases released from granules of cytolytic T lymphocytes upon T cell receptor stimulation. **Immunol. Rev.** 103: 53-71.

Johnson, H., L. Scorrano, S. J. Korsmeyer and T. J. Ley. 2003. Cell death induced by granzyme C. **Blood** 101: 3093-3101.

Jones, S. R. 2001. The occurrence and mechanisms of innate immunity against parasites in fish. **Dev. Comp. Immunol.** 25: 841-852.

Kaiser, P., L. Rothwell, S. Avery and S. Balu. 2004. Evolution of the interleukins. **Dev. Comp. Immunol.** 28: 375-394.

Kelly, J. M., N. J. Waterhouse, E. Cretney, K. A. Browne, S. Ellis, J. A. Trapani and M. J. Smyth. 2004. Granzyme M mediates a novel form of perforin-dependent cell death. **J. Biol. Chem.** 279: 22236-22242.

Klein, J. and V. Horejsi. 1997. **Immunology**. Blackwell Science Inc.

Kubista, M., J. M. Andrade, M. Bengtsson, A. Forootan, J. Jonaåk, K. Lind, R. Sindelka, R. Sjöback, B. Sjögren, L. Strömbom, A. Ståhlberg and N. Zoric. 2006. The real-time polymerase chain reaction. **Mol. Aspects Med.** 27: 95-125.

Kumar, S. 1997. The apoptosis cysteine protease CPP32. **Int. J. Biochem. Cell. Biol.** 29: 393-396.

- \_\_\_\_\_, Tamura and M. Nei. 2004. MEGA3: an integrated software for molecular evolutionary genetics analysis and sequence alignment. **Brief. Bioinform.** 5: 150-163.
- Kurobe, T., I. Hirono, H. Kondo, T. S. Taki and T. Aoki. 2007. Molecular cloning, characterization, expression and functional analysis of Japanese flounder *Paralichthys olivaceus* Fas ligand. **Dev. Comp. Immunol.** 7: 687-695.
- Leeuwenburgh, C. 2003. Role of apoptosis in sarcopenia. **J. Gerontol. A Biol. Sci. Med. Sci.** 58: 999-1001.
- Lieberman, J. and Z. Fan. 2003. Nuclear war: the granzyme A-bomb. **Curr. Opin. Immunol.** 15: 553-559.
- Lindenstrøm, T., C. J. Secombes and K. Buchmann. 2004. Expression of immune response genes in rainbow trout skin induced by *Gyrodactylus derjavini* infections. **Vet. Immunol. Immunopathol.** 97: 137-148.
- Livak, K. J. and T. D. Schmittgen. 2001. Analysis of relative gene expression data using real-time quantitative PCR and the  $2^{-\Delta\Delta_{CT}}$  method. **Methods** 25: 402-408.
- Magnadottir, B. 2006. Innate immunity of fish. **Fish Shellfish Immunol.** 20: 137-151.
- Marriott, H. M. and D. H. Dockrell. 2006. *Streptococcus pneumoniae*: The role of apoptosis in host defense and pathogenesis. **Int. J. Biochem. Cell Biol.** 38: 1848-1854.
- Martinvalet, D., P. Zhu and J. Lieberman. 2005. Granzyme A induces caspase-independent mitochondrial damage, a required first step for apoptosis. **Immunity** 22: 355-370.

Miller, N. W. and L. W. Clem. 1984. Temperature-mediated processes in teleost immunity: differential effects of temperature on catfish *in vitro* antibody responses to thymus-dependent and thymus-independent antigens. **J. Immunol.** 133: 2356-2359.

Monteiro, S. M., N. Santos, M. Calejo, A. F. Fernandes and M. Sousa. 2009. Copper toxicity in gills of the teleost fish, *Oreochromis niloticus*: effects in apoptosis induction and cell proliferation. **Aquat. Toxicol.** 94: 219-228.

Nagata, S. 1997. Apoptosis by death factor. **Cell** 88: 355-365.

\_\_\_\_\_. 2000. Apoptosis DNA fragmentation. **Exp. Cell. Res.** 256: 12-18.

Nelson, J. S. 1994. **Fishes of the World**. 3<sup>rd</sup> ed. John Wiley and Sons Inc., New York.

Nicholson, D. W., A. Ali, N. A. Thornberry, J. P. Vaillancourt, C. K. Ding, M. Gallant, Y. Gareau, P. R. Griffin, M. Labelle and Y. A. Lazebnik. 1995. Identification and inhibition of the ICE/CED-3 protease necessary for mammalian apoptosis. **Nature** 376: 37-43.

\_\_\_\_\_. and N. A. Thornberry. 1997. Caspases: killer proteases. **Trends Biochem. Sci.** 22: 299-306.

Ojcius, D. M., P. Souque, J. L. Perfettini and V. A. Dautry. 1998. Apoptosis of epithelial cells and macrophages due to infection with the obligate intracellular pathogen *Chlamydia psittaci*. **J. Immunol.** 161: 4220-4226.

Pao, L. I., N. Sumaria, J. M. Kelly, S. V. Dommelen, E. Cretney, M. E. Wallace, D. A. Anthony, A. P. Uldrich, D. I. Godfrey, J. M. Papadimitriou, A. Mullbacher, M. A. Degli-Esposti and M. J. Smyth. 2005. Functional analysis of granzyme M and its role in immunity to infection. **J. Immunol.** 175: 3235-3243.

- Park, S., H. R. Moon, H. Seok and M. Lee. 2004. Rearrangement of tryptophan residues in caspase-3 active site upon activation. **Biochim. Biophys. Acta.** 1700: 5-9.
- Pasqualini, R., E. Koivunen and E. Ruoslahti. 1995. A peptide isolated from phage display libraries is a structural and functional mimic of an RGD-binding site on integrins. **J. Cell Biol.** 130: 1189-1196.
- Pasquier, L. 2001. The immune system of invertebrates and vertebrates. **Comp. Biochem. Physiol. B** 129: 1-15
- Phongdara, A., W. Wanna and W. Chotigeat. 2006. Molecular cloning and expression of caspase from white shrimp (*Penaeus merguiensis*). **Aquaculture** 252: 114-120.
- Pilat, D., T. Fink, B. O. Skrobanek, M. Zimmer, H. Werkerle, P. Lichter and D. E. Jenne. 1994. The human met-ase gene (GZMM): structure, sequence, and close physical linkage to the serine protease gene cluster on 19p1 3.3. **Genomics** 24: 445-450.
- Praveen, K., L. E. Donald and L. J. Friedmann. 2004. Evidence for the existence of granzyme-like serine proteases in teleost cytotoxic cells. **J. Mol. Evol.** 58: 449-459.
- \_\_\_\_\_, J. H. Leary III, D. L. Evans and L. J. Friedmann. 2006a. Molecular characterization and expression of a granzyme of an ectothermic vertebrate with chymase-like activity expressed in the cytotoxic cells of Nile tilapia (*Oreochromis niloticus*). **Immunogenetics** 58: 41-55.
- \_\_\_\_\_, \_\_\_\_\_, \_\_\_\_\_ and \_\_\_\_\_. 2006b. Molecular cloning of cellular apoptosis susceptibility (CAS) gene in *Oreochromis niloticus* and its proposed role in regulation of non-specific cytotoxic cell (NCC) functions. **Fish Shellfish Immunol.** 20: 647-655.

Promega. 2009. **pGem-T and pGem-T Easy vector systems.** Available Aource:  
<http://www.promega.com/tbs/tm042.pdf>, Aprail 13, 2009.

Pokpong, P., N. Weerapreeyakul and S. Barusrux. 2007. Apoptosis: pathway and assay.  
**J. Health. Res.** 21: 227-238.

Rehm, M., H. J Huber, H. Dussmann1 and J. HM Prehn. 2006. Systems analysis of effector caspase activation and its control by X-linked inhibitor of apoptosis protein. **EMBO. J.** 25: 4338-4349.

Reis, M. I., D. S. Nascimento, A. D. Vale, M. T. Silva and N. M. Santos. 2007. Molecular cloning and characterisation of sea bass (*Dicentrarchus labrax* L.) caspase-3 gene. **Mol. Immunol.** 44: 774-783.

Rissoan, M. C., T. Duhen, J. M. Bridon, N. B. Vermare, C. Peronne, B. S. Vis, F. Briere and E. M. Bates. 2002. Subtractive hybridization reveals the expression of immunoglobulin-like transcript 7, Eph-B1, granzyme B, and 3 novel transcripts in human plasmacytoid dendritic cells. **Blood** 100: 3295-3303.

Rotonda, J. and M. G. Calvo. 2001. The three dimensional structure of human granzyme B compared to caspase-3, a key mediator of cell deathwithcleavage specificity for aspartic acid in P1. **Chem. Biol.** 8: 357-368.

Russell, J. H. and T. J. Ley. 2002. Lymphocyte-mediated cytotoxicity. **Annu. Rev. Immunol.** 20: 323-370.

Sattar, R., S. A. Ali and A. Abbasi. 2003. Bioinformatics of granzymes: sequence comparison and structural studies on granzyme family by homology modeling. **Biochem. Biophys. Res. Commun.** 308: 726-735.

Salvesen, G. S. and V. M. Dixit. 1997. Caspases: intracellular signaling by proteolysis. **Cell** 91: 443-446.

Sambrook, J., E. F. Fritsch and T. Maniatis. 1989. **Molecular cloning: A laboratory manual.** Cold Spring Harbor Laboratory Press., New York.

Sasson, R., K. Tajima and A. Amsterdam. 2001. Glucocorticoids protect against apoptosis induced by serum deprivation, cyclic adenosine 3', 5'-monophosphate and p53 activation in immortalized human granulosa cells: involvement of Bcl-2. **Endocrinology** 142: 802-811.

Secombes, C. J., J. Zou, K. Laing, G. D. Daniels and C. Cunningham. 1999. Cytokine genes in fish. **Aquaculture** 172: 93-102

Shao, J. Z., J. Liu and L. X. Xiang. 2004. *Aeromonas hydrophila* induces apoptosis in *Carassius auratus* lymphocytes *in vitro*. **Aquaculture** 229: 11-23.

Shi, L., C. M. Kam, J. C. Powers, R. Aebersold and A. H. Greenberg. 1992. Purification of three cytotoxic lymphocyte granule serine proteases that induce apoptosis through distinct substrate and target cell interactions. **J. Exp. Med.** 176: 1521-1529.

Shi, Y. 2004. Caspase activation, inhibition and reactivation: a mechanism view. **Protein Science** 13: 1979-1987.

Spellerberg, B. 2000. Pathogenesis of neonatal *Streptococcus agalactiae* infections. **Microbes. Infect.** 2: 1733-1742.

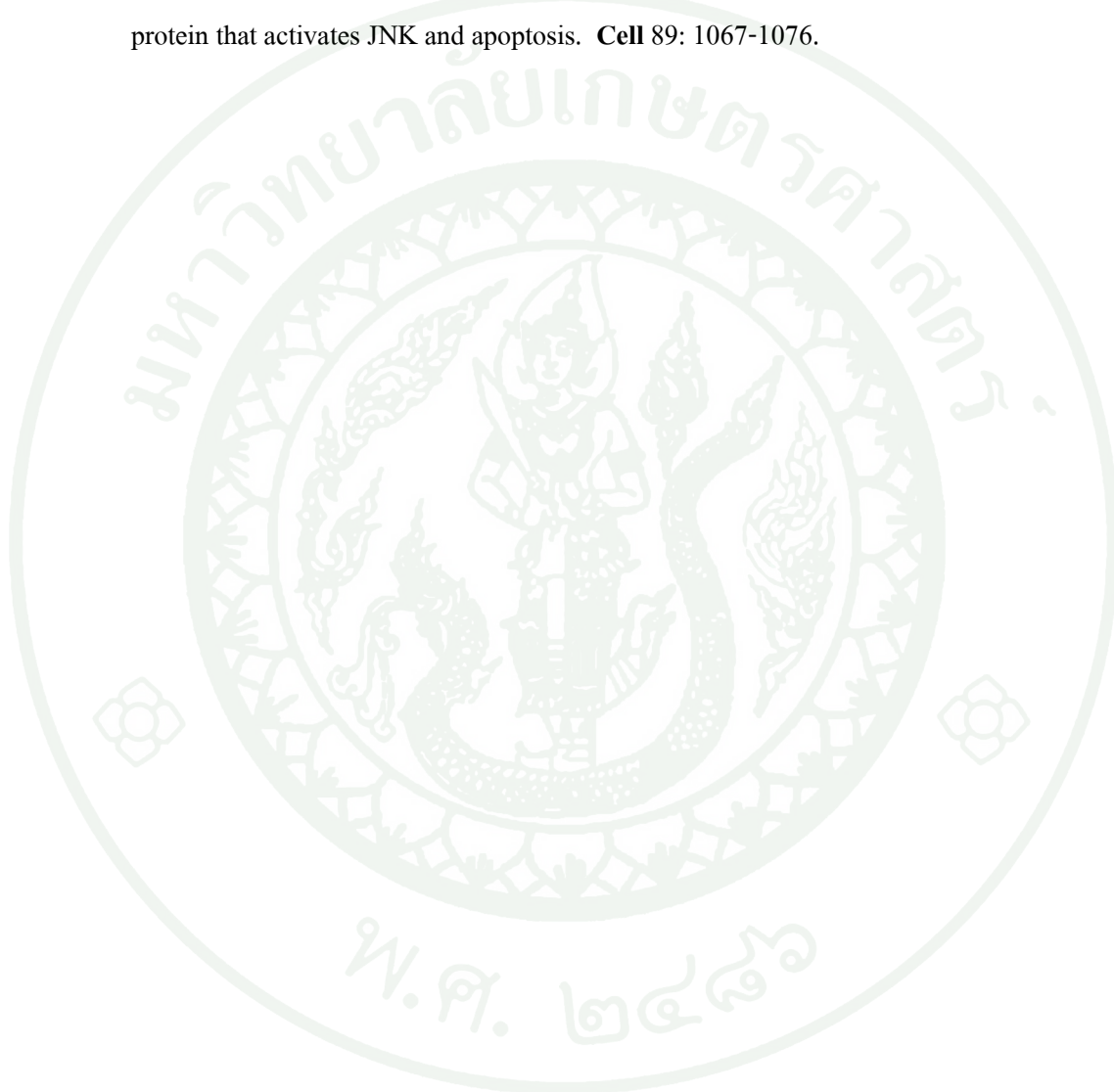
Srisapoome, P., E. Wangkahart and N. Areechon. 2008. Gene expression analyses in head kidney and spleen of Nile tilapia (*Oreochromis niloticus*) infected with *Streptococcus agalactiae* by Expressed Sequence Tags (ESTs) technique. NCBI GenBank database, Direct submittion

- Suemoto, T., M. Taniguchi, S. Shiosaka and S. Yoshida. 1999. cDNA cloning and expression of a novel serine protease in the mouse brain. **Brain Res. Mol. Brain Res.** 70: 273-281.
- Takle, H., A. McLeod and O. Andersen. 2006. Cloning and characterization of the executioner caspases 3, 6, 7 and Hsp70 in hyperthermic Atlantic salmon (*Salmo salar*) embryos. **Comp. Biochem. Physiol. B** 144: 188-198.
- \_\_\_\_\_, and Ø Andersen. 2007. Caspases and apoptosis in fish. **J. Fish. Biol.** 71: 326-349.
- Tan, Y., M. R. Demeter, H. Ruan and M. J. Comb. 2000. BAD Ser-155 phosphorylation regulates BAD/Bcl-XL interaction and cell survival. **J. Biol. Chem.** 275: 25865-25869.
- Taniguchi, M., N. Tani, T. Suemoto, I. Ishimoto, S. Shiosaka and S. Yoshida. 1999. High Expression of alternative transcript of granzyme M in the mouse retina. **Neurosci. Res.** 34: 115-123.
- Thompson, C. B. 1995. Apoptosis in the pathogenesis and treatment of disease. **Science** 267: 1456-1462.
- Thornberry, N. A. and Y. Lazebnik. 1998. Caspases: enemies within. **Science** 281: 1312-1316.
- Toossi, Z., M. Kizza, A. Kanost, K. Edmonds, M. Mchugh and C. Hirsch. 2004. Protective Responses in tuberculosis: induction of genes for interferon-gamma and cytotoxicity by *Mycobacterium tuberculosis* and during human tuberculosis. **Scand. J. Immunol.** 60: 299-306.
- Ulett, G. C. and E. E. Adderson. 2006. Group B *Streptococcus*-induced macrophage apoptosis. **Int. Congr. Ser.** 1289: 271-274.

- Wagner, C., C. I. Konert, B. Denefleh, S. Stegmaier, F. Hug and G. M. Hansch. 2004. Granzyme B and perforin: constitutive expression in human polymorphonuclear neutrophils. **Blood** 103: 1099-1104.
- Wang, Q. L., Q. Pan, Y. Ma, K. Wang, P. Sun, S. Liu and X. L. Zhang. 2009. An attenuated *Salmonella*-vectored vaccine elicits protective immunity against *Mycobacterium tuberculosis*. **Vaccine** 27: 6712-6722.
- Walters, J. A. 2009. **Structure, folding and assembly of (pro) caspase-3. The role of the dimer interface in active site formation.** The degree of doctor of philosophy, North carolina state University.
- Warr, G. W. 1995. The immunoglobulin genes of fish. **Dev. Comp. Immunol.** 19: 1-12.
- Werlen, G., B. Hausmann, D. Naeher and E. Palmer. 2003. Signaling life and death in the thymus: timing is everything. **Science** 299: 1859-1863.
- Wernersson, S., J. M. Reimer, M. Poorafshar, U. Karlson, N. Wermenstam, E. Bengten, M. Wilson, L. Pilstrom and L. Hellman. 2006. Granzyme-like sequences in bony fish shed light on the emergence of hematopoietic serine proteases during vertebrate evolution. **Dev. Comp. Immunol.** 30: 901-918.
- Whyte, S. K. 2007. The innate immunity response of finfish-a review of current knowledge. **Fish Shellfish Immunol.** 23: 1127-1151.
- Wolf, B. B., J. C. Goldstein, H. R. Stennicke, H. Beere, G. P. Amarante, G. S. Salvesen and D. R. Green. 1999. Calpain functions in a caspase-independent manner to promote apoptosis-like events during platelet activation. **Blood** 94: 1683-1692.
- Wouters, M. A., K. Liu, P. Riek and A. Husain. 2003. A despecialization step underlying evolution of a family of serine proteases. **Mol. Cell.** 12: 343-354.

Yabu, T., S. Kishi, T. Okazaki and M. Yamashita. 2001. Characterization of zebrafish caspase-3 and induction of apoptosis through ceramide generation in fish fathead minnow tailbud cells and zebrafish embryo. **Biochem. J.** 360: 39-47.

Yang, X., R. F. Khosravi, H. Y. Chang and D. Baltimore. 1997. Daxx, a novel Fas-binding protein that activates JNK and apoptosis. **Cell** 89: 1067-1076.





## 1. การเตรียมอาหารเลี้ยงเชื้อแบคทีเรีย

### 1.1 Luria Bertani (LB) Broth (ต่อตัว)

10 กรัม ของ NaCl

10 กรัม ของ Tryptone

5 กรัม ของ Yeast extract

เติมน้ำกลันให้ครบ 1 ลิตร นำไปปั่นเชื้อ (Autoclave) ที่อุณหภูมิ 121 องศาเซลเซียส นาน 20 นาที

### 1.2 Luria Bertani (LB) Agar (ต่อตัว)

10 กรัม ของ NaCl

10 กรัม ของ Tryptone

5 กรัม ของ Yeast extract

20 กรัม ของ Agar

นำไปปั่นเชื้อ (Autoclave) ที่อุณหภูมิ 121 องศาเซลเซียส นาน 20 นาที ปล่อยให้อาหารเย็นลงที่อุณหภูมิ 50 องศาเซลเซียส แล้วเทลงในจานเลี้ยงเชื้อ (Petri dishes) ที่ผ่านการฆ่าเชื้อ ปริมาตร 20-25 มิลลิลิตร และปล่อยให้อาหารแข็งตัว เก็บที่อุณหภูมิ 4 องศาเซลเซียส

### 1.3 Luria Bertani (LB) Agar ที่เติม Ampicillin (ต่อตัว)

เตรียม LB Broth ปริมาตร 1 ลิตร

นำไปปั่นเชื้อ (Autoclave) ที่อุณหภูมิ 121 องศาเซลเซียส นาน 20 นาที ปล่อยให้อาหารเย็นลงที่อุณหภูมิ 50 องศาเซลเซียส จากนั้นเติม Ampicillin ปริมาตร 10 มิลลิกรัม (ความเข้มข้น 0.01 กรัมต่อ 100 มิลลิลิตร) แล้วเทลงในจานเลี้ยงเชื้อ (Petri dishes) ที่ผ่านการฆ่าเชื้อ ปริมาตร 20-25 มิลลิลิตร และปล่อยให้อาหารแข็งตัว เก็บที่อุณหภูมิ 4 องศาเซลเซียส

#### 1.4 Trypticase Soy Broth (TSB) (ต่อลิตร)

4 กรัม ของ TSA

15 กรัม ของ Bacto Agar

เติมน้ำกลันให้ได้ 1 ลิตร นำไปปั่นเชื้อ (Autoclave) ที่อุณหภูมิ 121 องศาเซลเซียส นาน 20 นาที

#### 1.5 Trypticase Soy Agar (TSA) (ต่อลิตร)

เตรียม TSB ปริมาตร 1 ลิตร

นำไปปั่นเชื้อ (Autoclave) ที่อุณหภูมิ 121 องศาเซลเซียส นาน 20 นาที ปล่อยให้อาหารเย็นลงที่อุณหภูมิ 50 องศาเซลเซียส แล้วเทลงในจานเลี้ยงเชื้อ (Petri dishes) ที่ผ่านการฆ่าเชื้อ ปริมาตร 20-25 มิลลิลิตร และปล่อยให้อาหารแข็งตัว เก็บที่อุณหภูมิ 4 องศาเซลเซียส

#### 1.6 Super Optimal Culture Medium (SOC Medium) (ต่อ 100 มิลลิลิตร)

2 กรัม ของ Tryptone

0.5 กรัม ของ Yeast extract

1 มิลลิลิตร ความเข้มข้น 1 โนมล ของ NaCl

0.25 มิลลิลิตร ความเข้มข้น 1 โนมล ของ KCl

เติมน้ำกลัน 97 มิลลิลิตร แล้วนำไปปั่นเชื้อ (Autoclave) ที่อุณหภูมิ 121 องศาเซลเซียส นาน 20 นาที จากนั้นเติม 1 มิลลิลิตร ความเข้มข้น 2 โนมล ของ  $Mg^{2+}$  ด้วย Filter sterilize และ 1 มิลลิลิตร ความเข้มข้น 2 โนมล ของ Glucose ด้วย Filter sterilize

#### 1.7 Yeast extract (2YT Broth) (ต่อลิตร)

10 กรัม ของ NaCl

10 กรัม ของ Yeast extract

16 กรัม ของ Tryptone

ปรับ pH ให้ได้ 7.5 ด้วย NaOH และเติมน้ำกลันให้ครบ 1 ลิตร นำไปปั่นเชื้อ (Autoclave) ที่อุณหภูมิ 121 องศาเซลเซียส นาน 20 นาที

### 1.8 Medium A

200 มิลลิลิตร ของ Penicillin/Streptomycin solotion

200 unit ของ Heparin

1 มิลลิลิตร ของ Heat inactivated fecal carb serum (FCS)

19 มิลลิลิตร ของ RPMI no.1640

## 2. การเตรียมสารเคมีสำหรับงานทางอนุชีวโมเลกุล

### 2.1 10X TBE (ต่อลิตร)

108 กรัม ของ Tris-base

55 กรัม ของ Boric acid

40 มิลลิลิตร ของ 0.5 M EDTA

เติมน้ำกลั่นให้ครบ 1 ลิตร นำไปปั่นเชือ (Autoclave) ที่อุณหภูมิ 121 องศาเซลเซียส  
นาน 20 นาที

### 2.2 10X MOP buffer

200 mM 3-[*N*-morpholino] propane-sulfonic acid (MOPS)

50 mM Sodium acetate

10 mM EDTA

ปรับ pH ให้ได้ 6.5-7.0 ด้วย NaOH ห้าม Autoclave

### 2.3 1 M IPTG

2.38 กรัม ของ Isopropylthio- $\beta$ -D-thiogalactoside

ละลายสารในน้ำกลั่นปริมาตร 100 มิลลิลิตร

#### 2.4 X-Gal

100 มิลลิลิตร ของ 5-bromo-4 chloro-3-indoyl- $\beta$ -D-thiogalactoside

2 มิลลิลิตร ของ Dimethyl-formamide

#### 2.5 Phosphate Buffer-saline (PBS) (ต่อตัว)

8.0 กรัม ของ NaCl

0.2 กรัม ของ KCl

1.44 กรัม ของ  $\text{Na}_2\text{HPO}_4$

0.24 กรัม ของ  $\text{KH}_2\text{PO}_4$

ปรับ pH ให้ได้ 7.4 ด้วย 11.8 มิลลิโมล ของ  $\text{PO}_4$  และเติมน้ำกลันให้ครบ 1 ลิตร นำไปปั่นเชื้อ (Autoclave) ที่อุณหภูมิ 121 องศาเซลเซียส นาน 20 นาที

#### 2.6 การเตรียม Gel

เตรียม Agaroes gel 1% โดยชั่ง Gel 1 กรัม ละลายใน TBE 1X 100 มิลลิลิตร นำไปให้ความร้อนนาน 1 นาที แล้วเทลงใน Chamber จากนั้นใส่ Comb รองน้ำแข็งตัว จึงนำมา Load ได้

เตรียม Agarose formaldehyde 1% ปริมาตร 50 มิลลิลิตร โดยชั่ง Gel 0.5 กรัม ละลายใน 1xMOP ปริมาตร 47.32 มิลลิลิตร นำไปให้ความร้อนนาน 1 นาที เติม 40% Formaldehyde (Absolute) 268 มิลลิลิตร แล้วเทลงใน Chamber จากนั้นใส่ Comb รองน้ำแข็งตัว จึงนำมา Load ได้

### ประวัติการศึกษาและการทำงาน

ชื่อ	นางสาวอังคณาลักษณ์ แจ้งอนันต์
เกิดวันที่	4 ตุลาคม 2524
สถานที่เกิด	อำเภอหลังสวน จังหวัดชุมพร
ประวัติการศึกษา	วท.บ. (ประมง) สาขาวิชาปัตยกรรม คณะประมง มหาวิทยาลัยเกษตรศาสตร์
ตำแหน่งปัจจุบัน	-
สถานที่ทำงานปัจจุบัน	-
ผลงานเด่นและ/หรือรางวัลทางวิชาการ	-
ทุนการศึกษาที่ได้รับ	-